



BioCoherence

Instrukcja obsługi

Version 2025-02-07

Ogólny spis treści

WPROWADZENIE

1. Krótka historia BioCoherence.....	3
2. Budowanie mostów.....	5

KORZYSTANIE Z BIOCOHERENCE

3.1. Przegląd modułów	14
<i>Szczegółowy spis treści znajdą Państwo na początku tego rozdziału.</i>	
3.2. Szczegółowa instrukcja dla każdego modułu	35
<i>Szczegółowy spis treści znajdą Państwo na początku tego rozdziału.</i>	

4. ADDENDUMS

4.1. Frequently asked questions	84
4.2. Reference medical studies.....	88
4.3. Bibliographie.....	100

Krótka historia BioCoherence

Jest lato 2024 r. i właśnie ukazuje się pierwsza publiczna wersja BioCoherence. Jak dotarliśmy tutaj, z tym oprogramowaniem z mojej głowy, które do tej pory zawiera ponad 1400 opatentowanych biomarkerów, 40 ekranów, analizę elektrokardiogramu za pomocą skanera i testy biofeedback na żywo oraz moduł przywracania równowagi?

Proszę spojrzeć wstecz na dwie zbieżne ścieżki.

Nasz pierwszy kontakt z urządzeniami do oceny i leczenia energii miał miejsce w 2011 roku. Christine i ja byliśmy małżeństwem i mieliśmy trójkę dzieci. W tym samym roku nasza druga córka, Isis, która w tamtym czasie nadal nie tolerowała glutenu, miała rozpocząć naukę w szkole średniej. Ponieważ nadal mieszkaliśmy w Sournia, małej wiosce w Pirenejach (na południu Francji), szukaliśmy rozwiązania, aby mogła zjeść lunch w szkole. Oszczędzę Państwu szczegółów, ale kiedy poszliśmy do specjalisty, powiedział nam, że jedynym rozwiązaniem jest kolonoskopia. I że to i tak jej nie wyleczy. Zaczęliśmy więc szukać innego rozwiązania. Przyjaciel skierował nas do dziwnego faceta, który pracował w małym miasteczku. Ten dziwny facet przeprowadził pełne badanie i reharmonizację podczas jednej sesji; nie tylko zidentyfikował wszystkie problemy w pół godziny, ale miesiąc później Christine była wyleczona.

Christine i ja spojrzeliśmy na siebie i zdaliśmy sobie sprawę, że coś jest nie tak z medycyną. Dlaczego szpital nie był w stanie zaoferować nam tego rozwiązania? Dlaczego było to najwyraźniej tak poufne? Ale przede wszystkim, co to było?

Pod koniec 2011 roku wraz z tym lekarzem stworzyliśmy organizację non-profit, aby spróbować zbadać i zweryfikować te praktyki, następnie ośrodek opieki, a potem drugi. Wreszcie, pod koniec 2012 roku, skontaktowaliśmy się z producentem tego urządzenia, aby dystrybuować je we Francji. Spotkaliśmy innych i w końcu zbudowaliśmy solidną dystrybucję, sieć praktyków i szkołę.

Ale ja, naukowiec, inżynier, programista, muzyk, autor, a przede wszystkim kompulsywny twórca, nie mogłem zadowolić się rolą komercyjną lub administracyjną. Założyłem już kilka firm, dla których zawsze programowałem cały system komputerowy. W rzeczywistości zacząłem tworzyć oprogramowanie w wieku 10 lat, a swoje pierwsze sprzedałem w wieku 15 lat. Następnie studiowałem nauki ścisłe i poszedłem do szkoły inżynierii dźwięku, zanim założyłem agencję internetową z Christine w 1996 roku, a następnie kilka start-upów. Wracając do urządzeń do pielęgnacji, które sprzedajemy, jako projektant naprawdę chciałem przyczynić się do tego innowacyjnego dążenia w projektowaniu tych systemów kontroli i pielęgnacji, których wiele doświadczyłem i które dobrze rozumiem.

Tak więc pierwszą ścieżką jest nauka, informatyka i biznes oraz ich zastosowania w opiece zdrowotnej.

Ale to nie jedyna ścieżka, która doprowadziła nas do dzisiejszego BioCoherence.

Drugą ścieżką jest medytacja.

Kiedy miałem 11 lub 12 lat, pasjonowała mnie magia —, a raczej czary. Mogłem spędzać całe dnie w sklepach magicznych w Paryżu i spotykać się ze wszystkimi klientami (profesjonalnymi showmanami). oczywiście stworzyłem też sztuczkę, wykonałem ją i sprzedałem do sklepu, miałem chyba 13 lat ... — i tam poznałem Pierre'a, profesjonalnego magika, który pracował na całym świecie. Zostaliśmy dobrymi przyjaciółmi. Pierre już jako dziecko odbywał "podróże poza ciałem" lub "podróże astralne", co mnie zafascynowało. Nigdy wcześniej o tym nie słyszałem. Dał mi kilka książek na ten temat i powiedział, że było to dla niego bardzo naturalne, ale po pewnym czasie straciliśmy kontakt.

Od tego momentu wydawało mi się naturalne, że za zasłoną pozorów kryje się znacznie większy świat. Ale jak mogłem odpowiedzieć na to pytanie w Paryżu, w epoce hiper-materializmu, w rodzinie, która nic o tym nie wiedziała?

Przez lata pozostawało to uprzywilejowanym i fascynującym tematem dyskusji, źródłem ciekawości, ale niczym więcej. Próbowaliśmy medytacji jako nastolatki, a potem jako dorośli, bez większego powodzenia. Potem życie zaczęło nabierać kształtu tu i teraz, ze wszystkimi jego wymaganiami.

Cofnijmy się do 2011 roku, kluczowego roku, w którym nasze drogi się skrzyżowały. Kiedy Isis zaczęła wracać do zdrowia, zostaliśmy skierowani do lekarza rodzinnego w Perpignan. On widzi to inaczej. Oczywiście pojechaliśmy tam. Rozmawiam z nim o różnych rzeczach i ponownie pojawia się temat medytacji. Mówię mu, że próbowałem wydostać się z mojego ciała bez większego powodzenia. Odpowiada, że zna technikę opartą na dźwiękach o różnych częstotliwościach w uszach, nie wiedząc o niej nic więcej. Ale dźwięk przemówił do mnie... i szukałem i odkryłem binaural beats. Od tego momentu postępy, które do tej pory były tak pracowite, ogromnie przyspieszyły. W ciągu kilku miesięcy wszechświat rozszerzył się, zarówno do wewnątrz, jak i na zewnątrz. Od tego kluczowego roku wszystko wokół nas zostało zreorganizowane.

Rozpocząłem serię wywiadów do projektu filmowego "właściwie". Spotkałem i sfilmowałem około czterdziestu fascynujących ludzi. Wreszcie, założyłem francuskie wydawnictwo, aby tłumaczyć ich książki i do tej pory opublikowałem około dwudziestu dzieł.

Christine, ku swojemu wielkiemu zaskoczeniu, została jasnowiedzem. To dobry żart. Tak samo jak moja córka. W każdym razie, jak dobry naukowiec, robię kilka protokołów walidacyjnych. To wszystko wydaje się bardzo realne, ok, spójrzmy prawdzie w oczy. W tym roku, po 7 latach prawie autonomicznego życia rodzinnego w górach (opuściliśmy Paryż w 2004 roku, aby zbudować dom, który Christine sama zaprojektowała), Disneyland przybył z hukiem. A świat stał się jeszcze większy. Dom wypełnia się stworzeniami, z których każde jest bardziej fantastyczne od poprzedniego. Szalone, ale anegdota za anegdotą, nie sposób nie uwierzyć w tę nową rzeczywistość.

To są dwie ścieżki, które się łączą: z jednej strony ocena energii i uzdrawiające urządzenia i oprogramowanie, z ich bajecznymi możliwościami, ale także różnymi ograniczeniami i frustracjami; z drugiej strony medytacja, wewnętrzny rozwój osobisty, poszerzanie granic świata i ogromna moc przejęcia władzy nad sobą i uświadomienia sobie własnej odpowiedzialności.

Tak więc w 2017 roku przeprowadziłem wstępny sojusz obu i rozpocząłem projekt aplikacji do medytacji, która miała być platformą dla twórców; zbyt skomplikowane, nigdy nie ukończone. w 2018 roku opracowałem aplikację do tworzenia binauralnych beatów i innych dźwięków towarzyszących medytacjom; zbyt skomplikowane, nigdy nie ukończone. Zaczynam dostrzegać powtarzający się schemat. Nie jest to moja pierwsza zbyt skomplikowana, nigdy nie ukończona aplikacja. OK, przepiszmy to wszystko i uprośćmy: Ah, wygraliśmy! W 2021 roku damy naszej szkole pierwszą, mniej skomplikowaną i - hurra! - ukończoną aplikację: 33 medytacje z przewodnikiem oparte na pierwszych 2 książkach Christine.

Pozostaje jeden szczegół: chcę zaferować więcej. Chciałbym mieć niezawodny system pomiarowy, aby wybrać i, dlaczego nie, spersonalizować medytacje. Szczegół, jak już powiedziałem, który ostatecznie zajął mi 3 lata. W 2022 roku będę mógł zaprezentować nasz coroczny kurs mistrzowski z pierwszym narzędziem opartym na pomiarze elektrokardiogramu. W 2023 roku, po ponad roku pracy, interfejs zostaje wzbogacony o liczne wizualizacje i powstają nowe ekrany. Kolejne 6 miesięcy badań i w kwietniu 2024 roku otrzymaliśmy oprogramowanie spragnione interakcji...

Aby dotrzeć do tej pierwszej wersji, drastycznie (i boleśnie, jak mogą sobie Państwo wyobrazić) wybrałem pomysły do realizacji. Ale w ciągu prawie 40 lat tworzenia w końcu zdałem sobie sprawę, że nie ma sensu robić czegoś tylko dla samego tworzenia. I musiałem poświęcić znacznie więcej czasu, niż bym przypuszczał, aby uczynić to oprogramowanie łatwym do zrozumienia. Udało mi się, choć nadal jestem sfrustrowany wszystkimi rzeczami, których jeszcze nie ma. Mogą Państwo liczyć na to, że nadal będę wnosił swój wkład i dzielił się pomysłami i narzędziami, a ja upewnię się, że zawsze będą one dla Państwa przyjemne, proste i intuicyjne.

Médéric Degoy, twórca oprogramowania BioCoherence.

Budowanie mostów

BioCoherence zostało opracowane wokół kilku kluczowych koncepcji. Ważne jest, aby mieć ich przegląd, ponieważ określają one podstawową logikę.

Naszym zadaniem jest budowanie mostów między obszarami, które często nie są ze sobą powiązane. Obejmują one: Cybernetyka; teoria systemów; energia, entropia i neguentropia; emergencja; heurystyka; synchroniczność; ergodyczność; teoria zasobów; teoria kaskadowa; embriogeneza; teoria prologu; zasada rezonansu; zasada koherencji; fale skali; kryształy czasu; relacja umysł-ciało; relacja materia-energia-informacja-zmysł; entropia fizyczna i entropia informacyjna; nieświadomość i archetypy.

O ile nie zaznaczono inaczej, cytaty pochodzą z Wikipedii.

Cybernetyka

"ogólna nauka o kontroli i komunikacji w systemach naturalnych i sztucznych"

"Cybernetyka to badanie mechanizmów informacyjnych w złożonych systemach. Kontury tej dziedziny badań obracają się wokół kluczowej koncepcji sprzężenia zwrotnego lub *mechanizmu teleologicznego*. Jej celem było stworzenie jednolitego spojrzenia na powstające dziedziny (w latach 1942-1953) automatycznego sterowania, elektroniki i matematycznej teorii informacji jako "całkowitej teorii kontroli i komunikacji zarówno u zwierząt, jak i maszyn".

Sformalizowana przez Norberta Wienera cybernetyka jest między innymi źródłem systemowych terapii szkoły Palo Alto i biologicznych teorii samoorganizacji"

Ciekawe uwagi:

- "W 1894 roku Ludwig Boltzmann ustanowił związek między entropią a informacją, wskazując, że entropia jest powiązana z informacją, do której nie mamy dostępu"
- "Fizjologia również dostarczyła mu wielu elementów. Na przykład zasada homeostazy, podkreślona przez Claude'a Bernarda"
- "Cybernetyka jest również kontynuacją fenomenologii, ponieważ kultywuje zjawiska w celu uchwycenia ich autonomii i specyfiki, zwłaszcza poprzez formę, a następnie przechodzi do innego rodzaju analizy: modelowania, mechaniki..."
- "Podejście to kładzie nacisk na sprzężenie zwrotne, ponieważ jest ono niezbędne dla rozwoju samoregulującej się logiki. Tworzy to pętle sprzężenia zwrotnego, mechanizmy kołowe, które podkreślają systemy"
- termin "emergencja" wkrótce nie będzie już odnosił się tylko do nowych form, ale także do nowych właściwości i procesów, które powstają podczas spontanicznej reorganizacji systemu. Ten rodzaj zjawiska czasami oznacza coś więcej niż reorganizację systemu, ale organizację na wyższym poziomie złożoności"
- "W cybernetyce drugiego rzędu obserwator włącza siebie do obserwowanego systemu"

Cybernetyka jest korzeniem ekologii, psychoanalizy, informatyki, nauk systemowych, kognitywistyki, sztucznej inteligencji, internetu...

Zastosowanie w biocoherence

W całości oprogramowania na wszystkich poziomach, od najgłębszych (istnienie samego komputera, systemu operacyjnego i Internetu) do najbardziej płynnych (logika systemowa, analiza poziomów 1, 2 i 3 oraz pojawianie się nowych właściwości, łączenie wszystkich elementów, obliczenia połączeń i rezonansów).

Zasada sprzężenia zwrotnego jest sercem oprogramowania, szczególnie w pomiarach biofeedback.

Co ciekawe, cybernetyka koncentruje się na ograniczeniach i ograniczeniach systemu. Daje to wskazówkę co do możliwych opcji. Jednak zasada równości stwierdza, że możliwe jest osiągnięcie celu na wiele różnych sposobów.

Teoria systemów

"Teoria systemów to metoda definiowania, badania lub wyjaśniania wszelkiego rodzaju zjawisk, która polega przede wszystkim na traktowaniu tego zjawiska jako systemu: złożonego zestawu interakcji, często między podsystemami, zachodzących w ramach większego systemu. Różni się od tradycyjnych podejść, które koncentrują się na rozbiciu systemu na części bez uwzględnienia funkcjonowania i aktywności całości, tj. całego systemu.

Myślenie systemowe preferuje podejście globalne, makroskopowe, holistyczne lub syntetyczne; obserwuje i bada system z różnych perspektyw i na różnych poziomach organizacji; a przede wszystkim bierze pod uwagę różne interakcje między częściami systemu.

Stopniowo wyłaniająca się w połowie XX wieku systematyka pojawiła się w opozycji do kartezjańskiej tradycji analitycznej i innych form redukcjonizmu, które miały tendencję do dzielenia całości na niezależne części i wykazywania jej ograniczeń w rozumieniu rzeczywistości"

Ciekawe komentarze:

- "Zasadniczą koncepcją jest tutaj niewątpliwie regulacja, zdefiniowana przez pojęcie pętli sprzężenia zwrotnego" "Interakcja (lub wzajemne powiązanie) odnosi się do idei nieliniowej przyczynowości. Koncepcja ta jest niezbędna do zrozumienia koewolucji i symbiozy w biologii. Jedną ze szczególnych form interakcji jest sprzężenie zwrotne, którego badanie jest kluczowe dla pracy cybernetyki"
- "Całość. Jeśli system składa się głównie z wielu elementów, nie można go do nich zredukować. Jak mówi przysłowie, całość to więcej niż suma jej części"
- "Organizacja jest centralnym pojęciem dla zrozumienia systemu. Organizacja to uporządkowanie całości zgodnie z podziałem jej elementów na poziomy hierarchiczne. W zależności od stopnia organizacji, całość nie ma takich samych właściwości. W ten sposób dochodzimy do wniosku, że **właściwości całości zależą mniej od rodzaju i liczby elementów, które zawiera, niż od relacji, które istnieją między nimi**: "System otwarty to system, który ma zdolność do samoorganizacji poprzez wymianę materii, energii i informacji..."
- Jako systemy otwarte, organizmy żywe są zdolne do tworzenia pętli ujemnej entropii (tj. zmniejszania entropii i tworzenia wyższego porządku).
- Jeśli chodzi o "system dynamiczny", pierwszą ideą charakteryzującą tę dziedzinę jest to, że za pozornym nieporządkiem kryje się porządek, który jest bardziej złożony niż widoczny porządek. Drugą ideą jest to, że porządek ten powstaje poprzez samoorganizację i pojawienie się nowych cech i właściwości, które wcześniej nie istniały"

Zastosowanie w biokorelacji

- podkreślanie powiązań między elementami, które są równie ważne, jeśli nie ważniejsze, niż ocena samych elementów.

Pojawienie się

"Emergencja to koncepcja filozoficzna, którą można z grubsza podsumować powiedzeniem: "Całość jest większa niż suma jej części". Przeciwstawia się ona redukcjonizmowi i doktrynom dualistycznym (dualizmowi lub witalizmowi).

Właściwość może być opisana jako "emergentna", jeśli "wynika" z bardziej fundamentalnych właściwości, pozostając jednocześnie "nową" lub "nieredukowalną" do nich. Na przykład John Stuart Mill stwierdza, że właściwości wody nie są redukowalne do właściwości wodoru lub tlenu"

Interesujące punkty:

- "Czasami mówimy o "synchronicznej emergencji" w kontekście relacji między mikro i makro poziomami systemu. W tym przypadku emergencja implikuje koncepcyjną nieredukowalność: emergentne właściwości i prawa są systemowymi cechami złożonych systemów rządzonych przez prawa, których nie można zredukować do tych, które rządzą relacjami między komponentami na mniejszym poziomie."

Zastosowanie w biokorelacji

- logika emergencji: analiza jest przeprowadzana w kilku etapach, z których każdy ujawnia właściwości na wyższym poziomie, które nie są obecne na niższym poziomie. Na ostatnim etapie odkrywane są zasoby.

Energia

"Energia jest pojęciem związanym z terminami działanie, siła i czas trwania: wykonanie działania wymaga utrzymania pewnej siły przez wystarczający okres czasu, aby przezwyciężyć bezwładność i opór, które sprzeciwiają się tej zmianie"

Zastosowanie w biokoherencji

Energia biomarkera jest mierzona na różne sposoby w zależności od rodzaju biomarkera. Umieszczona na skali minimum/maksimum specyficznej dla biomarkera, staje się pionową osią kwiatu.

Entropia

Jest to zarówno jasna, jak i złożona koncepcja, ale przede wszystkim termin, który wyjaśnia bardzo różne rzeczy w różnych dziedzinach.

- Dla fizyków entropia oznacza niepokój, nieporządek.
- Dla teorii informacji entropia jest miarą możliwej surowej ilości różnych rodzajów informacji.
- Dla informatyki jest to w przybliżeniu zakres możliwych informacji, rozmiar przestrzeni.

Możemy podsumować koncepcję entropii jako proporcjonalną do nieporządku systemu; jej przeciwieństwo, negentropia, jest zatem proporcjonalna do stopnia uporządkowania systemu.

Zastosowanie w biokorelacji

Mierzymy zmienność na różnych poziomach biomarkerów, aby uzyskać współczynnik pobudzenia, który tworzy poziomą oś kwiatu.

Teoria zasobów

Teoria zasobów opracowana przez Christine Degoy postuluje, że w każdym żywym systemie istnieją doskonale funkcjonujące części, które odżywiają inne części. W logice systemu są to części zasobów, które są aktywnie połączone z innymi podsystemami, które ich potrzebują.

Christine zidentyfikowała zasoby na wszystkich poziomach: organicznym, psychologicznym, energetycznym i niefizycznym (tj. składającym się z materii, która wchodzi w interakcje z całym systemem, ale nie podlega tym samym prawom fizycznym, co zwykła materia).

Zastosowanie w biokosmosie

Jako element emergentny na najwyższym poziomie, identyfikacja zasobów pozwala na stworzenie spójnego planu priorytetów, którymi należy się zająć i wykorzystać je do optymalizacji całego systemu.

Teoria kaskadowa

Opierając się na zasadzie Paula Schmidta, polegającej na poszukiwaniu pierwotnych przyczyn chorób, opracowanej później przez Philippe'a Matzę, teoria kaskadowa jest częścią logiki systemowej. Postuluje ona, że chory organ lub układ jest częścią łańcucha przyczyn i interakcji energetycznych oraz że łańcuch ten musi zostać prześlędzony, aby terapia była skuteczna.

Zastosowanie w biokoherencji

Identyfikując połączenia i spójne systemy, Biocoherence pozwala nam zrekonstruować kompletne łańcuchy przyczynowe i działać u źródła zaburzeń. Rozszerzamy jednak koncepcję łańcuchów przyczynowych na wiele łańcuchów oraz na fakt, że system, którego elementy są spójne, musi interweniować jednocześnie na wszystkich poziomach, aby przywrócić równowagę jego elementów w zrównoważony sposób.

Embriogeneza

"Podczas tworzenia zarodka komórki dzielą się na różne warstwy komórkowe: warstwa zewnętrzna nazywana jest ektodermą, a warstwa wewnętrzna nazywana jest endodermą. Warstwa środkowa tworzy tkankę zwaną mezodermą. U ssaków każda warstwa pełni inną funkcję: endoderma wytwarza przewód pokarmowy i związane z nim gruczoły (trzustka); mezoderma wytwarza mięśnie, szkielet i naczynia krwionośne;

ektoderma wytwarza naskórek i układ nerwowy"

Zastosowanie w biocoherencji

Postulujemy, że elementy te pozostają ze sobą połączone w dorosłym organizmie poprzez określone rezonanse i bierzemy pod uwagę 8 ciał opracowanych przez Christine Degoy, które składają się z elementów połączonych ich embryonalnym pochodzeniem. Relacje te są następnie włączane do interpretacji wyników.

Teoria prologu

Fragment książki " *Prology, rediscovering the meaning of life*" autorstwa Christine Degoy:

"Jest to ujednoczone podejście do opieki i realizacji życia. Jest integracyjne i przekrojowe i można je opisać jako systemowe, koncentrujące się na rezonansie wszystkich elementów osoby, ponieważ tak wiele dostępnych zasobów działa synergicznie"

Prology oferuje całkowitą zmianę paradygmatu, angażując ciało jako potężną dźwignię spełnienia, nawet w trakcie choroby. Jej solidne zasady opierają się na projekcie życia w połączeniu z podejściem teorii systemów, zilustrowanym następującą tezą: **"Każda istota ludzka jest systemem z projektem, a wszystko, co go tworzy, jest zorientowane na osiągnięcie tego celu"**

Prologia umożliwia mapowanie ludzkiego ciała w odniesieniu do wspierania osobistego projektu i odkrywania czasowej organizacji kolejnych obszarów wzrostu dojrzałości i zarządzania własnym życiem.

Mapowanie oparte na embriologii, w połączeniu z trzema filarami ludzkiej natury - wolą, miłością i mądrością - prowadzi do nowego zrozumienia choroby. W rzeczywistości dekodowanie prologiczne postrzega chorobę jako transformację systemu, a nie porażkę. Kiedy system materia-energia-informacja danej osoby musi się poprawić, aby się rozwijać, korzysta ona z każdej ewolucyjnej okazji, aby zmienić i rozwinąć umiejętności i zachowania, potrzeby i pragnienia oraz poglądy na życie i otaczający ją świat.

Każdy organ odgrywa rolę w realizacji indywidualnego projektu życiowego i jest ulepszany z większą lub mniejszą dyskrecją, w zależności od stopnia transformacji niezbędnej do rozwoju.

Celem podejścia prologicznego jest przywrócenie równowagi, energii i dobrego samopoczucia przy jednoczesnym poszanowaniu projektu życiowego każdej osoby w celu osiągnięcia holistycznego spełnienia.

Zastosowanie w biocoherence

Oprogramowanie umożliwia pełną ocenę i identyfikację tematów i transformacji, które rezonują w projekcie życiowym. Jest to pozytywny odczyt oparty na celu i uwalnianiu energii, w przeciwieństwie do biologicznego dekodowania opartego na konflikcie i przeszkodach

Zasada rezonansu

"Rezonans to zjawisko, w którym pewne systemy fizyczne (elektryczne, mechaniczne itp.) są wrażliwe na określone częstotliwości. System rezonansowy może gromadzić energię, jeśli jest ona dostarczana okresowo i blisko częstotliwości znanej jako "częstotliwość rezonansowa"."

Zastosowanie w biokorelacji

W medytacjach dźwiękowych dźwięki lub sekwencje dźwięków emitowane na określonych częstotliwościach energetyzują określone struktury organiczne lub mentalne.

Zasada spójności

"W fizyce spójność jest całością właściwości korelacyjnych systemu falowego. Możemy mówić o spójności między dwiema falami, między wartościami tej samej fali w dwóch różnych momentach (spójność czasowa) lub między wartościami tej samej fali w dwóch różnych miejscach (spójność przestrzenna). Przykłady spójnych wiązek światła laserowego

Dudnienia obuuszne

"Obuuszne dudnienie to pozorny dźwięk, który jest postrzegany w mózgu jako konsekwencja pewnego bodźca fizycznego. Efekt ten został odkryty przez Heinricha Wilhelma Dove'a w 1839 roku.

Mózg wytwarza zjawisko, które jest postrzegane jako impulsy dźwiękowe o niskiej częstotliwości, gdy dwa dźwięki o nieco różnych częstotliwościach są emitowane niezależnie w każdym z uszu badanego. Jeśli różnica między tymi dwiema częstotliwościami wynosi 4 herce, osoba badana słyszy 4 impulsy na sekundę"

Zastosowanie w biokorelacji

W medytacjach słuchowych pewne rytmy obuuszne są zintegrowane zgodnie z priorytetami, którymi należy się zająć. Trenują one mózg w określonych częstotliwościach z zakresu alfa, beta, gamma lub theta.

Fale skali

Marc Henry¹ wyjaśnia, że "istnieje piąty wymiar skali, który jest niezależny od trzech wymiarów przestrzennych i wymiaru czasowego. Ten nowy wymiar umożliwia określenie skali, w której występuje obserwowane lub mierzone zjawisko przestrzenno-czasowe. Ale jeśli istnieje nowy wymiar, to siłą rzeczy istnieją również fale, które mogą się w nim rozchodzić. Są to oczywiście nasze fale skali. Ich zadaniem jest zapewnienie spójności między różnymi skalami opisu i manifestacji tego samego obiektu fizycznego. Te fale skali nie pojawiają się w akademickich traktatach na temat fizyki kwantowej lub relatywistycznej. Są nam one jednak bardzo dobrze znane. Musimy tylko zaakceptować pytanie, w jaki sposób jednostka jest w stanie rozpoznać różne części składowe. Dzięki falom skali ta sama osoba może postrzegać swoją jedność, niezależnie od skali, której używa do opisanie siebie".

Fale skali zostały teoretycznie opracowane przez Joëla Sternheimera, który wprowadził je w życie za pomocą Proteodies.

Tymczasowe kryształy

"Kryształ czasowy to okresowa struktura w czasie i przestrzeni. Idea takiej struktury została zaproponowana przez Franka Wilczka w 2012 roku. Według niego można sobie wyobrazić strukturę składającą się z zestawu cząstek, które okresowo poruszają się i powracają do swojego pierwotnego stanu, co tworzyłoby "kryształ temporalny". Termin ten został ukuty w odniesieniu do obserwacji w "klasycznym" kryształach, którego struktura atomowa ma wzór powtarzający się w różnych kierunkach w przestrzeni. Jednak w kryształach czasowym wzór powtarza się okresowo w czasie, jak w oscylatorze. Tylko okresowe wzbudzenie z zewnątrz może spowodować powstanie **pochłaniającego energię** kryształu czasu. "

Zastosowanie w biokoherencji

Po zidentyfikowaniu połączeń między elementami można rozpoznać powtarzające się wzorce. Chodzi o to, że te wzorce (które mogą być sekwencjami myśli, ruchów, bólu, różnych dysfunkcji...) tworzą struktury, które stale pochłaniają energię z całego systemu, aby utrzymać swój ruch. Algorytmy oprogramowania mogą znaleźć określone węzły, aby przerwać powtórzenia.

Związek między umysłem a ciałem

"Pojęcie występowania zostało wprowadzone do filozofii umysłu przez Donalda Davidsona w latach sześćdziesiątych XX wieku, aby pogodzić pozornie sprzeczne idee systematycznej zależności i nieredukowalności umysłu i ciała. Jeśli właściwość typu B (np. umysłowa) wynika z właściwości typu A (np. fizycznej), wówczas każda zmiana typu B jest równoważna zmianie typu A. Dlatego też, jeśli istnieje zdarzenie, nie może istnieć różnica jednego typu bez różnicy innego typu na innym poziomie opisu. Istnieje więc związek kowariancji między tymi dwoma poziomami"

"Według Simona Blackburna, obecnemu fizycznemu pogładowi na naturę brakuje jakościowych właściwości, takich jak kolor, ból i wszystko inne, co stanowi jakościowy aspekt naszego doświadczenia świata"

"Niektórzy filozofowie panpsychistyczni, tacy jak Galen Strawson, argumentują z tej perspektywy, że wszystkie obiekty fizyczne są w rzeczywistości właściwościami mentalnymi, które odpowiadają właściwościom przeżywanego doświadczenia"

1. <https://marchenry.org/2014/09/15/ondes-dechelle/>

Relacja materia-energia-informacja-zmysł; entropia fizyczna, energetyczna, informacyjna i zmysłowa

Wracając do "jakościowego aspektu naszego doświadczenia świata", przyjrzyjmy się materii:

- materia składa się zarówno z fal, jak i cząstek. Można ją opisać jako materialną (cząstki) lub energetyczną (fale). W rzeczywistości są to samowystarczalne, stojące fale, które generują własne pole magnetyczne, jak struna gitary wygięta na sobie. W ten sposób generują ...

- energię, która jest magazynowana lub cyrkulowana. Można ją wymieniać, ale sama w sobie nie jest ani ujemna, ani dodatnia: stanowi jedynie wymianę potencjału energetycznego w jednym lub drugim kierunku. Jest jednak nośnikiem ...

- informacji zakodowanej w "energii lub materii i reprezentuje symbole ...

- znaczenia, które ostatecznie jest wszystkim, co ma znaczenie dla nas jako świadomych istot.

To stawia koncepcję entropii z powrotem w perspektywie. Na poziomie materii entropia jest ruchem lub potencjałem energetycznym. Na poziomie informacji entropia jest potencjalną ilością informacji, która jest przekazywana przez medium (energię lub materię). Ale na ostatecznym poziomie znaczenia, entropia to ilość znaczącej informacji, która może być faktycznie przekazana.

Proszę na przykład wyobrazić sobie przycisk, który aktywuje bombę atomową. Na poziomie informacji, pojedynczy bit informacji wystarczy, by aktywować bombę. Na poziomie materii i energii efekt jest gigantyczny, ale lokalnie ograniczony. A jeśli chodzi o znaczenie, to zależy ono od celu: miasto (ogromny efekt w przestrzeni i czasie) czy tunel testowy (efekt ograniczony do wyniku eksperymentu)? Tak więc ilości entropii na tych różnych poziomach mogą być radykalnie różne dla tego samego działania.

Synchroniczność

"Czasami myślimy, że wszechświat wysyła nam sygnały, gdy pojawiają się pozornie niewiarygodne zbiegi okoliczności. Ale dla Junga jest to synchroniczność, którą możemy zdefiniować jako jednoczesność różnych zdarzeń połączonych znaczeniem innym niż przypadek. Innymi słowy, tę wyjątkową naukę można podsumować jako zbieżność w czasie serii wydarzeń (dwóch lub więcej), które są ze sobą powiązane, ale nie mają związku przyczynowego. Istnieje jednak związek merytoryczny

"Według Junga, kiedy mówimy o synchroniczności, mamy na myśli związek między wydarzeniami wewnętrznymi i zewnętrznymi. Osoba doświadczająca tych wydarzeń znajduje zatem znaczenie w ich związku. Jung zdefiniował synchroniczność lub l'occurrence jako poszukiwanie rozpoznawalnych wzorców"

Zastosowanie w biokorelacji

Rozpoznawanie wzorców jest istotną częścią naszego rozumienia świata. Synchroniczność jest rozumiana jako pojawienie się znaczenia poprzez zbieg niepowiązanych a priori zdarzeń. To właśnie to połączenie poprzez sens, poprzez znaczenie, daje początek znaczeniu informacji. Ten wyłaniający się związek jest podkreślany w obliczeniach połączeń między biomarkerami. W skrajnym przypadku spójne systemy wskazują na odpowiednik synchroniczności, tj. pojawienie się znaczenia na wyższym poziomie.

Semantyka ogólna

"Semantyka ogólna proponuje niearystotelesowską formę rozumowania dla wszystkich, pierwotnie opracowaną przez Alfreda Korzybskiego.

Semantyka ogólna próbuje rozszerzyć ramy semantyki klasycznej (badanie znaczenia słownictwa i zmian, jakim może ono podlegać). Celem Korzybskiego było opracowanie logiki, która odpowiadałaby również stanowi rozwoju naukowego jego czasów i umożliwiłaby nam rozwiązywanie ludzkich problemów skuteczniej niż za pomocą wcześniejszych logik Arystotelesa i Kartezjusza, a także fizyki arystotelesowskiej i newtonowskiej. Korzybski nie uważał już tych logik, które rozwijały się od starożytności do XVII wieku, za adekwatne do opisywania i rozwiązywania specyficznych problemów związanych z odkryciami jego stulecia. Korzybski zastosował je w psychiatrii, Henri Laborit w biologii (teoria hamowania działania) i w agresologii (badanie reakcji istot żywych w warunkach agresji).

W Science and Reason Korzybski wyjaśnia, że widzi związek między tą niearystotelesowską logiką a dwiema rewolucjami naukowymi XX wieku, fizyką kwantową i teorią względności¹. Wskazuje, że pierwsza z nich zakłóca zwykłe kategorie rozumu, podczas gdy druga wprowadza "nienewtonowską" fizykę i "nieeuklidesową" geometrię². Podobnie jak w przypadku tej drugiej, "nie" logiki niearystotelesowskiej nie należy rozumieć jako negacji, ale jako uogólnienie i zastąpienie logiki arystotelesowskiej, tak

że ta ostatnia jest włączona, a słowo "ogólny" jest rozumiane w tym samym sensie, co ogólna teoria względności³. Przez analogię do fizyki kwantowej Korzybski twierdzi, że obserwator jest integralną częścią reprezentacji rzeczywistości i że należy to uwzględnić w semantyce ogólnej".

Zastosowanie w biokorelacji

Wszystko jest znaczeniem. Jest to najwyższy poziom abstrakcji w łańcuchu materia-energia-informacja-znaczenie. Na to właśnie kładą nacisk algorytmy opracowane dla BioCoherence.

Heurystyka

"Heurystyka to "sztuka wynalazku, odkrywania" poprzez rozwiązywanie problemów na podstawie niepełnej wiedzy. Ten rodzaj analizy prowadzi do akceptowalnych rozwiązań w ograniczonym czasie. Mogą one odbiegać od rozwiązania optymalnego. Dla Daniela Kahnemana jest to proces, który pomaga znaleźć odpowiednie, choć często niedoskonałe, odpowiedzi na trudne pytania"

Zastosowanie w biokorelacji

Heurystyka to "dyscyplina znajdowania reguł". Ponownie chodzi o rozpoznawanie wzorców, a podkreślanie połączeń pozwala nam spojrzeć na ogólną organizację, a nie na konkretny stan pojedynczego elementu systemu.

Ergodyczność

"Ergodyczność" to sytuacja, w której kilka różnych i oddzielnych analiz statystycznych na ten sam temat daje wystarczająco porównywalne wyniki. Teoria ta była wielokrotnie rozwijana w ścisłym powiązaniu z teorią układów dynamicznych i teorią chaosu".

Zastosowanie w biokorelacji

Rozpoznawanie wzorców jest integralną częścią analizy, która została wzmocniona przez ostatnie postępy w głębokim uczeniu się i sieciach neuronowych.

Nieredukowalność obliczeniowa

"Nieredukowalność obliczeniowa jest jedną z kluczowych idei zaproponowanych przez Stephena Wolframa w jego książce *A New Kind of Science* (2002).

Wiele systemów fizycznych jest tak złożonych, że nie można ich skutecznie zmierzyć. Nawet najprostsze programy wykazują szeroką gamę zachowań. W związku z tym żaden model nie może dokładnie przewidzieć, co stanie się w konkretnym systemie fizycznym, opierając się wyłącznie na warunkach początkowych przed przeprowadzeniem eksperymentu. Ze względu na ten problem nieredukowalności w formalnym języku informatyki, Wolfram nazywa tę niezdolność do "skrócenia" systemu (lub "programu") lub opisanie jego zachowania w prosty sposób "nieredukowalnością obliczeniową". Idea ta pokazuje, że istnieją przypadki, w których przewidywania teorii są w rzeczywistości niemożliwe. Wolfram twierdzi, że wiele zjawisk jest zwykle nieredukowalnych obliczeniowo.

Nieredukowalność obliczeniowa wyjaśnia ograniczenia obserwowane obecnie w głównym nurcie nauki. W przypadkach nieredukowalności obliczeniowej można uciec się jedynie do obserwacji i eksperymentów"

Zastosowanie w biokosmosie

Koncepcja ta wyjaśnia na przykład, dlaczego życie rozwija się tak, jak się rozwija. Powiedzmy, że żyjemy w symulacji, jakbyśmy byli postaciami w grze wideo: dlaczego mielibyśmy przejmować się wszystkimi doświadczeniami, które przeżywamy? Dlaczego nie przejść od razu do końca? Ponieważ zgodnie z tą zasadą nie można przejść bezpośrednio do końca: jesteśmy zobowiązani do przejścia przez wszystkie fazy wydarzenia, aby doświadczyć epilogu. Trzeba "zagrać w grę", ponieważ nikt nie może powiedzieć, jak się skończy, nie grając w nią w całości.

Moim zdaniem wyjaśnia to większość złożonych kwestii poruszanych przez mistycyzm i pytania egzystencjalne. Załóżmy, że metempsychoza (reinkarnacja) jest prawdziwa. Dlaczego więc karma? Po prostu dlatego, że ważne jest, aby obliczyć wszystkie możliwe opcje, a najlepszym systemem do obliczania tych opcji jest taki, który jest świadomy alternatyw. Z tego punktu widzenia

karma nie jest narzędziem zemsty, ale wzajemnego rozpoznawania możliwych i nieprzewidywalnych konsekwencji danego wydarzenia. Życie konfrontuje nas z podobnymi sytuacjami, ale pod innym kątem, a do nas należy świadome przechodzenie przez różne fazy i obserwowanie rezultatów. W tym ujęciu nie ma czegoś takiego jak przeznaczenie czy nieuniknione wydarzenie. Jedyną rzeczywistością są wybory, których dokonujemy w obliczu wydarzeń, które nas konfrontują, ale wynik nie jest przewidywalny, dopóki nie dokonamy naszych wyborów. W rzeczywistości nasze życie jest całkowicie w naszych rękach.

Nieświadomość, nieświadomość zbiorowa i archetypy

"Archetyp to koncepcja psychologii analitycznej opracowana przez szwajcarskiego psychiatrę Carla Gustava Junga (1875-1961). Definiuje go jako ludzką tendencję do używania tej samej "a priori danej formy reprezentacji", która zawiera uniwersalny temat, który strukturyzuje psychikę i jest wspólny dla wszystkich kultur, ale który jest reprezentowany w różnych formach symbolicznych.

Dla psychologii jungowskiej archetyp jest fundamentalnym procesem psychicznym ludzkich kultur, ponieważ wyraża elementarne wzorce zachowań i reprezentacji, które wyłoniły się z ludzkich doświadczeń na przestrzeni dziejów, w połączeniu z inną koncepcją jungowską, jaką jest nieświadomość zbiorowa"

Mówiąc o nieświadomości, oto lista wynalazków i odkryć, których autorzy twierdzą, że dokonali pewnego ranka po śnie:

- Kartezjusz twierdził, że 10 listopada 1619 roku podstawy nowej filozofii, metody naukowej, zostały mu objawione w trzech oddzielnych snach. OK, więc sama metoda naukowa pochodzi ze snu.
- E. Mówi się, że Howe wynalazł igłę nowoczesnej stebnówki.
- Naukowiec F.A. Kekulé odkrył pozornie niemożliwą strukturę chemiczną benzenu (C₆H₆), gdy śniła mu się grupa węży połykających nawzajem swoje ogony.
- Niels Bohr otrzymał Nagrodę Nobla w dziedzinie fizyki w 1922 roku za odkrycie struktury atomu. Wspomina, że elektrony krążące wokół jądra atomu jawiły mu się we śnie jako Układ Słoneczny.
- Rosyjski chemik Dmitrij Mendelejew był wyczerpany po trzech dniach prób sklasyfikowania 56 pierwiastków, kiedy zdecydował się zasnąć. "W moim śnie zobaczyłem tabelę, w której wszystkie elementy były ułożone tak, jak powinny. Kiedy się obudziłem, natychmiast zapisałem je na kartce papieru" - napisał Mendelejew w swoim dzienniku. "Było tylko jedno miejsce, w którym później konieczna była korekta"
- Indyjski matematyk Srinivasa Ramanujan, znany ze swojego ważnego wkładu w teorię liczb, rachunek różniczkowy i inne dziedziny czystej matematyki, twierdził, że hinduska bogini Namagiri Thayar przekazywała mu matematyczne wizje w snach: i że w tych wizjach "zwoje z najbardziej skomplikowaną matematyką były rozwijane przed jego oczami": "Nagle ręka zaczęła pisać na ekranie. Stałem się bardzo uważny. Ta ręka pisała serię całek eliptycznych. Utkwiły mi one w głowie. Jak tylko się obudziłem, zapisałem je
- Pole krów zainspirowało teorię względności Alberta Einsteina. We śnie Einstein powiedział rolnikowi, że krowy są otoczone ogrodzeniem elektrycznym, ale rolnik widział coś innego. Kiedy Einstein się obudził, zdał sobie sprawę, że to samo wydarzenie może być widziane pod różnymi kątami, a teoria względności nabrała kształtu.
- Jeśli Karol Darwin jest w centrum uwagi, jeśli chodzi o teorię ewolucji, naukowiec Alfred Russel Wallace nie jest daleko w tyle. Podczas ośmioletniej wyprawy do dzisiejszej Indonezji Wallace zebrał i zbadał tysiące okazów zwierząt. W 1855 roku Wallace doszedł do wniosku, że żywe istoty ewoluują, ale nie rozumiał, w jaki sposób, dopóki nie otrzymał objawienia w gorączkowym śnie w 1858 roku: Zwierzęta ewoluują, dostosowując się do swojego środowiska.
- Przed pracami Otto Loewiego zastanawiano się, czy neurotransmisja jest zasadniczo chemiczna czy elektryczna. W noc poprzedzającą Niedzielę Wielkanocną Loewi wymyślił idealną konfigurację eksperymentalną: dwie komory z bijącymi sercami, jedną z nienaruszonymi nerwami i jedną bez. Komory te byłyby wypełnione roztworem i połączone ze sobą rurką. Eksperymentator stymulowałby elektrycznie pierwszą komorę serca, aby ją spowolnić. Jeśli neurotransmisja jest zasadniczo elektryczna, nie ma powodu, aby drugie serce biło wolniej. Jeśli jednak neurotransmisja jest chemiczna, substancje chemiczne mogłyby teoretycznie przepływać przez rurkę i spowalniać również drugie serce w drugiej komorze. Loewi odnotowuje ten pomysł, ale nie jest w stanie rozszyfrować własnego pisma, gdy budzi się następnego ranka. Sen powraca do niego następnej nocy. We współpracy z Henrym Dale, Loewi wykorzystał ten eksperymentalny zestaw do zademonstrowania chemicznej neurotransmisji i otrzymał Nagrodę Nobla w 1936 roku.
- James Watson, który wraz z Francisem Crickiem odkrył podwójną helisę DNA - budulec życia - rzekomo śnił o spiralnych schodach, które dały mu pomysł, jak można zbudować DNA. Według innych źródeł śniły mu się dwa splecione węże z głowami na przeciwległych końcach.
- Istnieją niezliczone piosenki, książki, gry wideo i filmy, których pomysły przyszły mu do głowy pewnego ranka.

Racjonalny umysł (którego racjonalność, nie zapominajmy, pochodzi ze snu) może wyciągać różne wnioski:

1. sny pozwalają wynalazcy syntetyzować myśli w inny sposób niż umysł. Wniosek: istnieje w nas inny proces myślowy, który karmi się wszystkim, co już w sobie nosimy i który wyraża się w archetypach. Nieświadomość jest w stanie dostarczyć nam interesujących informacji.
2. sny są bramą do innego wymiaru wiedzy. Wniosek: sny są językiem, który przynosi nam wcześniej niedostępne informacje, być może z innych rzeczywistości lub innych świadomych istot.

Te dwie możliwości nie wykluczają się wzajemnie. Ale niezależnie od tego, czy sen jest drzwiami do naszego wnętrza, czy też drzwiami do innej rzeczywistości, jeden wniosek jest pewny w obu przypadkach: język snów, archetyp nieświadomości, jest ważnym źródłem informacji i rozwoju dla naszych świadomych problemów.

Nasze osobiste doświadczenie po ponad 10 latach medytacji jest takie, że medytacja pozwala nieświadomości lepiej komunikować się ze świadomym umysłem. Medytacja uczy świadomy umysł lepiej słuchać "małego głosu", który w przeciwnym razie wyraża się tylko w głębi snów. Widzieliśmy moc dawania większej przestrzeni nieświadomości. Te dwa aspekty współpracują ze sobą, aby lepiej rozwiązywać problemy, ponieważ mają dostęp do bardzo różnych obszarów wiedzy.

Innym moim osobistym wnioskiem jest to, że komunikacja wewnętrzna musi być trenowana jak mięsień. Pierwsze wizje Christine były bardzo niewyraźne i niepewne, ale po latach treningu rozwinęła nowy "zmysł", który jest tak samo wyczuwalny jak zwykle 5 zmysłów. Niezależnie od wyjaśnienia pochodzenia tej informacji, tysiące razy udowodniono, że jest ona tak samo realna jak inne zmysły. Jednak bez treningu bardzo trudno jest oddzielić iluzję od rzeczywistości. W końcu opanowanie i zaufanie naszym 5 fizycznym zmysłom zajmuje lata. Te 5 zmysłów nie robi nic więcej niż przekłada bodźce, które odzwierciedlają rzeczywistość świata zewnętrznego na wzór w naszych neuronach. Teraz zdaliśmy sobie sprawę, że istnieją również "subtelne" zmysły, które również tłumaczą konkretną rzeczywistość zewnętrzną i które należy wyćwiczyć.

Zastosowanie w biokorelacji

Medytacje z przewodnikiem odwołują się do różnych archetypów, aby pobudzić nieświadomość i świadomość do działania w rozwiązywaniu problemów i rozwoju wewnętrznym.

Prawdziwa spójność serca

Dan Winter definiuje prawdziwą koherencję serca poprzez pojawienie się kaskadowego szczytu w "harmonicznej" części analizy (tj. FFT 2 rzędu). FFT lub transformata Fouriera służy do wyodrębniania częstotliwości z sygnału. FFT 2. rzędu wyodrębnia muzyczne częstotliwości harmoniczne. Ta operacja matematyczna umożliwia rozpoznanie, że wyraźna większość częstotliwości obecnych w elektrokardiogramie jest harmoniczna względem siebie; nazywa to "prawdziwą koherencją serca".

Ten szczyt w części "harmonii" można znaleźć na różnych częstotliwościach, a pasma częstotliwości tego szczytu zostały zidentyfikowane jako odpowiadające podstawowym emocjom w czasie nagrywania.

Fraktalność, kompresja i sprzężenie fazowe

"Nieskończona liczba stanów jest maksymalnie skompresowana, jeśli stosunek między częstotliwościami jest potęgą złotego podziału"^(gsjournal²)

Kompresja jest tutaj definiowana jako maksymalna suma częstotliwości (z konstruktywnymi - sprzężonymi - fazami między nimi), która jest osiągnięta, gdy częstotliwości są wielokrotnością liczby d'or między nimi.

Fraktalność odnosi się do faktu, że podobne struktury można znaleźć w różnych skalach.

Pomiary eliptyczne

Dan Winter ponownie sformułował fundamentalne równanie dla optymalnej "implozji" energii; równanie to przewiduje wiele częstotliwości rezonansowych występujących we wszechświecie. Nazwałem odpowiadającą mu wielkość "Elfie", częściowo w hołdzie dla elfów (a w szczególności dla elfickiej architektury), a częściowo dla samego równania: $n \text{ Elfie} = L_p \times \text{Phin}$, tj. długość Plancka (najmniejsza mierzalna długość we wszechświecie) pomnożona przez n razy Złoty Współczynnik.

Tak więc skala Elfie jest nie tylko proporcjonalna do liczby Elfie, ale także zawiera podane wartości dla liczb całkowitych Elfie. Te wartości całkowite obejmują wiele znanych wielkości, takich jak długość, czas i częstotliwość. Więcej informacji można znaleźć na stronie [Elfie.link](https://elfie.link)³.

2. <https://www.gsjournal.net/Science-Journals/Research-Papers-Quantum-Theory/Particle-Physics/Download/4543>

3. <https://elfie.link>

3.1.

Przegląd modułów

- BioCoherence **Scan** to kompletny moduł analityczny, od surowego elektrokardiogramu po kilkadziesiąt map, wykresów i jawnych sposobów obliczania i interpretowania biomarkerów.
- BioCoherence **Test** to otwarta metoda ewaluacji list pozycji z opracowywania pulsu na żywo (biofeedback).
- BioCoherence **Balance** pozwala na identyfikację i priorytetyzację zasobów oraz tworzenie na ich podstawie raportów PDF i indywidualnych medytacji.

Spis treści

1. Moduły Balance	17
1.1. Zasoby	17
1.2. Priorytety	17
1.3. Raport PDF	18
1.4. Równowaga: niestandardowa medytacja.....	18
2. Skanowanie: biomarkery i analiza techniczna	19
2.1. Moduł wykresu czasu	19
2.2. Moduł biomarkerów	19
3. Skanowanie: mapy narządów	21
3.1. Istotne przyczyny: energia.....	21
3.2. Istotne przyczyny: entropia	22
3.3. Systemy godne uwagi: koherencja	22
3.4. Mózg.....	22
3.5. Układ sercowo-naczyniowy	23
3.6. Układ trawienny	23
3.7. Membrany.....	23
3.8. Kręgi	24
3.9. Układ nerwowy.....	24
3.10. Zęby	24
3.11. System lokomotoryczny	25
3.12. Układ oddechowy	25
3.13. Narządy płciowe kobiety	25
3.14. Męskie genitalia.....	26
4. Proszę zeskanować: Meridiany, punkty i receptury TCM	27
4.1. Meridiany pęcherza moczowego z linkami	27
4.2. Meridiany według energii, z typowymi powiązanymi kwestiami.....	27
4.3. Punkty TCM	28
4.4. Przepisy TCM, według koherencji	28
5. Proszę zeskanować: Moduły energetyczne	29
5.1. Ajurweda: Dosze i poddosze	29
5.2. Wykresy energii: czakry, płaszczyzny, zegar i pęd.....	29
5.3. Wykresy energii: mikroświat.....	29
6. Skanowanie: moduł umysłu	31
6.1. Moduł cienia	31
6.2. Cień: napędy	31
6.3. Moduł Spirit.....	32
7. Moduły testowe	33
7.1. Lista testowa po ocenie na żywo	33
7.2. Lista testów	33
7.3. Lista testów	33
7.4. test: biofeedback ocena na żywo	34
7.5. testy: edytuj.....	34

1. Moduły Balance

Priorytety, zasoby, raporty i medytacje z przewodnikiem.

Balance to zbiór narzędzi, które pomogą Państwu osiągnąć maksymalną jakość

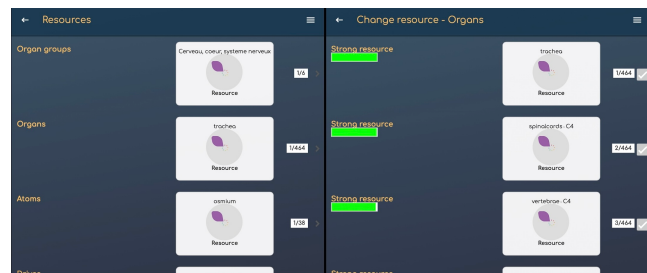
- **Priorytety** to to, co wymaga uwagi teraz
- **Zasoby** to to, na czym można polegać
- **Report** to dokument PDF zawierający wszystkie ważne części analizy
- **Balance** to generowanie medytacji z przewodnikiem, częstotliwości, dudnień obuusznych i ponownych ocen, zoptymalizowanych w czasie rzeczywistym za pomocą biofeedbacku

1.1. Zasoby

Potęgą zasobów: są już Państwa i są już dostępne, aby pomóc

Zasoby są głównymi filarami, głównymi nośnikami energii dla tego nagrania. Moduł Balance opiera się głównie na zasobach, aby wybrać odpowiednie częstotliwości, dudnienia obuuszne i głośnie naprowadzające, aby zbudować energię przed rozpoczęciem pracy nad priorytetami

- Zasoby są identyfikowane automatycznie, ale w razie potrzeby można je zmienić. Aby zmienić zasób, proszę kliknąć na niego i wybrać inny z najważniejszych zasobów dla tej kategorii

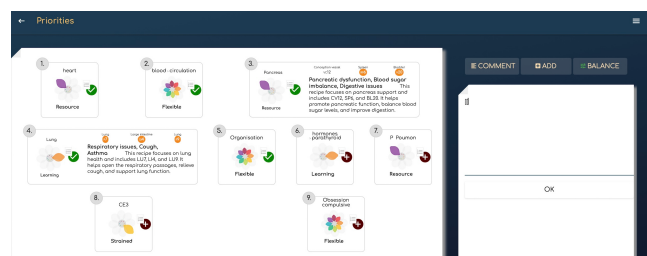


1.2. Priorytety

Na co należy zwrócić uwagę.

Priorytety to biomarkery, które wymagają uwagi. Są one automatycznie obliczane po nagraniu, ale dodawanie lub usuwanie priorytetów zależy wyłącznie od użytkownika

- Priorytety można dodawać lub usuwać z dowolnego kwiatu biomarkera, na dowolnej stronie lub w module Priorytety. Wystarczy kliknąć przycisk!
- Pod priorytetami przycisk **Komentarz** umożliwia użytkownikowi dodanie dowolnego tekstu



- przycisk **Dodaj** wyświetla listę odpowiednich dodatkowych priorytetów do wyboru, w razie potrzeby, spośród Narządy, Meridiany akupunkturalne, Punkty meridianowe, Receptury TCM, Czakry, Napędy, Momentum...

1.3. Raport PDF

eksport wszystkich ważnych informacji w formacie PDF za pomocą jednego kliknięcia

Raport PDF można wydrukować, zapisać lub wysłać jednym kliknięciem. Zawiera on

- Informacje o kliencie
- Informacje o zapisie
- Adnotacje
- Części i sesje
- Zasoby i priorytety
- Główne meridiany (energia, entropia, spójność)
- Główne organy (energia, entropia, spójność)
- Główne receptury MTC (energia, entropia, spójność)

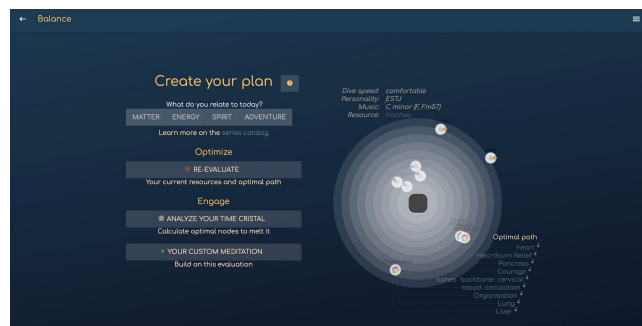
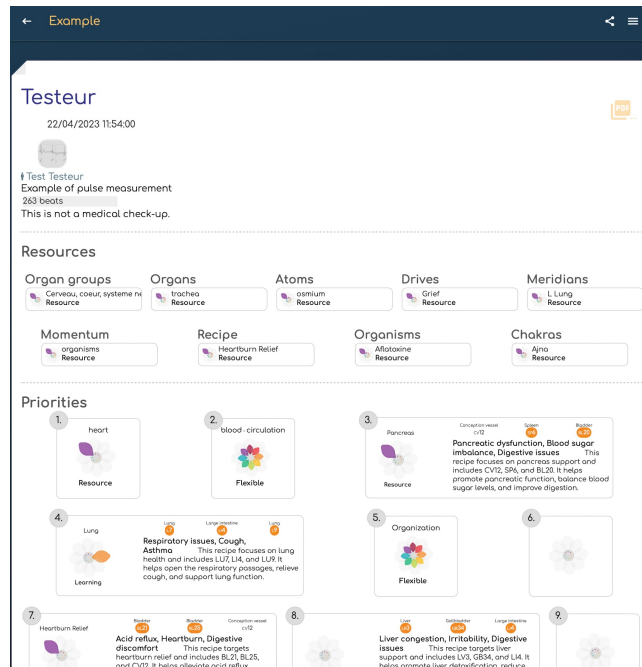
Może być spersonalizowany przez Pro.

1.4. Równowaga: niestandardowa medytacja

Nadszedł czas, aby podjąć działania.

Balance to cały moduł do tworzenia niestandardowych medytacji.

- Użytkownik może wybrać styl, do którego się odnosi, który wybierze karty z różnych serii medytacji z przewodnikiem
- Zaleca się ponowną ocenę każdego dnia, przed nową medytacją: wszystkie biomarkery będą ewoluować, a medytacja zostanie odpowiednio przeliczona
- Główne parametry (prędkość nurkowania, osobowość, muzyka, zasoby) są obliczane na podstawie głównych cech obliczonych biomarkerów. Muzyka jest generowana z bieżącej melodii i akordów użytkownika, do pożądanego stanu, w harmonicznej progresji
- Priorytety są wyświetlane jako planety krążące wokół użytkownika, coraz dalej i dalej, ponieważ w ten sposób medytacja będzie się do nich zbliżać, coraz dalej i dalej w kosmos.
- Dodatkowym narzędziem jest **czasowy topielnik Cristal**, który będzie obliczany wokół całkowitych wartości czasu-Elfie i przypominał użytkownikowi w odpowiednich momentach o decyzjach i trwającej pracy. Proszę pomyśleć o tym jako o mikro-medytacjach, od 5 do 30 sekund dla siebie w określonych węzłach czasowych. Celem jest rozpuszczenie kryształu czasowego nawyków i przeprogramowanie całego systemu w ciągu 21 dni



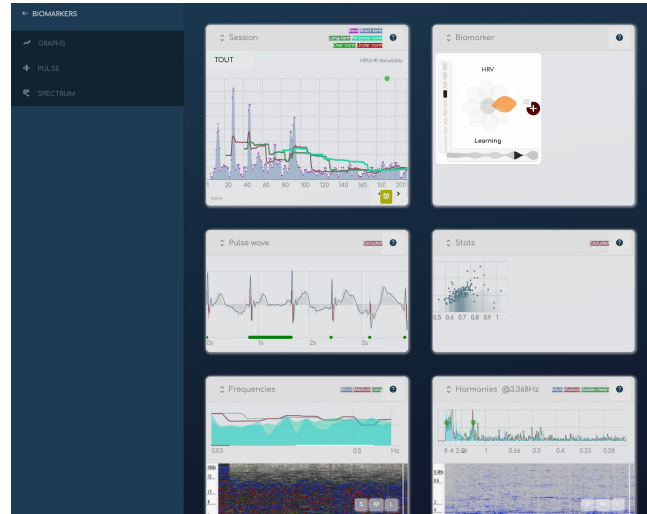
2. Skanowanie: biomarkery i analiza techniczna

Do pracy z pulsem EKG, biomarkerami i spektrum.

BioCoherence buduje swoje biomarkery wyłącznie poprzez operacje matematyczne na surowym zapisie impulsu EKG.

- W tym module można uzyskać dostęp do surowego zapisu, wyłączyć pobudzenia, jeśli wystąpiły błędy pomiarowe (aplikacja automatycznie wyłącza pobudzenia w oparciu o algorytm automatycznego wykrywania jakości) i pracować nad zdarzeniami czasowymi.
- Można również wyświetlić informacje pierwszego, drugiego i trzeciego rzędu na temat biomarkerów i przeglądać je według kategorii (istnieje ponad 1400 biomarkerów...).

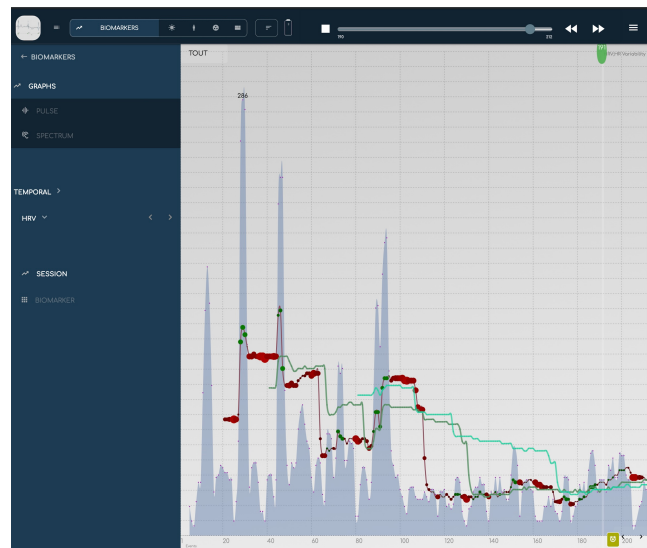
2.1. Moduł wykresu czasu



Proszę zobaczyć, jak biomarker ewoluuje w czasie i sesjach.

BioCoherence pracuje z biomarkerami w bardzo dynamiczny sposób, oceniając ich ewolucję w kilku ramach czasowych i porównując je w różnych ramach czasowych

- Na tym wykresie każdy biomarker jest pokazany na poziomie pobudzenia, w porównaniu do krótkoterminowych, średnioterminowych i długoterminowych średnich kroczących
- Mogą Państwo poruszać się wewnątrz nagrania za pomocą górnego przewijania (proszę nacisnąć przycisk Play, aby je wyświetlić; proszę nacisnąć przycisk Stop, aby porównać różne sesje). Można również kliknąć na wykresie, aby przesunąć bieżący znacznik
- Skalę powiększenia można zmienić za pomocą lewego górnego przełącznika zakresu
- W tym module można pracować ze zdarzeniami: zdarzenia są wyświetlane w dolnej części wykresu. Aby utworzyć lub edytować zdarzenie, proszę kliknąć przycisk w dolnej części wykresu

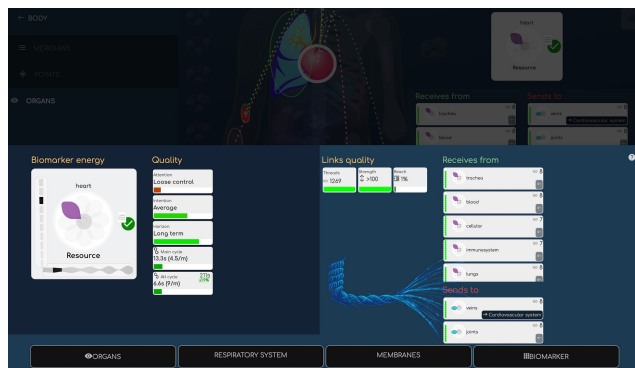


2.2. Moduł biomarkerów

Umożliwia ono dogłębne zapoznanie się z szerokimi informacjami na temat biomarkerów.

Każdy biomarker znajduje się o jedno kliknięcie od panelu Biomarker, który pokazuje w kompaktowy i wygodny sposób wszystko, co można wiedzieć o jego dynamice

- Główną informacją jest **kwiat** biomarkera, który pozwala natychmiast ocenić jego główną jakość. Kwiat jest połączeniem jego głównej energii i głównej entropii (lub pobudzenia). Istnieje 9 różnych płatków, a każdemu z nich towarzyszy proste słowo, aby zrozumieć jego główną jakość
- Dynamiczne cechy są wyświetlane w drugiej kolumnie. **Uwaga, intencja i horyzont** to informacje o długoterminowej dynamice
- Główny cykl i cykl alt są również pokazane w tej kolumnie. Jest to główne oddychanie biomarkera. Cykl jest wyświetlany w czasie trwania (sekundy) i okresie (na minutę). Jeśli cykl odpowiada całkowitej wartości EI^I fic, co wskazuje na rezonans z dobrą implozją energii, link do tabeli Elfie jest podświetlony
- Panel **powiązań** pokazuje relacje z innymi biomarkerami (tutaj innymi organami). Jakość linków jest złożeniem głównych linków (wątki to liczba wszystkich linków, siła ich solidności, a Zasięg wskazuje, ile biomarkerów w rodzinie jest powiązanych z tym). Otrzymuje od i wysyła do zawiera listę innych biomarkerów. Kliknięcie na nią otwiera ich stronę informacyjną
- Na dole, przyciski Mapy i Wykres umożliwiają bezpośredni dostęp do odpowiednich stron.



3. Skanowanie: mapy narządów

Dziesiątki ekskluzywnych, pięknie narysowanych map ciała zostały zaprojektowane dla BioCoherence, dzięki czemu nawigacja i linki stają się łatwe do zobaczenia i zrozumienia.

Przy blisko 500 biomarkerach dedykowanych układom narządów, narządom lub częściom narządów, czuliśmy, że musimy zmapować wszystko, aby nadać temu sens

- Tuzin pięknie wykonanych map dla ogólnego widoku lub powiększeń do zębów, kręgow, nerwów, mózgu..
- Jedną z podstawowych cech BioCoherence są **powiązania** informacyjne trzeciego rzędu **między biomarkerami**. Każda mapa pięknie podkreśla powiązania między narządami na mapie lub linki jednym kliknięciem do narządów na innych mapach
- Wizualne powiązania i dwie kolumny pozwalają natychmiast ocenić relacje energetyczne z innymi narządami (odbiera od lub wysyła do)
- Selektor po lewej stronie zawiera listę wszystkich narządów na tej mapie wraz z ich oceną biomarkerów



Otwieranie modułu

Klikając na "Ciało", a następnie "Narządy", otworzy się moduł z ogólnym przeglądem ciała, w tym wyborem najważniejszych biomarkerów: główne narządy, główne hormony, główne części układu ruchu, krew, komórki

Jeśli klikną Państwo na narząd lub wybiorą go z listy menu, zostanie on otoczony białą aureolą, a główne powiązania z innymi narządami na tym ekranie zostaną wyświetlone (są one zakreślone na czerwono, jeśli otrzymują energię z wybranego narządu, a na zielono, jeśli wysyłają do niego energię).

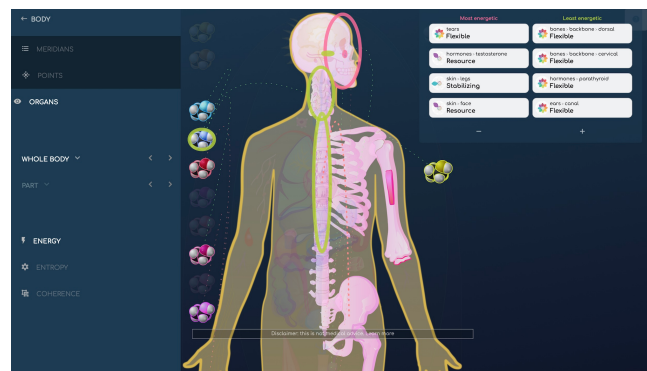
Jeśli istnieją powiązania z organami, które są szczegółowo opisane na innych mapach ciała, są one oznaczone nazwą tej mapy na czarnym tle; kliknięcie na nią otworzy tę szczegółową mapę.

3.1. Istotne przyczyny: energia

Natychmiast podkreśla najbardziej i najmniej energetyczne części ciała

Każda mapa ciała ma podmenu Energia, Entropia i Koherencja, poniżej menu mapy i menu części.

- Moduł **Energia** wyświetla najmniej i najbardziej energetyczne elementy tej mapy, wraz z ich powiązaniami. Można zmienić liczbę elementów, klikając przyciski + i - pod listą, a także kliknąć dowolny biomarker, aby wyświetlić informacje o nim.



3.2. Istotne przyczyny: entropia

Natychmiast podkreśla najbardziej pobudzone i najbardziej statyczne części ciała

Każda mapa ciała ma podmenu Energia, Entropia i Koherencja, poniżej menu mapy i menu części.

- Moduł **Entropia** wyświetla najbardziej poruszone i najbardziej statyczne elementy tej mapy, wraz z ich powiązaniem. Można zmienić liczbę elementów, klikając przyciski + i - pod listą, a także kliknąć dowolny biomarker, aby wyświetlić informacje o nim.



3.3. Systemy godne uwagi: koherencja

Natychmiast podkreśla systemy, które rezonują ze sobą najbardziej.

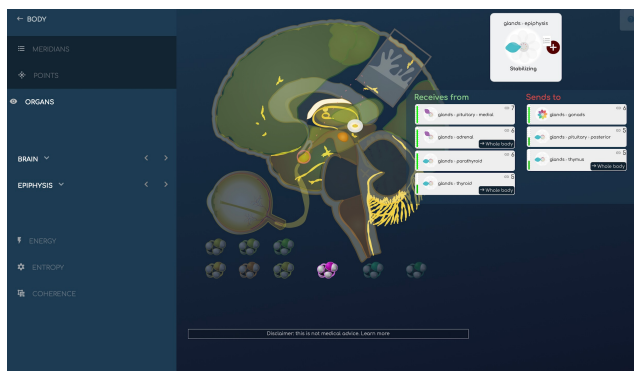
Każda mapa ciała ma podmenu Energia, Entropia i Koherencja, poniżej menu mapy i menu części.

- Moduł **koherencji** wyświetla systemy, które są ze sobą w fazie, które rezonują razem, wraz z ich powiązaniem. Można kliknąć dowolny biomarker, aby wyświetlić informacje na jego temat.



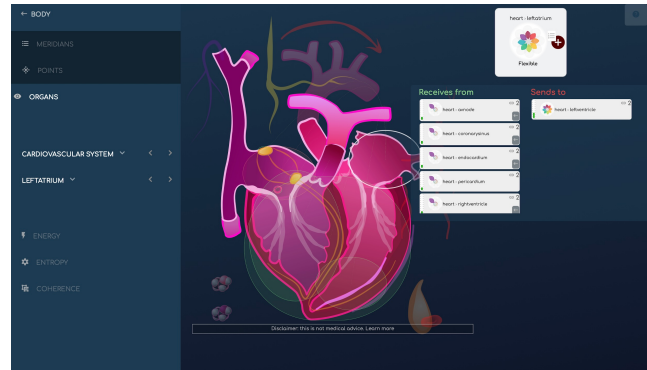
3.4. Mózg

Powiązania między komponentami mózgu i związanymi z nimi hormonami są tutaj wyróżnione graficznie; możliwe jest również wyświetlenie najbardziej znaczących z energetycznego punktu widzenia, mniej lub bardziej pobudzonych i tych w koherencji. Dodaliśmy również oczy i ich komponenty do tej mapy.



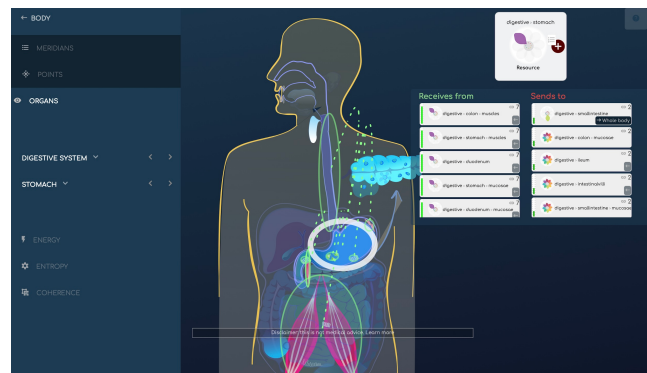
3.5. Układ sercowo-naczyniowy

Powiązania między elementami układu sercowo-naczyniowego są tutaj graficznie podkreślone; możliwe jest również wyświetlenie najbardziej znaczących z energetycznego punktu widzenia, najbardziej lub najmniej pobudzonych oraz tych w koherencji. Anatomiczna tablica układu sercowo-naczyniowego obejmuje serce i wszystkie jego szczegóły, układ krwionośny (żyły, tętnice... w tym krążenie i współczulną kontrolę ciśnienia krwi), krew (osocze, hemoglobina) i hormony (adrenalina i noradrenalina).



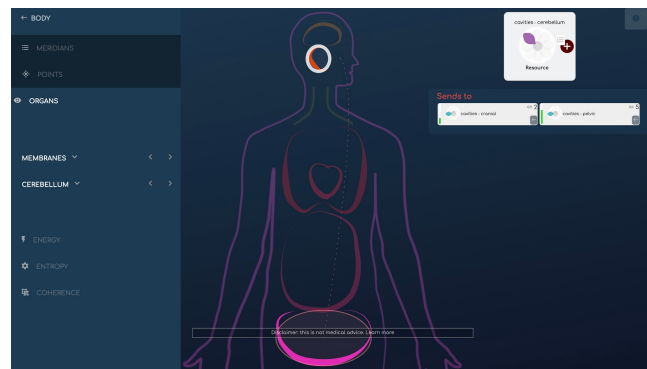
3.6. Układ trawienny

Powiązania między elementami układu trawiennego, od jamy ustnej do odbytu, są tutaj wyróżnione graficznie; możliwe jest również wyświetlenie najbardziej znaczących z energetycznego punktu widzenia, najbardziej lub najmniej pobudzonych oraz tych w koherencji.



3.7. Membrany

Anatomiczny układ membran jest nieco nietypowy; chcieliśmy podkreślić powiązania rezonansowe między tymi dużymi wnękami. Są one w rzeczywistości ważną częścią ogólnej równowagi z holistycznego punktu widzenia, co zwykle nie jest brane pod uwagę. Zapewniają one pół-globalny poziom odczytu i są również ważne z punktu widzenia interpretacji prologicznej.



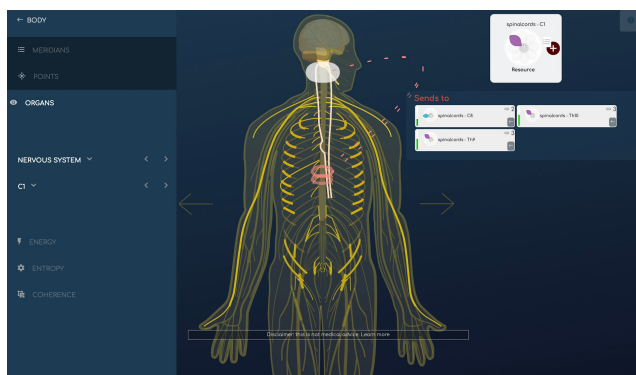
3.8. Kręgi

Powiązania między kręgami są tutaj wyróżnione graficznie; możliwe jest również wyświetlenie tych, które są najbardziej znaczące z energetycznego punktu widzenia, tych, które są mniej lub bardziej pobudzone, oraz tych, które są spójne.



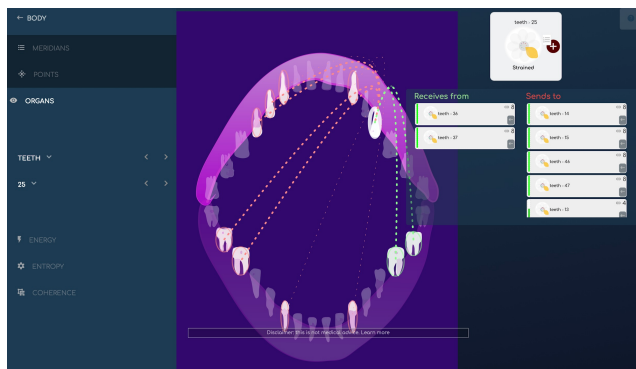
3.9. Układ nerwowy

Powiązania między elementami układu nerwowego są tutaj wyróżnione graficznie; możliwe jest również wyświetlenie najbardziej znaczących z energetycznego punktu widzenia, mniej lub bardziej pobudzonych oraz tych w koherencji. Układ nerwowy obejmuje mózg i szczegóły mózgu, nerwy i szczegóły niektórych nerwów oraz nerwy połączone z rdzeniem kręgowym.



3.10. Zęby

Powiązania między zębami i dziąsłami są tutaj przedstawione graficznie; możliwe jest również wyświetlenie zębów o największym znaczeniu energetycznym, tych mniej lub bardziej pobudzonych oraz tych w koherencji.



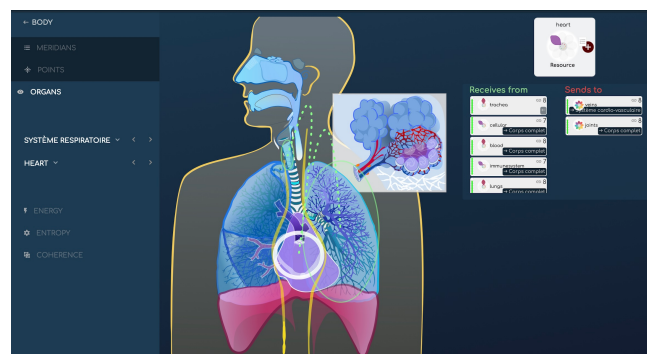
3.11. System lokomotoryczny

Powiązania między elementami układu mięśniowo-szkieletowego (kości, mięśnie, ale także hormony i niektóre narządy) są tutaj wyróżnione graficznie; możliwe jest również wyświetlenie najbardziej znaczących z energetycznego punktu widzenia, najbardziej lub mniej pobudzonych i tych w koherencji. Wybory dokonywane na każdej płycie anatomicznej mają na celu podkreślenie istotnych relacji między elementami. Na tym ekranie, oprócz części kręgosłupa, szpiku kostnego, szkieletu, chrząstki, mięśni, powięzi i metabolizmu wapnia, dodaliśmy interesujące hormony i narządy, takie jak przytarczce, hhd lub noradrenalina, włosy, skóra i zęby.



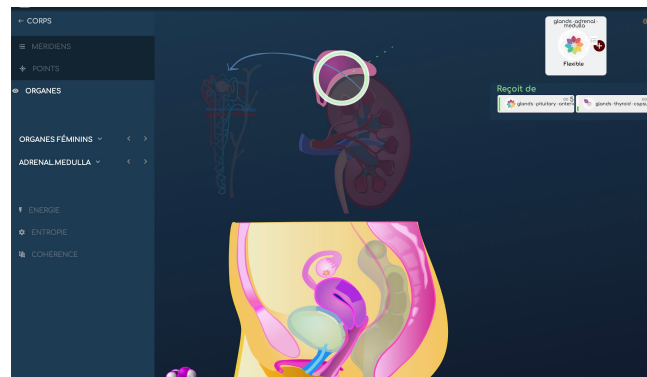
3.12. Układ oddechowy

Powiązania między elementami układu oddechowego są tutaj wyróżnione graficznie; możliwe jest również wyświetlenie najbardziej znaczących z energetycznego punktu widzenia, mniej lub bardziej pobudzonych oraz tych w koherencji. Na tym ekranie znajdziemy również zatoki czołowe, kanały słuchowe i serce.



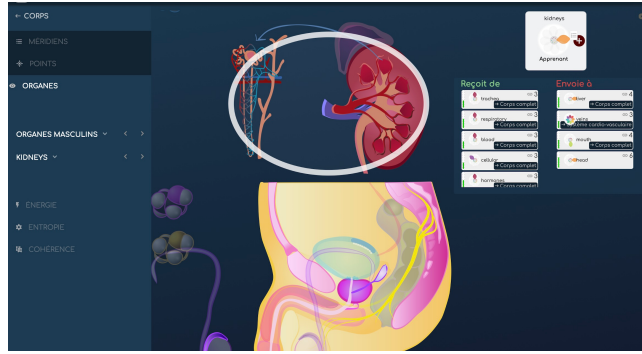
3.13. Narządy płciowe kobiety

Powiązania między elementami żeńskich narządów płciowych i powiązanych narządów (nerki, pęcherz moczowy, kość krzyżowa, nadnercza i powiązane hormony, takie jak pregnenolon...) są tutaj wyróżnione graficznie; możliwe jest również wyświetlenie najbardziej znaczących z energetycznego punktu widzenia, tych mniej lub bardziej pobudzonych i tych w spójności.



3.14. Męskie genitalia

Powiązania między elementami męskich narządów płciowych i powiązanych narządów (nerki, pęcherz moczowy, kość krzyżowa, nadnercza i powiązane hormony, takie jak testosteron, dhea, hgh...) są tutaj wyróżnione graficznie; możliwe jest również wyświetlenie najbardziej znaczących z energetycznego punktu widzenia, mniej lub bardziej pobudzonych i tych w spójności

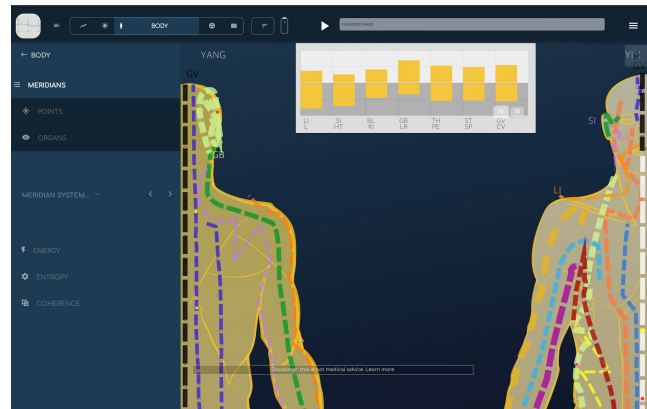


4. Proszę zeskanować: Meridiany, punkty i receptury TCM

Meridiany, punkty akupunktury, receptury TCM

Tradycyjna Medycyna Chińska, będąca mistrzem oceny energetycznej od 5000 lat, jest szeroko stosowana i znacznie rozszerzona w BioCoherence

- **Meridiany** są wyświetlane w 12 lub 20 częściach. Główne kanały energetyczne ciała, wykres pokazuje ich powiązania, a mapa ich ścieżki
- **Punkty akupunktury** są dynamicznie animowane na mapie. Ponad 350 punktów jest obliczanych przez nasz ekskluzywny algorytm
- **Receptury** są tradycyjnymi sposobami rozwiązywania problemów energetycznych, sposobem TCM. Znacząco rozszerzyliśmy tę zasadę, aby obliczyć energię, entropię i spójność setek przepisów, aby ocenić ich użyteczność w bieżącej ocenie, wskazując w ten sposób na ich ewentualną potrzebę - formę oceny, która może pomóc w diagnozowaniu problemów.



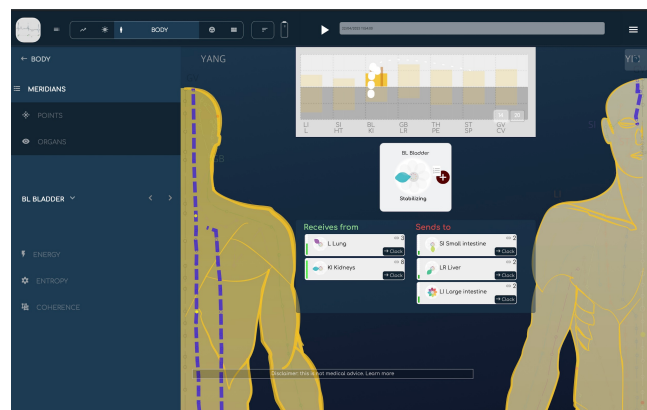
4.1. Meridian pęcherza moczowego z linkami

Proszę kliknąć na meridian, aby uzyskać informacje.

Po kliknięciu na meridian, wykres pokaże jego relacje z innymi meridianami, biomarker pokaże jego główną jakość, a powiązania z innymi meridianami (odbiera lub wysyła do) zostaną wyświetlone

- Mogą Państwo przeglądać południki za pomocą menu po lewej stronie i wyświetlać wszystkie południki z ich biomarkerami w menu rozwijanym.

4.2. Meridiany według energii, z typowymi powiązanymi kwestiami



Identyfikuje najlepsze i najgorsze energetycznie, jednym kliknięciem

Menu **energii** pokazuje bezpośrednio najbardziej energetyczne i najmniej energetyczne meridiany, co może pomóc w identyfikacji problemów.

- Po kliknięciu na meridian pojawiają się dodatkowe wnioski, które są związane z aktualnym stanem energetycznym meridianu i możliwymi warunkami, gdy są powiązane ze stanem innych meridianów, zgodnie z wiedzą TCM

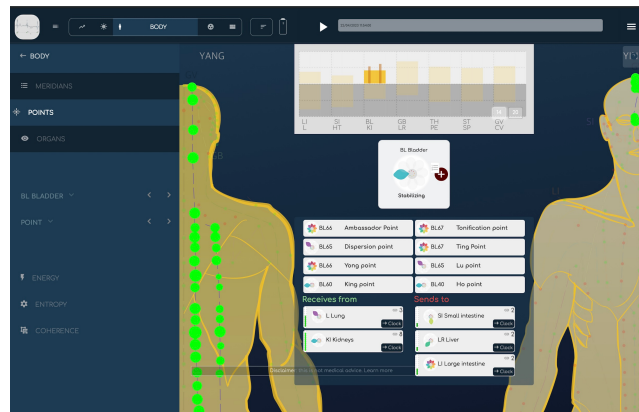


4.3. Punkty TCM

Obliczanych jest ponad 350 punktów

Moduł **Points** pokazuje punkty akupunktury TCM

- Proszę kliknąć na meridian, aby wyświetlić wszystkie punkty w tym meridianie, wraz z tradycyjnymi informacjami na temat ważnych punktów meridianu
- Proszę kliknąć na punkt, aby zobaczyć jego biomarker.

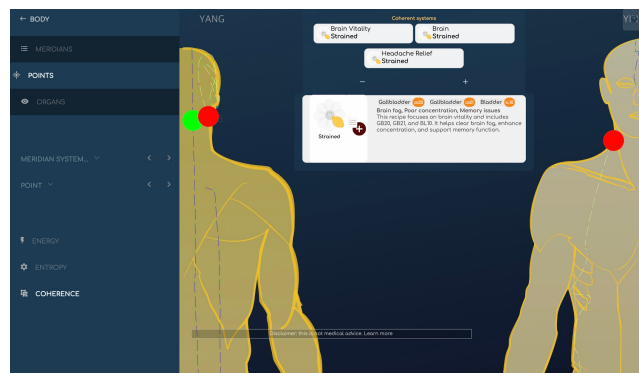


4.4. Przepisy TCM, według koherencji

Koherencja to sposób na zobaczenie receptur, które są całkowicie w fazie.

Odtworzyliśmy receptury akupunktury, aby przekształcić je w narzędzie do oceny.

- Klikając **Coherence**, wyświetlane są receptury, których punkty są całkowicie w fazie (oznacza to, że punkty rezonują razem i poruszają się razem jak jeden punkt). Proszę kliknąć na przepis, aby zobaczyć punkty na mapie i uzyskać wskazówki. Po dodaniu do priorytetów, receptura zostanie użyta w części Równowaga, aby pomóc zrównoważyć jej efekty.



5. Proszę zeskanować: Moduły energetyczne

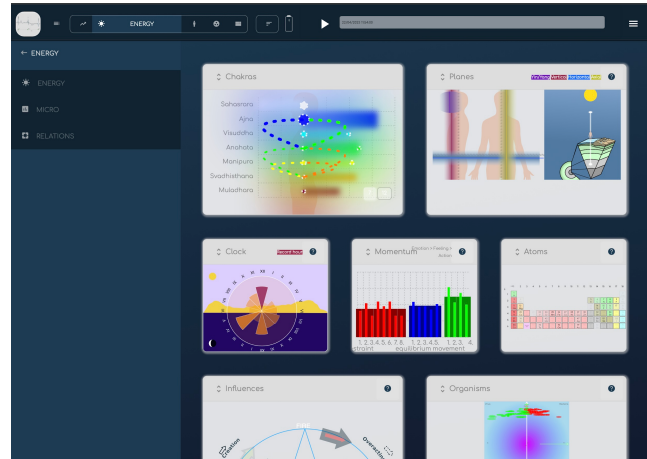
Wszystko, czego potrzebują Państwo do oceny na poziomie energetycznym

Wykresy te pozwalają zobaczyć informacje takie jak czakry, zegar, płaszczyzny, pęd, atomy, wpływy i organizmy.

5.1. Ajurweda: Dosze i poddosze

Ajurwedyjska ocena energii ciała.

Praktycy ajurwedy wiedzą, jak pracować z energetyczną konstytucją ciała. Trzy główne konstytucje to Vata, Pitta i Kapha, każda z 5 pod-dosha. W analizie BioCoherence można zobaczyć, jak każda dosha i sub-dosha porusza się, gdy przesuwa się kursor czasu, ponieważ wszystkie te systemy są dynamiczne. Sposób, w jaki się poruszają, jest częścią naszej oceny.

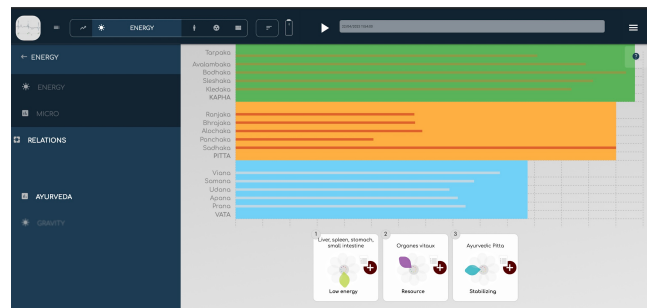


5.2. Wykresy energii: czakry, płaszczyzny, zegar i pęd

Główne silniki energetyczne ciała

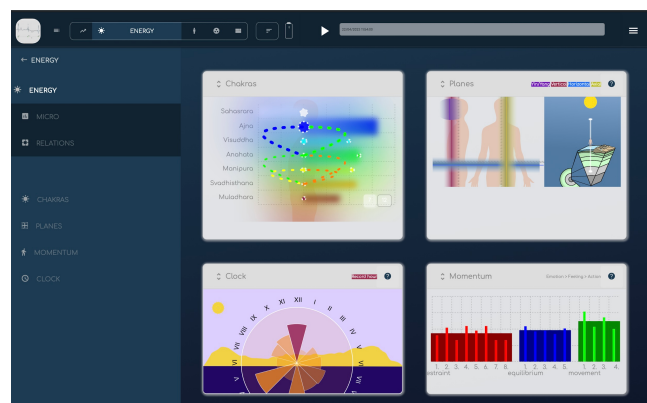
Te 4 wykresy pozwalają na właściwą energetyczną ocenę głównych funkcji organizmu

- **Chakras** może pokazać 7 lub 12 czakr, ich globalną aurę i relacje między nimi
- **Płaszczyzny** podkreślają główne równowagi energetyczne ciała: pokazane są płaszczyzny poziome, pionowe i osiowe, wraz z połączeniem z głębokim polem ziemskim i polem niebieskim
- **Zegar** pokazuje związek między meridianami i ich głównymi godzinami funkcjonowania, wraz z czasem nagrywania, aby ocenić prawidłowe ustawienie czasu.
- **Momentum** to wykres, który stworzyliśmy, aby pokazać 3 główne inercje i ich składniki: te, które ograniczają, te, które równoważą i te, które pomagają w ruchu.



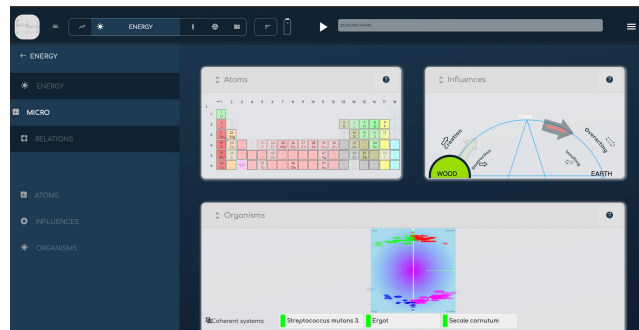
5.3. Wykresy energii: mikroświat

Bardzo małe, ale bardzo przydatne



Te 3 wykresy pokazują mikroelementy, które mogą wpływać na globalny system

- **Atomy** pokazują układ okresowy i rezonanse między pierwiastkami
- **Wpływy** to gwiazda 5 elementów TCM, z ich odpowiednimi konstruktywnymi lub destrukcyjnymi wpływami obliczonymi i zaznaczonymi strzałkami
- **Organizmy** to ocena 200 organizmów zewnętrznych (wirusów, bakterii, grzybów i pasożytów) oraz ich powiązań.

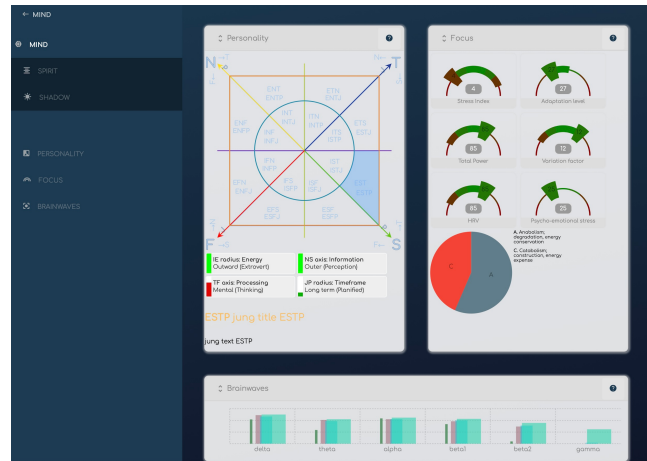


6. Skanowanie: moduł umysłu

Umysł, Duch i Cień są głównym tematem tego modułu.

Z ponad 300 biomarkerami poświęconymi temu, co dzieje się w naszych myślach, moduł Mind ma na celu uporządkowanie ich odczytów w wygodny sposób

- **Mind** zajmuje się osobowością, skupieniem i falami mózgowymi.
- **Osobowość** rekonstruuje typ osobowości Junga (później spopularyzowany jako Myers Briggs lub MBTI). Dla tego ekranu stworzyliśmy unikalną, nową logiczną wizualizację opartą na 4 osiach, które odkryliśmy w ocenie osobowości
- **Focus** przegrupowuje tradycyjne wskaźniki akademickie HRV, a także wizualizator równowagi konstruktywnej / destruktywnej
- **Fale mózgowo?** Tak, nasz czujnik może odczytywać do 64 Hz energię elektryczną całego ciała, nie tylko serca. Zaprojektowaliśmy algorytm, aby wyodrębnić specyficzne informacje fal mózgowych, aby uzyskać poczucie najbardziej aktywnych stanów skupienia umysłu.



6.1. Moduł cienia

Emocje, rany i popędy

Cień, czyli podświadomość, jest integralną częścią naszego zachowania.

- **Emocje** są wydobywane z głównych rytmów EKG
- **Rany** odnoszą się do wpływów TCM. 5 ran (lub 8 ran, jak pierwotnie zaprojektowano) jest popularnych od 30 lat. W BioCoherence rozszerzamy ich znaczenie, dodając odpowiednie konstruktywne lub destruktywne relacje
- **Napędy** to zupełnie nowy sposób organizowania emocji w znaczący sposób

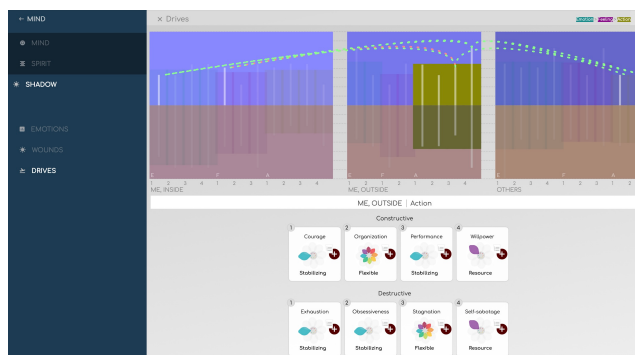


6.2. Cień: napędy

Nowy sposób organizacji emocji.

Drives to całkowicie nowy sposób organizowania emocji w znaczący sposób w 28 grup przeciwieństw, starannie ułożonych w 3 główne grupy (ME Inside, ME outside i OTHERS), z których każda składa się z 3 podgrup (Emotion, Feeling, Action)

- **ME Inside** odnosi się do emocji, które dotyczą mojego wewnętrznego funkcjonowania
- **ME Outside** odnosi się do tych emocji, które wiążą moje wewnętrzne funkcjonowanie z tym, co dzieje się wokół mnie
- **OTHERS** odnosi się do emocji związanych z innymi ludźmi wokół mnie
- **Emocje** są źródłem ich pochodzenia
- **Uczucie** to sposób, w jaki je interpretuję
- **Działanie** jest tym, co z nimi robię



Korzystając z technik medytacyjnych, takich jak obserwujący umysł, można lepiej zrozumieć artykulację i implikacje powstających emocji. Powiązania rezonansowe między emocjami, które pokazują się po kliknięciu na wykres, mogą również pomóc zrozumieć, co się dzieje.

6.3. Moduł Spirit

Dopasowanie muzyki i skali

Duch jest tą częścią nas, która wykracza poza przestrzeń i czas.

- **Muzyka** to odczyt głównych częstotliwości w EKG w połączeniu z dużą ilością teorii muzyki. Skala i główne akordy są obliczane w perspektywie krótkoterminowej (jeden takt), średnioterminowej (2 takty), długoterminowej (3 takty) i bardzo długoterminowej (4 takty). Są one następnie wykorzystywane podczas budowania niestandardowej medytacji, aby zabrać Państwa muzycznie z miejsca, w którym się Państwo znajdują, do miejsca, w którym mogą się Państwo znaleźć
- **Wyrównanie** opiera się na równaniu Dana Wintera i wartościach całkowitych Elfie².
- w Alignment, **Focused coherence** to, jak mówi Dan, "Real Heart Coherence": oblicza ilość skupienia poprzez cepstrum (FFT 2. rzędu) lub, mówiąc prościej, oblicza, jak bardzo globalne częstotliwości znalezione w EKG są **muzycznie** dostrojone i w fazie razem
- w Alignment, **Real Heart Coherence** oblicza to samo, ale dla częstotliwości, które są wielokrotnościami złotego środka między nimi
-
- w Alignment, **Embedded implosion %** pokazuje część częstotliwości, które są bliskie całkowitym wartościom Elfie, wskazując w ten sposób ilość energii, która jest obecnie osadzona w najlepszym cyklu implozji energii



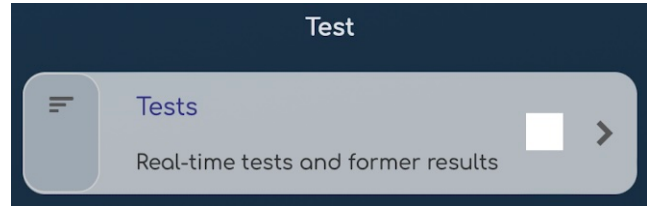
2. <https://elfie.link>

7. Moduły testowe

Korzystanie z biofeedbacku w celu uzyskania oceny w czasie rzeczywistym wszelkich informacji

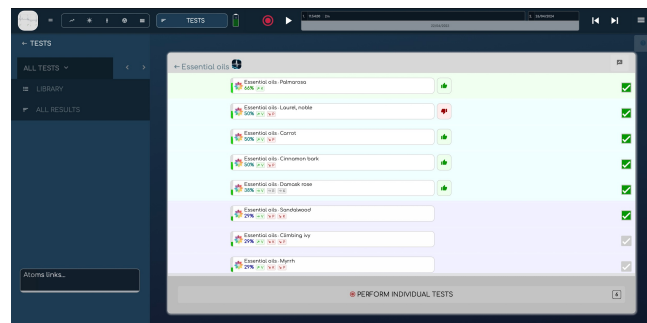
Testy są unikalnym sposobem oceny każdego rodzaju informacji

- Wykorzystując biofeedback w czasie rzeczywistym, testy są indywidualną oceną zgodności
- Testy składają się z list elementów. Każdy element może być wstępnie obliczony na podstawie skanu i przetestowany na żywo w odniesieniu do reakcji organizmu na informacje



7.1. Lista testowa po ocenie na żywo

Po przeprowadzeniu oceny na żywo mogą Państwo zobaczyć 2 informacje wyświetlane na liście: automatyczną ocenę wstępną (jeśli istnieje), opartą na potrzebach biomarkera i określonym wpływie każdego elementu listy; oraz odpowiedź biofeedback, kciuk w górę lub w dół, w oparciu o odpowiedź somatyczną organizmu podczas testu.

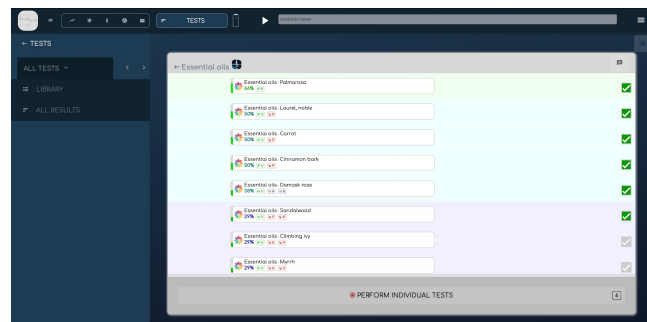


7.2. Lista testów

Test składa się z listy elementów, które należy ocenić i uporządkować.

7.3. Lista testów

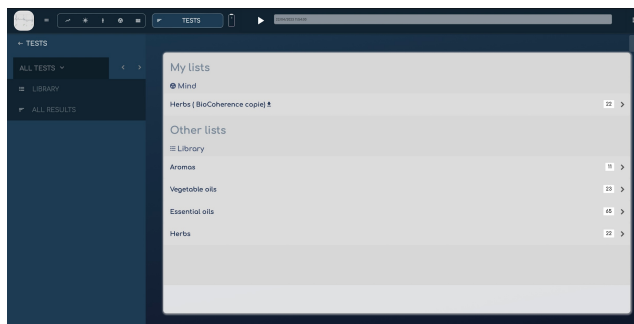
Searching, editing, sharing and choosing tests



Tests to otwarta platforma, na której twórcy mogą tworzyć i udostępniać swoje listy. Mogą Państwo wyszukiwać według słów kluczowych, twórcy lub typu testu, powielać istniejące testy, aby tworzyć własne i wyświetlać wszystkie wyniki testów dla bieżącego raportu za pomocą jednego kliknięcia.

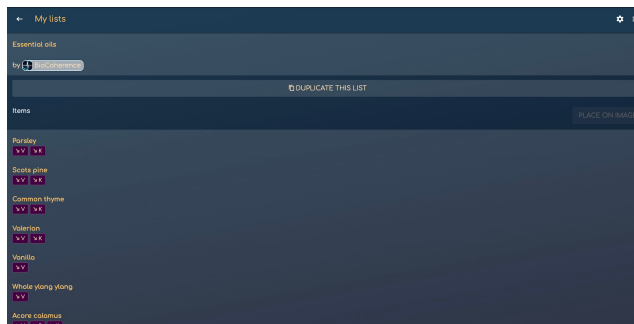
7.4. test: biofeedback ocena na żywo

Podczas uruchamiania testu informacje są wysyłane do użytkownika, a odpowiedź somatyczna jest oceniana.



7.5. testy: edytuj

Każdy profesjonalista może tworzyć testy dla siebie lub udostępniać je później. Dla każdego elementu na liście testów można określić działanie biomarkerów do automatycznej oceny lub dodać dowolny rodzaj informacji do oceny biofeedback.



3.2.

Szczegółowa instrukcja obsługi

Niniejsza instrukcja obejmuje wszystkie aspekty aplikacji, a każdy rozdział jest zilustrowany zrzutami ekranu i filmami wideo, aby pomóc Państwu zrozumieć, jak najlepiej korzystać z aplikacji

Uwaga: Niniejszy podręcznik zawiera **forum** dla każdego rozdziału. Jest to forum współpracy: można w nim uczestniczyć, zadając pytania lub udzielając odpowiedzi, które Państwo znają.

Aby uzyskać dostęp do filmów i forum według rozdziałów, proszę odwiedzić stronę biocoherence.net/tutorials

Spis treści

8.	wprowadzenie	37
8.1.	Przegląd interfejsu oprogramowania.....	37
8.2.	Proszę otworzyć raport.....	38
8.3.	Nagrywanie za pomocą czujnika.....	40
8.4.	Zarządzanie klientami.....	40
8.5.	Wieloczęściowy raport.....	42
9.	Proszę zrozumieć: Biomarkery	43
9.1.	Biomarkery w szczegółach.....	43
9.2.	Edycja i weryfikacja fali tętna (surowe nagranie).....	45
9.3.	Monitorowanie zmian biomarkerów w trakcie sesji.....	46
9.4.	Analiza częstotliwości i harmonicznym.....	46
9.5.	Łańcuch przyczynowy.....	47
9.6.	Poligraf.....	49
10.	Proszę zrozumieć: Energia	51
10.1.	Momentum.....	51
10.2.	Atomy.....	52
10.3.	Ajurwedyjska ocena energii.....	52
10.4.	Wizualizacja czakr.....	54
10.5.	Wpływy.....	54
11.	Proszę zrozumieć: Ciało	55
11.1.	Meridiany TCM.....	55
11.2.	Mapy narządów.....	56
11.3.	Punkty akupunktury.....	57
12.	Proszę zrozumieć: Umysł	59
12.1.	Wyrównanie.....	59
12.2.	Fale mózgowe.....	59
12.3.	Napędy.....	60
12.4.	Emocje.....	62
12.5.	Proszę się skupić.....	63
12.6.	Muzyka.....	64
12.7.	16 typów osobowości.....	65
12.8.	5 ran.....	67
13.	Test	68
13.1.	Lista testów.....	68
14.	Równowaga	71
14.1.	Priorytety.....	71
14.2.	Zasoby.....	72
14.3.	Raport PDF.....	74
14.4.	Równowaga: Medytacje, dźwięki i narzędzia.....	75
14.5.	Harmonic Boost.....	78
15.	Sztuczna inteligencja w BioCoherence	81
15.1.	Pomocnicy AI.....	81

8. wprowadzenie

Ogólna prezentacja tego przewodnika

W tym wprowadzeniu przyjrzymy się, jak otworzyć istniejący raport, zaimportować EKG z Health lub utworzyć nowy raport, nagrywając go za pomocą Sensor. Przyjrzymy się również początkowym koncepcjom aplikacji.

8.1. Przegląd interfejsu oprogramowania

Interfejs na komputerze, tablecie lub smartfonie; fora, kontekstowy dostęp ręczny i kontekstowe prośby o pomoc.

Po otwarciu raportu po nagraniu, dostępnych jest kilka elementów interfejsu, które pomagają w nawigacji i efektywnej analizie danych.

W górnej części interfejsu znajduje się menu zapewniające dostęp do różnych części raportu. Pasek nawigacyjny umożliwia poruszanie się po nagraniu. Menu główne podzielone jest na kilka sekcji. Aby powrócić do podsumowania, wystarczy kliknąć odpowiedni przycisk.

Główne sekcje obejmują :

- **Analiza skanowania:** Ta sekcja wyświetla różne ekrany, takie jak analiza ciała, energii, analiza techniczna biomarkerów, analiza umysłu i postępy w nagraniach.
- **Testy:** Obecnie ta sekcja ma tylko jedną pozycję, ale więcej opcji zostanie dodanych. Obejmuje ona testy listy, testy częstotliwości i testy na żywo.
- **Połączenia czujników:** Klikając ikonę baterii, można zainicjować połączenie Bluetooth z czujnikami i bezpośrednio rozpocząć nagrywanie.

Nawigacja w nagraniu może znajdować się na górze ekranu na komputerze lub na dole na telefonie, w zależności od rozmiaru ekranu. Można nawigować między sekcjami, takimi jak przed sesją, po sesji i zobaczyć wszystkie działania wykonane dla konkretnego klienta. Interfejs umożliwia również nawigację beat-by-beat w celu szczegółowej analizy w czasie rzeczywistym.

Zapisywanie raportów obejmuje informacje o kliencie, tytuł raportu i możliwość zapisania raportu w chmurze. Umożliwia to dostęp z wielu urządzeń i zabezpiecza dane z dala od lokalnego komputera. Można również zmienić klienta, jeśli nagranie zostało uruchomione na niewłaściwym profilu.

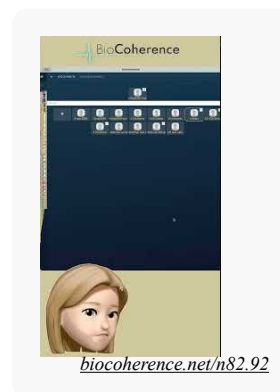
Menu ogólne w górnej części interfejsu oferuje kilka opcji:

- Powrót do strony głównej
- Edycja list testowych
- Zarządzanie kontaktami
- Modyfikacja danych kontaktowych i konta
- Zmiana subskrypcji
- Aktualizacja danych aplikacji
- Korzystanie z kalkulatora Elfie

Najnowsze wiadomości i opcja prośby o pomoc są dostępne na wszystkich stronach. W przypadku problemów technicznych mogą Państwo wejść w "Opinie i sugestie", zadać pytanie lub wysłać prośbę o wsparcie wraz ze zrzutem ekranu.

Prośby o pomoc, fora i podręczniki online

Aplikacja oferuje również pomoc kontekstową i zintegrowane filmy wideo dla każdego elementu. Ilekroć zobaczą Państwo symbol znaku zapytania (?), utworzy się mały tekst pomocy. Tekst ten może zapewnić bezpośredni dostęp do filmu wideo i strony



podręcznika. Zapewni on również dostęp do forum współpracy. Jeśli nie mają Państwo konkretnego problemu, ale chcieliby Państwo w tym momencie coś skomentować, lub jeśli potrzebują Państwo wyjaśnień między praktykami, mogą Państwo otworzyć to forum współpracy, klikając na znaki zapytania. Mogą tam Państwo zadawać pytania lub odpowiadać na pytania innych użytkowników.

Korzystanie z funkcji "Porady i sugestie" w celu uzyskania pomocy

Funkcja "Porady i sugestie" jest dostępna z dowolnej strony interfejsu i umożliwia zwrócenie się o pomoc w przypadku problemów technicznych. Oto jak skutecznie z niej korzystać:

1. Proszę otworzyć menu w prawym górnym rogu i przejść do menu "Powiadomienia i sugestie".
2. Proszę wpisać pytanie lub opisać problem w polu tekstowym.
3. System przeszuka bazę wiedzy w poszukiwaniu odpowiedzi na Państwa pytanie.
4. Jeśli odpowiedź zostanie znaleziona, zostanie ona wyświetlona bezpośrednio na ekranie.
5. Jeśli odpowiedź nie zostanie znaleziona, mogą Państwo wysłać zgłoszenie do pomocy technicznej.

Aby wysłać zgłoszenie do pomocy technicznej, mają Państwo dwie opcje:

- Proszę zrobić **zrzut ekranu**: Pomaga to lepiej zrozumieć, co dzieje się na ekranie. Po zrobieniu zrzutu ekranu można użyć narzędzi u góry, aby dodać adnotacje do obrazu. Można na przykład zakresić obszar problemu i dodać objaśniający dymek.
- Proszę **napisać zgłoszenie**: Można również po prostu napisać opis problemu bez robienia zrzutu ekranu.

Po dodaniu adnotacji do zrzutu ekranu lub napisaniu opisu:

- Proszę kliknąć "Zatwierdź".
- Proszę dodać trochę tekstu, jeśli to konieczne, aby wyjaśnić początkowe wyszukiwanie.
- Proszę wysłać wiadomość.

Państwa zgłoszenie zostanie następnie przekształcone w bilet ze wszystkimi niezbędnymi informacjami, aby zespół wsparcia mógł pomóc Państwu najlepiej, jak to możliwe. Proszę zawsze korzystać z menu "Porady i sugestie", gdy mają Państwo konkretne pytania lub problemy do rozwiązania.

Kontynuacja zgłoszeń

Nadal w menu "Porady i sugestie", trzeci przycisk "Śledź swoje zgłoszenia" otwiera wszystkie bieżące zgłoszenia, umożliwiając dodawanie informacji lub przeglądanie naszych odpowiedzi.

Powrót do strony głównej

Po powrocie do strony głównej wyświetlany jest ostatnio otwarty raport w celu szybkiego dostępu. Interfejs zawiera ważne sekcje do analizy skanowania, testowania na żywo, podsumowania skanowania i możliwości udostępniania wyników.

Interfejs został zaprojektowany tak, aby oferować płynną nawigację i wszechstronne narzędzia do analizy i udostępniania nagrań.

8.2. Proszę otworzyć raport

Proszę odkryć aplikację

Wprowadzenie

Witamy w rozdziale poświęconym aplikacji BioCoherence, dostępnej na smartfony i komputery. Aplikacja ta umożliwia śledzenie i analizowanie różnych biomarkerów w celu uzyskania lepszej równowagi ciała i umysłu.

Ekran główny

Po otwarciu aplikacji znajdują się Państwo na ekranie głównym. Mają Państwo dwie możliwości: rozpocząć nowy pomiar lub otworzyć przykładowy raport. Zalecamy rozpoczęcie od otwarcia przykładowego raportu, aby zapoznać się z interfejsem. Na ekranie głównym znajduje się również menu zawierające różne informacje, które opiszemy szczegółowo w kolejnych sekcjach.

Przykładowy raport

Po otwarciu przykładowego raportu zauważą Państwo, że obliczenia rozpoczynają się natychmiast. Zostaną Państwo przeniesieni do menu głównego, które jest podzielone na następujące sekcje:

- Bilansowanie: Priorytety, Zasoby
- Raporty: Raport PDF, Medytacje z przewodnikiem
- Szczegółowa analiza: Biomarkery, Energia, Ciało, Umysł, Progresja

Aplikacja komputerowa

Aplikacja komputerowa oferuje podobne wrażenia jak na smartfonie, z większą przestrzenią do nawigacji. Menu i sekcje są identyczne, ale wyświetlacz jest zoptymalizowany pod kątem większych ekranów.

Nawigacja

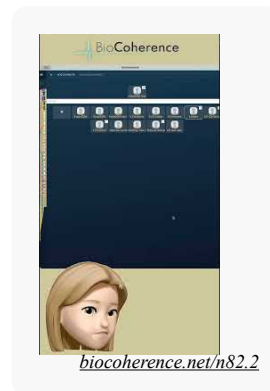
Niezależnie od tego, czy korzystają Państwo ze smartfona, czy komputera, obszar nawigacji jest dostępny u góry lub u dołu ekranu. Pozwala to na przechodzenie z jednej sekcji do drugiej, zwłaszcza w celu porównania nagrań przed i po treningu lub śledzenia dziennych postępów w danym okresie. Aby cofnąć się lub przejść dalej w nagraniu, wystarczy nacisnąć przycisk "play" i nawigować po nagraniu.

Analiza biomarkerów

Po wybraniu sekcji "Biomarkery" można przeanalizować dane, takie jak fala tętna. Analiza ta może się różnić w zależności od typu markera i czasu rejestracji. Na komputerze dostępne są dodatkowe zakładki, takie jak "Testy" i "Postęp", oferujące szczegółowy widok ewolucji biomarkerów w trakcie sesji.

Podsumowanie

Niniejszy rozdział zawiera ogólny przegląd aplikacji BioCoherence. W celu dogłębnego zrozumienia każdego ekranu i funkcji, zapraszamy Państwa do zapoznania się z uzupełniającymi filmami wideo.



8.3. Nagrywanie za pomocą czujnika

Dostępnych jest kilka metod wykonania czystego zapisu EKG za pomocą BioCoherence. Mogą Państwo rozpocząć od strony głównej, inicjując nowy zapis i klikając "nagraj". Inną opcją jest rozpoczęcie od strony "postępu" lub klikając ikonę baterii u góry ekranu. Czynności te automatycznie łączą aplikację z czujnikiem Bluetooth i rozpoczynają nagrywanie.

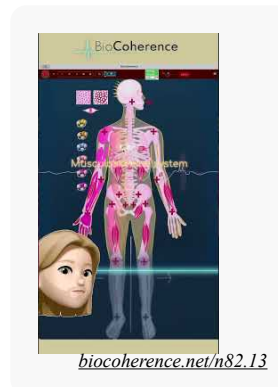
Podczas nagrywania wyświetlana jest animacja ilustrująca oczekiwane wyniki. Animacja ta nie jest jednak aktualizowana w czasie rzeczywistym wraz z pomiarami. Dane zostaną obliczone po zakończeniu nagrywania. Animacja pomaga określić czas potrzebny do uzyskania dobrego nagrania, najlepiej co najmniej dwie minuty.

Trzy suwaki w górnej części ekranu, oznaczone jako "energia", "aktywność" i "łącze", wypełniają się stopniowo. Kursory te muszą być całkowicie wypełnione, aby upewnić się, że zebrane informacje są wystarczające do obliczenia wszystkich niezbędnych zmiennych. Gdy kursory te osiągną 100%, zapis uznaje się za wystarczający.

Aby zapewnić jakość zapisu, proszę umieścić kciuk na każdym czujniku. Jeśli sygnał nie jest dobrej jakości, proszę użyć żelu do elektrod lub lekko zwilżyć palce. Jakość sygnału jest oceniana automatycznie. Na przykład, jeśli zdejmą Państwo palec, rejestracja zostanie natychmiast zatrzymana. Jeśli włoży Pan/Pani palec z powrotem, ponowne połączenie zajmie około sekundy, ale może być konieczna ponowna kalibracja.

Jeśli nie wywierają Państwo wystarczającego nacisku, poruszają się lub wykonują nagłe ruchy, ekran zmienia kolor na czerwony, wskazując, że dane nie są brane pod uwagę. Urządzenie zaczeka na ponowną kalibrację, sygnalizowaną powrotem zielonych punktów i brakiem czerwonego tła, przed wznowieniem rejestrowania danych dobrej jakości.

Gdy kursory zapełnią się w 100%, proszę kliknąć "Stop". Następnie aplikacja przeliczy wszystkie dane i będą Państwo mogli zapoznać się z różnymi głównymi rozdziałami zapisu skanu.



8.4. Zarządzanie klientami

Przegląd

BioCoherence Pro pozwala na współpracę z nieograniczoną liczbą klientów, z których każdy może być połączony za pośrednictwem własnej aplikacji. Niniejszy rozdział poprowadzi Państwa przez etapy zarządzania i udostępniania informacji klientom.

Wybór klienta

Na wszystkich stronach, na których trzeba wybrać klienta, w prawym górnym rogu dostępny jest przycisk umożliwiający dokonanie tego wyboru. Aby znaleźć klienta, wystarczy wpisać jego nazwę w polu wyszukiwania. System wyświetli odpowiednich klientów i liczbę rekordów dostępnych dla każdego z nich.

Zarządzanie rekordami

Po wybraniu klienta zobaczą Państwo rekordy dostępne dla tego klienta. Rekordy mogą być oznaczone różnymi piktogramami:

- Piktogram wskazuje, że rekord jest przechowywany na komputerze lokalnym.
- Inny piktogram wskazuje, że nagranie znajduje się w chmurze.
- Trzeci piktogram wskazuje, że klient ma dostęp do tego nagrania.

Udostępnianie raportów

Po otwarciu raportu można wybrać, czy chcą Państwo udostępnić go klientowi. Na stronie głównej znajduje się przycisk umożliwiający modyfikację informacji o kliencie, takich jak płeć, adres e-mail i zdjęcie. Informacje te są kluczowe dla wizualizacji specyficznych dla narządów płciowych i czakr.



Wysyłanie zaproszeń

Aby wysłać zaproszenie do klienta, proszę wpisać jego adres e-mail i kliknąć przycisk "Wyślij e-mail". Mogą Państwo również udostępnić link do zaproszenia lub tekst za pośrednictwem wiadomości SMS, WhatsApp lub innej aplikacji dostępnej na Państwa urządzeniu. Wiadomość można wysłać w języku angielskim lub francuskim, zmieniając język za pomocą selektora flag.

Korzystając z tych funkcji, mogą Państwo łatwo zarządzać i udostępniać informacje swoim klientom w BioCoherence Pro, zapewniając jednocześnie wydajną i bezpieczną komunikację.

Zarządzanie użytkownikami i klientami w BioCoherence, w szczególności

Aplikacja BioCoherence zapewnia kompleksowe funkcje zarządzania użytkownikami i klientami, umożliwiając użytkownikom zarządzanie własnymi profilami i profilami klientów. W tej sekcji opisano szczegółowo funkcje dostępne do zarządzania użytkownikami i klientami w aplikacji, w tym tworzenie nowych kontaktów, przełączanie między użytkownikami i zarządzanie danymi użytkownika.

Wyświetlanie bieżącego użytkownika

- **Wyświetlanie użytkownika:** Bieżący użytkownik jest wyświetlany w górnej części ekranu głównego interfejsu aplikacji. Może to być Pan/Pani (główny użytkownik) lub dowolny klient lub kontakt.
- **Funkcja prywatności:** Użytkownicy mogą zamazać wszystkie nazwy i zdjęcia, klikając ikonę zamazania, zapewniając prywatność, gdy inni mogą oglądać ekran.

Analiza użytkownika

- **Wyświetlanie analizy:** Kliknięcie "Otwórz analizę" lub "Zobacz wszystkie analizy" spowoduje wyświetlenie analiz powiązanych tylko z bieżącym użytkownikiem.
- **Przełączanie użytkowników:** Aby przełączyć użytkownika, proszę kliknąć na ikonę dwóch strzałek, aby uzyskać dostęp do katalogu użytkowników. Główny użytkownik jest zawsze wyświetlany na górze listy.

Katalog użytkowników

- **Dostęp do katalogu użytkowników:** Proszę kliknąć ikonę dwóch strzałek, aby otworzyć katalog użytkowników.
- **Wyszukiwanie użytkowników:** Proszę użyć ikony wyszukiwania (szkiełka) na dole strony, aby filtrować użytkowników poprzez wprowadzenie słów kluczowych.
- **Tworzenie nowych kontaktów:** Proszę wejść do listy kontaktów poprzez menu i kliknąć "Utwórz nowy kontakt", aby dodać nowego użytkownika. Proszę określić płeć w celu dokładnego wyświetlenia na ekranie. Proszę dodać adres e-mail, jeśli chcą Państwo zaprosić użytkownika, udostępnić mu raport lub dać mu dostęp do raportu w jego aplikacji.

Zarządzanie kontaktami

- **Edycja kontaktów:** Edycja bieżących danych kontaktu, w tym imienia i nazwiska, adresu e-mail i płci. Wybór płci wpływa na wyświetlanie ekranu, szczególnie w przypadku analiz specyficznych dla płci.
- **Integracja poczty e-mail:** Dodanie adresu e-mail umożliwia bezpośrednie wysyłanie raportów PDF i tworzy konto na serwerze dla użytkownika.
- **Dodatkowe informacje:** Opcjonalne pola obejmują datę urodzenia, wagę i osobiste notatki. Data urodzenia nie jest obecnie wykorzystywana w obliczeniach, ale będzie używana w przyszłych funkcjach, takich jak porównywanie wieku biologicznego.

Zarządzanie plikami użytkownika

- **Zapisywanie plików:** Analizy są zapisywane w plikach użytkownika. Proszę upewnić się, że analizy są zapisywane pod właściwym użytkownikiem, aby uniknąć pomyłek. Na tym etapie można zmienić użytkownika, jeśli wystąpił błąd, taki jak rozpoczęcie rekordu pod innym użytkownikiem.
- **Przesyłanie do chmury:** Analizy można przysyłać do chmury w celu ich udostępniania. Jest to niezbędne do udostępniania dostępu klientom.

Udostępnianie i zapraszanie użytkowników

- **Zapraszanie użytkowników:** Wysyłanie zaproszeń do użytkowników za pośrednictwem wiadomości e-mail lub SMS, umożliwiając im dostęp do raportów i korzystanie z aplikacji.

- **Udostępnianie raportów:** Udostępnianie raportów PDF klientom. Raporty można dostosować, wybierając sekcje, które mają zostać uwzględnione.

Kompatybilność urządzeń i aktualizacje

- **Kompatybilność urządzeń:** Aplikacja jest kompatybilna z różnymi platformami, a aktualizacje są regularnie wydawane w celu poprawy funkcjonalności.
- **Aktualizacja aplikacji:** Użytkownicy powinni regularnie sprawdzać aktualizacje, aby upewnić się, że mają najnowsze funkcje i poprawki.

Dodatkowe funkcje

- **Analiza wielu widoków:** Porównywanie wielu zmiennych w nagraniach w czasie rzeczywistym. Przydatne do badań i szczegółowej analizy. Można wyświetlać i porównywać historię danego kontaktu.
- **Integracja z Apple Health:** Import nagrań z Apple Health. Proszę zauważyć, że import na urządzeniu odbywa się z konta Apple Health głównego użytkownika. Jeśli wykonują Państwo nagranie na własnym zegarku Apple Watch, można je zaimportować tylko z własnego urządzenia. Jeśli więc nagranie jest wykonywane na zegarku Apple Watch klienta, import musi zostać wykonany z jego urządzenia, przy użyciu jego aplikacji i loginu. Następnie może on udostępnić je Państwu.

Prywatność i zarządzanie danymi

- **Lokalne przechowywanie danych:** Wszystkie obliczenia i dane są przechowywane lokalnie na urządzeniu. Przechowywanie w chmurze jest opcjonalne i wykorzystywane wyłącznie do celów udostępniania.
- **Bezpieczeństwo danych:** Aplikacja może działać bez dostępu do Internetu, zapewniając bezpieczeństwo i prywatność danych.

Rozwój w przyszłości

- **Uproszczona wersja aplikacji:** Dostępna będzie uproszczona wersja aplikacji, skupiająca się na nagrywaniu, odtwarzaniu częstotliwości i odczytywaniu raportów.

Ten kompleksowy przewodnik po zarządzaniu użytkownikami i klientami w aplikacji BioCoherence gwarantuje, że użytkownicy mogą skutecznie zarządzać swoimi profilami i profilami swoich klientów, zwiększając ogólne wrażenia użytkownika.

8.5. Wieloczęściowy raport

Aby sprawdzić szczegóły raportu, proszę zacząć od otwarcia danego raportu. Proszę kliknąć na jego nazwę, aby go otworzyć, co spowoduje wyświetlenie różnych elementów, które zawiera. W górnej części ekranu na komputerze lub w dolnej części na telefonie wyświetlane są różne sekcje raportu. Domyślnie widoczny jest cały rekord, ale można wybrać wyświetlanie tylko pierwszej lub drugiej sekcji.

Dostęp do szczegółów sekcji można uzyskać za pośrednictwem zakładki "Progresja", również znajdującej się w środkowej części interfejsu strony głównej. Zakładka ta pokazuje ewolucję różnych zmiennych w trakcie trwania nagrań. Na przykład, można zobaczyć nagrania w odstępie 5 minut, 4 minut 30 lub nagrania o różnej długości, takie jak 40 sekund i 20 sekund.

Możliwe jest również dodawanie komentarzy do tych nagrań. Ta funkcja umożliwia dokumentowanie początku i końca sesji lub dodawanie adnotacji do określonych działań w celu obserwowania ewolucji znaczników w trakcie sesji.

Różne nagrania są bezpośrednio dostępne, co pozwala na porównywanie stanu biomarkerów, sekcja po sekcji, i obserwowanie zmian w pędzie, czakrach itp. Funkcje te oferują szczegółowy, porównawczy widok różnych sekcji raportu.



9. Proszę zrozumieć: Biomarkery

Analiza techniczna fali tętna

Ekran te umożliwiają techniczną analizę fali tętna, taką jak ekstrakcja częstotliwości i harmonii, edycja nagrania, bezpośrednia analiza fali, wykres ewolucji biomarkerów...

9.1. Biomarkery w szczegółach

Wprowadzenie

W tym rozdziale zbadamy szczegóły biomarkerów w interfejsie użytkownika. Weźmy przykład czakr, aby zilustrować ich działanie i sposób wyświetlania odpowiednich informacji.

Dostęp do czakr

Po wejściu na stronę poświęconą czakrom, wyświetlane są różne czakry. Klikając na konkretną czakrę, powiązane biomarkery pojawiają się po prawej stronie ekranu.

Energia i pobudzenie

Pierwszym kluczowym elementem jest energia, zasób oceniany na podstawie poziomu energii i pobudzenia. Po lewej stronie ekranu wizualizowana jest energia, a na dole wyświetlane jest pobudzenie. Oba aspekty są reprezentowane przez 9 różnych płatków, opisujących stan energii i pobudzenia:

- Tutaj wysoka energia i niskie pobudzenie wskazują na zasób.

Dodatkowe informacje

Wyświetlane są również inne informacje:

- Poziom uwagi
- Poziom intencji
- Horyzont czasowy (krótko-, średnio- lub długoterminowy)
- Główny cykl elementu

Ewolucja i średnia

Możliwe jest śledzenie ewolucji biomarkerów w trakcie sesji, podzielonej na cztery części. Można na przykład zaobserwować zmienność energii, z fazami wzrostu i spadku, co pozwala ocenić ogólną średnią.

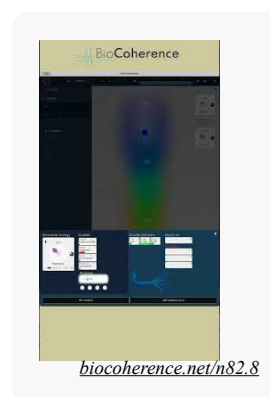
Priorytety

Każda strona biomarkerów oferuje ponad 1400 różnych biomarkerów. Przycisk umożliwia automatyczne dodanie biomarkera do priorytetów. Kliknięcie przycisku "Dodaj do priorytetów" powoduje oznaczenie tego elementu do dalszego leczenia, takiego jak medytacje lub częstotliwości reharmonizacji. Proces dodawania i usuwania odbywa się za pomocą jednego kliknięcia.

Jakość łącza

Wskazane są powiązania między elementami tej samej rodziny (np. czakrami):

- Liczba włókien (połączeń)
- Punkty rezonansowe



- Procent dyfuzji (np. 33% połączonych czakr)

Przyciski bezpośredniego dostępu

Dwa przyciski ułatwiają nawigację:

- Bezpośredni dostęp do czakry
- Bezpośredni dostęp do pełnoekranowej strony analizy biomarkerów

Pomoc i informacje

Znak zapytania jest dostępny na każdej stronie, dostarczając dodatkowych informacji na temat płatków i znaczeń różnych rezonansów i regulacji.

Krótko mówiąc, interfejs ten umożliwia szczegółowe, spersonalizowane zarządzanie biomarkerami, ułatwiając analizę i optymalizację czakr i innych powiązanych elementów.

Energia biomarkera i informacje o pobudzeniu

Energia

Pionowa skala po lewej stronie pokazuje średnią energię biomarkera. Niska wartość (na dole) oznacza biomarker o niskiej energii. Wysoka wartość (na górze) oznacza biomarker o wysokiej energii. W przypadku niektórych biomarkerów (np. punktów akupunkturowych, emocji...) energia może być ujemna lub dodatnia, wskazując na wpływ na ogólną równowagę. W tym przypadku niska energia jest wskazywana w środku skali.

Pobudzenie

Pozioma skala na dole pokazuje średnie pobudzenie biomarkera. Niska wartość (po lewej stronie) wskazuje głównie statyczny biomarker. Wysoka wartość wskazuje na biomarker w większości pobudzony.

Płatki biomarkera

8 płatków (plus otwarty kwiat, wszystkie 8 płatków w równowadze) wskazuje główną strefę energii/ pobudzenia biomarkera.

Statyczny

Niska energia, niskie pobudzenie. Jest to najniższa możliwa aktywność biomarkera. Zwykle wiąże się z przewlekłymi, długotrwałymi schorzeniami.

Niska energia

Niska energia, normalne pobudzenie. Ten biomarker ma niską, ale funkcjonalną aktywność.

Napięty

Niski poziom energii, wysokie pobudzenie. Jest to oznaka niepokoju.

Stabilizacja

Normalna energia, niskie pobudzenie. Ten biomarker jest stabilnym filarem.

Elastyczny

Normalna energia, normalne pobudzenie. Otwarty kwiat wskazuje na optymalny stan funkcjonalny.

Uczący się

Normalna energia, wysokie pobudzenie. Wskazuje na proces uczenia się, zwykle w reakcji na informacje zewnętrzne.

Zasoby

Wysoka energia, niskie pobudzenie. Jest to cecha głównych zasobów.

Adaptacja

Wysoka energia, normalne pobudzenie. Wskazuje na proces adaptacji, zwykle w reakcji na jakiś bodziec zewnętrzny.

Destabilizujący

Wysoka energia, duże pobudzenie. Wskazuje na ostrą, trudną do rozwiązania sytuację.

Informacje o regulacji biomarkera

Jest to nieliniowa analiza biomarkera.

Uwaga

Wskazuje siłę zarządzania biomarkerem.

Zamiar

Niższa wartość wskazuje na rozproszenie (obecność wielu jednoczesnych regulacji biomarkera). Wyższa wartość wskazuje na skupienie (silnie obecna główna regulacja biomarkera). Wartość ujemna wskazuje na chaos (brak jasnych regulacji). Zawyżona wartość wskazuje na nadmierną czujność (zbyt silna regulacja).

Horyzont

Niższa wartość wskazuje na krótkoterminowe pobudzenie (więcej krótkoterminowego zarządzania w regulacji biomarkera niż długoterminowego). Wyższa wartość wskazuje na długoterminowe rozluźnienie (bardziej długoterminowe zarządzanie regulacją biomarkera niż krótkoterminowe).

Informacje o rezonansie biomarkera

Jest to nieliniowa analiza rezonansów między biomarkerami w tej samej grupie.

Nici

Wskazuje całkowitą liczbę rezonansów z innymi biomarkerami w grupie (liczba wątków głównej liny).

Sila

Wskazuje całkowitą długość powiązań z innymi biomarkerami w grupie (szerokość głównej liny).

Zasięg

Wskazuje odsetek innych markerów w tej samej kategorii, z którymi ten biomarker ma powiązania (rozdzielenie głównej liny na poszczególne liny).

Zasoby

Zasoby są silnymi powiązaniem z innymi biomarkerami. Zasób wskazuje na wymianę energii między 2 systemami. Wskazany jest główny kierunek wymiany energii (otrzymuje od lub wysyła do). Zasoby są uporządkowane w pierwszej kolejności według najpotężniejszych zasobów, od których otrzymuje, lub najbardziej potrzebujących zasobów, do których wysyła.

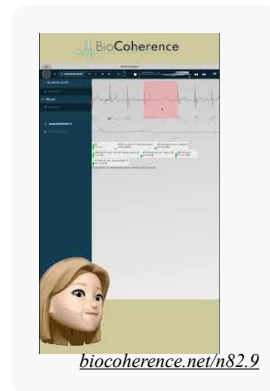
9.2. Edycja i weryfikacja fali tętna (surowe nagranie)

W tej sekcji przyjrzymy się, jak edytować falę tętna w przypadku problemów z nagrywaniem oraz jak sprawdzić nieprzetworzoną falę. Aby rozpocząć, proszę przejść do sekcji "biomarker" i wybrać "fala tętna". Będą Państwo mogli zobaczyć kształt fali każdego uderzenia serca, punkt po punkcie. Ta wizualizacja bicia po bicia jest przydatna do porównywania i obserwowania ewolucji każdej fali.

Oprócz średniej fali, do której jesteśmy przyzwyczajeni, ważne jest, aby pamiętać, że prawdziwy kształt fali jest często znacznie bardziej chwiejny wokół tej średniej. Jeśli podczas nagrywania wystąpi problem, na przykład część fali nie zostanie wykryta, oprogramowanie automatycznie dezaktywuje tę sekcję. Można jednak ponownie aktywować tę sekcję, jeśli zdecydują Państwo, że powinna ona zostać uwzględniona.

W tym celu wystarczy kliknąć odpowiednią sekcję. Mogą Państwo również aktywować lub dezaktywować poszczególne uderzenia jednym kliknięciem. Dezaktywowane uderzenia nie będą już brane pod uwagę przy obliczaniu kwiatów ani na wykresie.

Wreszcie, poniżej fali tętna znajdują Państwo zestaw statystyk technicznych, takich jak odstęp RR, odstęp PR, odstępy QRS itp. Dane te mogą dostarczyć cennych informacji do dalszej analizy.



9.3. Monitorowanie zmian biomarkerów w trakcie sesji

Aby przeanalizować ewolucję biomarkera w czasie, proszę przejść do zakładki "Biomarker" i otworzyć "Session" proszę wpisać "Dynamics". Zobacz Państwo pełną ewolucję biomarkera w czasie.

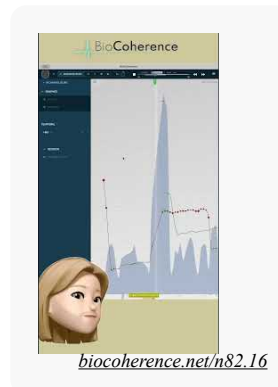
W trybie odtwarzania można przesuwać kursor punkt po punkcie, aby obserwować różne części ewolucji. W dolnej części ekranu znajdują się znaczniki wskazujące odstępy między poszczególnymi częściami sesji. Można dostosować powiększenie w celu dokładniejszej analizy i nawigować między różnymi częściami sesji, czy to drugą, trzecią itd.

Zdarzenia można dodawać, klikając w wybranym miejscu. Na przykład, jeśli wykonają Państwo godną uwagi czynność, mogą Państwo oznaczyć to zdarzenie. Po dodaniu wydarzenie jest widoczne jako znacznik u dołu ekranu, a klikając na nie, można ponownie uzyskać do niego dostęp. Można również przenieść wydarzenie, edytując je, a następnie potwierdzając nową pozycję.

Zdarzenia są używane do odnotowywania ważnych aspektów praktyki, a także pojawiają się w podsumowaniu różnych części. Wykres ewolucji jest podzielony na kilka segmentów: bardzo krótkoterminowy (niebieskie tło dla natychmiastowej ewolucji), średnioterminowy, długoterminowy i bardzo długoterminowy. Wykres bardzo długoterminowy przedstawia średnią z dłuższego okresu, a do jego obliczenia potrzeba około 90 uderzeń serca.

Analiza relacji między krzywą bardzo krótkoterminową a średnioterminową ma kluczowe znaczenie. Czasami krzywa bardzo krótkoterminowa znajduje się powyżej lub poniżej krzywej średnioterminowej. Gdy krzywa jest poniżej, jest zaznaczona na czerwono, a gdy jest powyżej, jest zaznaczona na zielono. Wskazania te dostarczają ważnych informacji do oceny chwilowych trendów podczas testów.

Na koniec dostępna jest synteza informacji w postaci "kwiatka" wskazującego poziomu energii i pobudzenia. To podsumowanie można również analizować część po części, aby obserwować ewolucję w różnych sekcjach.



9.4. Analiza częstotliwości i harmoniczných

Dzięki operacji matematycznej zwanej FFT, fala jest przekształcana w częstotliwości, a następnie te częstotliwości są analizowane w celu znalezienia ich harmoniczných.

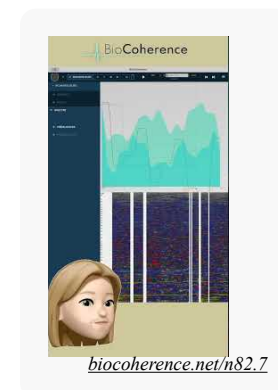
W tym rozdziale przyjrzmy się częstotliwościom i harmoniom obliczonym na podstawie kształtu fali. Pozostajemy w przestrzeni biomarkerów, tj. na liście technicznej.

Aby rozpocząć, proszę otworzyć częstotliwości. Zobacz Pan(i) wyświetlacz od 0 do 60 Hz. W górnej części tego wyświetlacza znajdują Państwo najniższe częstotliwości, tj. bardzo niskie częstotliwości poniżej 0,03 Hz, niskie częstotliwości i wysokie częstotliwości około 0,4 Hz. Te zakresy częstotliwości zazwyczaj zawierają bardzo interesujące informacje.

Najpierw przyjrzmy się zakresowi 0-3 Hz, ale możliwe jest również znalezienie informacji na temat innych pasm częstotliwości.

Następnie proszę przejść do sekcji Harmoniczne. Sekcja ta wykonuje obliczenia na częstotliwościach, aby określić, które z nich są najsilniejsze. Uzyskane tutaj informacje są również istotne dla różnych biomarkerów. Ta analiza techniczna pozwala zeskanować nagranie i zidentyfikować dominujące częstotliwości. Trudno jest odróżnić istotne informacje gołym okiem na tych wyświetlaczach, ale jest to jedna z podstaw tego, co aplikacja wykorzystuje do obliczania biomarkerów...

FFT (Fast Fourier Transform) to algorytm, który szybko i wydajnie oblicza transformate Fouriera. Jest szeroko stosowany w przetwarzaniu sygnałów, analizie widmowej i kompresji danych. Transformata Fouriera jest narzędziem matematycznym, które rozkłada funkcję lub sygnał na sumę sinusoid o różnych częstotliwościach. Przekształca ona sygnał z dziedziny czasu do dziedziny częstotliwości.



9.5. Łańcuch przyczynowy

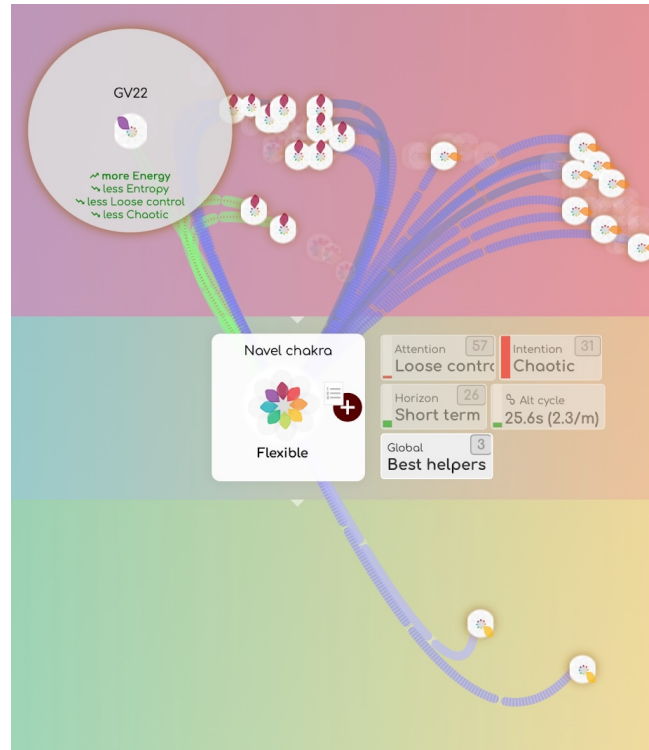
Funkcja Causal Chain w BioCoherence zapewnia kompleksowy sposób analizy wzajemnych powiązań między różnymi biomarkerami, umożliwiając użytkownikom identyfikację głównych przyczyn braku równowagi i określenie najskuteczniejszych interwencji. W przeciwieństwie do poprzednich metod, które wyświetlały tylko relacje w ramach tej samej kategorii (np. narządy powiązane z innymi narządami), Łańcuch Przyczynowy rozszerza tę analizę o wszystkie kategorie biomarkerów, takie jak meridiany, czakry, atomy, patogeny i inne:

- Zidentyfikować podstawowe przyczyny braku równowagi.
- Określenie, które biomarkery są ze sobą w rezonansie.
- Znaleźć najlepszych pomocników w celu przywrócenia równowagi.
- Zbudować spersonalizowaną listę priorytetów dla harmonizacji.

Dostęp do łańcucha przyczynowego

Aby uzyskać dostęp do łańcucha przyczynowego:

1. Proszę otworzyć analizę i przejść do sekcji Biomarkery.
2. Proszę wybrać interesujący biomarker (np. narząd, meridian lub dysk).
3. Proszę kliknąć podmenu Łańcuch przyczynowy w menu Relacje.



Spowoduje to otwarcie nowego interfejsu wyświetlającego wszystkie biomarkery, które są w rezonansie z wybranym biomarkerem.

Zrozumienie interfejsu łańcucha przyczynowego

Interfejs łańcucha przyczynowego przedstawia mapę sieci wzajemnie połączonych biomarkerów. Kluczowe elementy obejmują:

1. Biomarker centralny

- Wybrany biomarker jest umieszczony w centrum mapy.
- Wszystkie inne biomarkery, które z nim rezonują, są wyświetlane wokół niego.
- Można kliknąć dowolny biomarker wokół, aby umieścić go w centrum i ponownie obliczyć wokół niego.

2. Biomarkery rezonujące

- Wyświetlane są tylko biomarkery, które są obecnie w rezonansie z biomarkerem centralnym.
- Są one podzielone na różne grupy, takie jak narządy, meridiany, czakry, atomy, patogeny i inne. Grupy wyświetlane są w dolnej części ekranu. Proszę kliknąć na nazwę grupy, aby wyświetlić powiązane biomarkery. Każda grupa może wyświetlać jedną lub dwie liczby:
 - zawsze, liczba powiązanych biomarkerów w tej grupie
 - tylko jeśli są, w białym kółku: liczba dużych linków (najlepszych pomocników) w tej grupie.

3. Siła powiązania

Każde połączenie między biomarkerami jest oznaczone kolorem:

- Duże powiązanie (białe, zielone lub niebieskie): Najlepsi pomocnicy, z najsilniejszym rezonansem i najbardziej zdolni do pomocy (najlepsza poprawa energii, pobudzenia i jakości)
- Zielony: Pozytywny wpływ na centralny biomarker (np. zwiększenie energii, zmniejszenie entropii).
- Niebieski: Centralny biomarker wysyła energię w jego kierunku.
- Drobne linki wskazują konkretne relacje związane z uwagą, intencją i horyzontem. Legenda na górze pokazuje ich znaczenie.

4. Mapowanie energii i entropii

- Biomarkery są rozmieszczone na mapie graficznej w oparciu o poziomy energii (od niskiego do wysokiego) i pobudzenia (entropii) (od niskiego do wysokiego), w taki sam sposób, w jaki płatki są zorganizowane na kwiatach.
- Pozwala to użytkownikom wizualnie ocenić, które biomarkery przyczyniają się do stabilności lub braku równowagi.

5. Filtrowanie i najlepsi pomocnicy

Użytkownicy mogą filtrować wyświetlane biomarkery w oparciu o określone cechy:

- Zwiększa uwagę
- Zwiększa intencję
- Zwiększa horyzont
- Zgodność z głównymi cyklami
- Najlepsi pomocnicy (biomarkery, które zapewniają najbardziej korzystny wpływ)

6. Nawigacja i historia

- Kliknięcie dowolnego biomarkera spowoduje wyśrodkowanie go w analizie, umożliwiając użytkownikom zbadanie jego własnego łańcucha przyczynowego.
- Panel historii śledzi ścieżkę eksploracji, umożliwiając użytkownikom powrót do poprzednich biomarkerów.
- Użytkownicy mogą powrócić do pierwotnego biomarkera lub zagłębić się w powiązane biomarkery.

Wykorzystanie łańcucha przyczynowo-skutkowego do analizy

Krok 1: Identyfikacja przyczyny źródłowej

- Proszę rozpocząć od biomarkera, który pojawia się na liście priorytetów.
- Proszę otworzyć Łańcuch przyczynowy, aby zobaczyć, które biomarkery mają na niego wpływ.

Krok 2: Znajdź najlepszych pomocników

- Proszę użyć filtra Best Helpers, aby zidentyfikować biomarkery, które mogą pozytywnie wpływać na biomarker centralny.
- Proszę szukać zielonych połączeń, ponieważ wskazują one na najsilniejsze korzystne relacje z nim.
- Niebieskie połączenia mogą wskazywać na inne elementy wspomagane przez ten biomarker i pobierające od niego energię, ujawniając w ten sposób powiązania przyczynowe, które mogą wyjaśnić obecne stany.

Krok 3: Tworzenie niestandardowej listy priorytetów

- Proszę kliknąć na biomarker i dodać go do listy priorytetów.
- Proszę kontynuować badanie powiązanych biomarkerów i dodawanie odpowiednich do listy.
- Zapewnia to, że proces harmonizacji dotyczy nie tylko objawów, ale także przyczyn leżących u ich podstaw.

Krok 4: Zastosowanie wyników

- Proszę użyć funkcji Harmonic Boost, aby odtworzyć wybrane częstotliwości.
- Jeśli ma to zastosowanie, proszę zintegrować punkty, narządy, meridiany lub atomy TCM z procesem harmonizacji.
- Proszę ulepszyć Harmonic Boost, dodając wybrane protokoły do każdego biomarkera.
- Proszę monitorować postępy podczas wielu sesji, aby śledzić poprawę.

Przykładowy przypadek użycia

Scenariusz: Rozwiązanie problemu braku równowagi w płucach

1. Proszę wybrać Płuca z listy Priorytety.
2. Proszę otworzyć Łańcuch przyczynowy, aby zobaczyć powiązane biomarkery.
3. Zidentyfikować najlepszych pomocników: na przykład Organy: Żołądek, Wątroba - Meridiany: Nerki, Pęcherz moczowy - Atomy: Tantal, Osm - Napędy: Brak zaufania, Nadwrażliwość
4. Proszę dodać najistotniejsze biomarkery do listy priorytetów.
5. Proszę odtwarzać częstotliwości harmonizujące (Harmonic Boost) i programy (Personal Guide) oraz śledzić postępy w czasie.

Korzyści płynące z łańcucha przyczynowo-skutkowego

- Analiza holistyczna: Zapewnia pełny obraz wzajemnych powiązań między różnymi biomarkerami.
- Spersonalizowane podejście: Dostosowuje harmonizację do unikalnego stanu energetycznego danej osoby i pozwala rozpocząć od konkretnego objawu dolegliwości i znaleźć odpowiednie elementy łańcucha przyczynowego.
- Głębszy wgląd: Pomaga praktykom i użytkownikom zrozumieć podstawowe przyczyny braku równowagi.
- Skuteczna priorytetyzacja: Koncentruje się na najbardziej istotnych biomarkerach, zapewniając szybsze wyniki.

Łańcuch przyczynowy jest potężnym narzędziem w BioCoherence, które zwiększa zdolność do analizowania i rozwiązywania nierównowagi na głębszym poziomie. Poprzez mapowanie relacji między biomarkerami i identyfikację najlepszych pomocników, użytkownicy mogą tworzyć wysoce skuteczne programy Harmonic Boost i Personal Guide dostosowane do ich konkretnych potrzeb.

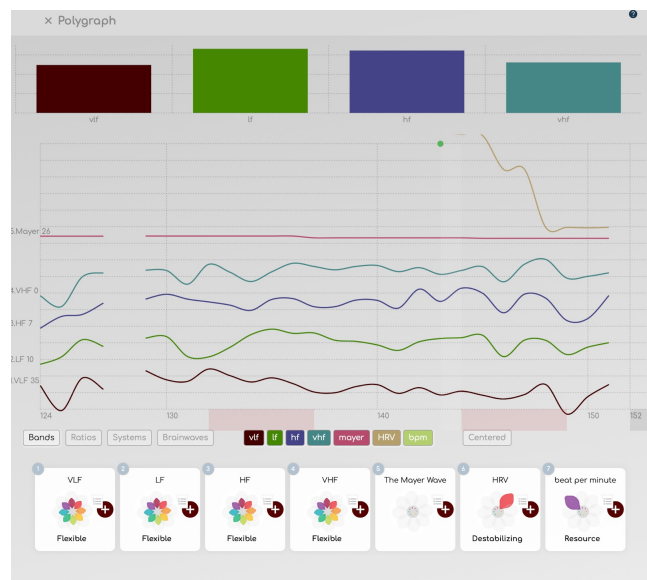
9.6. Poligraf

Ekran ten wykorzystuje głównie biomarkery akademickie.

Zapewnia wygodny sposób wyświetlania np. proporcji VHF, HF, LF i VLF oraz wykresu liniowego do 7 ważnych krzywych.

Można z niego korzystać w czasie rzeczywistym podczas nagrywania, podobnie jak ze wszystkich ekranów (wystarczy przełączyć ekran podczas nagrywania). Wszystkie te znaczniki pochodzą z badań akademickich nad EKG. Można wyświetlić do 7 wybranych pasm, równoległe lub wyśrodkowanych na tej samej linii.

- W trybie **Bands**, 7 linii to: Bpm, HRV, fale Mayera, VHF, HF, LF i VLF.
- W trybie **Ratios**, 7 linii to: SDNN (moc całkowita), SI (indeks stresu), IC (indeks centralizacji), LF/HF (moc, interakcja wago-sympatetic), LF/VLF (relaks), VLF/HF (stres) i VLF HF (aktywność globalna).
- W trybie **systemów**: CNS, Ortho, Symp, Para, IRSA, Immunity, HRV.
- W trybie **Brainwaves**: Delta, Theta, Alpha, Beta, Beta1, Beta2, Gamma.



Proszę kliknąć kategorię pod wykresem, aby wyświetlić te elementy; proszę kliknąć kolorowe legendy elementów, aby je wyświetlić lub ukryć. Proszę kliknąć na Centered, aby wyświetlić wszystkie elementy na tej samej linii bazowej. Proszę kliknąć na kwiatek pod

wykresem, aby uzyskać dostęp do pełnych szczegółów biomarkera.

Jeśli przeprowadzą Państwo badania z wykorzystaniem tego wykresu, może on stanowić podstawę do nowych spostrzeżeń lub nowych biomarkerów. Ponadto proszę pamiętać, że można analizować dowolny biomarker na jego osi czasu i ze zdarzeniami na ekranie Dynamika biomarkera.

10. Proszę zrozumieć: Energia

Ekrany energetyczne zawierają grafikę zegara biologicznego, czakr, impulsów, atomów, wpływów, ajurwedy, mikroorganizmów...

10.1. Momentum

constraints, balances and movements

W tej sekcji przyjrzymy się pędowi w kontekście zarządzania energią. Aby uzyskać dostęp do tej funkcji, proszę przejść do menu "Energia" i kliknąć na "Ruchy". Tutaj znajdą Państwo około dwudziestu dostępnych pędów, podzielonych na trzy główne kategorie: ograniczenia, równowagi i ruchy.

Zasada pędu

Nasze ciała są w ciągłym ruchu; ruch to życie. Ale składamy się z niezliczonych elementów, z których niektóre są częścią nas, niektóre są zewnętrznymi ograniczeniami, a niektóre chcą działać wbrew ogólnemu interesowi. Podzieliliśmy impulsy na 3 kategorie: te, które nas spowalniają, te, które nas równoważą i te, które nas napędzają.

1. Ograniczenia

Ograniczenia to elementy, które hamują ruch. Należą do nich :

- Stres geopatyczny (proszę kliknąć na dowolny element na wykresie, aby uzyskać więcej informacji).
- Promieniowanie geopatyczne.
- Woda geopatyczna: żyły wodne, uskoki itp., które indukują podziemne prądy elektryczne.
- Szkodliwe energie.
- Metale ciężkie.
- Patogeny.
- Miazmaty.
- Toksyny.

2. Równowaga

Sekcja równowagi obejmuje aspekty, które pomagają utrzymać stabilność. Obejmuje ona :

- Równowagę emocjonalną.
- Równowagę energetyczną.
- Jakość snu.
- Teren (ogólna równowaga ciała).
- Równowagę pionową.

3. Ruchy

Ruch obejmuje czynniki, które zapewniają dynamikę. Główne elementy to :

- Ciała.
- Witalność.
- Ciśnienie krwi.
- Płyny.

Można również obserwować ogólny ruch i porównywać go w zależności od różnych etapów i sekcji nagrania.

Interesującym punktem, na który należy zwrócić uwagę, jest związek między tymi elementami. Na przykład w tym przypadku ciała są powiązane z równowagą emocjonalną, a ciśnienie krwi odbiera i wysyła informacje do różnych miejsc, co może zapewnić cenny wgląd w ogólną jakość analizy



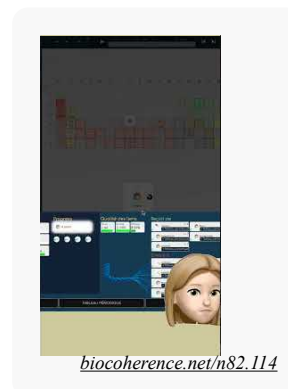
Łącząc te informacje, można lepiej zrozumieć i zarządzać różnymi aspektami swojej energii i napędu.

10.2. Atomy

Układ okresowy pierwiastków

Na stronie Atomy można uzyskać dostęp do układu okresowego pierwiastków, aby uzyskać informacje na temat różnych atomów. Klikając atom w tej tabeli, można zobaczyć wiązania, jakie może on mieć z innymi atomami, tj. wspólne rezonanse. Informacje te są również widoczne w dolnej części ekranu, ale przeglądanie ich bezpośrednio w tabeli jest bardziej intuicyjne.

Obecnie aplikacja zapewnia ogólną ocenę rezonansów dla każdego atomu. Przyszła wersja może umożliwić rekonstrukcję rezonansów dla całych cząsteczek, w oparciu o wiązania między różnymi atomami. Funkcja ta może być szczególnie przydatna jako część badania kontrolnego, które Państwo przeprowadzają, aby zobaczyć nadmiary lub niedobory niektórych pierwiastków lub aby zobaczyć, dzięki wieloczęściowym zapisom, które można porównać, czy pierwiastek stabilizuje się po zastosowaniu produktu lub terapii.

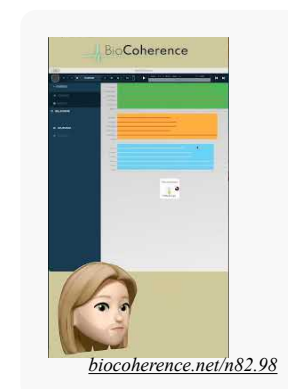


10.3. Ajurwedyjska ocena energii

Dosze i poddosze

Ajurweda to tradycyjny system medycyny różniący się od tradycyjnej medycyny chińskiej, choć ma pewne podobieństwa, w szczególności odpowiednik 12 meridianów w postaci 15 sub-doshas. Te subdosze są pogrupowane w trzy główne wpływy: Kapha, Pitta i Vata.

Wpływy te mogą być postrzegane w sposób ogólny, a nasza zwykła wizualna reprezentacja w kształcie kwiatu może być wyświetlana w celu zilustrowania tych wpływów. Możliwe jest również wyświetlenie poszczególnych elementów, zwanych subdoszami. Klikając na jedną z subdosz, można zobaczyć grupy, którym ona odpowiada. Na przykład, jedna subdosza może odpowiadać skórze i grupie kończyn skóra. Inna poddosza może odpowiadać innym grupom itd.



3 dosze według Ajurwedy

1. Vata

- **Opis:** Związana z powietrzem i eterem, Vata rządzi ruchem w ciele, w tym krążeniem krwi, oddychaniem i impulsami nerwowymi.

2. Pitta

- **Opis:** Złożona z ognia i wody, Pitta kontroluje trawienie, metabolizm i produkcję energii.

3. Kapha

- **Opis:** Złożona z ziemi i wody, Kapha jest odpowiedzialna za strukturę ciała, stabilność i smarowanie stawów.

15 poddoszy

Poddosze Vata

1. **Prana Vata**
 - **Funkcja:** Kontroluje oddychanie i umysł.
2. **Udana Vata**
 - **Funkcja:** Kontroluje mowę i ekspresję.
3. **Samana Vata**
 - **Funkcja:** Reguluje trawienie i przyswajanie pokarmów.
4. **Vyana Vata**
 - **Funkcja:** Nadzoruje krążenie i ruch płynów ustrojowych.
5. **Apana Vata**
 - **Funkcja:** Reguluje eliminację odpadów.

Poddosze Pitta

6. **Pachaka Pitta**
 - **Funkcja:** Kontroluje trawienie pokarmu w żołądku i jelitach.
7. **Ranjaka Pitta**
 - **Funkcja:** Odpowiedzialna za tworzenie krwi.
8. **Sadhaka Pitta**
 - **Funkcja:** Wpływa na emocje i funkcje umysłowe.
9. **Alochaka Pitta**
 - **Funkcja:** Wpływa na wzrok i percepcję wzrokową.
10. **Bhrajaka Pitta**
 - **Funkcja:** Reguluje zdrowie skóry.

Poddosze Kapha

11. **Kledaka Kapha**
 - **Funkcja:** Smaruje i chroni ściany żołądka.
12. **Avalambaka Kapha**
 - **Funkcja:** Wspiera serce i płuca.
13. **Bodhaka Kapha**
 - **Funkcja:** Reguluje funkcje jamy ustnej i śliny.
14. **Tarpaka Kapha**
 - **Funkcja:** Smaruje mózg i układ nerwowy.
15. **Shleshaka Kapha**
 - **Funkcja:** Smaruje stawy.

Te dosze i poddosze współpracują ze sobą, aby utrzymać równowagę i zdrowie ciała i umysłu.

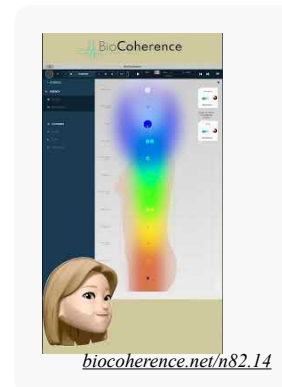
10.4. Wizualizacja czakr

W tym rozdziale zapoznamy się z zakładką Energia, zaczynając od sekcji Czakry. Sekcja ta umożliwia szczegółowe wyświetlanie informacji o czakrach i interakcję z nimi.

Na początek można wybrać wyświetlanie czakr, klikając dedykowany przycisk. Można wyświetlić 7 lub 12 czakr, klikając mały przycisk "12" u dołu ekranu.

Po wyświetleniu czakr można wybrać konkretną czakrę, klikając na nią. Czynność ta daje dostęp do wszystkich informacji dotyczących tej czakry, w tym powiązań energetycznych i powiązanych punktów akupunktury. Punkty akupunktury wskazują punkty wejścia i wyjścia czakry i pojawiają się na ekranie w różnych rozmiarach w zależności od ich poziomu energii.

Ponadto wyświetlana jest również aura czakry, a jej prezentacja różni się w zależności od ogólnej energii wybranej czakry. W ten sposób można uzyskać dokładną wizualną reprezentację stanu energetycznego każdej czakry.



10.5. Wpływy

The 5 elements : Wood, Fire, Earth, Metal, Water

Inną ważną koncepcją energetyczną są wpływy. Ten ekran, zwany "wpływami", wizualizuje relacje między pięcioma elementami, zgodnie z oceną Tradycyjnej Medycyny Chińskiej (TCM). Relacje te mogą polegać na tworzeniu, niszczeniu, obrażaniu lub przegrzewaniu.

Na przykład drewno może wpływać na metal, wywierając na niego nacisk, podczas gdy woda może obciążać ogień. Z drugiej strony, drewno pomaga tworzyć ogień. Relacje te są wydedukowane zgodnie z zasadami TCM i oceną meridianów.

Pięć elementów Tradycyjnej Medycyny Chińskiej (TCM) to :

1. **Drewno**: związane z wątrobą i pęcherzykiem żółciowym.
2. **Ogień**: związany z sercem i jelitem cienkim.
3. **Ziemia**: związana ze śledzioną i żołądkiem.
4. **Metal**: związany z płucami i jelitem grubym.
5. **Woda**: związana z nerkami i pęcherzem moczowym.

Główne zależności między tymi elementami to :

- **Cykl Generacji (Sheng)**: Drewno > Ogień > Ziemia > Metal > Woda > Drewno.
- **Cykl kontroli (Ke)**: Drewno > Ziemia > Woda > Ogień > Metal > Drewno.

Cykle te zapewniają równowagę i harmonię w organizmie.



11. Proszę zrozumieć: Ciało

Korzystanie z metod nawigacji i oceny na ekranach ciała

Ekran ciała obejmuje 3 główne rodzaje analizy: Meridiany TCM, punkty akupunktury z powiązаныmi recepturami TCM oraz narządy.

11.1. Meridiany TCM

14 or 20 meridians, links and related symptoms

Sekcja "Ciało" aplikacji oferuje trzy główne arkusze informacji: meridiany, punkty akupunktury i narządy. W tym rozdziale skupimy się na nawigacji i ocenie meridianów.

1. Wyświetlanie meridianów:

- Aplikacja pozwala wybrać pomiędzy 14 lub 20 meridianami.
- W trybie 20 meridianów, oprócz standardowych meridianów wyświetlane są meridiany nadzwyczajne.
- W trybie 14 meridianów wyświetlanych jest 12 głównych meridianów oraz dwa naczynia: gubernator i począcie.

2. Nawigacja i wizualizacja:

- Można kliknąć w górnej części ekranu, aby wyświetlić ścieżkę meridianu i jego główne cechy.
- Kliknięcie ikony kwiatu powoduje wyświetlenie dodatkowych informacji.
- Proszę kliknąć, aby nawigować między meridianami, wizualizując połączenia między nimi.
- Ewolucję meridianów można śledzić podczas różnych części sesji.
- Proszę użyć menu po lewej stronie lub na górze, aby nawigować w telefonie.

3. Ocena meridianów:

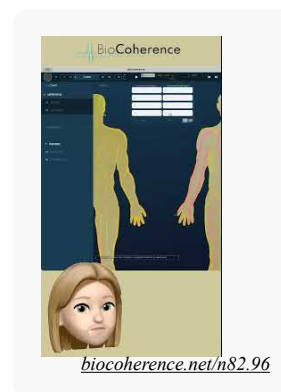
- Kliknięcie na listę meridianów wyświetla ich ocenę.
- Podmenu oferuje trzy kryteria: energię, entropię i spójność.
- Logika tych kryteriów ma zastosowanie do wszystkich stron Core.

4. Kryteria oceny:

- **Energia**
 - Wyświetlanie w dwóch kolumnach: najbardziej energetyczne meridiany i najmniej energetyczne.
 - Możliwość wyświetlenia większej lub mniejszej liczby meridianów na kliknięcie.
 - Dodatkowe informacje oparte na aktualnym stanie energetycznym i objawach tradycyjnej medycyny chińskiej (TCM).
 - Powiązanie informacji z innymi meridianami w celu uzyskania bardziej precyzyjnych szczegółów.
- **Entropia**
 - Wyświetla najbardziej pobudzone i statyczne meridiany.
 - Podaje możliwe objawy związane z każdym stanem.
- **Spójność**
 - Wyświetla meridiany, które rezonują razem.
 - Meridiany w spójności tworzą system rezonujący w tym samym rytmie.

5. Wykorzystanie informacji:

- Logika energia-entropia-spójność jest wykorzystywana do klasyfikacji głównych elementów oceny.
- Elementy te pomagają zrozumieć funkcjonowanie ocenianej osoby.



Postępując zgodnie z tymi instrukcjami, będą Państwo w stanie sprawnie poruszać się po aplikacji i korzystać z kryteriów oceny w celu uzyskania szczegółowych informacji na temat meridianów, ich stanu energetycznego, entropii i spójności.

O meridianach w TCM:

W Tradycyjnej Medycynie Chińskiej (TCM) meridiany są kanałami energetycznymi, przez które przepływa Qi (energia życiowa). Istnieje 12 meridianów głównych i 8 meridianów nadzwyczajnych, w tym 2 meridiany regulacyjne. Zostały one opisane poniżej:

12 Głównych meridianów :

1. **Plucny (LU)**: Reguluje oddychanie i układ odpornościowy.
2. **Jelito grube (LI)**: Eliminuje odpady stałe i reguluje funkcje jelit.
3. **Żołądek (ST)**: Trawienie pokarmu i wchłanianie składników odżywczych.
4. **Śledziona/trzustka (SP)**: Transformacja i transport składników odżywczych, wsparcie energetyczne.
5. **Serce (HT)**: Zarządza krwią i naczyniami krwionośnymi, kontroluje umysł.
6. **Jelito cienkie (SI)**: Oddzielanie czystych i nieczystych substancji, wchłanianie składników odżywczych.
7. **Pęcherz moczowy (BL)**: Eliminuje odpady płynne, reguluje płyny ustrojowe.
8. **Nerki (KI)**: Przechowuje esencję życiową, reguluje wodę, kontroluje kości i uszy.
9. **Pan Serca (PC)**: Chroni serce, reguluje emocje i krążenie krwi.
10. **Potrójny Ogrzewacz (TE lub SJ)**: Reguluje trzy ogrzewacze (górną, środkową i dolną), kontrolując krążenie energii i płynów.
11. **Woreczek żółciowy (GB)**: Przechowuje i wydala żółć, wspomaga podejmowanie decyzji.
12. **Wątroba (LV)**: Magazynuje krew, reguluje przepływ Qi, wspiera ścięgna i mięśnie.

8 Nadzwyczajnych Meridianów :

1. **Naczynie Poczęcia (Ren Mai)**: Reguluje meridiany Yin, kontroluje reprodukcję.
2. **Naczynie Rządzące (Du Mai)**: Reguluje meridiany Yang, kontroluje centralny układ nerwowy.
3. **Naczynie penetrujące (Chong Mai)**: Reguluje krew i energię głównych meridianów.
4. **Naczynie pasowe (Dai Mai)**: Okrąża pionowe meridiany, reguluje narządy płciowe i brzuch.
5. **Naczynie połączenia Yin (Yin Qiao Mai)**: Reguluje równowagę Yin-Yang, kontroluje sen i czuwanie.
6. **Naczynie łączące Yang (Yang Qiao Mai)**: Reguluje równowagę Yin-Yang, wpływa na ruchy kończyn.
7. **Naczynie łączące Yin (Yin Wei Mai)**: reguluje meridiany Yin, wpływa na emocje.
8. **Naczynie łączące Yang (Yang Wei Mai)**: Reguluje meridiany Yang, wpływa na mechanizmy obronne organizmu.

2 Regulacja meridianów:

1. **Naczynie poczęcia (Ren Mai)**: Wspomniane już wśród meridianów nadzwyczajnych.
2. **Naczynie rządzące (Du Mai)**: Wspomniane już wśród meridianów nadzwyczajnych.

Meridiany te współpracują ze sobą, aby utrzymać równowagę energetyczną i ogólny stan zdrowia organizmu.

11.2. Mapy narządów

Ponad 10 szczegółowych wykresów narządów i linków

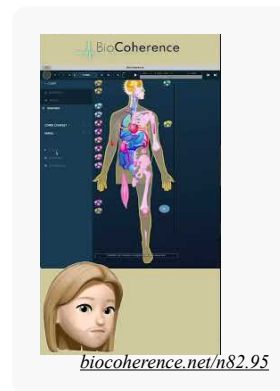
W tej sekcji zbadamy funkcjonalność narządów w naszej aplikacji do oceny ciała. Po przejściu do kategorii narządów, najpierw zostanie wyświetlona wizualizacja całego ciała. Mogą Państwo przejść do ogólnej oceny, klikając na konkretny narząd, aby zobaczyć jego związek z innymi częściami ciała. Na przykład, podświetlone narządy są tymi, które Państwa interesują. Klikając na serce, zobaczą Państwo jego połączenia z różnymi narządami, a relacje te są również widoczne na mapie.

Można łatwo nawigować, klikając określone układy, takie jak układ oddechowy, aby zobaczyć jego połączenia, w tym z neuroprzekaznikami, językiem, ustami i różnymi tkankami. Kliknięcie na usta przybliży układ trawienny, modyfikując mapę, aby pokazać relacje między ustami a innymi aspektami układu trawiennego.

Można również wybrać różne mapy, takie jak mapa mózgu. Mapa ta pokaże Państwu różne części mózgu, z pełną oceną w formie listy. Jeśli chcą Państwo zlokalizować konkretną część, mapa ją pokaże. Na przykład, jeśli klikną Państwo na epifizę, zobaczą Państwo jej położenie oraz gruczoły, z których odbiera i wysyła sygnały. Każdy element, taki jak serotonina lub prolaktyna, można zbadać, aby zobaczyć jego połączenia lub brak połączeń z innymi hormonami.

Sekcja organów oferuje również opcje przeglądania energii, entropii i spójności, które różnią się w zależności od używanego ekranu. Na ekranie całego ciała parametry te są wyświetlane dla elementów uznanych za najbardziej istotne, wskazując ich zasoby energii lub poziom pobudzenia. Na przykład, badając zęby lub kręgi, można zidentyfikować, które z nich są najbardziej energetyczne lub pobudzone, oferując cenne informacje do pełnego badania.

Wreszcie, dla przypomnienia, za każdym razem, gdy zidentyfikują Państwo odpowiedni element, można dodać go do listy priorytetów, klikając dedykowaną ikonę. Pozwoli to na włączenie ich do wyboru równoważenia w celu późniejszej harmonizacji.



11.3. Punkty akupunktury

Proszę ocenić ponad 350 punktów akupunktury i znaczenie setek receptur TCM

Eksploracja punktów i meridianów

Podczas eksploracji ciała w oprogramowaniu mają Państwo dostęp do meridianów, punktów i narządów. Klikając na konkretny meridian, wyświetlacz zmienia się, aby pokazać szczegóły punktów na każdym meridianie, a nie całe meridiany. Funkcja ta umożliwia precyzyjną ocenę każdego punktu.

Wybór punktu i informacje

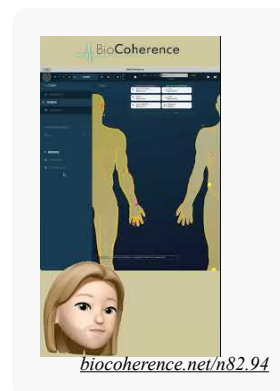
Mogą Państwo kliknąć na każdy punkt, aby uzyskać szczegółowe informacje na jego temat. Możliwe jest również wybranie południka i wyświetlenie statusu każdego z jego punktów. Przełączając południki, można wyświetlić różne punkty i ich lokalizacje na mapie, co jest szczególnie przydatne do wydajnej nawigacji.

Nawigacja i śledzenie południków

Mogą Państwo nawigować po południkach, klikając tytuł południka w selektorze u góry ekranu. Można również przeglądać ewolucję punktów w trakcie sesji. Funkcja ta jest nieoceniona do śledzenia ewolucji określonych punktów w czasie.

Informacje specyficzne dla południka

Po wybraniu południka uzyskuje się dostęp do innych informacji niż te dostępne w zakładce południka. Znajdą tu Państwo osiem głównych punktów, takich jak punkt ambasadora, rozproszenia, tryskający i rzeka, które są niezbędne w Tradycyjnej Medycynie Chińskiej (TCM). Dostępne są również informacje na temat zasilania i połączeń meridianu.



Wyświetlanie punktów na mapie

Kliknięcie punktu powoduje wyświetlenie jego dokładnej lokalizacji na mapie. Menu po lewej stronie oferuje opcje takie jak energia, entropia i spójność. Wybierając energię, wyświetlacz pokazuje najbardziej energetyczne i najmniej energetyczne punkty odpowiednio w kolorze fioletowym i żółtym.

Logika receptury TCM

Aplikacja wykorzystuje logikę receptury TCM, która łączy kilka punktów w celu skorygowania objawu. Na przykład, jeśli niektóre punkty rezonują razem i są zbyt słabe lub zbyt silne, może to wskazywać na brak równowagi. Receptury TCM, opracowane przez tysiące lat, są stosowane w leczeniu określonych objawów, takich jak refluks żołądkowy. W tej aplikacji zastosowaliśmy odwróconą logikę. Założyliśmy, że jeśli pewne punkty rezonują ze sobą i mają zbyt niski lub zbyt wysoki poziom energii, może to dostarczyć nam cennych informacji. Na przykład punkty o wysokiej lub bardzo niskiej energii lub punkty, które są zbyt pobudzone lub zbyt statyczne, mogą sygnalizować brak równowagi w spójnym systemie zwykle stosowanym w leczeniu schorzeń takich jak refluks żołądkowy lub zgaga. Weźmy na przykład przypadek, w którym trzy określone punkty u danej osoby są bardzo statyczne. Może to wskazywać, że receptura lub leczenie związane z tymi punktami jest potrzebne dla tej osoby. Takie podejście może dostarczyć Państwu dodatkowych pomysłów na diagnozę.

Stosowanie receptur

Receptury mogą być stosowane za pomocą akupunktury lub przy użyciu częstotliwości dźwiękowych lub elektrycznych podczas fazy równoważenia. Spójne systemy, w których punkty rezonują razem, są szczególnie istotne dla dokładnej diagnozy. Synchronizacja punktów sugeruje zwiększone znaczenie zabiegów TCM dla analizowanej osoby.

Podsumowanie

W tym rozdziale szczegółowo opisano wykorzystanie punktów i meridianów w oprogramowaniu TCM, wyjaśniając, jak nawigować, wybierać i interpretować informacje w celu dokładnej diagnozy i skutecznego leczenia.

12. Proszę zrozumieć: Umysł

Umysł, duch i cień

Ekrany te są poświęcone mentalnym, duchowym i nieświadomym częściom analizy. Obejmują one osobowość, harmonię muzyczną, emocje, wyrównanie, rany i silniki.

12.1. Wyrównanie

Wyrównanie i spójność w zarządzaniu falami Elfie

Wyrównanie jest istotnym składnikiem umysłu, zwłaszcza gdy mamy do czynienia z falami Elfie. Wyrównanie przejawia się w różnych skalach tych fal, a ich zrozumienie może być ułatwione dzięki zastosowaniu narzędzi wizualizacyjnych. Na przykład spójność serca może być przedstawiona wizualnie, oferując perspektywę stanu energetycznego danej osoby.

W interfejsie trzy suwaki na dole umożliwiają wizualizację parametrów, podczas gdy na górze wyświetlana jest wizualizacja spirali implozji. Skala fal Elfie, zilustrowana wartościami 205, 206 i 214, wskazuje aktualny poziom skali. Aby uzyskać szczegółowe informacje na temat konkretnej wartości, takiej jak 214 Elfie, wystarczy kliknąć, aby uzyskać szczegółowe informacje na temat jej charakterystyki i implikacji.

Każda skala przedstawia godne uwagi wartości przy określonych długościach fal, oferując cenne informacje na temat interakcji energetycznych. Obserwując te skale, można określić stopień powiązania z innymi poziomami skali. Na przykład analiza może ujawnić, że dana osoba jest bardziej naenergetyzowana w skali mikro niż w skali makro, co wskazuje na większą koncentrację energii w mniejszych strukturach.

Wizualizacja spirali pozwala śledzić ścieżkę energii w różnych skalach. Poruszając się w dół spirali i obserwując wartości na każdym poziomie, można zrozumieć, jak energia ewoluuje w czasie. Jest to szczególnie istotne w przypadku rozszerzonych nagrań, gdzie można badać ewolucję w różnych skalach.

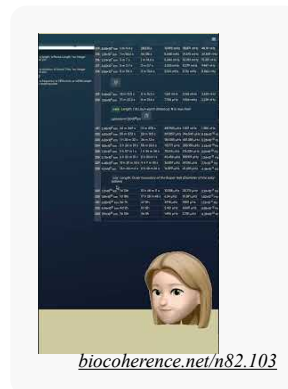
Kluczowym aspektem tej analizy jest ukierunkowana spójność, w szczególności spójność serca, która mierzy stopień, w jakim energia jednostki jest zsynchronizowana z wartościami elfie. Wartości te są uważane za najbardziej kompatybilne z transmisją energii we wszystkich skalach. Kursory odgrywają ważną rolę w dostosowywaniu tych parametrów w celu osiągnięcia optymalnej spójności.

Podsumowując, wyrównanie i spójność w zarządzaniu falami Elfie są złożonymi, ale podstawowymi pojęciami dla zrozumienia energii w różnych skalach. Narzędzia wizualizacyjne i kursory oferują nieocenioną pomoc w nawigacji i optymalizacji tych parametrów, przyczyniając się do lepszego zarządzania energią i jej przesyłu.

Więcej informacji można znaleźć na stronie <https://elfie.link> lub w menu "Elfie" w oprogramowaniu.

12.2. Fale mózgowe

Analiza ogólnej aktywności fal mózgowych



biocoherence.net/n82.103

W tej sekcji przyjrzymy się ostatniej zakładce interfejsu "Mental", która dotyczy fal mózgowych. Ta funkcja jest wciąż w fazie eksperymentalnej. Śmiało można powiedzieć, że możemy odczytywać fale mózgowie w EKG, więc pozwala to na badanie widm analizy w EKG odpowiadających różnym falom mózgowym i obserwowanie ich ewolucji w czasie. W końcu nasze urządzenie mierzy aktywność elektryczną całego ciała, ale fale mózgowie są na poziomie 100 razy słabszym niż EKG, więc nadal jest to algorytm eksperymentalny.

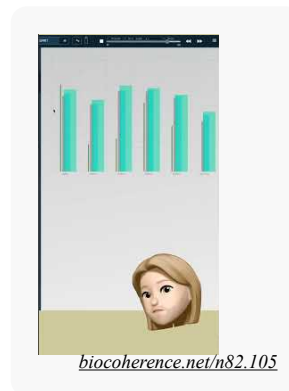
Wyświetlanie fal mózgowych jest dynamiczne. W trybie odtwarzania zauważą Państwo wyświetlacz wielopasmowy. Logika tego wyświetlania jest taka, że im szersze pasmo, tym dłuższy okres czasu reprezentuje. I odwrotnie, cieńsze pasmo oznacza krótszy okres czasu.

Poniżej znajduje się wyjaśnienie różnych pasm:

- Najkrótsze pasmo odpowiada bardzo krótkoterminowym pomiarom, mierzonym na poziomie uderzenia lub kilku uderzeń.
- W miarę poszerzania się pasm, reprezentują one coraz dłuższe okresy czasu.

Proszę zauważyć, że elementy krótkoterminowe zmieniają się bardzo szybko, podczas gdy elementy długoterminowe wykazują wolniejsze zmiany.

Po kliknięciu pasma u dołu ekranu wyświetlana jest ocena wraz z reprezentacją znanego kwiatu. Ocenę tę można wykorzystać do dodania elementów bezpośrednio do listy priorytetów, co ułatwia śledzenie i analizowanie fal mózgowych.



Aby dowiedzieć się więcej

Fale mózgowie są podzielone na kilka kategorii, z których każda jest związana z różnymi stanami psychicznymi i poziomami czujności:

1. **Fale delta (0,5-4 Hz):** Związane z głębokim snem i regeneracją.
2. **Fale theta (4-8 Hz):** Związane z głębokim relaksem, medytacją i lekką fazą snu.
3. **Fale alfa (8-12 Hz):** Związane ze stanem spokojnego relaksu i medytacją na jawie.
4. **Fale beta (12-30 Hz):** Związane z koncentracją, czujnością i aktywnością poznawczą.
5. **Fale gamma (30-100 Hz):** Związane z wysokimi procesami poznawczymi, takimi jak uczenie się i pamięć.

Fale te zmieniają się w zależności od aktywności i stanu psychicznego danej osoby.

12.3. Napędy

51 emocji, uczuć i działań twarzą w twarz, w 3 głównych grupach i 3 podgrupach dla każdej z nich.

Zrozumienie silników umysłu i nieświadomego umysłu

Ostatni element umysłu i nieświadomej części skanowania dotyczy silników. Silniki składają się z około sześćdziesięciu emocji, które mogą być konstruktywne lub destrukcyjne. Emocje te są podzielone na trzy kategorie: **wewnętrzne ja**, **zewnętrzne ja** i **inni**.

1. Kategorie emocji :

- **Ja wewnętrzne:** Obejmuje wszystkie emocje związane z naszym wewnętrznym światem.
- **Ja zewnętrzne:** Obejmuje wszystkie emocje związane z naszym światem zewnętrznym.
- **Inni:** Obejmuje wszystkie emocje związane z naszymi interakcjami z innymi.

2. Struktura emocji:

- Każda kategoria emocji jest podzielona na trzy podkategorie: emocje, uczucia i działania.
- **Emocje:** Podstawa wszelkiej realizacji, która następnie generuje uczucie.
- **Uczucie:** Wynika z emocji i prowadzi do działania.
- **Działanie:** Końcowy rezultat procesu emocji i uczucia.

3. Organizacja pozioma:

- Emocje są również klasyfikowane poziomo: na górze znajdują się emocje konstruktywne, a na dole destrukcyjne.
- Na przykład depresja jest przeciwstawna do odpuszczania, lęk o zdrowie do stanu medytacji, złamane serce do przyjemności, a samosabotaż do satysfakcji.

4. Wzajemne powiązania:

- Emocje mogą być ze sobą powiązane w różnych miejscach. Na przykład spokój jest przeciwieństwem kompulsywnej obsesji, refleksja przeciwieństwem surowości i tak dalej.
- Te wzajemne powiązania dostarczają kluczowych informacji dla medytacji i zrozumienia siebie.

5. Personalizacja:

- Możliwe jest wybranie konkretnych emocji do pracy. Na przykład, jeśli organizacja znajduje się w stanie niskiej energii, można zdecydować się na jej wzmocnienie.
- Może Pan/Pani dodać konkretne elementy, takie jak decyzja o wysokiej energii, do swojej osobistej listy zadań.

Krótko mówiąc, zrozumienie i uporządkowanie tych emocjonalnych czynników umożliwia lepsze zarządzanie naszymi emocjami i działaniami, ułatwiając bardziej zrównoważony i świadomy rozwój osobisty.

Aby dowiedzieć się więcej

Emocje i uczucia są wewnętrznymi reakcjami na bodźce zewnętrzne i wewnętrzne.

- Wewnętrzne "ja" obejmuje samoświadomość, osobiste myśli i uczucia.
- Zewnętrzne "ja" dotyczy wizerunku, jaki prezentujemy innym oraz zachowań, jakie przejawiamy w społeczeństwie.
- Inne ja dotyczy sposobu, w jaki reagujemy na wszystko, co przedstawia nam świat zewnętrzny.

Interakcje z innymi wpływają na te dwa wymiary poprzez wymianę emocjonalną i społeczne sprzężenie zwrotne. Emocje takie jak radość, smutek, złość i strach kształtują nasze doświadczenia i działania, wpływając z kolei na nasze postrzeganie siebie i innych. Lepsze zrozumienie tej dynamiki może poprawić inteligencję emocjonalną i relacje interpersonalne.

Poniżej znajduje się szczegółowy opis każdej emocji:

1. **Zręczność:** Zdolność do szybkiego i skutecznego dostosowywania się do zmian.
2. **Lęk o zdrowie:** Nadmierna troska o zdrowie własne lub innych.
3. **Życzliwość:** Postawa życzliwości i współczucia wobec innych.
4. **Złamane serce:** Głębokie uczucie smutku i bólu emocjonalnego po stracie lub rozczarowaniu.
5. **Spokój:** Stan spokoju i wewnętrznej pogody ducha.
6. **Charyzma:** Zdolność do przyciągania, oczarowywania i wpływania na innych.



7. **Koncentracja:** Zdolność do utrzymania uwagi na określonym zadaniu lub celu.
8. **Pewność siebie:** Poczucie pewności i bezpieczeństwa co do własnych umiejętności lub umiejętności innych osób.
9. **Rozwaga:** Troska i szacunek dla uczuć i potrzeb innych osób.
10. **Odwaga:** Zdolność do stawienia czoła strachowi, bólowi, niebezpieczeństwu lub niepewności.
11. **Decyzja:** Zdolność do dokonywania wyborów z determinacją i zdecydowaniem.
12. **Depresja:** Przedłużający się stan smutku, rozpacz i utraty zainteresowania życiem.
13. **Sila woli:** Determinacja w dążeniu do celu pomimo przeszkód.
14. **Euforia:** Intensywne uczucie szczęścia i ekscytacji.
15. **Elokwencja:** Zdolność do wyrażania się w sposób jasny i skuteczny.
16. **Niestabilność emocjonalna:** Nadmierna i nieprzewidywalna zmienność emocji.
17. **Empatia:** Zdolność do rozumienia i podzielenia uczuć innych osób.
18. **Nieregularny nastrój:** Częste i nieprzewidywalne zmiany nastroju.
19. **Wyczerpanie:** Uczucie skrajnego zmęczenia, zarówno fizycznego, jak i emocjonalnego.
20. **Żal:** Intensywny ból emocjonalny, zwykle spowodowany stratą.
21. **Szczerść:** Jakość bycia szczerym i szczerym.
22. **Nadzieja:** Pozytywne oczekiwanie na lepszą przyszłość.
23. **Rozpacz:** Całkowita utrata nadziei i wiary w przyszłość.
24. **Hiperemocjonalność:** Nadmierna reakcja emocjonalna na bodźce.
25. **Nadwrażliwość:** Zwiększona reaktywność na bodźce emocjonalne lub sensoryczne.
26. **Niespójne myślenie:** Trudności z utrzymaniem logicznego, uporządkowanego toku myślenia.
27. **Brak żalu:** Poczucie oderwania i obojętności emocjonalnej.
28. **Brak pewności siebie:** Wątpliwości co do własnych umiejętności lub umiejętności innych osób.
29. **Trudności w uczeniu się:** Zaburzenie wpływające na zdolność zdobywania wiedzy lub umiejętności.
30. **Odpuszczanie:** Zdolność do zrzeczenia się kontroli i zaakceptowania rzeczy takimi, jakie są.
31. **Lojalność:** Wierność i oddanie osobie, grupie lub sprawie.
32. **Stany medytacyjne:** Stany głębokiego relaksu i podwyższonej świadomości, często osiągane poprzez medytację.
33. **Pamięć:** Zdolność do zatrzymywania i przywoływania informacji.
34. **Pamięć długotrwała:** Przechowywanie i przywoływanie informacji przez dłuższy czas.
35. **Pamięć krótkotrwała:** Zdolność do przechowywania informacji przez krótki okres czasu.
36. **Obsesyjno-kompulsywne:** Powtarzające się, niekontrolowane myśli lub zachowania.
37. **Obsesja:** Nadmierne i uporczywe zaabsorbowanie jakąś ideą lub osobą.
38. **Organizacja:** Zdolność do organizowania swoich działań w uporządkowany i efektywny sposób.
39. **Wydajność:** Zdolność do pomyślnego wykonywania zadań lub czynności.
40. **Przyjemność:** Uczucie satysfakcji i zadowolenia.
41. **Prokrastynacja:** Tendencja do odkładania ważnych zadań na później.
42. **Sztywność:** Brak elastyczności w myśleniu lub zachowaniu.
43. **Nieuprzejmość:** Szorstkie lub niewrażliwe zachowanie wobec innych.
44. **Samosabotaż:** Zachowania, które celowo podważają własny sukces.
45. **Świadomość przestrzenna:** Postrzeganie otaczającej przestrzeni i znajdujących się w niej obiektów.
46. **Stagnacja:** Brak postępu lub rozwoju.
47. **Zaskoczenie:** Emocjonalna reakcja na nieoczekiwane wydarzenie.
48. **Refleksja:** Głębokie, uważne zastanowienie się nad tematem lub sytuacją.
49. **Nieśmiałość:** Powściągliwość lub niepokój w interakcjach społecznych.
50. **Tolerancja:** Akceptacja i szacunek dla różnic u innych.
51. **Sila woli:** Determinacja do osiągnięcia celu, często pomimo trudności.

12.4. Emocje

smutek, bezpieczeństwo, miłość, prawda, spokój, dobre samopoczucie i satysfakcja

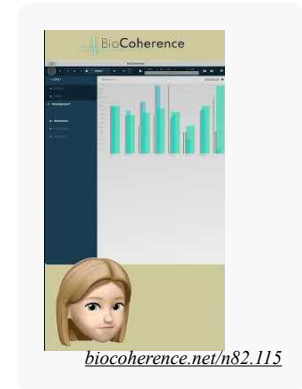
Rozdział poświęcony nieświadomości podzielony jest na trzy główne obszary: emocje, rany i silniki. Zaczniemy od emocji.

Na tej stronie można ocenić siedem głównych emocji: smutek, bezpieczeństwo, miłość, prawdę, spokój, dobre samopoczucie i satysfakcję. Mogą Państwo również śledzić ich ewolucję. Klikając na słupki, można wizualizować biomarker w jego kwiatowej formie, pokazując jego wewnętrzną dynamikę i powiązania między tymi emocjami. Również w tym przypadku wykres przedstawia wycenę w różnych horyzontach, przy czym najszerze słupki dotyczą najdłuższego okresu, a najcieńsze - najkrótszego.

Analiza ta różni się pod względem technicznym i opiera się na innych danych niż analiza Drives. Dlatego interesujące jest ich porównanie.

Te główne emocje zależą od analizy harmonicznej drugiego rzędu i ogólnego głębokiego rytmu serca. Można je opisać w następujący sposób:

1. **Smutek:** Uczucie niepokoju lub melancholii spowodowane stratą, porażką lub rozczarowaniem. Często objawia się płaczem, brakiem energii i wycofaniem.
2. **Bezpieczeństwo:** Poczucie ochrony i braku zagrożenia. Wzbudza pewność siebie i spokój, pozwalając nam czuć się bezpiecznie przed zagrożeniami fizycznymi lub emocjonalnymi.
3. **Miłość:** Głęboka emocja uczucia i przywiązania do osoby, zwierzęcia lub czynności. Przekłada się na czule gesty, pozytywne myśli i pragnienie bliskości.
4. **Prawda:** Uczucie szczerości i autentyczności. Prawda zapewnia jasność i przejrzystość w relacjach i sytuacjach, unikając nieporozumień i oszustw.
5. **Spokój:** Stan spokoju i wewnętrznej harmonii. Pokój przejawia się w braku konfliktów, stresu i niepokoju, promując relaks i ogólne dobre samopoczucie.
6. **Dobre samopoczucie:** Ogólne poczucie zdrowia, komfortu oraz satysfakcji fizycznej i psychicznej. Obejmuje takie aspekty jak zdrowie, równowaga emocjonalna i osobiste spełnienie.
7. **Satysfakcja:** Emocja zadowolenia i przyjemności wynikająca ze spełnienia pragnień, potrzeb lub celów. Daje poczucie spełnienia i osiągnięcia.



12.5. Proszę się skupić

Wskaźnik stresu, HRV...

W tej sekcji zapoznamy się z ekranem Focus, który zapewnia bogactwo informacji kluczowych dla zaawansowanej analizy elektrokardiogramu. Informacje te są zazwyczaj wykorzystywane w kontekście akademickim i badawczym i obejmują różne markery naukowe.

1. Indeks stresu: Indeks ten został opracowany przez rosyjskiego badacza Bevskiego. Mierzy on poziom stresu w organizmie przy użyciu określonych parametrów.
2. Poziom adaptacji: Kolejny wskaźnik opracowany w Rosji, ocenia zdolność organizmu do adaptacji do różnych bodźców i warunków.
3. Całkowita moc, współczynnik zmienności i zmienność pracy serca: Te markery są dobrze znane w dziedzinie kardiologii i są wykorzystywane do pomiaru różnych aspektów funkcji serca i reakcji na stres.
4. Stres psycho-emocjonalny: Wskaźnik ten ocenia emocjonalny i psychologiczny wpływ na układ sercowy.

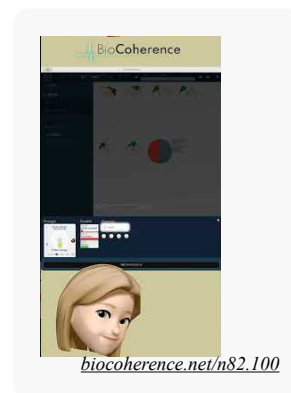
Dane dostarczane przez ekran Focus mogą być wyświetlane jako kursory w celu szybkiej wizualizacji. Alternatywnie mogą być one prezentowane w formie notatek, kwiatów i jakości, umożliwiając bardziej szczegółową analizę.

Ekran Focus zawiera również informacje na temat jakości uwagi, intencji i kontroli horyzontu. Wskaźniki te dostarczają dodatkowych informacji na temat stanu psychicznego i emocjonalnego użytkownika.

Interesującym aspektem tego ekranu jest związek między budową (katabolizmem) a destrukcją (anabolizmem). Katabolizm reprezentuje wydatek energetyczny, podczas gdy anabolizm odpowiada oszczędzaniu energii. Stosunek ten jest dynamiczny i może zmieniać się podczas nagrywania, odzwierciedlając ogólne oddychanie żywych systemów. Proszę pamiętać, że jesteśmy istotą systemową, a destrukcja jest częścią ogólnego ruchu kompresji-ekspansji, destrukcji-odbudowy, separacji-unifikacji, kompleksyfikacji-upraszczania. Zdrowy, złożony organizm powinien nieustannie oscylować pomiędzy tymi stanami.

Kluczowe jest obserwowanie tych dynamicznych zmian, ponieważ wskazują one na ewolucję stosunku między budową a zniszczeniem. Dodanie tego czynnika ewolucyjnego zapewnia lepsze zrozumienie oddychania systemów biologicznych.

Wreszcie, ekran Focus przedstawia dwa kwiaty, reprezentujące anabolizm i katabolizm, aby zapewnić wizualne informacje na temat tych procesów. Dane te mogą być analizowane sekcja po sekcji lub w całym nagraniu, zapewniając pełny przegląd stanu fizjologicznego i psychologicznego użytkownika.



12.6. Muzyka

Analiza muzyczna i wyrównanie

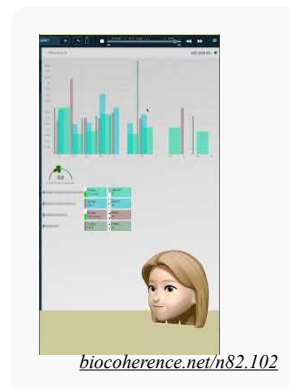
W tej sekcji przyjrzymy się drugiej części koncepcji umysłu, która obejmuje umysł, ducha i nieświadomość. Skoncentrujemy się głównie na umyśle, a w szczególności na elementach muzyki i dopasowania.

Muzyka w nagraniach

Kiedy analizujemy umysł, zaczynamy od zidentyfikowania elementów muzycznych obecnych w nagraniu. Celem jest znalezienie odpowiednich korespondencji muzycznych. Mają Państwo dwie możliwości: zwizualizować wszystkie elementy muzyczne lub odtworzyć je, aby obserwować ich ewolucję w czasie.

Cienkie słupki reprezentują elementy krótkoterminowe, podczas gdy szersze słupki wskazują elementy długoterminowe. Innym interesującym wskaźnikiem jest ogólny poziom harmonii muzycznej w nagraniu. Po około stu taktach możemy zacząć identyfikować konkretne krótko-, średnio-, długo- i bardzo długotrwałe akordy muzyczne.

Akordy te mogą składać się z 2, 3 lub 4 nut i być rozłożone w różnych skalach. Chociaż informacje te nie zawsze są bezpośrednio użyteczne, stają się kluczowe podczas rekonstrukcji medytacji prowadzonej. Pozwala nam zrozumieć obecny stan uczestników, tj. muzykę obecną w ich nagraniu, i określić, dokąd chcemy ich muzycznie zabrać.



Muzyczne wyrównanie i dostosowanie

Dostosowanie muzyczne obejmuje dostosowanie skal i typów akordów do celów medytacji. Na przykład, jeśli obecne akordy są akordami molowymi 7 i chcemy przejść do akordów durowych, przejście to będzie dokonywane stopniowo w trakcie medytacji. Podobnie, jeśli dążymy do określonej częstotliwości, która nie jest obecna, stworzymy muzykę, która stopniowo ewoluuje w kierunku tej docelowej częstotliwości.

Chodzi o to, aby wprowadzić uczestników w ich obecny stan muzyczny i poprowadzić ich w głębszy stan medytacji za pomocą melodii obecnych w ich ciałach. Takie podejście ułatwia wejście w medytację poprzez bezpośrednie mówienie językiem muzycznym uczestników.

Krótko mówiąc, analiza muzyczna i dostosowanie umożliwiają personalizację medytacji z przewodnikiem, dzięki czemu doświadczenie jest bardziej dostępne i skuteczne dla każdej osoby.

12.7. 16 typów osobowości

Typy Junga, znane również jako MBTI lub Myers-Briggs, na zupełnie nowej mapie

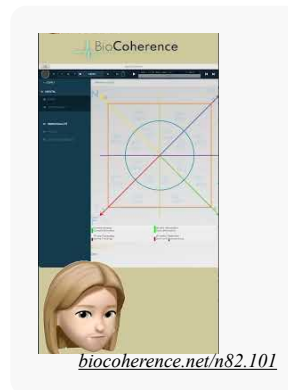
Ocena osobowości według typów Junga

W tej sekcji zapoznamy się z zakładką "Duch", aby uzyskać ogólny przegląd osobowości według typów Junga. Osobowość jest analizowana za pomocą czterech głównych osi.

Osie osobowości

Typy Junga są obliczane za pomocą czterech osi, które po raz pierwszy umieściliśmy na wykresie logicznym:

1. **NS (Sensation/Intuition)**: Ta oś określa, w jaki sposób dana osoba przetwarza informacje.
2. **FT (Thought/Feeling)**: Ta oś ocenia sposób, w jaki dana osoba przetwarza informacje, skupiając się na umyśle lub myślach.
3. **IE (Introwersja/Ekstrawersja)**: Ta oś mierzy energię, wskazując, czy dana osoba jest zorientowana na zewnątrz (ekstrawersja).



4. **JP (Judgment/Perception):** Ta oś dotyczy przestrzeni czasowej i wskazuje, czy dana osoba jest zorientowana krótkoterminowo (spontaniczność).

Każda oś jest podzielona na segmenty, co umożliwia szczegółową ocenę. Na przykład na osi IE osoba może zostać oceniona jako ekstrawertyczna lub introwertyczna.

Typy Junga i ocena

Typy Junga, takie jak ENTP, ENTJ, ESTJ, ESTP itp. są określane zgodnie z pozycją na tych czterech osiach. Na przykład ocena może ujawnić dominujący typ ESTJ.

Dynamika typu osobowości

W przeciwieństwie do statycznej oceny kwestionariuszowej, metoda ta pozwala nam obserwować nieświadome, dynamiczne reakcje danej osoby. Gdy poruszamy się między osiami, widzimy, że oceny poruszają się, wskazując, że typy osobowości są dynamiczne. Oznacza to, że dana osoba może oscylować między różnymi sąsiednimi typami w zależności od sytuacji.

To niestatyczne podejście do typów Junga otwiera interesujące perspektywy na zrozumienie zachowań i osobowości.

Typy osobowości w szczegółach

Typy osobowości Junga opierają się na czterech głównych funkcjach psychologicznych: myślach, uczuciach, doznaniach i intuicji, w połączeniu z postawami ekstrawersji i introwersji. Daje to osiem typów osobowości:

1. **Ekstrawertyczne myślenie:** Logiczne, obiektywne, zorientowane na fakty.
2. **Myślenie introwertyczne:** Refleksyjne, analityczne, niezależne.
3. **Ekstrawertyczne uczucia:** Towarzyski, ciepły, zorientowany na wartości społeczne.
4. **Uczucia introwertyczne:** Powściągliwy, głęboki, kierujący się własnymi wartościami.
5. **Uczucia ekstrawertyczne:** Praktyczny, realistyczny, zorientowany na konkrety.
6. **Uczucia introwertyczne:** Artystyczne, wrażliwe, zorientowane na subiektywne doświadczenia.
7. **Ekstrawertyczna intuicja:** Innowacyjna, oportunistyczna, zorientowana na przyszłość.
8. **Intuicja introwertyczna:** Wizjonerska, introspektywna, nastawiona na wgląd.

Typy te pomagają zrozumieć różne sposoby, w jakie jednostki postrzegają świat i podejmują decyzje.

Oto krótki opis 16 typów osobowości Myers-Briggs Type Indicator (MBTI):

1. **ISTJ (Inspektor)** - Niezawodny, zorganizowany, realistyczny i praktyczny.
2. **ISFJ (obrońca)** - oddany, opiekuńczy, lojalny i szczegółowy.
3. **INFJ (Doradca)** - idealistyczny, empatyczny, spostrzegawczy i inspirujący.
4. **INTJ (Architekt)** - Strategiczny, niezależny, analityczny i zdeterminowany.
5. **ISTP (rzemieślnik)** - praktyczny, spostrzegawczy, zdolny do adaptacji i logiczny.
6. **ISFP (Artysta)** - Wrażliwy, powściągliwy, spontaniczny i harmonijny.
7. **INFP (Idealista)** - Kreatywny, pełen pasji, altruistyczny i introspektywny.
8. **INTP (Logik)** - Innowacyjny, ciekawy, obiektywny i niezależny.
9. **ESTP (Przedsiębiorca)** - Energiczny, bezpośredni, pragmatyczny i towarzyski.
10. **ESFP (Tlumacz)** - Entuzjastyczny, spontaniczny, ciepły i zabawny.
11. **ENFP (Inspirator)** - osoba z wyobraźnią, towarzyska, energiczna i wizjonerska.
12. **ENTP (Innowator)** - Pomysłowy, energiczny, zaradny i intelektualny.
13. **ESTJ (Nadzorca)** - Zorganizowany, praktyczny, realistyczny i zdecydowany.
14. **ESFJ (Konsul)** - przyjazny, sumienny, chętny do współpracy i towarzyski.
15. **ENFJ (Nauczyciel)** - Charyzmatyczny, altruistyczny, empatyczny i motywujący.
16. **ENTJ (Dowódca)** - Wizjoner, asertywny, strategiczny i skuteczny.

Te krótkie opisy dają ogólny przegląd każdego typu osobowości MBTI.

12.8. 5 ran

Porzucenie, odrzucenie, upokorzenie, zdrada, niesprawiedliwość

Na ludzką nieświadomość duży wpływ mają rany psychiczne. Wśród nich jest pięć głównych ran: odrzucenie, porzucenie, zdrada, upokorzenie i niesprawiedliwość. Te pięć ran wywodzi się z początkowego modelu ośmiu ran. Oddziałują one na siebie w podobny sposób jak pięć żywiołów w tradycyjnej medycynie chińskiej, tworząc złożoną sieć wzajemnych wpływów.

Zrozumienie, które rany są obecnie w nas aktywne, może dostarczyć cennych spostrzeżeń. Obserwując, w jaki sposób odrzucenie, zdrada lub niesprawiedliwość wzajemnie się napędzają, możemy uzyskać dynamiczny wgląd w nasz stan psychiczny. To zrozumienie może być kluczem do większej samowiedzy i samodoskonalenia.

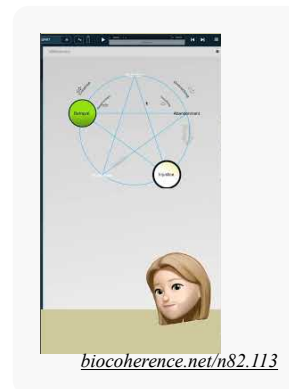
Pochodzenie 5 ran

John Pierrakos, psychoterapeuta i współzałożyciel Instytutu Analizy Bioenergetycznej w 1956 roku, podjął pracę Wilhelma Reicha nad ranami egzystencjalnymi (lub ranami narcystycznymi) i zdefiniował osiem: porzucenie, odrzucenie, upokorzenie, zdrada, niesprawiedliwość, wtargnięcie, bezsilność, niepewność.

Lise Bourbeau później dostosowała i uprościła tę teorię do pięciu emocjonalnych ran, które uniemożliwiają nam bycie sobą. Według niej rany te leżą u podstaw wielu problemów emocjonalnych i dysfunkcyjnych zachowań. Powstają one w dzieciństwie, często między narodzinami a siódmym rokiem życia, ale nadal wpływają na nasze dorosłe życie, jeśli nie zostaną wyleczone.

1. Rana odrzucenia: Rana ta zazwyczaj powstaje bardzo wcześnie, czasem nawet przed narodzinami, i często wiąże się z poczuciem bycia niechcianym. Osoby z tą raną czują się niegodne miłości i unikają sytuacji, w których mogłyby zostać odrzucone. Mają trudności z potwierdzeniem swojej wartości i zajęciem swojego miejsca.
2. Rana porzucenia: Pojawia się, gdy dziecko czuje się opuszczone lub pozbawione wsparcia ze strony bliskich mu osób. Osoby dotknięte tą raną odczuwają silny lęk przed samotnością i nieustannie szukają uwagi i aprobaty innych. Mogą stać się emocjonalnie zależne.
3. Rana upokorzenia: Rozwija się, gdy dziecko czuje się umniejszane lub krytykowane przez rodziców lub bliskich za swoje zachowanie lub działania. Osoby z tą raną mają tendencję do odczuwania wstydu i braku godności. Mogą również upokarzać siebie, aby uniemożliwić to innym.
4. Rana zdrady: Rana ta pojawia się, gdy dziecko czuje się zdradzone przez kogoś, komu zaufało, często rodzica, który nie dotrzymuje obietnic. Osoby z tą raną mają trudności z zaufaniem innym i starają się wszystko kontrolować. Mogą stać się zazdrosne lub zaborcze.
5. Rana niesprawiedliwości: Powstaje, gdy dziecko czuje się niesprawiedliwie traktowane, często przez nadmiernie autorytarnych lub krytycznych rodziców. Osoby dotknięte tą raną dążą do perfekcji i mogą stać się sztywne i nietolerancyjne. Często mają trudności z wyrażaniem swoich emocji.

Lise Bourbeau wyjaśnia, że rany te wpływają na nasze zachowanie i sposób, w jaki postrzegamy świat. Aby wyzdrowieć, konieczne jest rozpoznanie tych ran, zrozumienie ich pochodzenia i praca nad ich przezwyciężeniem.



13. Test

Moduł ten jest przeznaczony do testowania biofeedbacku na żywo i oceny list testowych z istniejących nagrań.

Moduł Test umożliwia wykonanie dowolnego testu na żywo, którego wynik jest oceniany na podstawie chwilowej zmienności określonych biomarkerów; oraz wstępną ocenę dowolnej listy testów na podstawie wartości określonych biomarkerów w bieżącym skanie

Wstępna ocena listy

Można tworzyć nowe listy lub korzystać z istniejących list utworzonych przez innych użytkowników. Po otwarciu listy wszystkie jej pozycje zostaną uszeregowane według priorytetów w odniesieniu do aktualnie otwartego raportu. Następnie można zaznaczyć, które z nich chcą Państwo przetestować na żywo

Testowanie na żywo

Po wybraniu elementów testowanie na żywo umożliwia wyświetlenie ich klientowi i zmierzenie reakcji biofeedbacku jego systemu za pomocą czujnika. Wynik jest klasyfikowany jako 3 możliwe reakcje: wzmacnia system; osłabia system; lub neutralny. Dostępna jest również opcja nieskończonego otwartego testu, która pozwala przetestować dowolne podejście terapeutyczne bezpośrednio na kliencie lub na sobie i zmierzyć wynik na żywo za pomocą biofeedbacku.

13.1. Lista testów

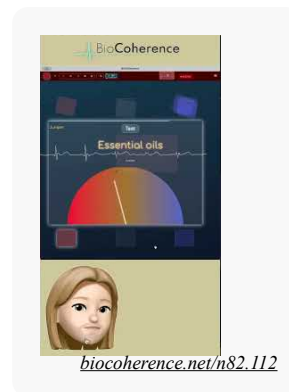
Testowanie z listami w Biocoherence

Zarządzanie i edytowanie list w aplikacji

Podczas pracy z listami mają Państwo do dyspozycji funkcję wyszukiwania słów kluczowych. Choć liczba list jest obecnie ograniczona, aplikacja została zaprojektowana z myślą o rozszerzeniu jej do setek, a nawet tysięcy list. Umożliwi to edytowanie i zarządzanie własnymi testami.

Tryb edycji testów

1. **Dostęp do trybu edycji:** Jeśli znajdują się Państwo na teście, który należy do Państwa, obok testu pojawi się mały ołówek. Proszę go kliknąć, aby przejść do trybu edycji.
2. **Edycja elementów:** Po przejściu do trybu edycji można kliknąć każdy element, aby zmodyfikować tekst i powiązane z nim akcje. Można na przykład zdefiniować działania w kategoriach takich jak Ajurweda, narządy, Vata, Vita itp.
3. **Definiowanie działań:** Proszę kliknąć na kategorie takie jak VPK, aby określić efekty, takie jak zwiększenie lub zmniejszenie określonych elementów (np. aminokwasów, pęcherza moczowego, krwi, mózgu, oczu).



Automatyczna ocena

Automatyczna ocena opiera się na dopasowaniu poziomów elementów użytkowników do działań zdefiniowanych w testach. Umożliwia to uszeregowanie elementów na liście zgodnie z oczekiwanymi wynikami.

Dodatkowe narzędzia

1. **Dodawanie i importowanie:** Można dodawać nowe narzędzia lub importować listę, wklejając elementy wiersz po wierszu.
2. **Usuń listę:** Dostępna jest opcja całkowitego usunięcia listy.

3. **mapa logiczna 2D:** Wkrótce będzie można umieszczać elementy na dwuwymiarowym obrazie, co ułatwi wizualizację i organizację testów.

Ogólne właściwości listy

W górnej części interfejsu można modyfikować ogólne właściwości:

- Kategoria listy
- Widoczność (publiczna lub prywatna)
- Dostęp (bezpłatny lub płatny)

Płatne listy można upublicznić, aby inni użytkownicy mogli uzyskać do nich dostęp za opłatą, jednorazowo lub w ramach miesięcznej subskrypcji. Dzięki temu mogą Państwo dzielić się swoją wiedzą i otrzymywać za to wynagrodzenie.

Zarządzanie nienależącymi listami

Jeśli pracują Państwo nad listą, której nie są właścicielami, można ją powielić. Duplikacja umożliwia utworzenie edytowalnej kopii, w której można zmienić tytuł, opis i działania.

Dostęp do list

Z menu ogólnego, dostępnego po prawej stronie ekranu, można przejść do "Moich list", aby edytować istniejące listy lub tworzyć nowe. Funkcja ta jest dostępna z dowolnego ekranu, w tym z ekranu głównego.

Postępując zgodnie z tymi instrukcjami, będą Państwo mogli efektywnie zarządzać swoimi listami i testami, korzystając z różnych opcji edycji i organizacji oferowanych przez aplikację.

Wprowadzenie do testów opartych na listach

Testy oparte na listach w Biocoherence to całkowicie otwarty system, umożliwiający użytkownikom wybieranie istniejących list, tworzenie nowych list lub duplikowanie istniejących list w celu udostępnienia ich innym użytkownikom.

Czym jest lista?

Lista testowa to zbiór wpisów, na przykład ziół aromatycznych lub olejków eterycznych. Gdy lista jest otwierana w raporcie z dostępnym rekordem, każdy wpis jest oceniany i priorytetyzowany. Wartości procentowe wskazują zgodność wpisów z rekordem, w zakresie od 0% do 100%.

Kody kolorów

- **Zielony:** Bardzo istotne, wysoka zgodność (np. 85%)
- **Inne kolory:** Różne gradacje zgodności (np. 40% dla serii pośredniej)
- **Fioletowy:** Niska zgodność (20-30%)
- **Szary:** Neutralna lub bliska zeru kompatybilność (około 0%)
- **Czerwony:** Brak kompatybilności lub odpowiedź negatywna

Test na żywo

Po wstępnej ocenie, druga część składa się z testu na żywo. Oto kroki, które należy wykonać:

1. **Proszę wybrać elementy:** Proszę wybrać elementy, które mają być testowane indywidualnie.
2. **Podłącz do czujnika:** Proszę podłączyć czujnik do kalibracji.
3. **Uruchom testy:** Testy są uruchamiane jeden po drugim, wysyłając informacje wizualne, dźwiękowe lub inne do testowanej osoby.
4. **Obserwacja:** Osoba musi widzieć lub słyszeć testowane informacje, aby dokonać dokładnej oceny.
5. **Ocena:** System klasyfikuje reakcje organizmu zgodnie z przedstawionymi informacjami.

Wyświetlanie wyników

Po zakończeniu testu wyniki są ponownie wyświetlane i klasyfikowane w następujący sposób:

- **Pomyślny test:** Dobra reakcja organizmu
- **Średni test:** Mieszana reakcja
- **Nierozstrzygający test:** Negatywna lub niespójna reakcja

Znaczenie prezentowanych informacji

Kluczowe jest przedstawienie jak największej ilości informacji na temat testowanych elementów (np. zdjęć, szczegółów dotyczących systemów, na które działają olejki eteryczne), aby uzyskać intuicyjną i mierzalną reakcję organizmu za pośrednictwem systemu biofeedback.

Integracja wyników w raporcie

Wyniki testu pojawiają się w raporcie, pokazując tylko elementy z dobrymi lub średnimi odpowiedziami i wykluczając te, które zostały odrzucone. Raport zawiera :

- **Procent zgodności:** Obliczenie na podstawie wstępnego skanowania
- **Nieświadoma reakcja ciała:** Mierzona podczas prezentacji informacji

Rozwój w przyszłości

Wkrótce dostępne będą nowe funkcje testowe, takie jak testowanie częstotliwości i testowanie na żywo dowolnych informacji.

Tryb edycji testu

Gdy są Państwo w teście, który należy do Państwa, pojawia się mały ołówek. Klikając na ten ołówek, przechodzą Państwo do trybu edycji testu. Następnie można kliknąć każdy element, aby zmodyfikować powiązane z nim teksty i akcje. Na przykład, mogą Państwo ustawić działania na elementach takich jak Ajurweda i narządy, a wkrótce dostępne będą inne rodzaje działań.

Edycja działań

Aby zmodyfikować działanie, należy kliknąć na

14. Równowaga

Zasoby i priorytety; raportowanie, generowanie medytacji i częstotliwości.

Ekran te umożliwiają samodzielną identyfikację i modyfikację zasobów i priorytetów, generowanie raportu PDF oraz tworzenie narzędzi przywracających równowagę, takich jak medytacje z przewodnikiem, określone częstotliwości...

14.1. Priorytety

Proszę określić kluczowe elementy, którymi należy się zająć po analizie

Sekcja równoważenia dotyczy działań, które należy podjąć po zakończeniu analizy i ustaleniu jasnych celów lub gdy urządzenie jest zaufane w zakresie automatycznego określania wymagań.

Priorytety

Definicja i cel: Priorytety to elementy zidentyfikowane przez aplikację jako wymagające uwagi lub interwencji. Są to obszary, w których zdrowie użytkownika może być zagrożone i wymagają wsparcia ze strony zidentyfikowanych zasobów (patrz następny rozdział o zasobach).

Proces wyboru: Aplikacja automatycznie wybiera priorytety w oparciu o algorytm oceniający różne biomarkery. Użytkownicy mogą przeglądać dodatkowe potencjalne priorytety w każdej kategorii i dodawać je w razie potrzeby, klikając "eksploruj", aby uzyskać wstępną selekcję interesujących biomarkerów, lub przeglądając wszystkie ekrany i wybierając interesujące priorytety.

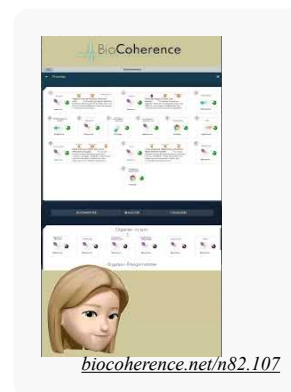
Kategorie: Podobnie jak w przypadku zasobów, priorytety są podzielone na różne grupy, w tym narządy, emocje i punkty energetyczne. Użytkownicy mogą eksplorować te kategorie, aby zidentyfikować dodatkowe obszary zainteresowania.

Personalizacja: Użytkownicy mogą dodawać lub usuwać priorytety z listy, co pozwala na indywidualne podejście do ich podróży zdrowotnej. Zaleca się utrzymywanie liczby priorytetów na rozsądnym poziomie (15-20), aby zachować koncentrację i skuteczność.

Uruchom ponowne obliczenia, aby zoptymalizować system.

Aby ponownie uruchomić obliczenia priorytetów i zasobów, proszę kliknąć odpowiednią ikonę w prawym górnym rogu ekranu głównego. Proszę rozpocząć od zidentyfikowania zasobów, co umożliwi systemowi automatyczną ponowną identyfikację wszystkich niezbędnych zasobów. Następnie proszę zidentyfikować priorytety, klikając odpowiednią opcję, co spowoduje automatyczne dodanie priorytetów zidentyfikowanych przez system. Można również kliknąć "dodaj" i "automatycznie zidentyfikuj priorytety" na ekranie Priorytety; spowoduje to jedynie dodanie nowych priorytetów do bieżącego wyboru, a nie ich usunięcie.

Analiza kształtu fali jest kluczowym krokiem w ewolucji logicznej. Mogą Państwo ponownie obliczyć biomarkery, powiązania, priorytety i zidentyfikować zasoby zgodnie ze swoimi potrzebami. Jeśli napotkają Państwo problemy z dostępem do pełnego raportu, zawsze można go ponownie obliczyć.



Wyświetlanie i modyfikowanie priorytetów

W sekcji priorytetów system wyświetla wszystko, co zostało zidentyfikowane jako istotne. Mogą Państwo modyfikować te priorytety, usuwając je lub dodając nowe. Aby dodać priorytet, należy kliknąć przycisk "Dodaj" i wybrać interesujące elementy z różnych oferowanych kategorii, takich jak narządy, punkty meridianowe lub przepisy TCM (tradycyjnej medycyny chińskiej).

Można również uporządkować listę priorytetów, usuwając te, które nie są już potrzebne. Edycja priorytetów wykorzystuje ten sam interfejs na wszystkich stronach systemu, ale tutaj grupuje wszystkie zdefiniowane priorytety.

Na koniec można dodać komentarze do priorytetów. Komentarze te zostaną zintegrowane z raportem końcowym, zapewniając dodatkowy kontekst dla każdego zidentyfikowanego priorytetu.

Mogą Państwo dodawać lub usuwać pozycje priorytetowe z dowolnej strony, klikając ikonę po prawej stronie odpowiedniego kwiatu. Jeśli ta ikona jest zielona, biomarker jest obecny w priorytetach; jeśli jest czerwona, nie jest.

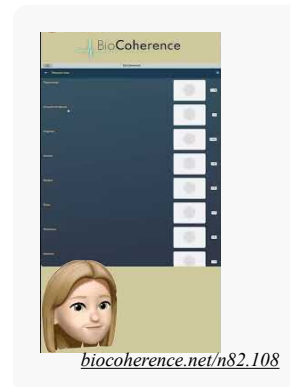
14.2. Zasoby

Filary, na których można solidnie zharmonizować

Zanim zajmiemy się zasobami, Christine Degoy podzieli się z Państwem kilkoma spostrzeżeniami na temat swoich badań:

"Rozwinęliśmy kulturę - nowy sposób myślenia - o angażowaniu się w problematyczne systemy. Dziesięć lat pracy terapeutycznej i badań z klientami początkowo ujawniło mi spójność w każdej istocie. Ten naturalny rezonans jest kluczowy, ponieważ pomaga zbadać pełne spektrum problemów. Jest to najłatwiejszy sposób na ustanowienie głębokich wewnętrznych połączeń, sprzyjających pozytywnemu zarażeniu, które zwiększa spójność systemu. Takie podejście umożliwia jednostkom uzdrawianie i rozwój wewnętrzny, z poszanowaniem naturalnego porządku ich ciała. Nazywamy to "drogą zasobów", otwartymi drzwiami do możliwości.

Zasoby są najbardziej spójnymi i potężnymi częściami naszej istoty, podobnymi do supermocy, które rozwinęliśmy w ciągu naszego życia. Koncepcja zasobów na całe życie będzie ostatecznie częścią naszego modułu misji życiowych. Nawet pojedynczy organ, meridian, punkt akupunktury, czakra, emocja itp. może być potężnym zasobem, przyczyniającym się do szczęśliwego zarażenia, które wyrównuje nasze życie i ciało. " -- Christine Degoy



Po przyjrzeniu się priorytetom - kluczowym elementom, którymi należy się zająć w danym momencie - przejdziemy do zasobów. Zasoby, reprezentowane przez małą ikonę biletu z gwiazdką, są "gwiazdnymi" elementami ciała. Są to te, które są przepelnione energią, są niezwykle stabilne i na których ciało może polegać, aby rozprowadzać energię do priorytetów w całym procesie leczenia.

W aplikacji opracowaliśmy zaawansowany algorytm do obliczania wyniku zasobów dla każdego biomarkera. Wynik ten identyfikuje najbardziej energetyczne i stabilne elementy, podkreślając priorytety do poprawy. Uwzględnia on różne czynniki, takie jak stabilność, energia i łączność elementu, w wyniku czego powstaje strona zasobów, którą widzą Państwo teraz.

Szczegółowe zrozumienie zasobów i priorytetów w aplikacji BioCoherence oferuje użytkownikom jasną ścieżkę do wykorzystania ich wrodzonych mocnych stron i zajęcia się obszarami niezbędnymi do poprawy zdrowia i samopoczucia.

Zasoby są automatycznie identyfikowane po nagraniu, dzięki algorytmowi opracowanemu w celu uwzględnienia wszystkich dostępnych elementów. W razie potrzeby możliwe jest ręczne zmodyfikowanie tych zasobów. Na przykład, podczas uzyskiwania dostępu do sekcji narządów, jeśli neuroprzebieżniki zostaną zidentyfikowane jako główny zasób, można je kliknąć, aby zobaczyć wybór innych silnych zasobów.

Dostępne zasoby z tej rodziny są następnie uszeregowane w odwrotnej kolejności, od najsilniejszych do najsłabszych. Jeśli woła Państwo pracować z innym zasobem, na przykład językiem zamiast neuroprzebieżników, tchawicą lub jądrami komórkowymi neuronów, wystarczy kliknąć żądany zasób, aby go wybrać. Aby lepiej zrozumieć, co odpowiada każdemu zasobowi, można kliknąć ikonę kwiatu, aby zobaczyć połączenia i dokonać bardziej świadomego wyboru.

Zasoby te będą następnie wykorzystywane na różnych etapach reharmonizacji.

Krótką prezentacją zasobów

Nasze podejście wprowadza zmianę paradygmatu w podejściu do problematycznych systemów. Początkowo odkryta poprzez praktyki terapeutyczne, metoda ta kładzie nacisk na spójność wewnątrz jednostki. Ten naturalny rezonans między terapią a osobistą spójnością służy jako podstawa do rozwiązywania szerszych problemów. Podejście to wspiera wewnętrzną łączność, prowadząc do "szczęśliwego zarażenia", które wzmacnia osobiste uzdrowienie i wzmocnienie bez zewnętrznych protokołów. Metodologia ta, określana jako "droga zasobów", szanuje złożone systemy i promuje synergię.

Zasoby są identyfikowane jako najbardziej spójne i silne aspekty ciała, podobne do wrodzonych supermocy. Aby jeszcze bardziej poszerzyć zrozumienie osobistej podróży, przyszłe aktualizacje będą obejmować misje życiowe, które są rozszerzeniem badań Christine.

Na przykład konkretny organ może być znaczącym zasobem, potencjalnie rozpraszającym moc i spójność w całym ciele. Aplikacja wykorzystuje zaawansowany algorytm do obliczania wyniku zasobów dla każdego biomarkera, identyfikując optymalne zasoby i priorytety. Algorytm ocenia energię, stabilność i łączność, biorąc pod uwagę siłę lub słabość tych połączeń, w wyniku czego powstaje kompleksowa strona zasobów.

Zasoby i priorytety w BioCoherence

Przegląd

Aplikacja BioCoherence zapewnia kompleksową analizę stanu fizjologicznego i energetycznego użytkownika poprzez szczegółowe skanowanie. Po zakończeniu wstępnego skanowania, użytkownicy otrzymują dwa kluczowe elementy: Zasoby i Priorytety. Elementy te są niezbędne do interpretacji wyników skanowania i prowadzenia użytkownika w kierunku optymalnego zdrowia i dobrego samopoczucia.

Zasoby

Definicja i cel: Zasoby w aplikacji BioCoherence odnoszą się do najbardziej spójnych, stabilnych i energetycznie silnych elementów w ciele użytkownika. Elementy te są identyfikowane jako wrodzone mocne strony użytkownika lub "supermoce", które można wykorzystać do wspierania leczenia i równowagi.

Obliczenia: Aplikacja wykorzystuje zaawansowany algorytm do określenia wyniku zasobów dla każdego biomarkera. Wynik ten uwzględnia takie czynniki, jak poziom energii, stabilność i łączność z innymi elementami. Najwyżej punktowane elementy są identyfikowane jako zasoby.

Kategorie: Zasoby są podzielone na dziesięć grup, w tym:

- Grupy narządów (np. grupy oparte na ajurwedzie)
- Poszczególne organy
- Atomy
- Meridiany
- Pęd (stany dynamiczne)
- Napędy (emocje)
- Organizmy (symbiotyczne lub pasożytnicze)
- Punkty TCM
- Podpunkty ajurwedyjskie
- Czakry

Personalizacja: Użytkownicy mogą zaakceptować automatyczny wybór zasobów przez aplikację lub ręcznie dostosować je w oparciu o osobisty rezonans lub cele terapeutyczne. To dostosowanie pozwala na spersonalizowane podejście do leczenia.

Integracja z funkcjami Balance

- **Częstotliwości:** Aplikacja wykorzystuje zasoby i priorytety do stworzenia programu częstotliwości. Program ten obejmuje główne częstotliwości ukierunkowane na określone narządy, emocje lub struktury energetyczne. Użytkownicy mogą rozszerzyć ten program o dodatkowe protokoły w celu zwiększenia skuteczności.
- **Równowaga:** Aplikacja oblicza optymalną ścieżkę poprzez wybrane priorytety, tworząc medytację z przewodnikiem lub sesję równowagi. Sesja ta rozpoczyna się od aktywacji zasobów, po czym następuje zajęcie się każdym priorytetem w kolejności.
- **Raport PDF:** Użytkownicy mogą wygenerować raport PDF, który zawiera szczegółowe informacje o ich zasobach i priorytetach, zapewniając kompleksowy przegląd ich obecnego stanu i skupienia terapeutycznego.

Praktyczne zastosowanie

Czas użytkowania: Programy medytacji i częstotliwości w aplikacji mogą być używane o dowolnej porze dnia, w zależności od osobistych preferencji. Niektórzy użytkownicy mogą uznać za korzystne angażowanie się w te praktyki w spokojnych momentach, takich jak wczesny poranek lub późna noc.

14.3. Raport PDF

Generowanie, eksportowanie plików PDF, drukowanie i udostępnianie wyników

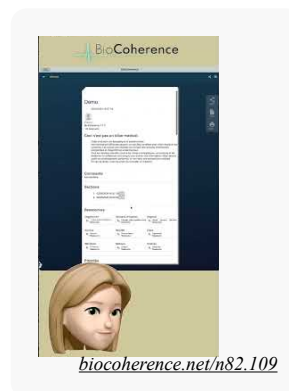
Rozdział: Generowanie raportów i zarządzanie nimi za pomocą programu Balance

Trzecią kluczową funkcją Balance jest generowanie raportów. Funkcja ta umożliwia utworzenie pliku PDF zawierającego wszystkie informacje zachowane podczas korzystania z aplikacji.

Zawartość raportu PDF

Wygenerowany raport PDF zawiera:

- Sekcje projektu i czas trwania
- Pisemne komentarze
- Zidentyfikowane zasoby
- Zdefiniowane priorytety
- Najbardziej lub najmniej energetyczne organy
- Najbardziej lub najmniej pobudzone organy
- Narządy w spójności
- Meridiany
- Receptury tradycyjnej medycyny chińskiej (TCM)
- itp.



Dostosowywanie raportu

Mogą Państwo dodawać lub usuwać sekcje z raportu. W tym celu należy uzyskać dostęp do typów sekcji i skorzystać z dostępnych narzędzi, aby dostosować raport do swoich potrzeb.

Udostępnianie i zapisywanie raportów

Raport PDF można udostępniać bezpośrednio za pośrednictwem kilku kanałów:

- **Bezpośrednie udostępnianie:** Proszę użyć pola udostępniania, aby wysłać raport przez WhatsApp, SMS lub komunikator.
- **Zapisywanie:** Proszę kliknąć "Plik PDF", aby zapisać raport. Na komputerze można zapisać go bezpośrednio na dysku twardym. Na telefonie lub tablecie (iPad) zostanie on zapisany w Państwa plikach.
- **Drukuj:** Proszę kliknąć "Drukuj", aby wydrukować raport. Na komputerze otworzy się okno dialogowe drukowania. W telefonie opcja drukowania pojawi się, jeśli w sieci dostępna jest kompatybilna drukarka.

Raport PDF zachowuje wszystkie wprowadzone informacje, w tym wszelkie komentarze dodane w różnych sekcjach. Funkcja ta zapewnia, że wszystkie ważne dane są scentralizowane i łatwo dostępne do wykorzystania w przyszłości.

14.4. Równowaga: Medytacje, dźwięki i narzędzia

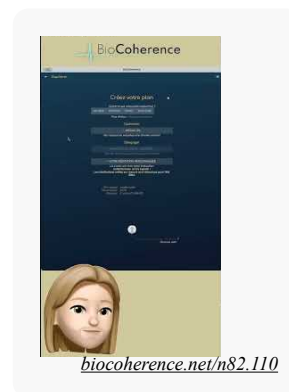
medytacje z przewodnikiem, generowanie częstotliwości i rozpuszczanie kryształów czasowych. Na tym etapie modul ten jest przygotowywany i będzie rozwijany w nadchodzących miesiącach.

Równoważenie za pomocą spersonalizowanych medytacji z przewodnikiem

Sekcja "Równoważenie" jest kluczową częścią naszej metody, poświęconą tworzeniu medytacji z przewodnikiem lub plików audio integrujących częstotliwości wymagane dla każdej osoby. Zasada opiera się na progresywnym podejściu, porównywalnym do obierania cebuli: problemy znajdujące się najbliżej nas są najłatwiejsze do rozwiązania, podczas gdy te znajdujące się dalej wymagają bardziej dogłębnego leczenia. Proces ten odbywa się krok po kroku, podążając idealną ścieżką zdefiniowaną w celu przejścia przez różne elementy priorytetowe w określonej kolejności.

Parametry medytacji

1. **Prędkość medytacji:** W zależności od parametrów wykrytych podczas nagrywania, określana jest prędkość, z jaką dana osoba wchodzi w medytację.
2. **Typ osobowości:** Czynniki te wpływają na konstrukcję medytacji.
3. **Muzyka:** Akordy i ogólna skala są identyfikowane, aby rozpocząć na poziomie danej osoby.



Wybór zasobów

Zasoby są zaprojektowane tak, aby wykorzystać najpotężniejsze elementy w każdej kategorii. Odpowiednie zasoby są wywoływane każdego dnia, aby zająć się priorytetami dnia.

Wybór priorytetów

Dla każdego rodzaju wybranych priorytetów dostępna jest seria medytacji. Serie te obejmują różne rodzaje medytacji z przewodnikiem dostosowane do różnych profili. Następnie aplikacja określa najbardziej odpowiednie medytacje z przewodnikiem, po których następuje druga część oparta na częstotliwościach lub głosach generowanych zgodnie z priorytetami, którymi należy się zająć i zasobami, z których należy skorzystać.

Nagrywanie i działania następcze

Po zaprojektowaniu spersonalizowanych wskazówek można je zapisać na koncie użytkownika. Użytkownicy mogą następnie zainstalować aplikację BioCoherence, wprowadzić swój adres e-mail i uzyskać dostęp do spersonalizowanej medytacji. Możliwe jest również regularne dokonywanie ponownej oceny przed każdą sesją medytacyjną za pośrednictwem aplikacji. Ponowna ocena wyświetli monit o zarejestrowanie czujnika i podłączenie go w celu przeprowadzenia nowej oceny.

Monitorowanie postępów

Postępy są wyświetlane w postaci krzywych odpowiadających każdemu priorytetowi, umożliwiając wizualizację postępów i punktów, którymi należy się zająć. Dostępne są również inne metody śledzenia, takie jak kwestionariusze początkowe i uzupełniające.

Plan i czas trwania

Po sporządzeniu planu i utworzeniu spersonalizowanej medytacji jest ona dostępna w profilu użytkownika. Użytkownik może zostać zaproszony do zainstalowania aplikacji za pośrednictwem wiadomości e-mail, aby bezpośrednio uruchomić medytację z przewodnikiem. Pełna sesja równoważenia jest zaplanowana na trzy tygodnie.

Szczegółowy przewodnik: Korzystanie z Harmonic Boost i Personal Guide w BioCoherence

Harmonic Boost i Personal Guide to dwie kluczowe funkcje aplikacji BioCoherence, które umożliwiają użytkownikom korzystanie ze spersonalizowanych programów częstotliwości. Narzędzia te pomagają użytkownikom zintegrować bioaktywne częstotliwości z ich codzienną rutyną, wspierając ich równowagę energetyczną i fizjologiczną. Ta sekcja zawiera szczegółowy przewodnik na temat efektywnego korzystania z tych funkcji, w tym najlepsze praktyki dla różnych scenariuszy.

1. Harmonic Boost

Czym jest Harmonic Boost?

Harmonic Boost to narzędzie oparte na częstotliwości, które odtwarza wszystkie wybrane priorytety jednocześnie. Zostało zaprojektowane w celu zapewnienia kompleksowej, holistycznej harmonizacji energetycznej w krótkim czasie.

Jak korzystać z Harmonic Boost

- Dostęp do Harmonic Boost:
 - Proszę otworzyć aplikację BioCoherence.
 - Przejść do aktywnego rekordu (znajduje się on na środku ekranu głównego) lub wybrać rekord z listy.
 - Proszę kliknąć na Harmonic Boost, aby rozpocząć odtwarzanie częstotliwości.
- Odtwarzanie funkcji Harmonic Boost:
 - Harmonic Boost odtwarza wszystkie wybrane priorytety jednocześnie. Można również filtrować według energii, ciała i umysłu; programów o wysokim priorityecie; programów z protokołami itp. Proszę filtrować programy, jeśli na przykład chcą Państwo tylko energetycznego wzmocnienia lub jeśli są Państwo w nastroju do zajęcia się głębszymi problemami, filtrując tylko programy z protokołami.
 - Może być odtwarzany w tle podczas wykonywania codziennych czynności. Głośność może być bardzo niska.
 - Zaleca się używanie słuchawek lub zewnętrznych głośników dla lepszego rezonansu. Można nawet użyć słuchawek dousznych w kieszeni, które dostarczą do ciała niewielkie pole elektromagnetyczne z zawartymi w nim bioaktywnymi częstotliwościami. W ten sposób nie muszą Państwo słuchać częstotliwości: Państwa pole energetyczne, ciało i umysł zarejestrują je elektromagnetycznie.
- Eksportowanie Harmonic Boost:
 - Użytkownicy mogą wyeksportować Harmonic Boost jako plik MP3 do użytku offline.
 - Na komputerach Mac, iPhone, iPad i Android plik można zapisać lub udostępnić bezpośrednio przez SMS, AirDrop, WhatsApp lub e-mail.
 - W systemie Windows plik musi zostać zapisany ręcznie, a następnie udostępniony.
- Najlepsze praktyki:
 - Codzienne użytkowanie: Proszę odtwarzać Harmonic Boost raz lub dwa razy dziennie.
 - Pasywne słuchanie: Może być odtwarzany przy niskim poziomie głośności w tle.
 - Sesje skoncentrowane: Aby uzyskać głębsze efekty, proszę słuchać w cichym otoczeniu z minimalnymi zakłóceniami.

2. Osobisty przewodnik

Czym jest Personal Guide?

Personal Guide to medytacja z przewodnikiem, która integruje spersonalizowane częstotliwości ze wskazówkami głosowymi. Pomaga użytkownikom skupić się na ich równowadze energetycznej i fizjologicznej poprzez ustrukturyzowaną wizualizację i techniki relaksacyjne. Celem tego przewodnika jest zintegrowanie skoncentrowanej świadomości uzdrawiania z Państwa codziennym życiem.

Jak korzystać z osobistego przewodnika

- Uzyskiwanie dostępu do osobistego przewodnika:
 - Proszę otworzyć aplikację BioCoherence.
 - Przejść do aktywnego rekordu (znajduje się on na środku ekranu głównego) lub wybrać rekord z listy.
 - Proszę kliknąć Personal Guide, aby rozpocząć sesję.
- Dostosowywanie osobistego przewodnika:
 - Czas trwania: Proszę dostosować żądaną długość sesji za pomocą suwaka.
 - Prędkość nurkowania: Prędkość i intensywność stosowanych technik relaksacyjnych są wstępnie obliczane na podstawie zmierzonych parametrów życiowych.

- Typ osobowości: Automatycznie wybrany na podstawie skanowania.
- Akord muzyczny: Spersonalizowany na podstawie analizy rezonansu.
- Tryb zakończenia:
 - Tryb czuwania: Delikatnie przywraca użytkownika do stanu czuwania.
 - Tryb uspienia: Wprowadza użytkownika w stan głębokiego snu.
- Odtwarzanie osobistego przewodnika:
 - Sesja obejmuje wskazówki głosowe, indywidualne częstotliwości i binaural beats oraz szum tła.
 - Użytkownicy mogą wyciszyć głos, jeśli wolą słuchać tylko częstotliwości.
 - Biały szum, częstotliwości i binaural beats można dostosować do głębszego relaksu.
- Najlepsze praktyki
 - Codzienne użytkowanie: Zalecane raz dziennie, najlepiej w cichym otoczeniu.
 - Przed snem: Proszę użyć trybu snu, aby zwiększyć relaksację.
 - Podczas medytacji: Proszę skupić się na instrukcjach, aby uzyskać maksymalne korzyści.
 - Bez głosu: Niektórzy użytkownicy wolą wyciszyć głos i słuchać tylko częstotliwości. Może to być relaksujący tryb przed snem, szczególnie w ostatnich dniach 21-dniowego programu, jeśli wskazówki są już zinternalizowane.

3. Łączenie Harmonic Boost, osobistego przewodnika i programów podstawowych

Oprócz osobistego programu, niektóre podstawowe programy mogą być przydatne podczas podróży.

Programy podstawowe to wstępnie ustawione programy dla konkretnego przypadku użycia: na przykład: detoks, pielęgnacja oczu, harmonizacja czakr, zarządzanie stresem.... Te podstawowe programy zostały starannie zaprojektowane przez naszych specjalistów do ogólnego użytku bez skanowania.

Użytkownicy mogą wybrać:

- Uruchamiać je oddzielnie (np. program podstawowy rano, Harmonic Boost w ciągu dnia, Personal Guide wieczorem).
- Połączyć je, dodając kilka podstawowych programów i częstotliwości Harmonic Boost do Personal Guide.

Jak połączyć oba programy

1. Proszę otworzyć Rekord i przejść do Priorytety.
2. Proszę kliknąć przycisk, aby dodać dodatkowe priorytety.
3. Proszę wybrać podstawowe programy, na przykład Energia > Detoks (lub inną odpowiednią kategorię).
4. Proszę kliknąć Dodaj wszystkie priorytety, aby zintegrować je z sesją.

Najlepsze praktyki dla kombinacji

- Poranna rutyna: Proszę użyć Harmonic Boost, przefiltrowanego do Energy, aby szybko wyrównać energię.
- Poranna pauza energetyczna: proszę odtworzyć szybki program Basic, aby uzyskać natychmiastową ulgę.
- Wieczorna rutyna: Proszę użyć codziennego 21-dniowego programu Personal Guide dla głębokiego relaksu i integracji.
- Ciągłe wsparcie: Proszę odtwarzać cały program Harmonic Boost przy bardzo niskim poziomie głośności przez cały dzień.

4. Ocena postępów

Ponowna ocena

- Użytkownicy powinni przeprowadzać ponowne oceny co 3 do 7 dni w celu śledzenia postępów. Potrzebują czujnika do pomiaru parametrów życiowych i obliczania biomarkerów.
- Każda ponowna ocena aktualizuje znaczenie priorytetów i postępy oraz odpowiednio dostosowuje program.

Oznaki poprawy

- Zmiany fizyczne: Zmniejszenie objawów lub dyskomfortu.
- Zmiany energetyczne: Uczucie większej równowagi i skupienia.
- Dobre samopoczucie emocjonalne: Zwiększona klarowność i stabilność emocjonalna.

5. Rozwiązywanie problemów i najczęściej zadawane pytania

Dlaczego mój główny problem nie znajduje się w priorytetach?

System nadaje priorytety przyczynom źródłowym, a nie objawom. Proszę skorzystać z funkcji łańcucha przyczynowo-skutkowego, aby zbadać powiązane czynniki.

Czy mogę słuchać podczas wykonywania innych czynności?

Tak, Harmonic Boost może być odtwarzany w tle. Osobistego przewodnika najlepiej używać w cichym, skoncentrowanym otoczeniu.

Jak mogę udostępnić osobisty przewodnik klientowi?

Proszę upewnić się, że nagranie zostało udostępnione klientowi. Klient może uzyskać dostęp do osobistego przewodnika bezpośrednio w swojej aplikacji.

Czy mogę wyeksportować Personal Guide?

Nie, ze względu na złożony charakter i regulację biofeedbacku na żywo, Personal Guide musi być odtwarzany z poziomu aplikacji i nie może być eksportowany. Tylko Harmonic Boost można zapisać jako plik MP3.

6. Podsumowanie

- Harmonic Boost Odtwarza wszystkie wybrane priorytety jednocześnie, do słuchania w tle, pasywnej harmonizacji.
- Personal Guide to medytacja z przewodnikiem ze spersonalizowanymi częstotliwościami do sesji Focused, głębokiego relaksu.
- Kombinacja łączy oba te elementy, zapewniając kompleksowe doświadczenie.
- Poranne pobudzenie, wieczorna medytacja i ponowna ocena co 3-7 dni pozwalają na aktualizację priorytetów w oparciu o postępy.

Postępując zgodnie z tymi wskazówkami, użytkownicy mogą zmaksymalizować korzyści płynące z BioCoherence i stworzyć spersonalizowaną podróż uzdrawiającą.

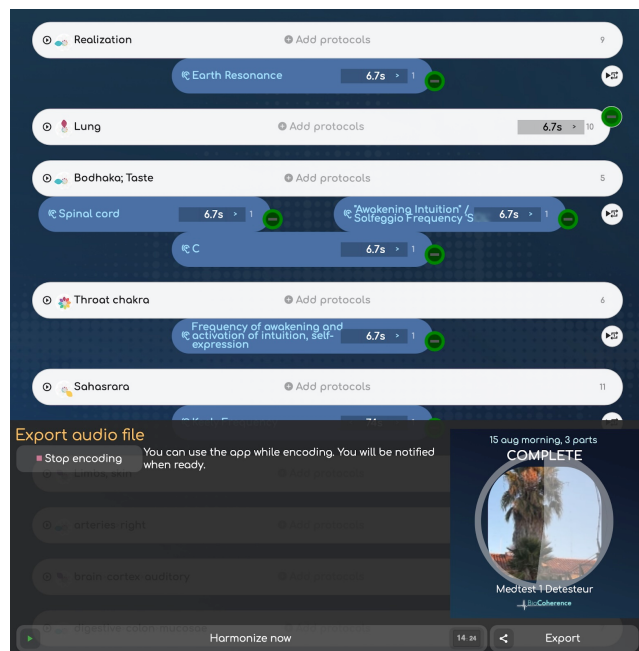
14.5. Harmonic Boost

Funkcja Harmonic Boost w BioCoherence została zaprojektowana w celu zwiększenia skuteczności medytacji i harmonizacji opartej na częstotliwościach poprzez integrację określonych **częstotliwości** dostosowanych do potrzeb użytkownika i określonych **protokołów**. Funkcja ta pozwala użytkownikom stymulować i korygować różne biomarkery za pomocą kombinacji wstępnie ustawionych i zindywidualizowanych programów częstotliwości.

Kolory elementów i ich funkcje

Interfejs Harmonic Boost składa się z różnych kolorowych elementów, z których każdy służy odrębnemu celowi:

- Białe elementy: Reprezentują one **harmonizacje systemowe**, powiązane z konkretnym biomarkerem. Są to wstępnie obliczone zestawy częstotliwości powiązane z określonymi narządami, punktami akupunkturoowymi, obciążeniami (np. stresem geopatycznym) lub innymi biomarkerami. Częstotliwości te są stałe i nie zmieniają się w oparciu o indywidualne wyniki analizy.
- Niebieskie elementy: Reprezentują one protokoły naprawcze. Są one zindywidualizowane i obliczane lokalnie na urządzeniu użytkownika. Częstotliwości te są wybierane na podstawie konkretnych potrzeb użytkownika i mają na celu zrównoważenie dysharmonii wykrytych w analizie.
 - Ciemnoniebieskie elementy: Są to bioaktywne pojedyncze częstotliwości lub zbiory częstotliwości (widma częstotliwości), które mogą być odtwarzane elektrycznie lub akustycznie.
 - Elementy jasnoniebieskie: Są to binaural beats, które zostały zaprojektowane tak, aby bardzo niskie częstotliwości były słyszalne akustycznie i trenowały mózg w określone zmienione stany świadomości. Działają one poprzez odtwarzanie dwóch nieco różnych częstotliwości w każdym uchu, tworząc częstotliwość dudnienia w mózgu, która jest zgodna z pożądanym efektem terapeutycznym.



Tryb działania i funkcjonalność

Wstępnie obliczone częstotliwości

- Wszystkie częstotliwości harmonizacji biomarkerów (białe elementy) są wstępnie obliczane i przechowywane zarówno lokalnie, jak i w chmurze. Zapewnia to płynne odtwarzanie bez konieczności wykonywania obliczeń w czasie rzeczywistym, nawet na urządzeniach z niższej półki.
- Ten sam proces wstępnego obliczania zostanie zastosowany do niebieskich elementów (które są wysoce zindywidualizowane) w wymaganym czasie, bezpośrednio na urządzeniu użytkownika, eliminując usterki i poprawiając wydajność.

Obliczenia w czasie rzeczywistym dla zindywidualizowanych protokołów

- Gdy użytkownik dodaje protokół (niebieskie elementy), system oblicza wymagane częstotliwości lokalnie przed odtwarzaniem.
- Zapewnia to, że częstotliwości są dostosowane do konkretnych potrzeb użytkownika przy zachowaniu optymalnej wydajności.

Jednoczesne odtwarzanie częstotliwości

- System Harmonic Boost odtwarza cztery częstotliwości jednocześnie.
- Jeśli wybrano tylko białe elementy, odtwarzane są cztery częstotliwości z zestawu harmonizacji biomarkerów.
- Jeśli wybrano zarówno białe, jak i niebieskie elementy, system dynamicznie równoważy odtwarzane częstotliwości między harmonizacją biomarkera a częstotliwościami korekcyjnymi.

Fakt, że częstotliwości są odtwarzane razem, pozwala na ukierunkowane działanie protokołów poprzez ustanowienie bezpośredniego pomostu do wybranego systemu poprzez efekt rezonansu i dodanie częstotliwości protokołu w celu uzyskania efektu ukierunkowanego lasera skierowanego na protokół konkretnie na system.

Binaural Beat Integration

- Gdy włączony jest rytm obuuszny (jasnoniebieski element), jest on mieszany z jedną z częstotliwości biomarkera.
- Na przykład, jeśli częstotliwość stresu geopatycznego wynosi 100 Hz, a dudnienie binauralne 8 Hz, system będzie odtwarzał 100 Hz w jednym uchu i 108 Hz w drugim, tworząc dudnienie 8 Hz w mózgu.

Czas trwania i synchronizacja

- Domyślny czas trwania każdego cyklu częstotliwości wynosi 6,73 sekundy, co stanowi wielokrotność czasu Plancka względem złotej proporcji (ϕ).
- Każdy biały lub niebieski program składa się z wielu cykli, trwających zazwyczaj od 10 do 150 sekund (z cyklami resetowania trwającymi 6,73 sekundy).
- Użytkownicy mogą dostosować czas trwania programu, aby był krótszy lub dłuższy, w zależności od potrzeb.
- Kompletny program można wyeksportować jako jeden plik audio, a podzbiory można eksportować bezpośrednio, aby na przykład zająć się konkretną energią, ciałem, umysłem lub elementami wymagającymi największej uwagi.

Dostosowywanie i eksport

Dodawanie protokołów

- Użytkownicy mogą ręcznie dodawać protokoły w celu zwiększenia skuteczności sesji Harmonic Boost.
- System zapewnia sugerowane protokoły w oparciu o wybrany biomarker, ale użytkownicy mogą również wyszukiwać dodatkowe protokoły. Dostępnych jest ponad 2000 protokołów, a lista jest regularnie wzbogacana o nowe badania.

Eksportowanie plików MP3

- Użytkownicy mogą eksportować sesje Harmonic Boost jako pliki MP3 do użytku offline.
- Wyeksportowane pliki zawierają metadane, takie jak okładki albumów i słowa kluczowe, dzięki czemu można je łatwo uporządkować w bibliotekach muzycznych.

Praktyczne zastosowania

- Ulepszenie osobistego przewodnika: Użytkownicy usłyszą częstotliwości Harmonic Boost w osobistych medytacjach z przewodnikiem dla głębszego relaksu i uzdrowienia.
- Ukierunkowane leczenie: Wybierając określone biomarkery i protokoły naprawcze, użytkownicy mogą tworzyć spersonalizowane sesje uzdrawiania.
- Zwiększanie energii: Użytkownicy mogą tworzyć i zapisywać zestawy częstotliwości wzmacniających energię, aby mieć do nich szybki dostęp w razie potrzeby.

Funkcja Harmonic Boost w BioCoherence zapewnia potężne narzędzie do harmonizacji opartej na częstotliwości. Łącząc wstępnie obliczone częstotliwości biomarkerów ze zindywidualizowanymi protokołami naprawczymi, użytkownicy mogą tworzyć wysoce skuteczne i spersonalizowane sesje lecznicze. Możliwość eksportowania i odtwarzania tych sesji w trybie offline dodatkowo zwiększa dostępność i użyteczność.

15. Sztuczna inteligencja w BioCoherence

BioCoherence wykorzystuje najnowsze technologie sztucznej inteligencji (AI), aby ułatwić zrozumienie, wykorzystanie i analizę w płynny i w pełni zintegrowany sposób.

- **Asystenci AI** są w stanie wyjaśniać, analizować, testować i działać zgodnie z priorytetami. Ponad 30 wyspecjalizowanych asystentów może odbierać wartości biomarkerów i otwierać prosty czat z użytkownikiem lub profesjonalistą.
- W przypadku profesjonalistów **tworzenie pozycji na liście** jest przyspieszone dzięki pomocy w pisaniu części medytacyjnych, automatycznej identyfikacji działań, wyszukiwaniu składników produktów....
- BioCoherence integruje tysiące ekskluzywnych algorytmów powiązanych z BioFeedback i biomarkerami, z których niektóre zostały uzyskane przy pomocy głębokiego uczenia się i sztucznej inteligencji.

15.1. Pomocnicy AI

Jednym z najbardziej ekscytujących rozwiązań w BioCoherence jest wprowadzenie AI Helpers. Asystenci AI zostali zaprojektowani, aby pomóc użytkownikom w poruszaniu się po ogromnej ilości informacji w aplikacji, ułatwiając zrozumienie i wykorzystanie danych ze skanów biofeedback.

Pomocnicy AI w BioCoherence zostali zaprojektowani w celu zwiększenia komfortu użytkownika poprzez zapewnienie dostosowanych wskazówek, wyjaśnień i tworzenia programów w oparciu o dane użytkownika. Te moduły AI zmniejszają krzywą uczenia się dla nowych użytkowników i oferują profesjonalistom sposób na usprawnienie interakcji z klientami. Pomocnicy AI mogą działać w dwóch różnych trybach, w zależności od kontekstu ich użycia:

1. **Bez nagrywania:** Użytkownicy mogą czatować ze sztuczną inteligencją, aby stworzyć podstawowy program w oparciu o ich potrzeby. Z poziomu strony głównej: Użytkownicy mogą wchodzić w interakcje ze sztuczną inteligencją w celu uzyskania ogólnych wskazówek bez łączenia się z określonymi biomarkerami.
2. **Z otwartym nagraniem:** Pomocnicy AI analizują biomarkery użytkownika i dostarczają spostrzeżeń lub zaleceń w oparciu o zarejestrowane dane.



Kluczowe funkcje

AI Helpers działają jak wirtualna klinika, z wyspecjalizowanymi asystentami działającymi jako pielęgniarki i personel pomocniczy zarówno dla użytkowników ogólnych, jak i profesjonalnych lekarzy. Ci asystenci AI mogą

- Odczytywać i interpretować biomarkery z Państwa skanów i skanów Państwa klientów.
- Pokazywać określone biomarkery i interpretować ich wartości.
- Odtwarzać wzmocnienia harmoniczne, aby pomóc zrównoważyć energię.
- Modyfikować priorytety w oparciu o dane zdrowotne i dyskusję.
- Dodawać elementy do listy wzmocnień harmonicznych w celu spersonalizowanego leczenia.
- Żądanie i analizowanie nowych testów w czasie rzeczywistym.
- Udzielać wyjaśnień i porad dotyczących różnych biomarkerów i wyników testów.
- W razie potrzeby przekierowywać klientów do profesjonalnych konsultacji.

Oznacza to, że użytkownicy mogą wchodzić w interakcje ze sztuczną inteligencją, aby uzyskać głębszy wgląd w swoje zdrowie, zadawać pytania dotyczące wyników, a nawet otrzymywać zalecenia dotyczące praktycznych spostrzeżeń, medytacji, leków ziołowych i nie tylko:

- Pomoc dostosowana do potrzeb: Każdy AI Helper specjalizuje się w określonej dziedzinie, takiej jak naturopatia, tradycyjna medycyna chińska (TCM), olejki eteryczne lub medytacja. Obecnie istnieje ponad 25 pomocników AI. Otrzymują oni wyselekcjonowany podzbiór biomarkerów istotnych dla ich wiedzy specjalistycznej, określone odpowiedzi, określoną wiedzę i szkolenia, określone listy i elementy list, określone dodatkowe informacje i określone umiejętności.

- Tworzenie podstawowych programów: Użytkownicy mogą tworzyć spersonalizowane programy, omawiając swoje potrzeby ze sztuczną inteligencją. Programy te są zapisywane w sekcji "Programy podstawowe" i mogą być uruchamiane natychmiast.
- Obsługa języków: AI Helpers obsługuje wiele języków, umożliwiając użytkownikom interakcję w ich ojczystym języku. System został zaprojektowany tak, aby skutecznie obsługiwać wielojęzyczne zapytania.
- Konfigurowalny dostęp: Specjaliści mogą kontrolować, którzy AI Helpers są dostępni dla ich klientów i do jakich danych mają dostęp. Zapewnia to, że sztuczna inteligencja działa w granicach określonych przez specjalistę.

Sztuczna inteligencja została zaprojektowana tak, aby uznawać swoje ograniczenia, zapewniając, że użytkownicy są zachęceni do szukania profesjonalnych wskazówek w razie potrzeby.

Pomocnicy AI dla profesjonalistów

Dla praktyków pomocnicy AI służą jako inteligentni asystenci, którzy mogą:

- Pomagają wyjaśnić klientom złożone biomarkery.
- Sugerować dodatkowe testy w oparciu o dane klienta.
- Polecać techniki medytacyjne lub ziołowe środki lecznicze.
- Złagodzić proces wyjaśniania, dostarczając klientowi wybranych pomocników AI z umiejętnościami wyjaśniania, ale nie modyfikowania decyzji Pro.

Gdy profesjonalista pracuje nad rekordem klienta, AI Helper otrzymuje dane klienta i działa jako asystent profesjonalisty.

Dostęp do Pomocników AI

Dostęp do Pomocników AI można uzyskać z:

- Strona główna: Dla ogólnych wskazówek lub tworzenia podstawowych programów.
- Otwarte nagranie: Aby przeanalizować i wyjaśnić konkretne biomarkery, aby zapewnić szczegółowy wgląd w analizę.

Przypadki użycia AI Helper

Tworzenie programu podstawowego:

- Proszę przejść do sekcji AI Helpers na stronie głównej.
- Proszę wybrać AI Helper (np. Trener snu, Przewodnik po medytacji).
- Zaangażować się w rozmowę, aby opisać swoje potrzeby (np. "Czuję się zestresowany i potrzebuję pomocy w zrelaksowaniu się").
- Sztuczna inteligencja wygeneruje dostosowany program podstawowy i zapisze go w sekcji "Programy podstawowe".

Wyjaśnianie biomarkerów:

- Proszę otworzyć nagranie i przejść do sekcji Pomocnicy AI, w sekcji "Wnioski".
- Proszę wybrać pomocnika AI odpowiedniego dla biomarkerów, które chcą Państwo zbadać (np. TCM Practitioner dla meridianów).
- Sztuczna inteligencja dostarczy szczegółowych wyjaśnień i zaleceń opartych na biomarkerach obliczonych w nagraniu.

Przykład: Niestandardowe mieszanki herbat lub olejków eterycznych. Proszę skorzystać z pomocnika AI Herbalist lub Essential Oil Expert. AI przeanalizuje odpowiednie biomarkery i zaproponuje niestandardową mieszankę herbat lub przepis na olejek eteryczny.

Ograniczenia pomocnika AI

- Pomocnicy AI nie mogą modyfikować nagrań ani wyników analizy. Ich zadaniem jest wyjaśnianie i udzielanie wskazówek w oparciu o istniejące dane.
- Początkowy zestaw biomarkerów dostarczonych każdemu AI Helper jest ograniczony do ich domeny wiedzy specjalistycznej. W razie potrzeby AI może jednak poprosić o dodatkowe biomarkery podczas rozmowy.

Funkcje zaawansowane

Integracja podsumowań i raportów:

- Pod koniec rozmowy AI Helper generuje podsumowanie dyskusji.
- Specjaliści mogą dołączyć to podsumowanie do raportu PDF klienta w celu wykorzystania go w przyszłości.

Opinie i oceny:

- Po każdej interakcji użytkownicy mogą ocenić przydatność AI Helper i sukces w rozwiązaniu ich zapytania. Ta informacja zwrotna pomaga poprawić wydajność AI.

Konfigurowalny dostęp do AI dla klientów:

- Specjaliści mogą włączyć lub wyłączyć określonych pomocników AI dla swoich klientów.
- Mogą również kontrolować, czy klienci mają dostęp do funkcji takich jak osobisty przewodnik, wzmocnienia harmoniczne lub pełny raport.

Uwagi techniczne

- Obsługa danych AI Helper: Każdy AI Helper otrzymuje od 5% do 10% biomarkerów użytkownika, w zależności od jego domeny. Zapewnia to ukierunkowane i odpowiednie wskazówki.
- Pomocnicy AI to narzędzia oparte na dużych modelach językowych, a ich odpowiedzi nie są weryfikowane przez specjalistów medycznych. Dokładność odpowiedzi powinna być zawsze weryfikowana.
- obecnie dostępnych jest 26 pomocników AI, ale teraz, gdy system działa, dodawanie nowych pomocników jest dość łatwe; proszę skontaktować się z nami, jeśli widzisz jakieś pole, które chciałbyś dodać do pomocników AI.

Podsumowanie

AI Helpers w BioCoherence to potężne narzędzie zarówno dla profesjonalistów, jak i użytkowników indywidualnych. Wykorzystując zaawansowane możliwości sztucznej inteligencji, upraszczają one złożone analizy, dostarczają przydatnych informacji i tworzą spersonalizowane programy dostosowane do potrzeb użytkownika. W miarę rozwoju systemu, nowe funkcje i ulepszenia będą nadal zwiększać komfort użytkowania.

Uzupełnienie 1.

Często zadawane pytania

Jak uzyskać pomoc w aplikacji

Aby poprosić o pomoc lub wysłać sugestię z dowolnej strony w aplikacji, wystarczy otworzyć menu w prawym górnym rogu i kliknąć "Opinie i pomysły". Mogą Państwo kliknąć "adnotuj zrzut ekranu", aby dodać zrzut ekranu strony, na której aktualnie się Państwo znajdują, i dodać ten adnotowany zrzut ekranu do swojej prośby. W ten sposób będzie nam znacznie łatwiej Państwu pomóc!

W jaki sposób członkowie mojej rodziny lub moi klienci mogą uzyskać dostęp do medytacji na zamówienie?

Aby uzyskać dostęp do medytacji na zamówienie, należy zainstalować aplikację ze strony biocoherence.net/install lub ze sklepu App Store lub Play. Można ich zaprosić, tworząc dla nich konto; proszę wprowadzić ich adres e-mail do konta, aby otrzymali zaproszenie z prawidłowym kontem. Następnie można udostępnić im analizę, dodając ich jako kontakt w analizie. Po zalogowaniu się do aplikacji za pomocą adresu e-mail podanego na utworzonym koncie, użytkownik znajdzie analizę na stronie głównej aplikacji lub w sekcji "Nagrane analizy".

Po otrzymaniu analizy mogą oni odsłuchać medytacji równoważącej za pośrednictwem sekcji "Balance" w aplikacji BioCoherence, gdzie dźwięk łączy wskazówki mówione z częstotliwościami dla uzyskania optymalnych rezultatów.

Program partnerski BioCoherence

witamy w programie partnerskim BioCoherence! Cieszymy się, że dołączają Państwo do nas, aby dzielić się korzyściami płynącymi z naszej najnowocześniejszej technologii ze swoimi odbiorcami. Nasz program pozwala Państwu zarabiać prowizję, jednocześnie pomagając innym odkryć transformacyjne podejście do zdrowia i dobrego samopoczucia.

Jak zacząć

1. Proszę zalogować się na swoje konto: <https://biocoherence.net/s0.login/>
2. Dostęp do strony partnerskiej: Proszę przejść na stronę <https://biocoherence.net/n119.2> Jest to Państwa osobiste centrum afiliacyjne.

Znajdą tu Państwo wszystkie potrzebne narzędzia i informacje, w tym jak

- Tworzyć kody zaproszeń i zarządzać nimi.
- Śledzić swoje prowizje.
- Rozwijać swoją sieć afiliacyjną.

Informacje o programie partnerskim

Nasz program oferuje **oparte na subskrypcji prowizje** za sprzedaż bezpośrednią i różne rodzaje zakupów. Mogą Państwo również uzyskać dodatkowe zachęty, gdy polecą Państwo nowych partnerów do programu

Oparte na subskrypcji prowizje za sprzedaż bezpośrednią

Udostępniając swoje kody zaproszeń, zarabiają Państwo prowizję od subskrypcji i innych zakupów dokonywanych przez użytkowników, którzy zarejestrują się przy użyciu Państwa kodu. Program ma na celu nagradzanie zarówno Państwa, jak i Państwa klientów, oferując korzyści i zachęty dla nowych użytkowników, którzy zarejestrują się za pomocą Państwa kodu

Dodatkowe zakupy

Proszę zarabiać na prowizjach od zakupów takich jak raporty, testy i sprzęt za pośrednictwem platformy BioCoherence. Nagrody te pozwalają Państwu czerpać korzyści z każdej transakcji dokonanej przez poleconych przez Państwa użytkowników

Uwaga: W przypadku produktów objętych **wyłącznością terytorialną** prowizje i faktury dla klientów będą przetwarzane przez lokalnego wyłącznego dystrybutora. Opłaty mogą się różnić w zależności od polityki dystrybutora. Szczegółowe informacje można znaleźć na stronie biocoherence.net/distributors

Zarządzanie kodami zaproszeń

Na stronie zarządzania programem partnerskim można utworzyć wiele kodów do dystrybucji za pośrednictwem różnych kanałów, takich jak media społecznościowe, filmy i blogi. Pozwala to śledzić wydajność każdego kodu i optymalizować swoje wysiłki

Do czego nie jest przeznaczony BioCoherence?

BioCoherence nie ma na celu diagnozowania określonych schorzeń ani zastępowania tradycyjnych porad medycznych. Chociaż niektóre biomarkery pochodzą z oficjalnych akademickich badań medycznych, jego głównym celem jest zapewnienie narzędzi do szybkiego zrozumienia i identyfikacji przyczyn źródłowych. Wspiera samopomoc dla użytkowników domowych i w razie potrzeby łączy ich z zaawansowanymi terapeutami.

Jaki jest najlepszy sposób, aby upewnić się, że proces skanowania został zakończony, biorąc pod uwagę, że analiza powinna zająć co najmniej 130 sekund?

Analiza musi rzeczywiście trwać co najmniej około 130 sekund, aby uzyskać dokładne wyniki (wymaga co najmniej 128 prawidłowych uderzeń serca). W dolnej części skanowania znajdują się paski postępu, które pokazują niezbędny czas trwania każdego rodzaju analizy. Proszę upewnić się, że skanowanie trwa przez cały czas, nawet jeśli wydaje się

zakończony, gdy paski są wypełnione na zielono. Upewnienie się, że skanowanie trwa przez cały czas jest kluczowe dla dokładności wyników.

Jakie wyniki zostały zmierzone lub zgłoszone?

Choć BioCoherence wciąż znajduje się w fazie beta, otrzymało bardzo pozytywne opinie z wstępnych testów potwierdzających jego skuteczność. Zbieramy różnorodne opinie, aby jeszcze bardziej zweryfikować i rozszerzyć jego zastosowanie. Opinie klientów i konkretne studia przypadków będą dostępne w miarę gromadzenia większej ilości danych.

BioCoherence umożliwi gromadzenie anonimowych danych (po wyrażeniu zgody) w celu naukowej walidacji wszystkich biomarkerów i trybów równowagi. Dane te posłużą jako podstawa do publikacji artykułów naukowych z dostępem do surowych, zanonimizowanych danych na żądanie renomowanych instytucji.

Jakie byłoby zastosowanie podstawowe i zaawansowane?

Użycie na poziomie podstawowym: Me Play (automatyczne skanowanie lub testowanie oraz automatyczne niestandardowe medytacje wspomagane biofeedbackiem). Zaawansowane użytkowanie: Pro (40 stron graficznych, linki, zasoby oraz identyfikacja i modyfikacja priorytetów, a także katalog Pro do połączeń między użytkownikiem a terapeutą). Przyszłe funkcje będą również obejmować skanowanie porównawcze i jednoczesne medytacje dla wielu użytkowników.

Instalacja aplikacji i pierwsze uruchomienie

- Na Windows, Mac lub Linux: Proszę pobrać plik instalacyjny ze strony biocoherence.net/install¹
- Na iPad, iPhone lub Android: Proszę postępować zgodnie z instrukcjami na biocoherence.net/install; instalacja powinna być tylko jednym kliknięciem z App Store.

Po instalacji

Po zakończeniu instalacji nadal mogą występować problemy.

1. **Nie mogą Państwo znaleźć aplikacji?** Nazywa się ona "BioCoherence"; na komputerach Mac znajduje się ona w "Aplikacjach". W systemach Windows i Linux, w menu Start. Na iPadzie, iPhone i Androidzie jest ona dodana do ekranu głównego i można ją również znaleźć za pomocą wyszukiwania.
2. **Aplikacja nie uruchamia się?** Albo Państwa komputer lub tablet jest zbyt wolny, albo występują niezgodności.
3. **Nie możecie się zalogować?** Jeśli macie konto, proszę kliknąć na "utraczone hasło" na ekranie logowania. Otrzymają Państwo link do zresetowania hasła. Jeśli nie mają Państwo hasła, można je utworzyć w aplikacji.

Czy BioCoherence może używać protokołów częstotliwości Spooky?

Tak, BioCoherence zintegrowało wiele protokołów częstotliwości z różnych źródeł, w tym tablety oparte na Rife używane przez Spooky. W przyszłości BioCoherence ma na celu umożliwienie urządzeniom Spooky działania jako emiter, umożliwiając eksportowanie dźwięku z BioCoherence i przesyłanie go bezpośrednio do Spooky. Planujemy być otwarci na jak największą liczbę urządzeń i współpracować z nimi bezpośrednio, gdy będą na to otwarci. W każdym razie eksport audio programów częstotliwościowych pozwala na odtwarzanie częstotliwości na wielu różnych urządzeniach.

Czy może ono "zastąpić" technologię, z której obecnie korzystam?

BioCoherence może potencjalnie zastąpić lub uzupełnić inne narzędzia do biofeedbacku i analizy zdrowia, w zależności od Państwa konkretnych potrzeb. Może zastąpić większość urządzeń, zwłaszcza tych opartych na generatorach liczb losowych, ale może nie zastąpić w pełni urządzeń, które mają różne sprawdzone tryby działania

Jak mogę uzyskać informacje na temat głównych tematów klienta, gdy wyniki różnią się w zależności od skanowania?

Aby uzyskać informacje na temat głównych tematów klienta, pomocne może być porównanie wielu skanów. Proszę szukać spójnych wzorców lub powtarzających się kwestii na skanach, aby zidentyfikować główne tematy. Mederic wspomniał, że ważne jest, aby szukać trendów w skanach, aby uzyskać bardziej kompleksowe zrozumienie głównych problemów klienta.

Wyniki będą na ogół bardzo spójne we wszystkich skanach, z różnicami w powiązaniach i względnej energii lub pobudzeniu systemów. Różnice te są zdrowe i wskazują na postęp. W aplikacji można porównać kilka skanów obok siebie, aby zobaczyć, jak zmieniają się określone biomarkery, na przykład przed i po zastosowaniu określonej terapii.

W jaki sposób moi klienci mogą uzyskać dostęp do swoich raportów poza gabinetem terapeuty? W jaki sposób mogą przeglądać swoje raporty i uzyskiwać dostęp do medytacji?

Klienci mogą uzyskać dostęp do swoich raportów i medytacji za pośrednictwem aplikacji. Oto jak praktycy mogą włączyć dostęp klienta:

- Proszę dodać klienta jako nowy kontakt w aplikacji:
 - Proszę kliknąć dwie strzałki obok swojego zdjęcia profilowego, aby przejść do zakładki "Kontakty".
 - Proszę utworzyć nowy kontakt, pamiętając o podaniu adresu e-mail klienta.
- Proszę wykonać skanowanie w profilu klienta.
- Proszę udostępnić raport:
 - Proszę otworzyć ukończony raport i wybrać opcję "Udostępnij...".
 - Proszę wysłać wiadomość e-mail z zaproszeniem do klienta, zawierającą link do pobrania aplikacji wraz z danymi logowania.

Po zalogowaniu się klient może przejrzeć swój raport i uzyskać dostęp do medytacji bezpośrednio w aplikacji. Mogą oni również wykonywać zdalne testy dla Państwa (lokalne testy dla nich, za pomocą Sensora), a wyniki otrzymają Państwo z powrotem w swoim oprogramowaniu.

W jaki sposób członkowie mojej rodziny lub moi klienci mogą korzystać z wygenerowanych dla nich niestandardowych częstotliwości?

Aby udostępnić niestandardowe częstotliwości członkom rodziny lub klientom, proszę wykonać następujące kroki:

- Podczas przeglądania raportu częstotliwości w aplikacji BioCoherence, proszę wyeksportować plik audio z sesji częstotliwości.
- Następnie można udostępnić im plik audio za pośrednictwem wiadomości, poczty e-mail lub innych metod komunikacji.

Mogą Państwo również zaprosić swoich klientów lub członków rodziny do zainstalowania aplikacji i udostępnienia im analizy. W tym celu można utworzyć konto klienta z jego adresem e-mail.

Na czym polega wyjątkowość BioCoherence?

BioCoherence łączy zaawansowane algorytmy matematyczne z technologią EKG, aby zapewnić szczegółowy wgląd w stan zdrowia. Wyróżnia się wielopoziomą analizą sygnałów elektrycznych ciała i obejmuje podejście energia/ciało/umysł, wiele wyświetlaczy graficznych i powiązania między biomarkerami. Zawiera również medytacje i częstotliwości dostosowane do biofeedbacku.

Jak zaktualizować aplikację

Proszę zawsze korzystać z najnowszej aktualizacji, ponieważ być może Państwa problem został już rozwiązany - lub Państwa pomysł został już wdrożony! W zależności od platformy, z której Państwo korzystają, aktualizacja przebiega w różny sposób:

Wersja Beta

- Jeśli korzystają Państwo z wersji Beta z TestFlight: powinni Państwo otrzymać powiadomienie o każdej aktualizacji. Proszę uruchomić TestFlight i kliknąć "Update".

1. <https://biocoherence.net/s0/login>
 2. <https://biocoherence.net/n119>
 3. <https://biocoherence.net/distributors>
 4. <https://biocoherence.net/install>

- Jeśli zainstalowali Państwo wersję beta dla Mac, Windows lub Linux poza TestFlight: proszę wejść na stronę biocoherence.net/beta⁶, pobrać instalator najnowszej wersji i uruchomić go. Wszystkie Państwa dane zostaną zachowane.

Wersja publiczna

- Jeśli zainstalowali Państwo wersję publiczną dla Mac, Windows lub Linux poza TestFlight: proszę przejść do biocoherence.net/install⁷, pobrać instalator najnowszej wersji i uruchomić instalator. Wszystkie Państwa dane zostaną zachowane.
- Jeśli korzystają Państwo z wersji publicznej z App Store lub Play Store: proszę otworzyć App Store lub Play Store i zaktualizować aplikację z jej strony.

Rozwiązywanie problemów z połączeniem Bluetooth z BioCoherence

Jeśli mają Państwo problemy z połączeniem Bluetooth w BioCoherence, proszę postępować zgodnie z poniższymi krokami, aby zapewnić bezproblemową konfigurację:

Wskazówki ogólne

- **Proszę najpierw uruchomić proces**
 - Proszę rozpocząć od uruchomienia nagrania lub testu w aplikacji BioCoherence. Wiele problemów z połączeniem wynika ze zbyt wczesnej próby podłączenia czujnika.
 - Aplikacja została zaprojektowana tak, aby automatycznie zarządzać procesem połączenia po zainicjowaniu nagrywania lub testu.
- **Proszę unikać ustawień systemowych**
 - Proszę nie próbować podłączać czujnika Bluetooth za pomocą ustawień systemowych urządzenia. Proszę pozwolić aplikacji zająć się tym procesem, aby uniknąć zakłóceń.
- **Proszę upewnić się, że Bluetooth jest aktywny**
 - **Windows:** Proszę włączyć Bluetooth za pomocą panelu Ustawienia lub skrótu Bluetooth w prawym dolnym rogu paska zadań.
 - **Mac:** Proszę włączyć Bluetooth na prawym górnym pasku menu. Upewnić się, że uprawnienia Bluetooth zostały przyznane BioCoherence w Ustawieniach systemowych.
 - **iOS/Android:** Proszę włączyć Bluetooth w menu ustawień urządzenia, zwykle znajdującym się obok opcji Wi-Fi.
- **Proszę zwilżyć kciuki**
 - **Ważne:** Proszę upewnić się, że kciuki są odpowiednio zwilżone wodą lub żelem przewodzącym. Poprawi to połączenie i zapewni dokładne odczyty czujnika.

Rozwiązywanie problemów krok po kroku

1. **Proszę aktywować Bluetooth**
 - Jeśli utkną Państwo na tym etapie, proszę sprawdzić, czy
 - Państwa urządzenie ma aktywny układ Bluetooth.
 - Bluetooth jest włączony i działa.
2. **Proszę włączyć czujnik**
 - Czujnik włącza się automatycznie po wyjęciu z podstawki. Proszę umieścić zwilżone kciuki na czujniku. Zwykle łączy się on w ciągu 1-2 sekund. Jeśli tak się nie stanie
 - Proszę kliknąć *Uruchom ponownie Bluetooth* w aplikacji.
 - Proszę zdjąć kciuki i spróbować ponownie umieścić je na czujniku.
3. **Status połączenia**
 - Aplikacja zapewnia wskazania krok po kroku na panelu Bluetooth
 - **Aktywuj Bluetooth:** Proszę upewnić się, że Bluetooth jest włączony.
 - **Switch Sensor On:** Aplikacja jest gotowa do podłączenia czujnika.
 - **Czujnik podłączony:** Czujnik został pomyślnie połączony i jest gotowy.
 - **Preliminary Data Exchanged:** Aplikacja otrzymała wstępne dane, takie jak stan baterii i numer seryjny.
 - **Aktywne dane:** Odbierane są dane EKG i rozpoczyna się zapis lub test.
4. **Obsługa połączeń z wieloma urządzeniami**
 - Jeśli czujnik był wcześniej sparowany z wieloma urządzeniami, proszę wyłączyć Bluetooth na nieużywanych urządzeniach, aby zapobiec zakłóceniom.

Dodatkowe uwagi

- **Autoryzacja po raz pierwszy**
 - Przy pierwszym uruchomieniu aplikacji proszę przyznać uprawnienia Bluetooth, gdy pojawi się monit. Jeśli przypadkowo odmówią Państwo tych uprawnień
 - Proszę dostosować je w preferencjach systemowych.
 - Ewentualnie proszę odinstalować i ponownie zainstalować aplikację, aby zresetować uprawnienia.
- **Rozłączenie czujnika**
 - Jeśli czujnik rozłącza się podczas użytkowania, proszę sprawdzić
 - Poziom baterii.
 - Czy kciuki są prawidłowo umieszczone na czujniku.

Postępując zgodnie z tymi krokami i upewniając się, że kciuki są odpowiednio nawilżone, można rozwiązać większość problemów z łącznością Bluetooth i cieszyć się bezproblemowym korzystaniem z BioCoherence. Jeśli problemy nie ustąpią, proszę rozważyć skontaktowanie się z pomocą techniczną w celu uzyskania dodatkowej pomocy.

Jakie są ceny BioCoherence?

BioCoherence oferuje maksymalną elastyczność cenową. Mogą Państwo zacząć za darmo, a następnie wybrać plan, który najbardziej Państwu odpowiada. Wszystkie nasze plany są szczegółowo opisane na stronie biocoherence.net/price⁸.

Plan darmowy

Bezpłatny plan pozwala na nieograniczoną liczbę nagrań i połączenie z Pro oraz otrzymanie jednej niestandardowej medytacji. W przypadku skanowania można otworzyć niektóre ogólne strony informacyjne, ale większość stron jest zamazana; można kupić jeden raport, aby go odblokować. Nagrania można wykonywać za pomocą zegarka Apple Watch lub naszego czujnika. Mogą Państwo również uzyskać dostęp do katalogu testów i zapłacić za dowolny test.

Aby skorzystać z darmowego planu, wystarczy [zainstalować aplikację](#)⁹ i utworzyć bezpłatne konto.

Jeśli chcą Państwo przejść dalej, oto nasze płatne plany:

Plany płatne, do użytku osobistego

Proszę sprawdzić ceny na naszej stronie internetowej. Ceny wahają się od miesięcznej (bez zobowiązań) do pełnej dożywotniej licencji, obejmującej wszystkie aktualizacje na całe życie. Mamy również plany roczne z rabatami.

- Me Play pozwala na nieograniczone odtwarzanie częstotliwości i medytacji.
- Me Essential pozwala na nieograniczone skanowanie i balansowanie (medytacje i częstotliwości) dla maksymalnie 2 kont i daje dostęp do podstawowych ekranów raportu i bezpłatnych testów. Mogą Państwo zakupić pełne raporty i płatne testy w dogodnym dla siebie czasie.
- Me Custom pozwala na 3 zawsze odblokowane ekrany do wyboru.
- Me Plus zapewnia nieograniczoną liczbę pełnych ekranów skanowania dla maksymalnie 6 osób, edytowalne zasoby i priorytety oraz niestandardowe równoważenie.

Płatne plany do użytku profesjonalnego

- Pro Essential umożliwia nieograniczone skanowanie (lokalnie lub zdalnie) i balansowanie dla nieograniczonej liczby klientów, a także zapewnia dostęp do podstawowych ekranów raportu i tworzenia podstawowych testów. Mogą Państwo zakupić pełne raporty i płatne testy w dogodnym dla siebie czasie.
- Pro Custom pozwala na 3 zawsze odblokowane ekrany do wyboru.
- Pro Plus zapewnia nieograniczoną liczbę pełnych skanowań (lokalnie lub zdalnie) i wszystkie ekrany dla nieograniczonej liczby klientów, edytowalne zasoby i priorytety, niestandardowe równoważenie i pełne tworzenie testów, w tym monetyzację.
- Med skupia się wyłącznie na potwierdzonych medycznie biomarkerach w EKG.

Aby uzyskać więcej informacji na temat planów, proszę odwiedzić stronę biocoherence.net/price¹⁰

Co BioCoherence robi najlepiej?

Oprogramowanie BioCoherence zapewnia kompleksową analizę aktywności elektrycznej i magnetycznej organizmu, dając wgląd w różne biomarkery i ogólny stan zdrowia. Podkreślając zasoby, priorytety i powiązania między organami, przedstawia złożone dane z różnych dziedzin w prosty, graficzny sposób do codziennego użytku przez terapeutów. Wykorzystuje wyłącznie zaawansowane operacje matematyczne do wielopoziomowej analizy, wydobywając znaczące dane bezpośrednio z czujnika elektrycznego ciała (elektrokardiogramu). W oparciu o te zidentyfikowane zasoby i priorytety może następnie zaproponować spersonalizowane medytacje z przewodnikiem i protokoły przywracania równowagi.

5. <https://biocoherence.net/install>

6. <https://biocoherence.net/beta>

Jakiej jakości są generowane pliki?

Koncentruje się ono na generowaniu wysokiej jakości dźwięku w aplikacji, w tym w pełni funkcjonalnego syntezatora i sekwencera czasu rzeczywistego. Narzędzia te są już dostępne w aplikacji dla szumów, częstotliwości i nagranych medytacji z przewodnikiem. Generowane parametry są stale rozwijane. Muzyka obsługuje dostrajanie do medytacji i jednoczesnych sesji grupowych.

Dlaczego mój czujnik nadal miga na niebiesko lub zielono po zakończeniu skanowania?

Proszę umieścić czujnik z powrotem w obudowie, co spowoduje jego automatyczne wyłączenie. Zaprojektowaliśmy czujnik tak, aby był bardzo prosty w użyciu, więc nie muszą się Państwo nawet martwić o jego włączanie i wyłączanie—robi to automatycznie. Mogą Państwo zauważyć, że miga on na zielono lub niebiesko przez kilka sekund, a może nawet do 1 minuty po zakończeniu skanowania, ale następnie wyłączy się i poczeka na rozpoczęcie następnego skanowania.

Dlaczego Bluetooth czasami nie łączy się podczas skanowania?

Jeśli mają Państwo problemy z łącznością Bluetooth podczas skanowania, może to być spowodowane tym, że skaner BioCoherence został sparowany z wieloma urządzeniami. W takim przypadku skaner może próbować połączyć się z urządzeniem, które nie jest aktualnie używane. Aby rozwiązać ten problem, proszę upewnić się, że Bluetooth jest całkowicie wyłączony na wszystkich innych urządzeniach, które były wcześniej połączone ze skanerem BioCoherence. W ten sposób skaner połączy się płynnie z właściwym urządzeniem, umożliwiając skanowanie bez zakłóceń.

Aby uniknąć jakichkolwiek problemów, bardzo ważne jest, aby najpierw uruchomić proces połączenia Bluetooth w aplikacji, rozpoczynając nowe nagranie lub test, a następnie chwycić czujnik. Położenie kciuków na czujniku spowoduje jego włączenie i automatyczne połączenie z aplikacją, która w tym momencie jest już w trybie badawczym.

Jakiego typu konta mogę użyć do wykrywania pasożytów?

Ta funkcja jest zarezerwowana wyłącznie dla profesjonalnych użytkowników. Informacje muszą być interpretowane przez profesjonalistę, a naszym celem jest zapewnienie, że są one wykorzystywane dokładnie i odpowiedzialnie. Pozostaje ona w granicach oceny energetycznej, a nie bezpośredniej obserwacji obecności pasożytów.

Uzupełnienie 2.

Lista powiązanych badań

Mogą Państwo uzyskać dostęp do wszystkich linków na stronie biocoherence.net/studieslist

Akupunktura, meridiany

H. M. Langevin and J. A. Yandow, *Anat. Rec. (New Anat.)* 269, 257 (2002). [DOI¹](#), [Crossref²](#)

Banes AJ, Tsuzaki M, Yamamoto J, et al. 1995. Mechanoreception at the cellular level: The detection, interpretation and diversity of responses to mechanical signals. *Biochem Cell Biol* 73:349– 365. [Crossref³](#) [PubMed⁴](#) [Web of Science⁵](#)

Bonassar LJ, Stinn JL, Paguio CG, et al. 1996. Activation and inhibition of endogenous matrix metalloproteinases in articular cartilage: Effects on composition and biophysical properties. *Arch Biochem Biophys* 333: 359– 367. [Crossref⁶](#) [PubMed⁷](#) [Web of Science⁸](#)

Brand RA. 1997. What do tissues and cells know of mechanics? *Ann Med* 29: 267– 269. [Crossref⁹](#) [PubMed¹⁰](#) [Web of Science¹¹](#)

Bossy J. 1984. Morphological data concerning the acupuncture points and channel network. *Acupunct Electrother Res* 9: 79– 106. [PubMed¹²](#) [Web of Science¹³](#)

Cheng X. 1987. Chinese acupuncture and moxibustion. Beijing: Foreign Language Press.

Chicurel ME, Chen CS, Ingber DE. 1998. Cellular control lies in the balance of forces. *Curr Opin Cell Biol* 10: 232– 239. [Crossref¹⁴](#) [PubMed¹⁵](#) [Web of Science¹⁶](#)

Chiquet M. 1999. Regulation of extracellular matrix gene expression by mechanical stress. *Matrix Biol* 18: 417– 426. [PubMed¹⁷](#) [Web of Science¹⁸](#)

Cizek LSW, Szopinski J, Skrzypczak V. 1985. Investigations of morphological structures of acupuncture points and meridians. *J Trad Chin Med* 5: 289– 292.

Comunetti A, Laage S, Schiessl N, Kistler A. 1995. Characterization of human skin conductance at acupuncture points. *Experientia* 51: 328– 331. [Crossref¹⁹](#) [PubMed²⁰](#) [Web of Science²¹](#)

Dung HC. 1984. Anatomical features contributing to the formation of acupuncture points. *Am J Acupunct* 12: 139– 143. [Web of Science²²](#)

Giancotti FG, Ruoslahti E. 1999. Integrin signaling. *Science* 285: 1028– 1032. [Crossref²³](#) [PubMed²⁴](#) [Web of Science²⁵](#)

1. <https://doi.org/10.1002/ar.10185>
2. https://aip.scitation.org/servelet/linkout?suffix=c26/c26_1&dbid=16&doi=10.1063/1.4991499&key=10.1002/ar.10185
3. <https://onlinelibrary.wiley.com/servelet/linkout?suffix=null&dbid=16&doi=10.1002/ar.10185&key=10.1139/o95-043>
4. <https://onlinelibrary.wiley.com/servelet/linkout?suffix=null&dbid=8&doi=10.1002/ar.10185&key=8703408>
5. <https://onlinelibrary.wiley.com/servelet/linkout?suffix=null&dbid=128&doi=10.1002/ar.10185&key=A1993T760300006>
6. <https://onlinelibrary.wiley.com/servelet/linkout?suffix=null&dbid=16&doi=10.1002/ar.10185&key=10.1006/abbi.1996.0402>
7. <https://onlinelibrary.wiley.com/servelet/linkout?suffix=null&dbid=8&doi=10.1002/ar.10185&key=8809074>
8. <https://onlinelibrary.wiley.com/servelet/linkout?suffix=null&dbid=128&doi=10.1002/ar.10185&key=A1996I77600006>
9. <https://onlinelibrary.wiley.com/servelet/linkout?suffix=null&dbid=16&doi=10.1002/ar.10185&key=10.3109/07853899708999346>
10. <https://onlinelibrary.wiley.com/servelet/linkout?suffix=null&dbid=8&doi=10.1002/ar.10185&key=9375981>
11. <https://onlinelibrary.wiley.com/servelet/linkout?suffix=null&dbid=128&doi=10.1002/ar.10185&key=A1997XZ10400003>
12. <https://onlinelibrary.wiley.com/servelet/linkout?suffix=null&dbid=8&doi=10.1002/ar.10185&key=6148847>
13. <https://onlinelibrary.wiley.com/servelet/linkout?suffix=null&dbid=128&doi=10.1002/ar.10185&key=A1984TF8300001>
14. [https://onlinelibrary.wiley.com/servelet/linkout?suffix=null&dbid=16&doi=10.1002/ar.10185&key=10.1016/S0955-0674\(98\)80145-2](https://onlinelibrary.wiley.com/servelet/linkout?suffix=null&dbid=16&doi=10.1002/ar.10185&key=10.1016/S0955-0674(98)80145-2)
15. <https://onlinelibrary.wiley.com/servelet/linkout?suffix=null&dbid=8&doi=10.1002/ar.10185&key=9561847>
16. <https://onlinelibrary.wiley.com/servelet/linkout?suffix=null&dbid=128&doi=10.1002/ar.10185&key=000073043200010>
17. <https://onlinelibrary.wiley.com/servelet/linkout?suffix=null&dbid=8&doi=10.1002/ar.10185&key=10601729>
18. <https://onlinelibrary.wiley.com/servelet/linkout?suffix=null&dbid=128&doi=10.1002/ar.10185&key=000084085600001>
19. <https://onlinelibrary.wiley.com/servelet/linkout?suffix=null&dbid=16&doi=10.1002/ar.10185&key=10.1007/BF01928888>
20. <https://onlinelibrary.wiley.com/servelet/linkout?suffix=null&dbid=8&doi=10.1002/ar.10185&key=7729497>
21. <https://onlinelibrary.wiley.com/servelet/linkout?suffix=null&dbid=128&doi=10.1002/ar.10185&key=A1993QU26800004>
22. <https://onlinelibrary.wiley.com/servelet/linkout?suffix=null&dbid=128&doi=10.1002/ar.10185&key=A1984SS05900005>
23. <https://onlinelibrary.wiley.com/servelet/linkout?suffix=null&dbid=16&doi=10.1002/ar.10185&key=10.1126/science.285.5430.1028>
24. <https://onlinelibrary.wiley.com/servelet/linkout?suffix=null&dbid=8&doi=10.1002/ar.10185&key=10446041>
25. <https://onlinelibrary.wiley.com/servelet/linkout?suffix=null&dbid=128&doi=10.1002/>

Gunn CC, Ditchburn FG, King MH, Renwick GJ. 1976. Acupuncture loci: A proposal for their classification according to their relationship to known neural structures. *Am J Chin Med* 4: 183– 195. [Crossref²⁶](#) [PubMed²⁷](#)

Ho MW, Knight DP. 1998. The acupuncture system and the liquid crystalline collagen fibers of the connective tissues. *Am J Chin Med* 26: 251– 263. [Crossref²⁸](#) [PubMed²⁹](#) [Web of Science³⁰](#)

Huan ZY, Rose K. 2001. A brief history of Qi. Brookline, MA: Paradigm Publications.

Kapchuk TJ. 2000. The web that has no weaver. Understanding Chinese medicine. Chicago: Contemporary Publishing Group, Inc.

Lai WM, Mow VC, Sun DD, Atesian GA. 2000. On the electric potentials inside a charged soft hydrated biological tissue: Streaming potential versus diffusion potential. *J Biomech Eng* 122: 336– 346. [Crossref³¹](#) [PubMed³²](#) [Web of Science³³](#)

Langevin HM, Churchill DL, Cipolla MJ. 2001a. Mechanical signaling through connective tissue: A mechanism for the therapeutic effect of acupuncture. *FASEB J* 15: 2275– 2282. [Wiley Online Library³⁴](#) [PubMed³⁵](#) [Web of Science³⁶](#)

Langevin HM, Churchill DL, Fox JR, Badger GJ, Garra BS, Krag MH. 2001b. Biomechanical response to acupuncture needling in humans. *J Appl Physiol* 91: 2471– 2478. [Crossref³⁷](#) [PubMed³⁸](#) [Web of Science³⁹](#)

Langevin HM, Churchill DL, Wu J, Badger GJ, Yandow JA, Fox JR, Krag MH. 2002. Evidence of connective tissue involvement in acupuncture. *FASEB J* 16: 872– 874. [Wiley Online Library⁴⁰](#) [PubMed⁴¹](#) [Web of Science⁴²](#)

Liu KY, Varela M, Oswald R. 1975. The correspondence between some motor points and acupuncture loci. *Am J Chin Med* 3: 347– 358. [Crossref⁴³](#) [PubMed⁴⁴](#)

Matsumoto K, Birch S. 1988. Hara diagnosis: Reflections of the sea. Brookline: Paradigm Publications.

McCarroll GD, Rowley BA. 1979. An investigation of the existence of electrically located acupuncture points. *IEEE Trans Biomed Eng* 26: 177– 182. [Crossref⁴⁵](#) [PubMed⁴⁶](#) [Web of Science⁴⁷](#)

Noordegraaf A, Silage D. 1973. Electroacupuncture. *IEEE Trans Biomed Eng* 20: 364– 366. [Crossref⁴⁸](#) [PubMed⁴⁹](#) [Web of Science⁵⁰](#)

26. <https://onlinelibrary.wiley.com/servelet/linkout?suffix=null&dbid=16&doi=10.1002/ar.10185&key=10.1142/S0192415X76000238>
27. <https://onlinelibrary.wiley.com/servelet/linkout?suffix=null&dbid=8&doi=10.1002/ar.10185&key=937240>
28. <https://onlinelibrary.wiley.com/servelet/linkout?suffix=null&dbid=16&doi=10.1002/ar.10185&key=10.1142/S0192415X98000294>
29. <https://onlinelibrary.wiley.com/servelet/linkout?suffix=null&dbid=8&doi=10.1002/ar.10185&key=9862013>
30. <https://onlinelibrary.wiley.com/servelet/linkout?suffix=null&dbid=128&doi=10.1002/ar.10185&key=000077302300001>
31. <https://onlinelibrary.wiley.com/servelet/linkout?suffix=null&dbid=16&doi=10.1002/ar.10185&key=10.1115/1.1286316>
32. <https://onlinelibrary.wiley.com/servelet/linkout?suffix=null&dbid=8&doi=10.1002/ar.10185&key=11036556>
33. <https://onlinelibrary.wiley.com/servelet/linkout?suffix=null&dbid=128&doi=10.1002/ar.10185&key=000167111100006>
34. <https://onlinelibrary.wiley.com/doi/10.1096/fj.01-0015hnp>
35. <https://onlinelibrary.wiley.com/servelet/linkout?suffix=null&dbid=8&doi=10.1002/ar.10185&key=11641255>
36. <https://onlinelibrary.wiley.com/servelet/linkout?suffix=null&dbid=128&doi=10.1002/ar.10185&key=000171920400040>
37. <https://onlinelibrary.wiley.com/servelet/linkout?suffix=null&dbid=16&doi=10.1002/ar.10185&key=10.1152/jappl.2001.91.6.2471>
38. <https://onlinelibrary.wiley.com/servelet/linkout?suffix=null&dbid=8&doi=10.1002/ar.10185&key=11717207>
39. <https://onlinelibrary.wiley.com/servelet/linkout?suffix=null&dbid=128&doi=10.1002/ar.10185&key=000172484200008>
40. <https://onlinelibrary.wiley.com/doi/10.1096/fj.01-0925fje>
41. <https://onlinelibrary.wiley.com/servelet/linkout?suffix=null&dbid=8&doi=10.1002/ar.10185&key=11967233>
42. <https://onlinelibrary.wiley.com/servelet/linkout?suffix=null&dbid=128&doi=10.1002/ar.10185&key=000175425900017>
43. <https://onlinelibrary.wiley.com/servelet/linkout?suffix=null&dbid=16&doi=10.1002/ar.10185&key=10.1142/S0192415X75000426>
44. <https://onlinelibrary.wiley.com/servelet/linkout?suffix=null&dbid=8&doi=10.1002/ar.10185&key=1202933>
45. <https://onlinelibrary.wiley.com/servelet/linkout?suffix=null&dbid=16&doi=10.1002/ar.10185&key=10.1109/TBME.1979.326392>
46. <https://onlinelibrary.wiley.com/servelet/linkout?suffix=null&dbid=8&doi=10.1002/ar.10185&key=521032>
47. <https://onlinelibrary.wiley.com/servelet/linkout?suffix=null&dbid=128&doi=10.1002/ar.10185&key=A1979GN78800013>
48. <https://onlinelibrary.wiley.com/servelet/linkout?suffix=null&dbid=16&doi=10.1002/ar.10185&key=10.1109/>

NIH Consensus Statement. 1997. Acupuncture. Bethesda, MD: NIH. 15: 1–34.

O'Connor J, Bensky D. 1981. Acupuncture, a comprehensive text (Shanghai College of Traditional Medicine) Seattle: Eastland Press.

Oschman JL. 1993. A biophysical basis for acupuncture. Proceedings of the First Symposium of the Committee for Acupuncture Research.

Pomeranz B. 2001. Acupuncture analgesia-basic research. In: G Stux, R Hammerschlag, editors. Clinical acupuncture-scientific basis. Berlin: Springer-Verlag.

Rabishong P, Niboyet JEH, Terral C, Senelar R, Casez R. 1975. Bases experimentales de l'analgesie acupuncturale. *Nouv Presse Med* 4: 2021–2026. [PubMed⁵¹](#) [Web of Science⁵²](#)

Reishmanis M, Marino AA, Becker RO. 1975. Electrical correlates of acupuncture points. *IEEE Trans Biomed Eng* 22: 533–535. [Crossref⁵³](#) [PubMed⁵⁴](#) [Web of Science⁵⁵](#)

Senelar R. 1979. Les caracteristiques morphologiques des points chinois. In: JEH Niboyet, editor. *Nouveau traite d'acupuncture*. Paris: Maisonneuve.

Shanghai Medical University, Human Anatomy Department. 1973. A relationship between points of meridians and peripheral nerves: Acupuncture anaesthetic theory study. Shanghai: People's Republic Publishing House.

Swartz MA, Tschumperlin DJ, Kamm RD, Drazen JM. 2001. Mechanical stress is communicated between different cell types to elicit matrix remodeling. *Proc Natl Acad Sci USA* 98: 6180–6185. [Crossref⁵⁶](#) [PubMed⁵⁷](#) [Web of Science⁵⁸](#)

Ulett GA, Han S, Han JS. 1998. Electroacupuncture: mechanisms and clinical applications. *Biol Psych* 44: 129–138. [PubMed⁵⁹](#) [Web of Science⁶⁰](#)

Veith I. 1949. The yellow emperor's classic of internal medicine. Berkeley: University of California Press.

Yang J. 1601. The golden needle and other odes of traditional acupuncture, 1601. Translated by R Bertschinger. Edinburgh: Churchill Livingstone.

Quyen Manh Nguyen, Tuan Hoang Nguyen, Lam Van Tran, Tin Thanh Dang, Anh Dinh, Device to Detect Acupuncture Points in the Feet Soles for Massage Treatment, 8th International Conference on the Development of Biomedical Engineering in Vietnam, 10.1007/978-3-030-75506-5_1, (3-13), (2022). [Crossref⁶¹](#)

Yung-Sheng Yen, Han-Yi Cheng, Hung-Ta Lin, Evaluation of Stress on Acupuncture with Nano-Etched and Diamond-Like Carbon (DLC) Coating Surface Modifications, *Journal of Biomaterials and Tissue Engineering*, 10.1166/jbt.2022.2928, 12, 3, (489-493), (2022). [Crossref⁶²](#)

Gregory P. Casey, Anatomical characterization of acupoint large intestine 4, *The Anatomical Record*, 10.1002/ar.24681, 305, 1, (144-155), (2021). [Wiley Online Library⁶³](#)

Ajit B. Pai, Lori V. Shuart., David F. Drake, Integrative Medicine in Rehabilitation, *Braddom's Physical Medicine and Rehabilitation*, 10.1016/B978-0-323-62539-5.00018-7, (364-373.e3), (2021). [Crossref⁶⁴](#)

Tongju Li, Bruce Qing Tang, Wei-Bo Zhang, Minyi Zhao, Qingchuan Hu, Andrew Ahn, In Vivo Visualization of the Pericardium Meridian with Fluorescent Dyes, Evidence-Based Complementary and Alternative Medicine, 10.1155/2021/5581227, 2021, (1-10), (2021). [Crossref⁶⁵](#)

Chao Sun, Changchun Ji, Ying Li, Jiujie Kuang, Jiangtao Wu, A comparison study of photothermal effect between moxibustion therapy and laser irradiation on biological tissue, *International Journal of Thermal Sciences*, 10.1016/j.ijthermalsci.2021.106924, 164, (106924), (2021). [Crossref⁶⁶](#)

Nikolay Dimitrov, Nikola Tomov, Dimitrinka Atanasova, Stiliyan Iliev, Tatyana Tomova, Dimitar Sivrev, Zoya Goranova, Visible Meridian Phenomena after Acupuncture: A Series of Case Reports, *Journal of Acupuncture and Meridian Studies*, 10.51507/jjams.2021.14.2.50, 14, 2, (50-57), (2021). [Crossref⁶⁷](#)

Nasim Bahadorani, Jerry W. Lee, Leslie R. Martin, Implications of Tamarkoz on stress, emotion, spirituality and heart rate, *Scientific Reports*, 10.1038/s41598-021-93470-8, 11, 1, (2021). [Crossref⁶⁸](#)

Maojun Li, Huawen Peng, Binxiu Wei, Qiuxia Deng, Fen Qian, Xin Liu, Jian Wang, *TBME*, 1973.324289
49. <https://onlinelibrary.wiley.com/serve/linkout?suffix=null&dbid=8&doi=10.1002/ar.10185&key=4727423>
50. <https://onlinelibrary.wiley.com/serve/linkout?suffix=null&dbid=128&doi=10.1002/ar.10185&key=A19730497200007>
51. <https://onlinelibrary.wiley.com/serve/linkout?suffix=null&dbid=8&doi=10.1002/ar.10185&key=1178444>
52. <https://onlinelibrary.wiley.com/serve/linkout?suffix=null&dbid=128&doi=10.1002/ar.10185&key=A1975AP43900003>
53. <https://onlinelibrary.wiley.com/serve/linkout?suffix=null&dbid=16&doi=10.1002/ar.10185&key=10.1109/TBME.1975.324477>
54. <https://onlinelibrary.wiley.com/serve/linkout?suffix=null&dbid=8&doi=10.1002/ar.10185&key=1184029>
55. <https://onlinelibrary.wiley.com/serve/linkout?suffix=null&dbid=128&doi=10.1002/ar.10185&key=A1975A102000013>
56. <https://onlinelibrary.wiley.com/serve/linkout?suffix=null&dbid=16&doi=10.1002/ar.10185&key=10.1073/pnas.111133298>
57. <https://onlinelibrary.wiley.com/serve/linkout?suffix=null&dbid=8&doi=10.1002/ar.10185&key=11353845>
58. <https://onlinelibrary.wiley.com/serve/linkout?suffix=null&dbid=128&doi=10.1002/ar.10185&key=000168883700045>
59. <https://onlinelibrary.wiley.com/serve/linkout?suffix=null&dbid=8&doi=10.1002/ar.10185&key=9646895>
60. <https://onlinelibrary.wiley.com/serve/linkout?suffix=null&dbid=128&doi=10.1002/ar.10185&key=000074292400008>
61. https://doi.org/10.1007/978-3-030-75506-5_1
62. <https://doi.org/10.1166/jbt.2022.2928>
63. <https://onlinelibrary.wiley.com/doi/10.1002/ar.24681>
64. <https://doi.org/10.1016/B978-0-323-62539-5.00018-7>
65. <https://doi.org/10.1155/2021/5581227>
66. <https://doi.org/10.1016/j.ijthermalsci.2021.106924>
67. <https://doi.org/10.51507/jjams.2021.14.2.50>
68. <https://doi.org/10.1038/s41598-021-93470-8>

Xiaodong Zhu, Effect of acupuncture anesthesia based on nanomaterial sensor on cognitive function after one-lung ventilation thoracotomy, *Materials Express*, 10.1166/mex.2021.2027, 11, 7, (1051-1056), (2021). [Crossref⁶⁹](#)

Jiali Kumaratilake, Teghan Lucas, Maciej Henneberg, Possible relationship of upper limb arteries, median and brachial to the twelfth meridian of the human upper limb, *Journal of Anatomy*, 10.1111/joa.13401, 238, 6, (1492-1493), (2021). [Wiley Online Library⁷⁰](#)

Yong Ming Li, Three hand yin meridians in ancient Chinese medicine were established initially based on arterial structures, *Journal of Anatomy*, 10.1111/joa.13400, 238, 6, (1494-1496), (2021). [Wiley Online Library⁷¹](#)

Yi Zhang, Interpretation of acupoint location in traditional Chinese medicine teaching: Implications for acupuncture in research and clinical practice, *The Anatomical Record*, 10.1002/ar.24618, 304, 11, (2372-2380), (2021). [Wiley Online Library⁷²](#)

Sanghun Lee, Prospects for the Development of Acupuncture Treatment Led by the Use of Ultrasound Imaging Devices, *Journal of Korean Medical Society of Soft Tissue*, 10.54461/JKMS.2021.5.1.8, 5, 1, (8-11), (2021). [Crossref⁷³](#)

Xiao Ye, Yu-lan Ren, Yun-hui Chen, Ji Chen, Xiao-jiao Tang, Zong-ming Zhang, A “4D” systemic view on meridian essence: Substantial, functional, chronological and cultural attributes, *Journal of Integrative Medicine*, 10.1016/j.joim.2021.11.006, (2021). [Crossref⁷⁴](#)

Berna Dincer, Demet Inangil, Gökhan Inangil, Nefise Bahçecik, Elif Yıldırım Ayaz, Ali Arslanoglu, Miraç Vural Keskinler, Ayşe Kabuk, Gamze Özkan, The effect of acupressure on sleep quality of older people: A systematic review and meta-analysis of randomized controlled trials, *EXPLORE*, 10.1016/j.explore.2021.11.010, (2021). [Crossref⁷⁵](#)

Marianna de Melo Salemi, Vanessa Maria da Silva Alves Gomes, Laylla Marjorye Rebouças Bezerra, Thania Maion de Souza Melo, Geisa Guimarães de Alencar, Iracema Hermes Pires de Melo Montenegro, Alessandra Paula de Melo Calado, Eduardo José Nepomuceno Montenegro, Gisela Rocha de Siqueira, Effect of Dry Cupping Therapy on Pain and Functional Disability in Persistent Non-Specific Low Back Pain: A Randomized Controlled Clinical Trial, *Journal of Acupuncture and Meridian Studies*, 10.51507/jjams.2021.14.6.219, 14, 6, (219-230), (2021). [Crossref⁷⁶](#)

Luis Carlos Matos, Jorge Pereira Machado, Fernando Jorge Monteiro, Henry Johannes Greten, Understanding Traditional Chinese Medicine Therapeutics: An Overview of the Basics and Clinical Applications, *Healthcare*, 10.3390/healthcare9030257, 9, 3, (257), (2021). [Crossref⁷⁷](#)

Jingwen Cui, Wanrong Song, Yipeng Jin, Huihao Xu, Kai Fan, Degui Lin, Zhihui Hao, Jiahao Lin, Research Progress on the Mechanism of the Acupuncture Regulating Neuro-Endocrine-Immune Network System, *Veterinary Sciences*, 10.3390/vetsci8080149, 8, 8, (149), (2021). [Crossref⁷⁸](#)

Íñigo Ongay de Felipe, The Universality of Science and Traditional Chinese Medicine, *Science & Education*, 10.1007/s11191-021-00249-4, (2021). [Crossref⁷⁹](#)

Ningcen Li, Yi Guo, Yanan Gong, Yue Zhang, Wen Fan, Kaifang Yao, Zhihan Chen, Baomin Dou, Xiaowei Lin, Bo Chen, Zelin Chen, Zhifang Xu, Zhongxi Lyu, The Anti-Inflammatory Actions and Mechanisms of Acupuncture from Acupoint to Target Organs via Neuro-Immune Regulation, *Journal of Inflammation Research*, 10.2147/JIR.S341581, Volume 14, (7191-7224), (2021). [Crossref⁸⁰](#)

戴云 冯, Bridging Medicine East and West—Pursuit on the Relation between Biomedical Consequence of Stimulating the Acupoints of the Lung Meridian and Somatosensory Reflexes, Aiming to Treat Chronic Obstruction Pulmonary Diseases, *Traditional Chinese Medicine*, 10.12677/TCM.2020.92022, 09, 02, (145-176), (2020). [Crossref⁸¹](#)

Manon te Dorsthorst, Michael van Balken, John Heesakkers, Tibial nerve stimulation in the treatment of overactive bladder syndrome, *Current Opinion in Urology*, 10.1097/MOU.0000000000000781, 30, 4, (513-518), (2020). [Crossref⁸²](#)

Peter I-Kung Wu, Lucy Chen, Integrative Medicine, *Spine Pain Care*, 10.1007/978-3-030-27447-4, (473-489), (2020). [Crossref⁸³](#)

I. Giralt Sampedro, G. Carvajal, A. García-Janeras, A. Fabà, M.B. Nishishinya Aquino, A severe case of Ramsay Hunt Syndrome treated with acupuncture and related techniques, *Complementary Therapies in Clinical Practice*, 10.1016/j.ctcp.2020.101119, (101119), (2020). [Crossref⁸⁴](#)

Eric Leskowitz, A Cartography of Energy Medicine: From Subtle Anatomy to Energy Physiology, *EXPLORE*, 10.1016/j.explore.2020.09.008, (2020). [Crossref⁸⁵](#)

Hantong Hu, Yongliang Jiang, Xiaoyu Li, Jiali Lou, Yajun Zhang, Xiaofen He, Junfan Fang, Yuanyuan Wu, Xiaomei Shao, Jianqiao Fang, The microcirculatory characteristics of the heart and lung meridians, *Medicine*, 10.1097/MD.00000000000019594, 99, 14, (e19594), (2020). [Crossref⁸⁶](#)

Sheikh Faruque Elahee Bangladesh, Hui-juan Mao, Ling Zhao, Xue-yong Shen, Meridian

69. <https://doi.org/10.1166/mex.2021.2027>
70. <https://onlinelibrary.wiley.com/doi/10.1111/joa.13401>
71. <https://onlinelibrary.wiley.com/doi/10.1111/joa.13400>
72. <https://onlinelibrary.wiley.com/doi/10.1002/ar.24618>
73. <https://doi.org/10.54461/JKMS.2021.5.1.8>
74. <https://doi.org/10.1016/j.joim.2021.11.006>
75. <https://doi.org/10.1016/j.explore.2021.11.010>
76. <https://doi.org/10.51507/jjams.2021.14.6.219>
77. <https://doi.org/10.3390/healthcare9030257>
78. <https://doi.org/10.3390/vetsci8080149>
79. <https://doi.org/10.1007/s11191-021-00249-4>
80. <https://doi.org/10.2147/JIR.S341581>
81. <https://doi.org/10.12677/TCM.2020.92022>
82. <https://doi.org/10.1097/MOU.0000000000000781>
83. <https://doi.org/10.1007/978-3-030-27447-4>
84. <https://doi.org/10.1016/j.ctcp.2020.101119>
85. <https://doi.org/10.1016/j.explore.2020.09.008>
86. <https://doi.org/10.1097/MD.00000000000019594>

- system and mechanism of acupuncture action: A scientific evaluation 经络系统与针刺效应机制的科学评价, *World Journal of Acupuncture - Moxibustion*, 10.1016/j.wjam.2020.05.003, (2020). [Crossref⁸⁷](#)
- Mário Gonçalves, Luis Carlos Matos, Leonel Duarte, Jorge Machado, Henry Johannes Greten, Giovanna Franconi, PROBLEMS OF SCIENTIFIC METHODOLOGY RELATED TO PLACEBO CONTROL IN QIGONG STUDIES: A SYSTEMATIC REVIEW, *Journal of Bodywork and Movement Therapies*, 10.1016/j.jbmt.2020.06.035, (2020). [Crossref⁸⁸](#)
- Hans-Udo Richarz, Uwe Schütz, Werner Klingler, Das fasziale Bindegewebe – ein Medium für die Akupunktur? The fascial connective tissue—a medium for acupuncture?, *Deutsche Zeitschrift für Akupunktur*, 10.1007/s42212-019-00228-5, (2020). [Crossref⁸⁹](#)
- Shi Yonghong, Wu Ruizhi, Zhang Yue, Bai Xuebing, Imran Tarique, Liang Chunhua, Yang Ping, Chen Qiusheng, Telocytes in Different Organs of Vertebrates: Potential Essence Cells of the Meridian in Chinese Traditional Medicine, *Microscopy and Microanalysis*, 10.1017/S1431927620001518, (1-14), (2020). [Crossref⁹⁰](#)
- Jinglan Mu, Andrea D Furlan, Wai Yee Lam, Marcos Y Hsu, Zhipeng Ning, Lixing Lao, Acupuncture for chronic nonspecific low back pain, *Cochrane Database of Systematic Reviews*, 10.1002/14651858.CD013814, (2020). [Crossref⁹¹](#)
- Kimia Grace Ganjaei, Jeremiah W. Ray, Brandee Waite, Kevin J. Burnham, The Fascial System in Musculoskeletal Function and Myofascial Pain, *Current Physical Medicine and Rehabilitation Reports*, 10.1007/s40141-020-00302-3, (2020). [Crossref⁹²](#)
- Christina L. Ross, Energy Medicine: Current Status and Future Perspectives, *Global Advances in Health and Medicine*, 10.1177/2164956119831221, 8, (216495611983122), (2019). [Crossref⁹³](#)
- Phil Trubalsy, COMPLEMENTARY AND ALTERNATIVE MEDICINE, *Cancer*, 10.1002/9781119645214, (499-530), (2019). [Wiley Online Library⁹⁴](#)
- Younbyoung Chae, Yeonhee Ryu, Won-Mo Jung, An Analysis of Indications of Meridians in DongUiBoGam Using Data Mining, *Korean Journal of Acupuncture*, 10.14406/acu.2019.034, 36, 4, (292-299), (2019). [Crossref⁹⁵](#)
- Wei-bo ZHANG, Xiao-jing SONG, Ze WANG, Guang-jun WANG, Shu-yong JIA, Yu-ying TIAN, Hong-yan LI, Longitudinal Directional Movement of Alcian Blue in Gephyrocharax Melanocheir Fish: Revealing Interstitial Flow and Related Structure ☆ 阿尔新蓝在黑裙鱼中的纵向定向运动:组织液流动与相关结构的揭示, *World Journal of Acupuncture - Moxibustion*, 10.1016/j.wjam.2019.05.008, (2019). [Crossref⁹⁶](#)
- Nicholas Alexander Wise, Action at a distance: laser acupuncture and the brain, *Photobiomodulation in the Brain*, 10.1016/B978-0-12-815305-5.00036-1, (489-501), (2019). [Crossref⁹⁷](#)
- Liangjun Xia, Qingyu Meng, Jin Xi, Qin Han, Jie Cheng, Jie Shen, Youbing Xia, Liyun Shi, The synergistic effect of electroacupuncture and bone mesenchymal stem cell transplantation on repairing thin endometrial injury in rats, *Stem Cell Research & Therapy*, 10.1186/s13287-019-1326-6, 10, 1, (2019). [Crossref⁹⁸](#)
- Dha-Hyun Choi, Younbyoung Chae, Minimisation of variations in locating an acupuncture point using a laser-device, *Integrative Medicine Research*, 10.1016/j.imr.2019.11.005, (2019). [Crossref⁹⁹](#)
- Doohan Oh, Jong-hyun Kim, Youn-Sub Kim, Song-Yi Kim, Analysis of Tonification and Sedation Methods in the 『Yeongsonghimgugyeong』, *Korean Journal of Acupuncture*, 10.14406/acu.2019.021, 36, 3, (171-180), (2019). [Crossref¹⁰⁰](#)
- Aleksandar Zivaljevic, Bin Shi, Elisa M S. Tam, Vahideh Toossi, Treatment of visceral pain associated with irritable bowel syndrome using acupuncture: Mechanism of action, *World Journal of Traditional Chinese Medicine*, 10.4103/wjtc.wjtc_24_19, 5, 4, (181), (2019). [Crossref¹⁰¹](#)
- Suchan Chang, O. Sang Kwon, Se Kyun Bang, Do-Hee Kim, Min Won Baek, Yeonhee Ryu, Jong Han Bae, Yu Fan, Soo Min Lee, Hyung Kyu Kim, Bong Hyo Lee, Chae Ha Yang, Hee Young Kim, Peripheral Sensory Nerve Tissue but Not Connective Tissue Is Involved in the Action of Acupuncture, *Frontiers in Neuroscience*, 10.3389/fnins.2019.00110, 13, (2019). [Crossref¹⁰²](#)
- Junaid Wazir, Rahat Ullah, Shihong Li, Md Amir Hossain, Maladho Tanta Diallo, Farhan Ullah Khan, Awais Ullah Ihsan, Xiaohui Zhou, Efficacy of acupuncture in the treatment of chronic prostatitis-chronic pelvic pain syndrome: a review of the literature, *International Urology and Nephrology*, 10.1007/s11255-019-02267-2, (2019). [Crossref¹⁰³](#)
- Noa Schwartz, Madhavi Latha S. Chalasani, Thomas M. Li, Zhonghui Feng, William D. Shipman, Theresa T. Lu, Lymphatic Function in Autoimmune Diseases, *Frontiers in Immunology*, 10.3389/fimmu.2019.00519, 10, (2019). [Crossref¹⁰⁴](#)
- Sarah Ely, Panos Barlas, Transcutaneous electrical acupoint stimulation for people with chronic musculoskeletal pain: an exploratory review, *Physical Therapy Reviews*, 10.1080/10833196.2019.1648728, (1-12), (2019). [Crossref¹⁰⁵](#)
- Koh-Woon Kim, Sanhwa Hong, Hong Soo Kim, Taehun Kim, Jaeha Ahn, Hyun-Seo Song, Yu-Kang Kim, Ju-Young Oh, Tae-Yeon Hwang, Hyangsook Lee, Su-Il In, Hi-Joon Park, Physiological impact of nanoporous acupuncture needles: Laser Doppler perfusion imaging in healthy volunteers, *PLOS ONE*, 10.1371/journal.pone.0226304, 14, 12, (e0226304), (2019). [Crossref¹⁰⁶](#)
- Chang-zhen Gong, Wei Liu, Convergence of Medicines: West Meets East in Newly-Discovered Organs and Functions, *Chinese Journal of Integrative Medicine*, 10.1007/s11655-018-2570-9, 25, 5, (323-326), (2018). [Crossref¹⁰⁷](#)
- Jeanne Adiwinata Pawitan, Various stem cells in acupuncture meridians and points and their putative roles, *Journal of Traditional and Complementary Medicine*, 10.1016/j.jtcme.2017.08.004, (2018). [Crossref¹⁰⁸](#)
- Chungda Lee, How can mindfulness-led breathing of qigong/Tai Chi work on qi and the meridian network?, *Advances in Integrative Medicine*, 10.1016/j.aimed.2018.07.002, 5, 3, (122-127), (2018). [Crossref¹⁰⁹](#)
- Patrick Roynard, Lauren Frank, Huisheng Xie, Margaret Fowler, Acupuncture for Small Animal Neurologic Disorders, *Veterinary Clinics of North America: Small Animal Practice*, 10.1016/j.cvsm.2017.08.003, 48, 1, (201-219), (2018). [Crossref¹¹⁰](#)
- Meng Huang, Xuezhi Wang, Beibei Xing, Hongwei Yang, Zheyang Sa, Di Zhang, Wei Yao, Na Yin, Ying Xia, Guanghong Ding, Critical roles of TRPV2 channels, histamine H1 and adenosine A1 receptors in the initiation of acupoint signals for acupuncture analgesia, *Scientific Reports*, 10.1038/s41598-018-24654-y, 8, 1, (2018). [Crossref¹¹¹](#)
- Ruining Liang, Peishuang Li, Xuemei Peng, Ling Xu, Pei Fan, Jiahua Peng, Xu Zhou, Chundunlin Xiao, Miao Jiang, Efficacy of acupuncture on pelvic pain in patients with endometriosis: study protocol for a randomized, single-blind, multi-center, placebo-controlled trial, *Trials*, 10.1186/s13063-018-2684-6, 19, 1, (2018). [Crossref¹¹²](#)
- Wei-bo Zhang, De-xian Jia, Hong-yan Li, Yu-long Wei, Huang Yan, Peng-na Zhao, Fei-fei Gu, Guang-jun Wang, Yan-ping Wang, Understanding Qi Running in the Meridians as Interstitial Fluid Flowing via Interstitial Space of Low Hydraulic Resistance, *Chinese Journal of Integrative Medicine*, 10.1007/s11655-017-2791-3, 24, 4, (304-307), (2018). [Crossref¹¹³](#)
- Conner E. Liddle, Richard E. Harris, Cellular Reorganization Plays a Vital Role in Acupuncture Analgesia, *Medical Acupuncture*, 10.1089/acu.2017.1258, 30, 1, (15-20), (2018). [Crossref¹¹⁴](#)
- 戴云 冯, Relationship among the Meridians, Sinew Channels and Integrative Five Fluid Circulation System, *Traditional Chinese Medicine*, 10.12677/TCM.2018.71013, 07, 01, (74-92), (2018). [Crossref¹¹⁵](#)
- David Feinstein, Energy Psychology: Efficacy, Speed, Mechanisms, *EXPLORE*, 10.1016/j.explore.2018.11.003, (2018). [Crossref¹¹⁶](#)
- Hiroe MOTOYAMA, Hirohisa ISOGAI, Yoshito MUKAINO, Relaxing Effect Achieved by Acupuncture Stimulation in Different Postures for University Students Living a Sedentary Lifestyle, *Sedentary Lifestyle を送る大学生を対象とした異なる姿勢への鍼刺刺激によるリラクゼーション効果*, *Kampo Medicine*, 10.3937/kampomed.69.225, 69, 3, (225-238), (2018). [Crossref¹¹⁷](#)
- Alexander Waits, You-Ren Tang, Hao-Min Cheng, Chen-Jei Tai, Li-Yin Chien, Acupressure effect on sleep quality: A systematic review and meta-analysis, *Sleep Medicine Reviews*, 10.1016/j.smrv.2016.12.004, 37, (24-34), (2018). [Crossref¹¹⁸](#)
- Chenglin Liu, Qinghua Liu, Dongming Zhang, Wei Liu, Xiaohui Yan, Xinyi Zhang, Hiroyuki Oyanagi, Zhiyun Pan, Fengchun Hu, Shiqiang Wei, Insight into the biological effects of acupuncture points by X-ray absorption fine structure, *Analytical and Bioanalytical Chemistry*, 10.1007/s00216-018-1146-z, 410, 20, (4959-4965), (2018). [Crossref¹¹⁹](#)
- Eric Leskowitz, How Tapping into “Energy” Can Trigger a Paradigm Shift in Biomedicine, *The Journal of Alternative and Complementary Medicine*, 10.1089/acm.2018.0073, 24, 6, (525-527), (2018). [Crossref¹²⁰](#)
- Johannes Fleckenstein, Robert Schleip, Cornelia Sachs, Mark Driscoll, Susan Shockett, Thomas Findley, Werner Klingler, Faszienforschung: Quo vadis? Fascia research: Quo vadis?, *Deutsche Zeitschrift für Akupunktur*, 10.1007/s42212-018-0037-8, 61, 2, (69-74), (2018). [Crossref¹²¹](#)
- FA Phan, A Srilestari, H Mihardja, MBH Marbun, Effects of acupuncture on uremic pruritus in patients undergoing hemodialysis, *Journal of Physics: Conference Series*, 10.1088/1742-6596/1073/6/062049, 1073, (062049), (2018). [Crossref¹²²](#)
- Kwang-Sup Soh, Sistema circulatorio de Bonghan como una extensión de los meridianos de acupuntura, *Revista Internacional de Acupuntura*, 10.1016/j.acu.2018.02.001, 12, 1, (15-28), (2018). [Crossref¹²³](#)
87. <https://doi.org/10.1016/j.wjam.2020.05.003>
88. <https://doi.org/10.1016/j.jbmt.2020.06.035>
89. <https://doi.org/10.1007/s42212-019-00228-5>
90. <https://doi.org/10.1017/S1431927620001518>
91. <https://doi.org/10.1002/14651858.CD013814>
92. <https://doi.org/10.1007/s40141-020-00302-3>
93. <https://doi.org/10.1177/2164956119831221>
94. <https://onlinelibrary.wiley.com/doi/10.1002/9781119645214>
95. <https://doi.org/10.14406/acu.2019.034>
96. <https://doi.org/10.1016/j.wjam.2019.05.008>
97. <https://doi.org/10.1016/B978-0-12-815305-5.00036-1>
98. <https://doi.org/10.1186/s13287-019-1326-6>
99. <https://doi.org/10.1016/j.imr.2019.11.005>
100. <https://doi.org/10.14406/acu.2019.021>
101. https://doi.org/10.4103/wjtc.wjtc_24_19
102. <https://doi.org/10.3389/fnins.2019.00110>
103. <https://doi.org/10.1007/s11255-019-02267-2>
104. <https://doi.org/10.3389/fimmu.2019.00519>
105. <https://doi.org/10.1080/10833196.2019.1648728>
106. <https://doi.org/10.1371/journal.pone.0226304>
107. <https://doi.org/10.1007/s11655-018-2570-9>
108. <https://doi.org/10.1016/j.jtcme.2017.08.004>
109. <https://doi.org/10.1016/j.aimed.2018.07.002>
110. <https://doi.org/10.1016/j.cvsm.2017.08.003>
111. <https://doi.org/10.1038/s41598-018-24654-y>
112. <https://doi.org/10.1186/s13063-018-2684-6>
113. <https://doi.org/10.1007/s11655-017-2791-3>
114. <https://doi.org/10.1089/acu.2017.1258>
115. <https://doi.org/10.12677/TCM.2018.71013>
116. <https://doi.org/10.1016/j.explore.2018.11.003>
117. <https://doi.org/10.3937/kampomed.69.225>
118. <https://doi.org/10.1016/j.smrv.2016.12.004>
119. <https://doi.org/10.1007/s00216-018-1146-z>
120. <https://doi.org/10.1089/acm.2018.0073>
121. <https://doi.org/10.1007/s42212-018-0037-8>
122. <https://doi.org/10.1088/1742-6596/1073/6/062049>
123. <https://doi.org/10.1016/j.acu.2018.02.001>

Helene M. Langevin, Peter M. Wayne, What Is the Point? The Problem with Acupuncture Research That No One Wants to Talk About, *The Journal of Alternative and Complementary Medicine*, 10.1089/acm.2017.0366, 24, 3, (200-207), (2018). [Crossref¹²⁴](#)

Chun-Yi Lin, Tze-Taur Wei, Chen-Chen Wang, Wan-Chen Chen, Yu-Min Wang, Song-Yen Tsai, Acute Physiological and Psychological Effects of Qigong Exercise in Older Practitioners, Evidence-Based Complementary and Alternative Medicine, 10.1155/2018/4960978, 2018, (1-10), (2018). [Crossref¹²⁵](#)

Kanae Umemoto, Toshiyuki Saito, Munekazu Naito, Shogo Hayashi, Tomiko Yakura, Hanno Steinke, Takashi Nakano, Anatomical Relationship between BI23 and the Posterior Ramus of the L2 Spinal Nerve, *Acupuncture in Medicine*, 10.1136/acupmed-2015-010847, 34, 2, (95-100), (2018). [Crossref¹²⁶](#)

Krista Lynne Paulson, Barbara L. Shay, Sympathetic Nervous System Responses to Acupuncture and Non-Penetrating Sham Acupuncture in Experimental Forearm Pain: A Single-Blind Randomised Descriptive Study, *Acupuncture in Medicine*, 10.1136/acupmed-2012-010223, 31, 2, (178-184), (2018). [Crossref¹²⁷](#)

Marc Amand, Florence Nguyen-Huu, Costantino Balestra, Acupuncture Effect on Thermal Tolerance and Electrical Pain Threshold: A Randomised Controlled Trial, *Acupuncture in Medicine*, 10.1136/aim.2010.002485, 29, 1, (47-50), (2018). [Crossref¹²⁸](#)

Michele Alem, Maria Salette Costa Gurgel, Acupuncture in the Rehabilitation of Women after Breast Cancer Surgery – a Case Series, *Acupuncture in Medicine*, 10.1136/aim.2016.26.2, (86-93), (2018). [Crossref¹²⁹](#)

Avijgan Majid, Rouh/Qi before and after production; basic concept of life, *International Journal of Complementary & Alternative Medicine*, 10.15406/ijcam.2018.11.00363, 11, 2, (2018). [Crossref¹³⁰](#)

Tiaw-Kee Lim, Yan Ma, Frederic Berger, Gerhard Litscher, Acupuncture and Neural Mechanism in the Management of Low Back Pain—An Update, *Medicines*, 10.3390/medicines5030063, 5, 3, (63), (2018). [Crossref¹³¹](#)

Anna Esparham, Anne Herbert, Emily Pierzchalski, Catherine Tran, Jennifer Dilts, Madeline Boorigie, Tammie Wingert, Mark Connelly, Jennifer Bickel, Pediatric Headache Clinic Model: Implementation of Integrative Therapies in Practice, *Children*, 10.3390/children5060074, 5, 6, (74), (2018). [Crossref¹³²](#)

Elizabeth R. Magden, Chapter 13 Positive Reinforcement Training and Health Care, *Handbook of Primate Behavioral Management*, 10.1201/9781315120652, (201-216), (2017). [Crossref¹³³](#)

Faria Sanjana, Hans Chaudhry, Thomas Findley, Effect of MELT method on thoracolumbar connective tissue: The full study, *Journal of Bodywork and Movement Therapies*, 10.1016/j.jbmt.2016.05.010, 21, 1, (179-185), (2017). [Crossref¹³⁴](#)

Peter T. Dorsher, Neuroembryology of the Acupuncture Principal Meridians: Part 1. The Extremities, *Medical Acupuncture*, 10.1089/acu.2016.1210, 29, 1, (10-19), (2017). [Crossref¹³⁵](#)

Jordi Gascon-Garcia, Caridad Bagur-Calafat, Montserrat Girabent-Farrés, Ramon Balius, Validation of the range of dry needling with the fascial winding technique in the carpal tunnel using ultrasound, *Journal of Bodywork and Movement Therapies*, 10.1016/j.jbmt.2017.10.013, (2017). [Crossref¹³⁶](#)

Ana Paula A. Ferreira, Luciana C. Póvoa, José F.C. Zanier, Arthur S. Ferreira, Locating the Seventh Cervical Spinous Process: Accuracy of the Thorax-Rib Static Method and the Effects of Clinical Data on Its Performance, *Journal of Manipulative and Physiological Therapeutics*, 10.1016/j.jmpt.2016.10.011, 40, 2, (98-105), (2017). [Crossref¹³⁷](#)

Arya Nielsen, Acupuncture for the Prevention of Tension-Type Headache (2016), *EXPLORE: The Journal of Science and Healing*, 10.1016/j.explore.2017.03.007, 13, 3, (228-231), (2017). [Crossref¹³⁸](#)

Fan Wang, Guang-wei Cui, Le Kuai, Jian-min Xu, Ting-ting Zhang, Huai-jin Cheng, Hong-sheng Dong, Gui-rong Dong, Role of Acupoint Area Collagen Fibers in Anti-Inflammation of Acupuncture Lifting and Thrusting Manipulation, Evidence-Based Complementary and Alternative Medicine, 10.1155/2017/2813437, 2017, (1-8), (2017). [Crossref¹³⁹](#)

Wei-Chia Chen, Hsiang-Ying Chen, Yu-Sheng Chen, Yong Tian, Lin I, Self-excited multi-scale skin vibrations probed by optical tracking micro-motions of tracers on arms, *Journal of Applied Physics*, 10.1063/1.4991499, 122, 2, (024701), (2017). [Crossref¹⁴⁰](#)

Fletcher Kovich, A Curious Oversight in Acupuncture Research, *Journal of Acupuncture and Meridian Studies*, 10.1016/j.jams.2017.10.004, 10, 6, (411-415), (2017). [Crossref¹⁴¹](#)

David F. Drake, Anne M. Hudak, William Robbins, Integrative Medicine in Traumatic Brain Injury, *Physical Medicine and Rehabilitation Clinics of North America*, 10.1016/j.pmr.2016.12.011, 28, 2, (363-378), (2017). [Crossref¹⁴²](#)

Helene M. Langevin, Rosa N. Schnyer, Reconnecting the Body in Eastern and Western Medicine, *The Journal of Alternative and Complementary Medicine*, 10.1089/acm.2017.0028, 23, 4, (238-241), (2017). [Crossref¹⁴³](#)

Salvador Quiroz-González, Sergio Torres-Castillo, Rosa Estela López-Gómez, Ismael Jiménez Estrada, Acupuncture Points and Their Relationship with Multireceptive Fields of Neurons, *Journal of Acupuncture and Meridian Studies*, 10.1016/j.jams.2017.01.006, 10, 2, (81-89), (2017). [Crossref¹⁴⁴](#)

Sharon Jiyeon Jung, Haim Song, Yu Yeon Kim, Jungdae Kim, Sungchul Kim, Yoon-Kyu Song, Kwang-Sup Soh, Distribution of Mast Cells and Locations, Depths, and Sizes of the Putative Acupoints CV 8 and KI 16, Evidence-Based Complementary and Alternative Medicine, 10.1155/2017/2953278, 2017, (1-10), (2017). [Crossref¹⁴⁵](#)

Benjamin CW. Chant, Jeanne Madison, Paul Coop, Gudrun Dieberg, Contact Tools in Japanese Acupuncture: An Ethnography of Acupuncture Practitioners in Japan, *Journal of Acupuncture and Meridian Studies*, 10.1016/j.jams.2017.08.006, 10, 5, (331-339), (2017). [Crossref¹⁴⁶](#)

Hugh MacPherson, Andrew Vickers, Martin Bland, David Torgerson, Mark Corbett, Eldon Spackman, Pedro Saramago, Beth Woods, Helen Weatherly, Mark Sculpher, Andrea Manca, Stewart Richmond, Ann Hopton, Janet Eldred, Ian Watt, Acupuncture for chronic pain and depression in primary care: a programme of research, Programme Grants for Applied Research, 10.3310/pgfar05030, 5, 3, (1-316), (2017). [Crossref¹⁴⁷](#)

Benjamin Kligler, Arya Nielsen, Corinne Kohrher, Tracy Schmid, Eve Waltermaurer, Elidania Perez, Woodson Merrell, Acupuncture Therapy in a Group Setting for Chronic Pain, *Pain Medicine*, 10.1093/pm/pnx134, (2017). [Crossref¹⁴⁸](#)

Alexander Macdonald, Acupuncture Main Channels or Meridians: Visible Surfaces, *International Journal of Complementary & Alternative Medicine*, 10.15406/ijcam.2017.07.00233, 7, 4, (2017). [Crossref¹⁴⁹](#)

Roshanak Ghods, Nasrin Sayfour, Mohammad Hossein Ayati, Anatomical Features of the Interscapular Area Where Wet Cupping Therapy Is Done and Its Possible Relation to Acupuncture Meridians, *Journal of Acupuncture and Meridian Studies*, 10.1016/j.jams.2016.06.004, 9, 6, (290-296), (2016). [Crossref¹⁵⁰](#)

Laura Quiles, Electra Peluffo, Meridianos tendinomusculares (Jing Jin) y tejido fascial, comparativa anatómica y funcional, *Revista Internacional de Acupuntura*, 10.1016/j.acu.2016.01.002, 10, 1, (20-24), (2016). [Crossref¹⁵¹](#)

Tian Tian, Yanhong Sun, Huang Wu, Jian Pei, Jing Zhang, Yi Zhang, Lu Wang, Bin Li, Lihua Wang, Jiye Shi, Jun Hu, Chunhai Fan, Acupuncture promotes mTOR-independent autophagic clearance of aggregation-prone proteins in mouse brain, *Scientific Reports*, 10.1038/srep19714, 6, 1, (2016). [Crossref¹⁵²](#)

Eric Leskowitz, Integrative Medicine for PTSD and TBI: Two Innovative Approaches, *Medical Acupuncture*, 10.1089/acu.2016.1168, 28, 4, (181-183), (2016). [Crossref¹⁵³](#)

Sarah le Jeune, Kimberly Henneman, Kevin May, Acupuncture and Equine Rehabilitation, *Veterinary Clinics of North America: Equine Practice*, 10.1016/j.cveq.2015.12.004, 32, 1, (73-85), (2016). [Crossref¹⁵⁴](#)

Charlotte H. Y. Lau, Xinyin Wu, Vincent C. H. Chung, Xin Liu, Edwin P. Hui, Holger Cramer, Romy Lauche, Samuel Y. S. Wong, Alexander Y. L. Lau, Regina W. S. Sit, Eric T. C. Ziea, Bacon F. L. Ng, Justin C. Y. Wu, Acupuncture and Related Therapies for Symptom Management in Palliative Cancer Care, *Medicine*, 10.1097/MD.0000000000002901, 95, 9, (e2901), (2016). [Crossref¹⁵⁵](#)

Li Chen, Hai-Xiang Sun, You-Bing Xia, Liu-Cai Sui, Ji Zhou, Xuan Huang, Jing-Wei Zhou, Yi-Dan Shao, Tao Shen, Qin Sun, Yuan-Jiao Liang, Bing Yao, Electroacupuncture decreases the progression of ovarian hyperstimulation syndrome in a rat model, *Reproductive BioMedicine Online*, 10.1016/j.rbmo.2016.02.006, 32, 5, (538-544), (2016). [Crossref¹⁵⁶](#)

Suzanne B. Hanser, Suzanne B. Hanser, Holistic Healing, Integrative Health through Music Therapy, 10.1057/978-1-137-38477-5, (35-54), (2016). [Crossref¹⁵⁷](#)

Laurent Misery, Acupuncture, Pruritus, 10.1007/978-3-319-33142-3, (437-441), (2016). [Crossref¹⁵⁸](#)

Jing-Ke Guo, Ming-Ming Xu, Mei-Feng Zheng, Shu-Tao Liu, Jian-Wu Zhou, Li-Jing Ke, Tian-Bao Chen, Ping-Fan Rao, Topical Application of TAT-Superoxide Dismutase in Acupoints LI 20 on Allergic Rhinitis, Evidence-Based Complementary and Alternative Medicine, 10.1155/2016/3830273, 2016, (1-9), (2016). [Crossref¹⁵⁹](#)

James L. Oschman, Acupuncture, Acupressure, Shiatsu, and Related Therapies, *Energy Medicine*, 10.1016/B978-0-443-06729-7.00014-4, (221-239), (2016). [Crossref¹⁶⁰](#)

Motti Ratmansky, Adi Levy, Aviv Messinger, Alla Birg, Lilach Front, Iuly Treger, The Effects of Acupuncture on Cerebral Blood Flow in Post-Stroke Patients: A Randomized Controlled Trial, *The Journal of Alternative and Complementary Medicine*, 10.1089/143. [Crossref¹⁴³](#)

144. [Crossref¹⁴⁴](#)

145. [Crossref¹⁴⁵](#)

146. [Crossref¹⁴⁶](#)

147. [Crossref¹⁴⁷](#)

148. [Crossref¹⁴⁸](#)

149. [Crossref¹⁴⁹](#)

150. [Crossref¹⁵⁰](#)

151. [Crossref¹⁵¹](#)

152. [Crossref¹⁵²](#)

153. [Crossref¹⁵³](#)

154. [Crossref¹⁵⁴](#)

155. [Crossref¹⁵⁵](#)

156. [Crossref¹⁵⁶](#)

157. [Crossref¹⁵⁷](#)

158. [Crossref¹⁵⁸](#)

159. [Crossref¹⁵⁹](#)

160. [Crossref¹⁶⁰](#)

- acm.2015.0066, 22, 1, (33-37), (2016). [Crossref⁶¹](#)
- Marzio Vanzini, Michele Gallamini, Amblyopia: Can Laser Acupuncture be an Option?, Journal of Acupuncture and Meridian Studies, 10.1016/j.jams.2016.01.017, 9, 5, (267-274), (2016). [Crossref⁶²](#)
- Bo M. Rowan†, J. Bryan Dixon, Complementary Medicine Practices for Muscular Injuries of the Posterior Leg, Muscular Injuries in the Posterior Leg, 10.1007/978-1-4899-7651-2, (153-168), (2016). [Crossref⁶³](#)
- HyunSuk Jang, JooHwan Yoon, HyunJi Gil, Sharon JiYoon Jung, Min-Suk Kim, Jin-Kyu Lee, Young-Jae Kim, Kwang-Sup Soh, Observation of a Flowing Duct in the Abdominal Wall by Using Nanoparticles, PLOS ONE, 10.1371/journal.pone.0150423, 11, 3, (e0150423), (2016). [Crossref⁶⁴](#)
- Richard Cha, Detecting Intrinsic Movements through Needle Tips Pinned at Zusanli ST-36 Point - a New Method for Characterizing Structures for Acupuncture Treatments, International Journal of Complementary & Alternative Medicine, 10.15406/ijcam.2016.03.00100, 3, 6, (2016). [Crossref⁶⁵](#)
- Raphael J. Hochstrasser, P. Christian Endler, Sabine D. Klein, Perception of Therapeutic Qi, a Nonmechanical, Nonpsychological Factor in Acupuncture That Originates from the Therapist, Journal of Acupuncture and Meridian Studies, 10.1016/j.jams.2014.11.009, 8, 4, (203-208), (2015). [Crossref⁶⁶](#)
- Carla Stecco, Warren Hammer, Andry Vleeming, Raffaele De Caro, Fasciae of the Upper Limb, Functional Atlas of the Human Fascial System, 10.1016/B978-0-7020-4430-4.00007-5, (217-287), (2015). [Crossref⁶⁷](#)
- Shu-Ming Wang, Acupuncture as a Treatment for Substance Abuse in Pediatric Patients, Substance Abuse, 10.1007/978-1-4939-1951-2, (349-357), (2015). [Crossref⁶⁸](#)
- Mei-Ling Wu, Dong-Sheng Xu, Wan-Zhu Bai, Jing-Jing Cui, Hong-Ming Shu, Wei He, Xiao-Yu Wang, Hong Shi, Yang-Shuai Su, Ling Hu, Bing Zhu, Xiang-Hong Jing, Local cutaneous nerve terminal and mast cell responses to manual acupuncture in acupoint LI4 area of the rats, Journal of Chemical Neuroanatomy, 10.1016/j.jchemneu.2015.06.002, 68, (14-21), (2015). [Crossref⁶⁹](#)
- Mark J. McDonald, Will the Primo Vascular System Finally Solve the Mystery of Acupuncture?, Medical Acupuncture, 10.1089/acu.2014.1075, 27, 1, (33-37), (2015). [Crossref⁷⁰](#)
- Wei-Bo Zhang, Guang-Jun Wang, Kjell Fuxe, Classic and Modern Meridian Studies: A Review of Low Hydraulic Resistance Channels along Meridians and Their Relevance for Therapeutic Effects in Traditional Chinese Medicine, Evidence-Based Complementary and Alternative Medicine, 10.1155/2015/410979, 2015, (1-14), (2015). [Crossref⁷¹](#)
- Xiaqiu Wu, Jin Peng, Guoqin Li, Wei Zhang, Guangxia Liu, Baoyan Liu, Efficacy evaluation of summer acupoint application treatment on asthma patients: a two-year follow-up clinical study, Journal of Traditional Chinese Medicine, 10.1016/S0254-6272(15)30004-2, 35, 1, (21-27), (2015). [Crossref⁷²](#)
- Won-Mo Jung, Taehyung Lee, In-Seon Lee, Sanghyun Kim, Hunchul Jang, Song-Yi Kim, Hi-Joon Park, Younbyoung Chae, Spatial Patterns of the Indications of Acupoints Using Data Mining in Classic Medical Text: A Possible Visualization of the Meridian System, Evidence-Based Complementary and Alternative Medicine, 10.1155/2015/457071, 2015, (1-7), (2015). [Crossref⁷³](#)
- Kwang-Sup Soh, Hypothesis on the Treatment of Gliomas with Acupuncture at the Primo Node Corresponding to Zusanli (ST 36), Medical Acupuncture, 10.1089/acu.2014.1089, 27, 3, (144-150), (2015). [Crossref⁷⁴](#)
- Marco Gemma, Elisa Nicelli, Luigi Gioia, Elena Moizo, Luigi Beretta, Maria Rosa Calvi, Acupuncture accelerates recovery after general anesthesia: a prospective randomized controlled trial, Journal of Integrative Medicine, 10.1016/S2095-4964(15)60159-5, 13, 2, (99-104), (2015). [Crossref⁷⁵](#)
- Michele Gallamini, Giovanni D'Angelo, Gabriele Belloni, Biolite: A Patented Ultra-Low-Level Laser-Therapy Device for Treating Musculoskeletal Pain and Associated Impairments, Journal of Acupuncture and Meridian Studies, 10.1016/j.jams.2015.02.001, 8, 4, (167-174), (2015). [Crossref⁷⁶](#)
- Poney Chiang, What is the Point of Acupuncture?, Medical Acupuncture, 10.1089/acu.2015.1093, 27, 2, (67-80), (2015). [Crossref⁷⁷](#)
- Richard F. Hobbs, Acupuncture—Biophysics or Metaphysics?, Medical Acupuncture, 10.1089/acu.2015.1097, 27, 2, (62-66), (2015). [Crossref⁷⁸](#)
- Ali Khorsand, Jiang Zhu, Hamidreza Bahrami-Taghanaki, Sara Baghani, Liangxiao Ma, Shima Rezaei, Investigation of the electrical impedance of acupuncture points and non-acupuncture points before and after acupuncture, using a four-electrode device, Acupuncture in Medicine, 10.1136/acupmed-2014-010697, 33, 3, (230-236), (2015). [Crossref⁷⁹](#)
- Fang Li, Tian He, Qian Xu, Li - Ting Lin, Hui Li, Yan Liu, Guang - Xia Shi, Cun - Zhi Liu, What is the Acupoint? A preliminary review of Acupoints, Pain Medicine, 10.1111/pme.12761, 16, 10, (1905-1915), (2015). [Wiley Online Library⁸⁰](#)
- Song-Yi Kim, Sang-Woo Kim, Hi-Joon Park, Different Responses to Acupuncture in Electroencephalogram according to Stress Level: A Randomized, Placebo-Controlled, Cross-Over Trial, Korean Journal of Acupuncture, 10.14406/acu.2014.022, 31, 3, (136-145), (2014). [Crossref⁸¹](#)
- Heming Zhu, Acupoints Initiate the Healing Process, Medical Acupuncture, 10.1089/acu.2014.1057, 26, 5, (264-270), (2014). [Crossref⁸²](#)
- G. Ding, Z. Wu, D. Zhang, Z. Sa, K. Cheng, Biophysical Bases of Acupuncture, Comprehensive Biomedical Physics, 10.1016/B978-0-444-53632-7.01018-2, (299-316), (2014). [Crossref⁸³](#)
- Yuan-yuan Lin, Yin-ping Wang, Hao-yang Lu, Xiu-cai Guo, Xia Liu, Chuan-bin Wu, Yue-hong Xu, Plasma pharmacokinetics and lung distribution of tetrahydropalmatine after topical application of cold asthma recipe extract: Feishu (BL 13) versus Non-Feishu acupoint, Journal of Ethnopharmacology, 10.1016/j.jep.2014.03.009, 153, 2, (454-460), (2014). [Crossref⁸⁴](#)
- Yiu Ming Wong, Electrical Property of Acupoints, The Journal of Alternative and Complementary Medicine, 10.1089/acm.2013.0169, 20, 2, (145-146), (2014). [Crossref⁸⁵](#)
- Nadia Elisabeth Haddad, Oxana Palesh, Acupuncture in the Treatment of Cancer-Related Psychological Symptoms, Integrative Cancer Therapies, 10.1177/1534735413520181, 13, 5, (371-385), (2014). [Crossref⁸⁶](#)
- Soo-Byeong Kim, Kyung-Yul Chung, Mi-Seon Jeon, Tae-Min Shin, Yong-Heum Lee, Body Composition Factor Comparisons of the Intracellular Fluid (ICW), Extracellular Fluid (ECW) and Cell Membrane at Acupuncture Points and Non-Acupuncture Points by Inducing Multiple Ionic Changes, Korean Journal of Acupuncture, 10.14406/acu.2014.005, 31, 2, (66-78), (2014). [Crossref⁸⁷](#)
- Martha Liliana Beltrán Molano, Laura Bibiana Pinilla Bonilla, Eduardo Humberto Beltrán Cardoso, Carlos Alberto Vásquez Londoño, Anatomical-Functional Correlation between Head Zones and Acupuncture Channels and Points: A Comparative Analysis from the Perspective of Neural Therapy, Evidence-Based Complementary and Alternative Medicine, 10.1155/2014/836392, 2014, (1-12), (2014). [Crossref⁸⁸](#)
- Evan H. Kwong, Thomas W. Findley, Fascia—Current knowledge and future directions in physiology: Narrative review, Journal of Rehabilitation Research and Development, 10.1682/JRRD.2013.10.0220, 51, 6, (875-884), (2014). [Crossref⁸⁹](#)
- Kwokming James Cheng, Neurobiological Mechanisms of Acupuncture for Some Common Illnesses: A Clinician's Perspective, Journal of Acupuncture and Meridian Studies, 10.1016/j.jams.2013.07.008, 7, 3, (105-114), (2014). [Crossref⁹⁰](#)
- Jing-Wen Yang, Qian-Qian Li, Fang Li, Qing-Nan Fu, Xiang-Hong Zeng, Cun-Zhi Liu, The Holistic Effects of Acupuncture Treatment, Evidence-Based Complementary and Alternative Medicine, 10.1155/2014/739708, 2014, (1-10), (2014). [Crossref⁹¹](#)
- Shu-Yih Wu, Wei-Hsin Chen, Ching-Liang Hsieh, Yi-Wen Lin, Abundant expression and functional participation of TRPV1 at Zusanli acupoint (ST36) in mice: mechanosensitive TRPV1 as an "acupuncture-responding channel", BMC Complementary and Alternative Medicine, 10.1186/1472-6882-14-96, 14, 1, (2014). [Crossref⁹²](#)
- Morry Silberstein, Is acupuncture "stimulation" a misnomer? A case for using the term "blockade", BMC Complementary and Alternative Medicine, 10.1186/1472-6882-13-68, 13, 1, (2013). [Crossref⁹³](#)
- In-Seon Lee, Soon-Ho Lee, Song-Yi Kim, Hyejung Lee, Hi-Joon Park, Younbyoung Chae, Visualization of the Meridian System Based on Biomedical Information about Acupuncture Treatment, Evidence-Based Complementary and Alternative Medicine, 10.1155/2013/872142, 2013, (1-5), (2013). [Crossref⁹⁴](#)
- Helene M. Langevin, Part 1, Trigger Point Dry Needling, 10.1016/B978-0-7020-4601-8.10008-8, (29-33), (2013). [Crossref⁹⁵](#)
- Byung-Cheon Lee, Walter J. Akers, Xianghong Jing, M. Isabel Miguel Perez, Yeonhee Ryu, Primo Vascular System: Past, Present, and Future, Evidence-Based Complementary and Alternative Medicine, 10.1155/2013/240168, 2013, (1-2), (2013). [Crossref⁹⁶](#)
- Andrew Bannan, Acupuncture in physiotherapy, Tidy's Physiotherapy, 10.1016/B978-0-7020-4344-4.00018-3, (403-415), (2013). [Crossref⁹⁷](#)
- Im Quah-Smith, Caroline Smith, John D. Crawford, Janice Russell, Laser acupuncture for depression: A randomised double blind controlled trial using low intensity laser intervention, Journal of Affective Disorders, 10.1016/j.jad.2012.11.058, 148, 2-3, (179-187), (2013). [Crossref⁹⁸](#)
161. <https://doi.org/10.1089/acm.2015.0066>
162. <https://doi.org/10.1016/j.jams.2016.01.017>
163. <https://doi.org/10.1007/978-1-4899-7651-2>
164. <https://doi.org/10.1371/journal.pone.0150423>
165. <https://doi.org/10.15406/ijcam.2016.03.00100>
166. <https://doi.org/10.1016/j.jams.2014.11.009>
167. <https://doi.org/10.1016/B978-0-7020-4430-4.00007-5>
168. <https://doi.org/10.1007/978-1-4939-1951-2>
169. <https://doi.org/10.1016/j.jchemneu.2015.06.002>
170. <https://doi.org/10.1089/acu.2014.1075>
171. <https://doi.org/10.1155/2015/410979>
172. [https://doi.org/10.1016/S0254-6272\(15\)30004-2](https://doi.org/10.1016/S0254-6272(15)30004-2)
173. <https://doi.org/10.1155/2015/457071>
174. <https://doi.org/10.1089/acu.2014.1089>
175. [https://doi.org/10.1016/S2095-4964\(15\)60159-5](https://doi.org/10.1016/S2095-4964(15)60159-5)
176. <https://doi.org/10.1016/j.jams.2015.02.001>
177. <https://doi.org/10.1089/acu.2015.1093>
178. <https://doi.org/10.1089/acu.2015.1097>
179. <https://doi.org/10.1136/acupmed-2014-010697>
180. <https://onlinelibrary.wiley.com/doi/10.1111/pme.12761>
181. <https://doi.org/10.14406/acu.2014.022>
182. <https://doi.org/10.1089/acu.2014.1057>
183. <https://doi.org/10.1016/B978-0-444-53632-7.01018-2>
184. <https://doi.org/10.1016/j.jep.2014.03.009>
185. <https://doi.org/10.1089/acm.2013.0169>
186. <https://doi.org/10.1177/1534735413520181>
187. <https://doi.org/10.14406/acu.2014.005>
188. <https://doi.org/10.1155/2014/836392>
189. <https://doi.org/10.1682/JRRD.2013.10.0220>
190. <https://doi.org/10.1016/j.jams.2013.07.008>
191. <https://doi.org/10.1155/2014/739708>
192. <https://doi.org/10.1186/1472-6882-14-96>
193. <https://doi.org/10.1186/1472-6882-13-68>
194. <https://doi.org/10.1155/2013/872142>
195. <https://doi.org/10.1016/B978-0-7020-4601-8.10008-8>
196. <https://doi.org/10.1155/2013/240168>
197. <https://doi.org/10.1016/B978-0-7020-4344-4.00018-3>
198. <https://doi.org/10.1016/j.jad.2012.11.058>

- C. Will Chen, Chen-Jei Tai, Cheuk-Sing Choy, Chau-Yun Hsu, Shoei-Loong Lin, Wing P. Chan, Han-Sun Chiang, Chang-An Chen, Ting-Kai Leung, Wave-Induced Flow in Meridians Demonstrated Using Photoluminescent Bioceramic Material on Acupuncture Points, Evidence-Based Complementary and Alternative Medicine, 10.1155/2013/739293, 2013, (1-11), (2013). [Crossref²¹⁹](#)
- Raphael J. Hochstrasser, P. Christian Endler, Sabine D. Klein, Introduction of two novel devices for investigating the influence of non-mechanical components such as therapeutic qi in acupuncture, Journal of Integrative Medicine, 10.3736/jintgrmed2013030, 11, 3, (168-174), (2013). [Crossref²⁰⁰](#)
- W. Evan Rivers, Felise Zollman, Reliability of Surface Acupuncture Point Location, Medical Acupuncture, 10.1089/acu.2012.0929, 25, 2, (134-140), (2013). [Crossref²⁰¹](#)
- Stefano Marcelli, Gross Anatomy and Acupuncture: A Comparative Approach to Reappraise the Meridian System, Medical Acupuncture, 10.1089/acu.2012.0875, 25, 1, (5-22), (2013). [Crossref²⁰²](#)
- Jaung-Geng Lin, Pei-Chi Chou, Heng-Yi Chu, An Exploration of the Needling Depth in Acupuncture: The Safe Needling Depth and the Needling Depth of Clinical Efficacy, Evidence-Based Complementary and Alternative Medicine, 10.1155/2013/740508, 2013, (1-21), (2013). [Crossref²⁰³](#)
- DARCY A. UMPHRED, CAROL M. DAVIS, MARY LOU GALANTINO, Complementary and alternative therapies: beyond traditional approaches to intervention in neurological diseases and movement disorders, Neurological Rehabilitation, 10.1016/B978-0-323-07586-2.00048-0, (1173-1214), (2013). [Crossref²⁰⁴](#)
- Alessandra de Almeida Fagundes, Mariana César Ribeiro Reis, Maira Salles, Maria Graças Bastos Licurci, Immediate Effects of Acupuncture for Managing Myofascial Trigger-Point Pain: A Pilot Study, Medical Acupuncture, 10.1089/acu.2012.0902, 25, 1, (55-60), (2013). [Crossref²⁰⁵](#)
- Yi Zhuang, Jing-jing Xing, Juan Li, Bai-Yun Zeng, Fan-rong Liang, History of Acupuncture Research, Neurobiology of Acupuncture, 10.1016/B978-0-12-411545-3.00001-8, (1-23), (2013). [Crossref²⁰⁶](#)
- Arya Nielsen, Ted J. Kaptchuk, Sha syndrome and Gua sha, cao gio, coining, scraping, Gua Sha, 10.1016/B978-0-7020-3108-3.00005-4, (39-44), (2013). [Crossref²⁰⁷](#)
- Arya Nielsen, Ted J. Kaptchuk, Physiology of Gua sha, Gua Sha, 10.1016/B978-0-7020-3108-3.00003-0, (21-30), (2013). [Crossref²⁰⁸](#)
- Shirley P.C. Ngai, Alice Y.M. Jones, Changes in Skin Impedance and Heart Rate Variability with Application of Acu-TENS to BL 13 (Feishu) , The Journal of Alternative and Complementary Medicine, 10.1089/acm.2012.0097, 19, 6, (558-563), (2013). [Crossref²⁰⁹](#)
- Isabelle Nègre, Méthodes non médicamenteuses : compréhension actuelle des mécanismes d'action, Douleurs : Evaluation - Diagnostic - Traitement, 10.1016/j.douleur.2013.01.007, 14, 3, (111-118), (2013). [Crossref²¹⁰](#)
- Guanghong Ding, Di Zhang, Meng Huang, Lina Wang, Wei Yao, Function of Collagen and Mast Cells in Acupuncture Points, Current Research in Acupuncture, 10.1007/978-1-4614-3357-6, (53-87), (2013). [Crossref²¹¹](#)
- Sung - Ho Lee, Geon - Ho Jahng, Il - Hwan Choe, Chi - Bong Choi, Dae - Hyun Kim, Hwi - Yool Kim, Neural Pathway Interference by Retained Acupuncture: A Functional MRI Study of a Dog Model of Parkinson's Disease, CNS Neuroscience & Therapeutics, 10.1111/cns.12108, 19, 8, (585-595), (2013). [Wiley Online Library²¹²](#)
- Hee Young Kim, Sung Tae Koo, Jae Hyo Kim, Kyungh An, Kyungsoon Chung, Jin Mo Chung, Electroacupuncture analgesia in rat ankle sprain pain model: neural mechanisms, Neurological Research, 10.1179/016164109X12537002793689, 32, sup1, (10-17), (2013). [Crossref²¹³](#)
- ChangShik Yin, ByungKwan Seo, Hi-Joon Park, Miran Cho, WooSang Jung, Ryowon Choue, ChangHwan Kim, Hun-Kuk Park, Hyejung Lee, HyeongGyun Koh, Acupuncture, a promising adjunctive therapy for essential hypertension: a double-blind, randomized, controlled trial, Neurological Research, 10.1179/016164107X172220, 29, sup1, (98-103), (2013). [Crossref²¹⁴](#)
- Gary Deng, Barrie Cassileth, Complementary or alternative medicine in cancer care—myths and realities, Nature Reviews Clinical Oncology, 10.1038/nrclinonc.2013.125, 10, 11, (656-664), (2013). [Crossref²¹⁵](#)
- James L. Oschman, Fascia as a body-wide communication system, Fascia: The Tensional Network of the Human Body, 10.1016/B978-0-7020-3425-1.00049-0, (103-110), (2012). [Crossref²¹⁶](#)
- David Feinstein, Acupoint Stimulation in Treating Psychological Disorders: Evidence of Efficacy, Review of General Psychology, 10.1037/a0028602, 16, 4, (364-380), (2012). [Crossref²¹⁷](#)
199. <https://doi.org/10.1155/2013/739293>
 200. <https://doi.org/10.3736/jintgrmed2013030>
 201. <https://doi.org/10.1089/acu.2012.0929>
 202. <https://doi.org/10.1089/acu.2012.0875>
 203. <https://doi.org/10.1155/2013/740508>
 204. <https://doi.org/10.1016/B978-0-323-07586-2.00048-0>
 205. <https://doi.org/10.1089/acu.2012.0902>
 206. <https://doi.org/10.1016/B978-0-12-411545-3.00001-8>
 207. <https://doi.org/10.1016/B978-0-7020-3108-3.00005-4>
 208. <https://doi.org/10.1016/B978-0-7020-3108-3.00003-0>
 209. <https://doi.org/10.1089/acm.2012.0097>
 210. <https://doi.org/10.1016/j.douleur.2013.01.007>
 211. <https://doi.org/10.1007/978-1-4614-3357-6>
 212. <https://onlinelibrary.wiley.com/doi/10.1111/cns.12108>
 213. <https://doi.org/10.1179/016164109X12537002793689>
 214. <https://doi.org/10.1179/016164107X172220>
 215. <https://doi.org/10.1038/nrclinonc.2013.125>
 216. <https://doi.org/10.1016/B978-0-7020-3425-1.00049-0>
- Jun J. Mao, Malini M. Khanna, Integrating Acupuncture with Western Medicine in Cancer Treatment, Acupuncture and Moxibustion as an Evidence-based Therapy for Cancer, 10.1007/978-94-007-4833-0_14, (313-328), (2012). [Crossref²¹⁸](#)
- Alex Benham, Mark I. Johnson, Characterization of Painful and Non-painful Acupuncture Needle Sensations During Bidirectional Rotation of a Single Needle Inserted 15–25 mm at Large Intestine 10, Medical Acupuncture, 10.1089/acu.2011.0861, 24, 3, (172-180), (2012). [Crossref²¹⁹](#)
- Li-Ling Lin, Ya-Hui Wang, Chi-Yu Lai, Chan-Lao Chau, Guan-Chin Su, Chun-Yi Yang, Shu-Ying Lou, Szu-Kai Chen, Kuan-Hao Hsu, Yen-Ling Lai, Wei-Ming Wu, Jian-Long Huang, Chih-Hsin Liao, Hsueh-Fen Juan, Systems Biology of Meridians, Acupoints, and Chinese Herbs in Disease, Evidence-Based Complementary and Alternative Medicine, 10.1155/2012/372670, 2012, (1-13), (2012). [Crossref²²⁰](#)
- Arya Nielsen, Gua sha, Fascia: The Tensional Network of the Human Body, 10.1016/B978-0-7020-3425-1.00009-X, (359-365), (2012). [Crossref²²¹](#)
- Hugh MacPherson, Richard Hammerschlag, Acupuncture and the Emerging Evidence Base: Contrived Controversy and Rational Debate, Journal of Acupuncture and Meridian Studies, 10.1016/j.jams.2012.05.001, 5, 4, (141-147), (2012). [Crossref²²²](#)
- Yejin Ha, Misun Kim, Jiseon Nah, Minah Suh, Youngmi Lee, Measurements of Location-Dependent Nitric Oxide Levels on Skin Surface in relation to Acupuncture Point, Evidence-Based Complementary and Alternative Medicine, 10.1155/2012/781460, 2012, (1-7), (2012). [Crossref²²³](#)
- Elisabeth Hsu, “Feeling lighter”: Why the patient's treatment evaluation matters to the health scientist, Integrative Medicine Research, 10.1016/j.imr.2012.10.003, 1, 1, (5-12), (2012). [Crossref²²⁴](#)
- Petra I. Bäuml, Michael Simang, Sybille Kramer, Dominik Irnich, Acupuncture Point Localization Varies Among Acupuncturists, Forschende Komplementärmedizin / Research in Complementary Medicine, 10.1159/000335825, 19, 1, (31-37), (2012). [Crossref²²⁵](#)
- Belinda Anderson, Arya Nielsen, Diane McKee, Anne Jeffres, Ben Kligler, Acupuncture and Heart Rate Variability: A Systems Level Approach to Understanding Mechanism, EXPLORE: The Journal of Science and Healing, 10.1016/j.explore.2011.12.002, 8, 2, (99-106), (2012). [Crossref²²⁶](#)
- Xiaoyu Wang, Hong Shi, Hongyan Shang, Yangshuai Su, Juanjuan Xin, Wei He, Xianghong Jing, Bing Zhu, Are Primo Vessels (PVs) on the Surface of Gastrointestine Involved in Regulation of Gastric Motility Induced by Stimulating Acupoints ST36 or CV12?, Evidence-Based Complementary and Alternative Medicine, 10.1155/2012/787683, 2012, (1-8), (2012). [Crossref²²⁷](#)
- Dominik Irnich, Johannes Fleckenstein, Acupuncture as a fascia-oriented therapy, Fascia: The Tensional Network of the Human Body, 10.1016/B978-0-7020-3425-1.00010-6, (349-357), (2012). [Crossref²²⁸](#)
- Byung-Cheon Lee, Zhendong Su, Baekkyoung Sung, Ki Woo Kim, Jin-Myung Cha, Jin-Kyu Lee, Byung-Joon Chang, Kwang-Sup Soh, Network of the Primo Vascular System in the Rat Hypodermis, The Primo Vascular System, 10.1007/978-1-4614-0601-3, (139-146), (2012). [Crossref²²⁹](#)
- Kyoungh-Hee Bae, Zhendong Su, Kwang-Sup Soh, Hee Min Kwon, Histological Comparison of Primo Nodes in Abdominal Membrane and Lymph Nodes of Rat, The Primo Vascular System, 10.1007/978-1-4614-0601-3, (127-131), (2012). [Crossref²³⁰](#)
- Yu Bai, Lin Yuan, Yong Huang, Chun-lei Wang, Jun Wang, Jin-peng Wu, Jing-xing Dai, Dong-fei Li, Chun Yang, Mei-chun Yu, Hui-ying Yang, Hui Tao, Ou Sha, David Tai Wai Yew, From the Anatomical Discovery of Meridians and Collaterals to Fasciology Theory, The Primo Vascular System, 10.1007/978-1-4614-0601-3, (305-318), (2012). [Crossref²³¹](#)
- Wei Yao, Yabei Li, Guanghong Ding, Interstitial Fluid Flow: The Mechanical Environment of Cells and Foundation of Meridians, Evidence-Based Complementary and Alternative Medicine, 10.1155/2012/853516, 2012, (1-9), (2012). [Crossref²³²](#)
- Jungdae Kim, Dae-In Kang, Kwang-Sup Soh, Sunghul Kim, Analysis on Postmortem Tissues at Acupuncture Points in the Image Datasets of Visible Human Project, The Journal of Alternative and Complementary Medicine, 10.1089/acm.2010.0850, 18, 2, (120-129), (2012). [Crossref²³³](#)
- Marcelo L Silva, Josie RT Silva, Wiliam A Prado, The antinociceptive effect of electroacupuncture at different depths of acupoints and under the needling surface, Chinese Medicine, 10.1186/1749-8546-7-3, 7, 1, (2012). [Crossref²³⁴](#)
- Hong-Qin Yang, Shu-Sen Xie, Song-Hao Liu, Hui Li, Zhou-Yi Guo, Differences in Optical Transport Properties between Human Meridian and Non-meridian, The American Journal of Chinese Medicine, 10.1142/S0192415X07005235, 35, 05, (743-752), (2012). [Crossref²³⁵](#)
217. <https://doi.org/10.1037/a0028602>
 218. https://doi.org/10.1007/978-94-007-4833-0_14
 219. <https://doi.org/10.1089/acu.2011.0861>
 220. <https://doi.org/10.1155/2012/372670>
 221. <https://doi.org/10.1016/B978-0-7020-3425-1.00009-X>
 222. <https://doi.org/10.1016/j.jams.2012.05.001>
 223. <https://doi.org/10.1155/2012/781460>
 224. <https://doi.org/10.1016/j.imr.2012.10.003>
 225. <https://doi.org/10.1159/000335825>
 226. <https://doi.org/10.1016/j.explore.2011.12.002>
 227. <https://doi.org/10.1155/2012/787683>
 228. <https://doi.org/10.1016/B978-0-7020-3425-1.00010-6>
 229. <https://doi.org/10.1007/978-1-4614-0601-3>
 230. <https://doi.org/10.1007/978-1-4614-0601-3>
 231. <https://doi.org/10.1007/978-1-4614-0601-3>
 232. <https://doi.org/10.1155/2012/853516>
 233. <https://doi.org/10.1089/acm.2010.0850>
 234. <https://doi.org/10.1186/1749-8546-7-3>
 235. <https://doi.org/10.1142/S0192415X07005235>

- Kaung-Ti Yung, A Birdcage Model for the Chinese Meridian System Part VI: Meridians as the Primary Regulatory System, *The American Journal of Chinese Medicine*, 10.1142/S0192415X05003302, 33, 05, (759-766), (2012). [Crossref²³⁶](#)
- Letter to the Editor, *The American Journal of Chinese Medicine*, 10.1142/S0192415X05003119, 33, 03, (513-515), (2012). [Crossref²³⁷](#)
- A. Paraskeva, A. Melemini, G. Petropoulos, I. Sifafa, A. Fassoulaki, Needling of the Extra 1 Point Decreases BIS Values and Preoperative Anxiety, *The American Journal of Chinese Medicine*, 10.1142/S0192415X04002363, 32, 05, (789-794), (2012). [Crossref²³⁸](#)
- Francisco Abad-Alegría, Carlos Pomarón, About the Neurobiological Foundations of the De-Qi — Stimulus-Response Relation, *The American Journal of Chinese Medicine*, 10.1142/S0192415X04002375, 32, 05, (807-814), (2012). [Crossref²³⁹](#)
- Jesse Li-Ling, Human Phenome Based on Traditional Chinese Medicine — A Solution to Congenital Syndromology, *The American Journal of Chinese Medicine*, 10.1142/S0192415X03001594, 31, 06, (991-1000), (2012). [Crossref²⁴⁰](#)
- Lisa S. Lancaster, Robert M. Bowker, Acupuncture Points of the Horse's Distal Thoracic Limb: A Neuroanatomic Approach to the Transposition of Traditional Points, *Animals*, 10.3390/ani2030455, 2, 4, (455-471), (2012). [Crossref²⁴¹](#)
- Houju Fu, Yuanqiao He, Ying Gao, Yicun Man, Wukun Liu, Hua Hao, Acupuncture on the Endometrial Morphology, the Serum Estradiol and Progesterone Levels, and the Expression of Endometrial Leukaemia-inhibitor Factor and Osteopontin in Rats, Evidence-Based Complementary and Alternative Medicine, 10.1155/2011/606514, 2011, (1-9), (2011). [Crossref²⁴²](#)
- Steven Finando, Donna Finando, Fascia and the mechanism of acupuncture, *Journal of Bodywork and Movement Therapies*, 10.1016/j.jbmt.2010.03.001, 15, 2, (168-176), (2011). [Crossref²⁴³](#)
- Hyung-Joo Moon, Yong-Keun Lee, The Relationship Between Dental Occlusion/Temporomandibular Joint Status and General Body Health: Part 2. Fascial Connection of TMJ with Other Parts of the Body, *The Journal of Alternative and Complementary Medicine*, 10.1089/acm.2010.0740, 17, 12, (1119-1124), (2011). [Crossref²⁴⁴](#)
- Yu Bai, Jun Wang, Jin-peng Wu, Jing-xing Dai, Ou Sha, David Tai Wai Yew, Lin Yuan, Qiuni Liang, Review of Evidence Suggesting That the Fascia Network Could Be the Anatomical Basis for Acupoints and Meridians in the Human Body, Evidence-Based Complementary and Alternative Medicine, 10.1155/2011/260510, 2011, (1-6), (2011). [Crossref²⁴⁵](#)
- James L. Oschman, Foreword and Special Contribution: The Living Matrix, *Energy Medicine East and West*, 10.1016/B978-0-7020-3571-5.00032-9, (x-xix), (2011). [Crossref²⁴⁶](#)
- Therapie myofaszialer Schmerzsyndrome, Myofasziale Schmerzen und Triggerpunkte, 10.1016/B978-3-437-23095-0.10004-5, (51-91), (2011). [Crossref²⁴⁷](#)
- Xiangeng Zhang, Hui Zhang, Xiaoli Liang, Qin Liu, Miqiu Wang, Gynecology and Gynecological Nursing Theories and Practices in Traditional Chinese Medicine: Review on the Ancient Literatures, *Chinese Medicine*, 10.4236/cm.2011.23014, 02, 03, (77-83), (2011). [Crossref²⁴⁸](#)
- Pei-Chi Chou, Heng-Yi Chu, Jaung-Geng Lin, Safe Needling Depth of Acupuncture Points, *The Journal of Alternative and Complementary Medicine*, 10.1089/acm.2010.0192, 17, 3, (199-206), (2011). [Crossref²⁴⁹](#)
- References and further reading, *Energy Medicine East and West*, 10.1016/B978-0-7020-3571-5.00037-8, (339-382), (2011). [Crossref²⁵⁰](#)
- Dongming Zhang, Xiaohui Yan, Xinyi Zhang, Chenglin Liu, Ruishan Dang, Tiqiao Xiao, Peiping Zhu, Synchrotron radiation phase-contrast X-ray CT imaging of acupuncture points, Analytical and Bioanalytical Chemistry, 10.1007/s00216-011-4913-7, 401, 3, (803-808), (2011). [Crossref²⁵¹](#)
- Stéphane J - P. Egot - Lemaire, Marvin C. Ziskin, Dielectric properties of human skin at an acupuncture point in the 50–75 GHz frequency range: A pilot study, *Bioelectromagnetics*, 10.1002/bem.20650, 32, 5, (360-366), (2011). [Wiley Online Library²⁵²](#)
- Chi Eung Danform Lim, Felix Wu Shun Wong, Warren Smith, Factors influencing the bioimpedance data in tissue segments along the three arm meridians: a pilot study, *TANG [HUMANITAS MEDICINE]*, 10.5667/tang.2011.0004, 1, 1, (7.1-7.9), (2011). [Crossref²⁵³](#)
- Luigi Baratto, Laura Calzà, Roberto Capra, Michele Gallamini, Luciana Giardino, Alessandro Giuliani, Luca Lorenzini, Silvano Traverso, Ultra-low-level laser therapy, *Lasers in Medical Science*, 10.1007/s10103-010-0837-2, 26, 1, (103-112), (2010). [Crossref²⁵⁴](#)
- Yavuz Beyazit, Murat Kekilli, Fatma Beyazit, Sticking the pieces together: A unifying hypothesis for the acupuncture meridian pathways and extracellular signalling, *Medical Hypotheses*, 10.1016/j.mehy.2010.01.022, 74, 6, (1088), (2010). [Crossref²⁵⁵](#)
236. <https://doi.org/10.1142/S0192415X05003302>
237. <https://doi.org/10.1142/S0192415X05003119>
238. <https://doi.org/10.1142/S0192415X04002363>
239. <https://doi.org/10.1142/S0192415X04002375>
240. <https://doi.org/10.1142/S0192415X03001594>
241. <https://doi.org/10.3390/ani2030455>
242. <https://doi.org/10.1155/2011/606514>
243. <https://doi.org/10.1016/j.jbmt.2010.03.001>
244. <https://doi.org/10.1089/acm.2010.0740>
245. <https://doi.org/10.1155/2011/260510>
246. <https://doi.org/10.1016/B978-0-7020-3571-5.00032-9>
247. <https://doi.org/10.1016/B978-3-437-23095-0.10004-5>
248. <https://doi.org/10.4236/cm.2011.23014>
249. <https://doi.org/10.1089/acm.2010.0192>
250. <https://doi.org/10.1016/B978-0-7020-3571-5.00037-8>
251. <https://doi.org/10.1007/s00216-011-4913-7>
252. <https://onlinelibrary.wiley.com/doi/10.1002/bem.20650>
253. <https://doi.org/10.5667/tang.2011.0004>
254. <https://doi.org/10.1007/s10103-010-0837-2>
255. <https://doi.org/10.1016/j.mehy.2010.01.022>
- Hugh Gemmill, Peter Miller, Relative effectiveness and adverse effects of cervical manipulation, mobilisation and the activator instrument in patients with sub-acute non-specific neck pain: results from a stopped randomised trial, *Chiropractic & Osteopathy*, 10.1186/1746-1340-18-20, 18, 1, (2010). [Crossref²⁵⁶](#)
- Peter T. Dorsher, Clinical Equivalence of Laser Needle to Metal Acupuncture Needle in Treating Musculoskeletal Pain: A Pilot Study, *Medical Acupuncture*, 10.1089/acu.2009.0724, 22, 1, (11-17), (2010). [Crossref²⁵⁷](#)
- Marco Antonio Helio da Silva, A Neurosegmental Perspective of the Classical Back Shu Points, *Medical Acupuncture*, 10.1089/acu.2010.0762, 22, 4, (257-264), (2010). [Crossref²⁵⁸](#)
- Laurent Misery, Laurence Potin-Richard, Itch and Acupuncture, *Pruritus*, 10.1007/978-1-84882-322-8, (335-338), (2010). [Crossref²⁵⁹](#)
- Guang Ying Huang, Cui Hong Zheng, Yun Xia Wu, Wei Wang, Involvement of connexin 43 in the acupuncture effect of improving rat blastocyst implantation, *Fertility and Sterility*, 10.1016/j.fertnstert.2009.09.036, 93, 5, (1715-1717), (2010). [Crossref²⁶⁰](#)
- Felix Wu Shun Wong, Chi Eung Danform Lim, Warren Smith, A New Bioimpedance Research Device (BIRD) for Measuring the Electrical Impedance of Acupuncture Meridians, *The Journal of Alternative and Complementary Medicine*, 10.1089/acm.2009.0218, 16, 3, (257-264), (2010). [Crossref²⁶¹](#)
- Jennifer A. M. Stone, Peter A. S. Johnstone, Mechanisms of Action for Acupuncture in the Oncology Setting, *Current Treatment Options in Oncology*, 10.1007/s11864-010-0128-y, 11, 3-4, (118-127), (2010). [Crossref²⁶²](#)
- Yu Bai, Lin Yuan, Kwang-Sup Soh, Byung-Cheon Lee, Yong Huang, Chun-lei Wang, Jun Wang, Jin-peng Wu, Jing-xing Dai, Janos Palhalmi, Ou Sha, David Tai Wai Yew, Possible Applications for Fascial Anatomy and Fasciaology in Traditional Chinese Medicine, *Journal of Acupuncture and Meridian Studies*, 10.1016/S2005-2901(10)60023-4, 3, 2, (125-132), (2010). [Crossref²⁶³](#)
- Peter T. Dorsher, The Languages of Healing: Linked by a Common Thread, *The Journal of Alternative and Complementary Medicine*, 10.1089/acm.2009.0527, 16, 8, (907-913), (2010). [Crossref²⁶⁴](#)
- Fei Zhou, Dengkai Huang YingXia, Neuroanatomic Basis of Acupuncture Points, *Acupuncture Therapy for Neurological Diseases*, 10.1007/978-3-642-10857-0, (32-80), (2010). [Crossref²⁶⁵](#)
- Roeland van Wijk, Jan van der Greef, Eduard van Wijk, Human Ultraweak Photon Emission and the Yin Yang Concept of Chinese Medicine, *Journal of Acupuncture and Meridian Studies*, 10.1016/S2005-2901(10)60041-6, 3, 4, (221-231), (2010). [Crossref²⁶⁶](#)
- Pierre Boutouyrie, Robert Corvisier, Kim-Than Ong, Claire Vulser, Catherine Lassalle, Michel Azizi, Brigitte Laloux, Stéphane Laurent, Acute and chronic effects of acupuncture on radial artery: A randomized double blind study in migraine, *Artery Research*, 10.1016/j.artres.2009.12.003, 4, 1, (7-14), (2010). [Crossref²⁶⁷](#)
- Jun J. Mao, Rahul Kapur, Acupuncture in Primary Care, *Primary Care: Clinics in Office Practice*, 10.1016/j.pop.2009.09.010, 37, 1, (105-117), (2010). [Crossref²⁶⁸](#)
- Andrew C. Ahn, Min Park, Jessica R. Shaw, Claire A. McManus, Ted J. Kaptchuk, Helene M. Langevin, Electrical Impedance of Acupuncture Meridians: The Relevance of Subcutaneous Collagenous Bands, *PLoS ONE*, 10.1371/journal.pone.0011907, 5, 7, (e11907), (2010). [Crossref²⁶⁹](#)
- Kang Cheng, Chang Hua Zou, Information Models of Acupuncture Analgesia and Meridian Channels, *Information*, 10.3390/info1020153, 1, 2, (153-168), (2010). [Crossref²⁷⁰](#)
- Peter T. Dorsher, Myofascial Meridians as Anatomical Evidence of Acupuncture Channels, *Medical Acupuncture*, 10.1089/acu.2009.0631, 21, 2, (91-97), (2009). [Crossref²⁷¹](#)
- Kwang-Sup Soh, Bonghan Circulatory System as an Extension of Acupuncture Meridians, *Journal of Acupuncture and Meridian Studies*, 10.1016/S2005-2901(09)60041-8, 2, 2, (93-106), (2009). [Crossref²⁷²](#)
- Peter T. Dorsher, Myofascial Referred-Pain Data Provide Physiologic Evidence of Acupuncture Meridians, *The Journal of Pain*, 10.1016/j.jpain.2008.12.010, 10, 7, (723-731), (2009). [Crossref²⁷³](#)
- Charles Shang, Prospective Tests on Biological Models of Acupuncture, Evidence-Based Complementary and Alternative Medicine, 10.1093/ecam/nem122, 6, 1, (31-39), (2009). [Crossref²⁷⁴](#)
- Antonio Stecco, Veronica Macchi, Carla Stecco, Andrea Porzionato, Julie Ann Day, Vincent Delmas, Raffaele De Caro, Anatomical study of myofascial continuity in the anterior region of the upper limb, *Journal of Bodywork and Movement Therapies*, 10.1016/j.jbmt.2007.04.009, 13, 1, (53-62), (2009). [Crossref²⁷⁵](#)
256. <https://doi.org/10.1186/1746-1340-18-20>
257. <https://doi.org/10.1089/acu.2009.0724>
258. <https://doi.org/10.1089/acu.2010.0762>
259. <https://doi.org/10.1007/978-1-84882-322-8>
260. <https://doi.org/10.1016/j.fertnstert.2009.09.036>
261. <https://doi.org/10.1089/acm.2009.0218>
262. <https://doi.org/10.1007/s11864-010-0128-y>
263. [https://doi.org/10.1016/S2005-2901\(10\)60023-4](https://doi.org/10.1016/S2005-2901(10)60023-4)
264. <https://doi.org/10.1089/acm.2009.0527>
265. <https://doi.org/10.1007/978-3-642-10857-0>
266. [https://doi.org/10.1016/S2005-2901\(10\)60041-6](https://doi.org/10.1016/S2005-2901(10)60041-6)
267. <https://doi.org/10.1016/j.artres.2009.12.003>
268. <https://doi.org/10.1016/j.pop.2009.09.010>
269. <https://doi.org/10.1371/journal.pone.0011907>
270. <https://doi.org/10.3390/info1020153>
271. <https://doi.org/10.1089/acu.2009.0631>
272. [https://doi.org/10.1016/S2005-2901\(09\)60041-8](https://doi.org/10.1016/S2005-2901(09)60041-8)
273. <https://doi.org/10.1016/j.jpain.2008.12.010>
274. <https://doi.org/10.1093/ecam/nem122>

- Sang-Hyun Park, Jungdae Kim, Tae-Hoi Koo, Magneto-Acupuncture Stimuli Effects on Ultraweak Photon Emission from Hands of Healthy Persons, *Journal of Acupuncture and Meridian Studies*, 10.1016/S2005-2901(09)60014-5, 2, 1, (40-48), (2009). [Crossref²⁷⁶](#)
- James L. Oschman, Charge transfer in the living matrix, *Journal of Bodywork and Movement Therapies*, 10.1016/j.jbmt.2008.06.005, 13, 3, (215-228), (2009). [Crossref²⁷⁷](#)
- Hsiao-Neng Chen, Jaung-Geng Lin, Li-Chih Ying, Chen-Chai Huang, Chuan-Hsiung Lin, The Therapeutic Depth of Abdominal Acupuncture Points Approaches the Safe Depth in Overweight and in Older Children, *The Journal of Alternative and Complementary Medicine*, 10.1089/acm.2008.0582, 15, 9, (1033-1037), (2009). [Crossref²⁷⁸](#)
- Sallie Stoltz Denner, The Science of Energy Therapies and Contemplative Practice, *Holistic Nursing Practice*, 10.1097/HNP.0b013e3181bf3784, 23, 6, (315-334), (2009). [Crossref²⁷⁹](#)
- N. Ospina-Díaz, Introducción a la acupuntura. Fundamentos e interés para el médico de Atención Primaria, *SEMERGEN - Medicina de Familia*, 10.1016/S1138-3593(09)72675-9, 35, 8, (380-384), (2009). [Crossref²⁸⁰](#)
- Suzanne McDonough, Jongbae Park, Jing Yuan, Purepong Nithima, Daniel P. Kerr, Letters, *Spine*, 10.1097/BRS.0b013e31819d071c, 34, 7, (753), (2009). [Crossref²⁸¹](#)
- Charles Shang, Has Basic Acupuncture Research Met the Gold Standard of Science?, *Medical Acupuncture*, 10.1089/acu.2009.715, 21, 3, (191-200), (2009). [Crossref²⁸²](#)
- Xiaohui Yan, Xinyi Zhang, Chenglin Liu, Ruishan Dang, Yuying Huang, Wei He, Guanghong Ding, Do acupuncture points exist?, *Physics in Medicine and Biology*, 10.1088/0031-9155/54/9/N01, 54, 9, (N143-N150), (2009). [Crossref²⁸³](#)
- Xiaojia Yu, Guanghong Ding, Hong Huang, Jun Lin, Wei Yao, Rui Zhan, Role of Collagen Fibers in Acupuncture Analgesia Therapy on Rats, *Connective Tissue Research*, 10.1080/03008200802471856, 50, 2, (110-120), (2009). [Crossref²⁸⁴](#)
- James J. Mao, Deborah W. Bruner, Carrie Stricker, John T. Farrar, Sharon X. Xie, Marjorie A. Bowman, Donna Pucci Xiaoyan Han, Angela DeMichele, Feasibility Trial of Electroacupuncture for Aromatase Inhibitor—Related Arthralgia in Breast Cancer Survivors, *Integrative Cancer Therapies*, 10.1177/1534735409332903, 8, 2, (123-129), (2009). [Crossref²⁸⁵](#)
- HongQin Yang, ShuSen Xie, Hui Li, YuHua Wang, On optics of human meridians, *Science in China Series G: Physics, Mechanics and Astronomy*, 10.1007/s11433-009-0080-7, 52, 4, (502-507), (2009). [Crossref²⁸⁶](#)
- Dietrich H.W. Groenemeyer, Lei Zhang, Sven Schirp, Jürgen Baier, Localization of Acupuncture Points BL25 and BL26 Using Computed Tomography, *The Journal of Alternative and Complementary Medicine*, 10.1089/acm.2007.7118-O, 15, 12, (1285-1291), (2009). [Crossref²⁸⁷](#)
- Mike Benjamin, The fascia of the limbs and back – a review, *Journal of Anatomy*, 10.1111/j.1469-7580.2008.01011.x, 214, 1, (1-18), (2008). [Wiley Online Library²⁸⁸](#)
- Jesse Li-Ling, Yiyang Wu, Congenital Syndromes Involving the Lungs: Pathogenetic Models Based on Chinese Medicine Theories, *The Journal of Alternative and Complementary Medicine*, 10.1089/acm.2008.0115, 14, 8, (1017-1025), (2008). [Crossref²⁸⁹](#)
- Byung-Cheon Lee, Tae-Jeong Nam, Hyeon-Min Johng, Eun-Sung Park, Ku-Youn Baik, Baec-Kyoung Sung, Kyung-Soon Soh, Yeo-Sung Yoon, Kwang-Sup Soh, Argypophilic Fibers of Intravascular Threadlike Structures in Rat, *Journal of Korean Institute of Herbal Acupuncture*, 10.3831/KPI.2008.11.3.005, 11, 3, (5-16), (2008). [Crossref²⁹⁰](#)
- Di Zhang, Guanghong Ding, Xueyong Shen, Wei Yao, Zhiying Zhang, Yuqing Zhang, Jun Lin, Quanbao Gu, Role of Mast Cells in Acupuncture Effect: A Pilot Study, *EXPLORE*, 10.1016/j.explore.2008.02.002, 4, 3, (170-177), (2008). [Crossref²⁹¹](#)
- Stephen M. Sagar, Acupuncture as an Evidence-Based Option for Symptom Control in Cancer Patients, *Current Treatment Options in Oncology*, 10.1007/s11864-008-0063-3, 9, 2-3, (117-126), (2008). [Crossref²⁹²](#)
- M. Miguel-Pérez, J.C. Ortiz-Sagrístá, A. Pérez-Bellmunt, R. Ramos-Izquierdo, A. García-Fernández, Descripción anatómica de puntos de acupuntura en la extremidad inferior, *Revista Internacional de Acupuntura*, 10.1016/S1887-8369(08)70031-0, 2, 2, (126-131), (2008). [Crossref²⁹³](#)
- Marcus Bäcker, Paul Grossman, Jens Schneider, Andreas Michalsen, Nicola Knoblauch, Linda Tan, Corinna Niggemeyer, Klaus Linde, Dieter Melchart, Gustav J. Dobos, Acupuncture in Migraine, *The Clinical Journal of Pain*, 10.1097/AJP.0b013e318159f95e, 24, 2, (106-115), (2008). [Crossref²⁹⁴](#)
- Peter T. Dorsher, Optimal Localization of Acupuncture Points: Implications for Acupuncture Practice, Education, and Research, *Medical Acupuncture*, 10.1089/acu.2008.0621, 20, 3, (147-150), (2008). [Crossref²⁹⁵](#)
- Byung-Cheon Lee, Vyacheslav Ogay, Ki Woo Kim, Yuwon Lee, Jin-Kyu Lee, Kwang-Sup Soh, Acupuncture Muscle Channel in the Subcutaneous Layer of Rat Skin, *Journal of Acupuncture and Meridian Studies*, 10.1016/S2005-2901(09)60002-9, 1, 1, (13-19), (2008). [Crossref²⁹⁶](#)
- Agatha P. Colbert, Jinkook Yun, Adrian Larsen, Tracy Edinger, William L. Gregory, Tran Thong, Skin Impedance Measurements for Acupuncture Research: Development of a Continuous Recording System, *Evidence-Based Complementary and Alternative Medicine*, 10.1093/ecam/nem060, 5, 4, (443-450), (2008). [Crossref²⁹⁷](#)
- Hugh MacPherson, Richard Nahin, Charlotte Paterson, Claire M. Cassidy, George T. Lewith, Richard Hammerschlag, Developments in Acupuncture Research: Big-Picture Perspectives from the Leading Edge, *The Journal of Alternative and Complementary Medicine*, 10.1089/acm.2008.SAR-5, 14, 7, (883-887), (2008). [Crossref²⁹⁸](#)
- Vyacheslav Ogay, Min Su Kim, Hyo Jun Seok, Cheon Joo Choi, Kwang-Sup Soh, Catecholamine-storing Cells at Acupuncture Points of Rabbits, *Journal of Acupuncture and Meridian Studies*, 10.1016/S2005-2901(09)60027-3, 1, 2, (83-90), (2008). [Crossref²⁹⁹](#)
- J. Giebel, Mecanotransducción y transducción de señales a través del tejido conjuntivo, *Revista Internacional de Acupuntura*, 10.1016/S1887-8369(08)70003-6, 2, 1, (9-14), (2008). [Crossref³⁰⁰](#)
- Sheng-Hsiung Hsiao, Li-Jen Tsai, A Neurovascular Transmission Model for Acupuncture-induced Nitric Oxide, *Journal of Acupuncture and Meridian Studies*, 10.1016/S2005-2901(09)60006-6, 1, 1, (42-50), (2008). [Crossref³⁰¹](#)
- Vitaly Napadow, Andrew Ahn, John Longhurst, Lixing Lao, Elisabet Stener-Victorin, Richard Harris, Helene M. Langevin, The Status and Future of Acupuncture Mechanism Research, *The Journal of Alternative and Complementary Medicine*, 10.1089/acm.2008.SAR-3, 14, 7, (861-869), (2008). [Crossref³⁰²](#)
- Hong-Yi Li, Jie-Fu Yang, Min Chen, Liang Xu, Wen-Chao Wang, Fang Wang, Jia-Bin Tong, Chuan-Yu Wang, Visualized Regional Hypodermic Migration Channels of Interstitial Fluid in Human Beings: Are These Ancient Meridians?, *The Journal of Alternative and Complementary Medicine*, 10.1089/acm.2007.0606, 14, 6, (621-628), (2008). [Crossref³⁰³](#)
- Rosa N. Schnyer, Stephen Birch, Hugh MacPherson, Acupuncture practice as the foundation for clinical evaluation, *Acupuncture Research*, 10.1016/B978-044310029-1.50013-9, (153-179), (2008). [Crossref³⁰⁴](#)
- Richard Hammerschlag, Hélène M. Langevin, Lixing Lao, George Lewith, Physiological dynamics of acupuncture: correlations and mechanisms, *Acupuncture Research*, 10.1016/B978-044310029-1.50014-0, (181-197), (2008). [Crossref³⁰⁵](#)
- Paul Orrock, Eric Blake, Leon Chaitow, Roger Newman Turner, Naturopathic Physical Medicine, *Naturopathic Physical Medicine*, 10.1016/B978-044310390-2.50009-2, (75-100), (2008). [Crossref³⁰⁶](#)
- Andrew C. Ahn, Agatha P. Colbert, Belinda J. Anderson, Ørjan G. Martinsen, Richard Hammerschlag, Steve Cina, Peter M. Wayne, Helene M. Langevin, Electrical properties of acupuncture points and meridians: A systematic review, *Bioelectromagnetics*, 10.1002/bem.20403, 29, 4, (245-256), (2008). [Wiley Online Library³⁰⁷](#)
- Margaret Julias, Lowell T Edgar, Helen M Buettner, David I Shreiber, An in vitro assay of collagen fiber alignment by acupuncture needle rotation, *BioMedical Engineering OnLine*, 10.1186/1475-925X-7-19, 7, 1, (2008). [Crossref³⁰⁸](#)
- Kell N. Julliard, Claudia Citkowitz, Douglas McDaniel, Towards a Model for Planning Clinical Research in Oriental Medicine, *EXPLORE*, 10.1016/j.explore.2006.12.002, 3, 2, (118-128), (2007). [Crossref³⁰⁹](#)
- Arya Nielsen, Nicola T.M. Knoblauch, Gustav J. Dobos, Andreas Michalsen, Ted J. Kaptechuk, The Effect of Gua Sha Treatment on the Microcirculation of Surface Tissue: A Pilot Study in Healthy Subjects, *EXPLORE*, 10.1016/j.explore.2007.06.001, 3, 5, (456-466), (2007). [Crossref³¹⁰](#)
- Roy Moncayo, Ansgar Rudisch, Markus Diemling, Christian Kremser, In-vivo visualisation of the anatomical structures related to the acupuncture points Dai mai and Shen mai by MRI: A single-case pilot study, *BMC Medical Imaging*, 10.1186/1471-2342-7-4, 7, 1, (2007). [Crossref³¹¹](#)
- J. Giebel, Mechanotransduktion und Signaltransduktion über das Bindegewebe – Mechanismen zur Erklärung des therapeutischen Effekts der Akupunktur?, *Deutsche Zeitschrift für Akupunktur*, 10.1078/0415-6412-00281, 50, 3, (6-10), (2007). [Crossref³¹²](#)
- Roy Moncayo, Ansgar Rudisch, Christian Kremser, Helga Moncayo, 3D-MRI rendering of the anatomical structures related to acupuncture points of the Dai mai, Yin qiao mai and Yang qiao mai meridians within the context of the WOMED concept of lateral tension: implications for musculoskeletal disease, *BMC Musculoskeletal Disorders*, 10.1186/1471-2342-8-33, 8, 1, (2007). [Crossref³¹³](#)
275. <https://doi.org/10.1016/j.jbmt.2007.04.009>
276. [https://doi.org/10.1016/S2005-2901\(09\)60014-5](https://doi.org/10.1016/S2005-2901(09)60014-5)
277. <https://doi.org/10.1016/j.jbmt.2008.06.005>
278. <https://doi.org/10.1089/acm.2008.0582>
279. <https://doi.org/10.1097/HNP.0b013e3181bf3784>
280. [https://doi.org/10.1016/S1138-3593\(09\)72675-9](https://doi.org/10.1016/S1138-3593(09)72675-9)
281. <https://doi.org/10.1097/BRS.0b013e31819d071c>
282. <https://doi.org/10.1089/acm.2009.715>
283. <https://doi.org/10.1088/0031-9155/54/9/N01>
284. <https://doi.org/10.1080/03008200802471856>
285. <https://doi.org/10.1177/1534735409332903>
286. <https://doi.org/10.1007/s11433-009-0080-7>
287. <https://doi.org/10.1089/acm.2007.7118-O>
288. <https://onlinelibrary.wiley.com/doi/10.1111/j.1469-7580.2008.01011.x>
289. <https://doi.org/10.1089/acm.2008.0115>
290. <https://doi.org/10.3831/KPI.2008.11.3.005>
291. <https://doi.org/10.1016/j.explore.2008.02.002>
292. <https://doi.org/10.1007/s11864-008-0063-3>
293. [https://doi.org/10.1016/S1887-8369\(08\)70031-0](https://doi.org/10.1016/S1887-8369(08)70031-0)
294. <https://doi.org/10.1097/AJP.0b013e318159f95e>
295. <https://doi.org/10.1089/acu.2008.0621>
296. [https://doi.org/10.1016/S2005-2901\(09\)60002-9](https://doi.org/10.1016/S2005-2901(09)60002-9)
297. <https://doi.org/10.1093/ecam/nem060>
298. <https://doi.org/10.1089/acm.2008.SAR-5>
299. [https://doi.org/10.1016/S2005-2901\(09\)60027-3](https://doi.org/10.1016/S2005-2901(09)60027-3)
300. [https://doi.org/10.1016/S1887-8369\(08\)70003-6](https://doi.org/10.1016/S1887-8369(08)70003-6)
301. [https://doi.org/10.1016/S2005-2901\(09\)60006-6](https://doi.org/10.1016/S2005-2901(09)60006-6)
302. <https://doi.org/10.1089/acm.2008.SAR-3>
303. <https://doi.org/10.1089/acm.2007.0606>
304. <https://doi.org/10.1016/B978-044310029-1.50013-9>
305. <https://doi.org/10.1016/B978-044310029-1.50014-0>
306. <https://doi.org/10.1016/B978-044310390-2.50009-2>
307. <https://onlinelibrary.wiley.com/doi/10.1002/bem.20403>
308. <https://doi.org/10.1186/1475-925X-7-19>
309. <https://doi.org/10.1016/j.explore.2006.12.002>
310. <https://doi.org/10.1016/j.explore.2007.06.001>
311. <https://doi.org/10.1186/1471-2342-7-4>
312. <https://doi.org/10.1078/0415-6412-00281>

- Helene M. Langevin, Nicole A. Bouffard, David L. Churchill, Gary J. Badger, Connective Tissue Fibroblast Response to Acupuncture: Dose-Dependent Effect of Bidirectional Needle Rotation, *The Journal of Alternative and Complementary Medicine*, 10.1089/acm.2007.6351.13.3, (355-360), (2007). [Crossref³¹⁴](#)
- Yong-Hui Han, Joon-Mo Yang, Min-Su Kim, Kwang-Sup Soh, Detection of the acupuncture points in Skin by differential path-length spectroscopy, *World Congress on Medical Physics and Biomedical Engineering 2006*, 10.1007/978-3-540-36841-0, (3572-3575), (2007). [Crossref³¹⁵](#)
- Min-Su Kim, Vyacheslav Ogay, Yong-Hui Han, Hak-Soo Shin, Byung-Cheon Lee, Kwang-Sup Soh, Alcian Blue Staining Technique for Tracing the Governing Vessel (GV) Meridian in Rat, *World Congress on Medical Physics and Biomedical Engineering 2006*, 10.1007/978-3-540-36841-0, (3576-3579), (2007). [Crossref³¹⁶](#)
- Miguel-Pérez Maribel, Ortiz-Sagrístá Joan Carles, Pérez-Bellmunt Albert, Buxeda Mónica, Cuni Laura, García-Fernández Alicia, Descripción anatómica de puntos de acupuntura en la extremidad superior, *Revista Internacional de Acupuntura*, 10.1016/S1887-8369(07)70217-X, 1, 2, (53-57), (2007). [Crossref³¹⁷](#)
- Yury P. Limansky, Serge A. Gulyar, Ivan Z. Samosyuk, Scientific basis of acupuncture, *Kontakt*, 10.32725/kont.2007.060, 9, 2, (391-402), (2007). [Crossref³¹⁸](#)
- Leon Chaitow, Fascia 2007 Congress, *Journal of Bodywork and Movement Therapies*, 10.1016/j.jbmt.2006.07.004, 10, 4, (249-250), (2006). [Crossref³¹⁹](#)
- Helene M. Langevin, Connective tissue: A body-wide signaling network?, *Medical Hypotheses*, 10.1016/j.mehy.2005.12.032, 66, 6, (1074-1077), (2006). [Crossref³²⁰](#)
- Albert Y. Leung, Jun Park, Gery Schulteis, Jeng-Ren Duann, Tony Yaksh, The Electrophysiology of De Qi Sensations, *The Journal of Alternative and Complementary Medicine*, 10.1089/acm.2006.12.743, 12, 8, (743-750), (2006). [Crossref³²¹](#)
- Acupuncture, *Obstetrics & Gynecology*, 10.1097/01.AOG.0000239498.38595.41, 108, 4, (1024-1026), (2006). [Crossref³²²](#)
- Jeanne L. Shea, Applying Evidence-Based Medicine to Traditional Chinese Medicine: Debate and Strategy, *The Journal of Alternative and Complementary Medicine*, 10.1089/acm.2006.12.255, 12, 3, (255-263), (2006). [Crossref³²³](#)
- Grigory V. Chernyak, Daniel I. Sessler, Perioperative Acupuncture and Related Techniques, *Anesthesiology*, 10.1097/0000542-200505000-00024, 102, 5, (1031-1049), (2005). [Crossref³²⁴](#)
- Grigory Chernyak, Papiya Sengupta, Rainer Lenhardt, Edwin Liem, Anthony G. Doufas, Daniel I. Sessler, Ozan Ak?za, The Timing of Acupuncture Stimulation Does Not Influence Anesthetic Requirement, *Anesthesia & Analgesia*, 10.1213/01.ANE.0000142114.72117.E0, 100, 2, (387-392), (2005). [Crossref³²⁵](#)
- Gabriela E. Garcia, Sheng-Xing Ma, Lili Feng, Acupuncture and Kidney Disease, *Advances in Chronic Kidney Disease*, 10.1016/j.ackd.2005.04.002, 12, 3, (282-291), (2005). [Crossref³²⁶](#)
- Andrew C. Ahn, Junru Wu, Gary J. Badger, Richard Hammerschlag, Helene M. Langevin, Electrical impedance along connective tissue planes associated with acupuncture meridians, *BMC Complementary and Alternative Medicine*, 10.1186/1472-6882-5-10, 5, 1, (2005). [Crossref³²⁷](#)
- E.E. Konofagou, H.M. Langevin, Using ultrasound to understand acupuncture, *IEEE Engineering in Medicine and Biology Magazine*, 10.1109/MEMB.2005.1411347, 24, 2, (41-46), (2005). [Crossref³²⁸](#)
- R. Schleip, W. Klingler, F. Lehmann-Horn, Active fascial contractility: Fascia may be able to contract in a smooth muscle-like manner and thereby influence musculoskeletal dynamics, *Medical Hypotheses*, 10.1016/j.mehy.2005.03.005, 65, 2, (273-277), (2005). [Crossref³²⁹](#)
- Paulo H. Hashimoto, The perineurial vessel: A possible candidate for the structural basis of the meridian (Jing - Luo) in Chinese medicine*, *Anatomical Science International*, 10.1111/j.1447-073X.2005.00118.x, 80, 4, (177-180), (2005). [Wiley Online Library³³⁰](#)
- Dina Ralt, Intercellular communication, NO and the biology of Chinese medicine, *Cell Communication and Signaling*, 10.1186/1478-811X-3-8, 3, 1, (2005). [Crossref³³¹](#)
- Ai-Hui Li, Jun-Ming Zhang, Yi-Kuan Xie, Human acupuncture points mapped in rats are associated with excitable muscle/skin-nerve complexes with enriched nerve endings, *Brain Research*, 10.1016/j.brainres.2004.04.009, 1012, 1-2, (154-159), (2004). [Crossref³³²](#)
- Kaung-Ti Yung, A Birdcage Model for the Chinese Meridian System Part II: The Meridian System as a Birdcage Resonator, *The American Journal of Chinese Medicine*, 10.1142/S0192415X04002582, 32, 06, (985-997), (2004). [Crossref³³³](#)
- J. P. Jones, Y. K. Bae, L. Wilson, C. S. So, D. D. Kidney, Ultrasonic Imaging and Characterization of Acupuncture Points in Classical Oriental Medicine, *Acoustical Imaging*, 10.1007/978-1-4020-2402-3_66, (527-533), (2004). [Crossref³³⁴](#)
- Helene M. Langevin, Elisa E. Konofagou, Gary J. Badger, David L. Churchill, James R. Fox, Jonathan Ophir, Brian S. Garra, Tissue displacements during acupuncture using ultrasound elastography techniques, *Ultrasound in Medicine & Biology*, 10.1016/j.ultrasmedbio.2004.07.010, 30, 9, (1173-1183), (2004). [Crossref³³⁵](#)
- M. Bäcker, I.K. Gareus, N.T.M. Knoblauch, A. Michalsen, G.J. Dobos, Akupunktur in der Schmerztherapie – Hypothese zu adaptiven Prozessen, *Complementary Medicine Research*, 10.1159/000082815, 11, 6, (335-345), (2004). [Crossref³³⁶](#)
- Opher Caspi, Cari Stellhorn, Melinda Connor, Sham in CAM, *Evidence-Based Integrative Medicine*, 10.2165/01197065-200401040-00002, 1, 4, (233-240), (2004). [Crossref³³⁷](#)
- Bruce D. Curtis, J.J. Hurtak, Consciousness and Quantum Information Processing: Uncovering a Foundation for a Medicine of Light, *The Journal of Alternative and Complementary Medicine*, 10.1089/10755304322848931, 10, 1, (27-39), (2004). [Crossref³³⁸](#)
- E.E. Konofagou, G.J. Badger, B.S. Garra, H.M. Langevin, *IEEE Symposium on Ultrasonics*, 2003, 10.1109/ULTSYM.2003.1293138, (1288-1291), (2003). [Crossref³³⁹](#)
- Leon Chaitow, Judith DeLany, Neuromuscular Techniques in Orthopedics, *Techniques in Orthopaedics*, 10.1097/00013611-200303000-00013, 18, 1, (74-86), (2003). [Crossref³⁴⁰](#)
- LiteratureWatch, *Alternative and Complementary Therapies*, 10.1089/10762800360520811, 9, 1, (49-50), (2003). [Crossref³⁴¹](#)
- Michael McCarthy, Palpatory literacy, Chinese therapeutic bodywork (Tui Na) and the remediation of head, neck and shoulder pain, *Journal of Bodywork and Movement Therapies*, 10.1016/S1360-8592(03)00044-5, 7, 4, (262-277), (2003). [Crossref³⁴²](#)
- Leon Chaitow, What binds us together?, *Journal of Bodywork and Movement Therapies*, 10.1016/S1360-8592(03)00020-2, 7, 2, (69-70), (2003). [Crossref³⁴³](#)
- Joshi, Narahari & Mbbs, Msc & Pa'ez, Ximena & Araque, MBBS. (2012). Electroacupuncture Effects on the Disintegration of Beta Amyloid Sheets: Its Application to Alzheimer's Disease. *Medical Acupuncture*. 24. 145. 10.1089/acu.2012.0873. [ResearchGate³⁴⁴](#)
- ## HRV, Ajurweda
- Ram Manohar, P., Sorokin, O., Chacko, J., & Nampoothiri, V. (2018). An exploratory clinical study to determine the utility of heart rate variability analysis in the assessment of dosha imbalance. *Journal of Ayurveda and integrative medicine*, 9(2), 126–130. [Crossref³⁴⁵](#)
- Travis F.T., Wallace R.K. Doša brain-types: a neural model of individual differences. *J Ayurveda Integr Med*. 2015;6(4):280–285. [PMC³⁴⁶](#) - [PubMed³⁴⁷](#)
- Tyagi A., Cohen M. Yoga and heart rate variability: a comprehensive review of the literature. *Int J Yoga*. 2016;9(2):97–113. [PMC³⁴⁸](#) - [PubMed³⁴⁹](#)
- Masel E., Huber P., Engler T., Herbert Watzke H.H. Heart rate variability during treatment of breakthrough pain in patients with advanced cancer: a pilot study. *J Pain Res*. 2016 Dec;9:1215–1220. [PMC³⁵⁰](#) - [PubMed³⁵¹](#)
- Kim E.-H., Park J.-H., Lee S.M., Gwak M.-S., Kim G.-S., Kim M.-H. Preoperative depressed mood and perioperative heart rate variability in patients with hepatic cancer. *J Clin Anesth*. 2016 Dec;35:332–338. [PubMed³⁵²](#)
- Koszewicz M., Michalak S., Bilinska M., Budrewicz S., Zaborowski M., Slotwinski K. Profile of autonomic dysfunctions in patients with primary brain tumor and possible autoimmunity. *Clin Neurof Neurosurg*. 2016 Dec;151:51–54. [PubMed³⁵³](#)
- Rastogi, S., & Singh, R. H. (2021). Principle of Hot (Ushna) and Cold (Sheeta) and Its Clinical Application in Ayurvedic Medicine. *Advances in experimental medicine and biology*, 1343, 39–55. [Crossref³⁵⁴](#)
313. <https://doi.org/10.1186/1471-2474-8-33>
314. <https://doi.org/10.1089/acm.2007.6351>
315. <https://doi.org/10.1007/978-3-540-36841-0>
316. <https://doi.org/10.1007/978-3-540-36841-0>
317. [https://doi.org/10.1016/S1887-8369\(07\)70217-X](https://doi.org/10.1016/S1887-8369(07)70217-X)
318. <https://doi.org/10.32725/kont.2007.060>
319. <https://doi.org/10.1016/j.jbmt.2006.07.004>
320. <https://doi.org/10.1016/j.mehy.2005.12.032>
321. <https://doi.org/10.1089/acm.2006.12.743>
322. <https://doi.org/10.1097/01.AOG.0000239498.38595.41>
323. <https://doi.org/10.1089/acm.2006.12.255>
324. <https://doi.org/10.1097/0000542-200505000-00024>
325. <https://doi.org/10.1213/01.ANE.0000142114.72117.E0>
326. <https://doi.org/10.1016/j.ackd.2005.04.002>
327. <https://doi.org/10.1186/1472-6882-5-10>
328. <https://doi.org/10.1109/MEMB.2005.1411347>
329. <https://doi.org/10.1016/j.mehy.2005.03.005>
330. <https://onlinelibrary.wiley.com/doi/10.1111/j.1447-073X.2005.00118.x>
331. <https://doi.org/10.1186/1478-811X-3-8>
332. <https://doi.org/10.1016/j.brainres.2004.04.009>
333. <https://doi.org/10.1142/S0192415X04002582>
334. https://doi.org/10.1007/978-1-4020-2402-3_66
335. <https://doi.org/10.1016/j.ultrasmedbio.2004.07.010>
336. <https://doi.org/10.1159/000082815>
337. <https://doi.org/10.2165/01197065-200401040-00002>
338. <https://doi.org/10.1089/10755304322848931>
339. <https://doi.org/10.1109/ULTSYM.2003.1293138>
340. <https://doi.org/10.1097/00013611-200303000-00013>
341. <https://doi.org/10.1089/10762800360520811>
342. [https://doi.org/10.1016/S1360-8592\(03\)00044-5](https://doi.org/10.1016/S1360-8592(03)00044-5)
343. [https://doi.org/10.1016/S1360-8592\(03\)00020-2](https://doi.org/10.1016/S1360-8592(03)00020-2)
344. https://www.researchgate.net/publication/236897521_Electroacupuncture_Effects_on_the_Disintegration_of_Beta_Amyloid_Sheets_Its_Application_to_Alzheimer's_Disease
345. <https://doi.org/10.1016/j.jaim.2017.06.008>
346. <http://www.ncbi.nlm.nih.gov/pmc/articles/pmc4719489/>
347. <https://pubmed.ncbi.nlm.nih.gov/26834428/>
348. <http://www.ncbi.nlm.nih.gov/pmc/articles/pmc4959333/>
349. <https://pubmed.ncbi.nlm.nih.gov/27512317/>
350. <https://www.ncbi.nlm.nih.gov/pmc/articles/pmc5161332/>
351. <https://pubmed.ncbi.nlm.nih.gov/28003771/>
352. <https://pubmed.ncbi.nlm.nih.gov/27871552/>
353. <https://pubmed.ncbi.nlm.nih.gov/27788421/>

Crossref³⁵⁴

Mills, P. J., Peterson, C. T., Wilson, K. L., Pung, M. A., Patel, S., Weiss, L., Kshirsagar, S. G., Tanzi, R. E., & Chopra, D. (2019). Relationships among classifications of ayurvedic medicine diagnostics for imbalances and western measures of psychological states: An exploratory study. *Journal of Ayurveda and integrative medicine*, 10 (3), 198–202. [Crossref³⁵⁵](#)
 Pandey M.M., Rastogi S., Rawat A.K. Indian traditional ayurvedic system of medicine and nutritional supplementation. *Evid Based Complement Alternat Med.* 2013;2013:376327. - [PMC³⁵⁶](#) - [PubMed³⁵⁷](#)

Chopra A., Doiphode V.V. Ayurvedic medicine. Core concept, therapeutic principles, and current relevance. *Med Clin North Am.* 2002;86(1):75–89. vii. - [PubMed³⁵⁸](#)
 Zhou X., Ma Z., Zhang L., Zhou S., Wang J., Wang B. Heart rate variability in the prediction of survival in patients with cancer: a systematic review and meta-analysis. *J Psychosom Res.* 2016 Oct;89:20–25. - [PubMed³⁵⁹](#)

Taffe L., Stancil K., Bond V., Pemminati S., Gorantla V.R., Kadur K. Differentiation of overweight from normal weight young adults by postprandial heart rate variability and systolic blood pressure. *J Clin Diagnostic Res.* 2016 Aug;10(8):CC01–CC06. - [PMC³⁶⁰](#) - [PubMed³⁶¹](#)

Gupta J., Dube A., Singh V., Gupta R.C. Spectral analysis of heart rate variability in bronchial asthma patients. *Indian J Physiol Pharmacol.* 2012;56(4):330–336. - [PubMed³⁶²](#)

Sorokin O.V., Subotyalov M.A. Material of the all-Russian scientific and practical conference with international presence, October 26–27, 2011 Kemerovo, Russia. 2011. Comparative medical research of VedaPulse hardware and software kit // Health maintaining activities in educational system: theory and practice; pp. 225–230.

Kelkar P., Karamchandani S., Jinda S. Proceedings of conference on advance applications in physiological variability. BARC. 2010. Identifying tridosha for disease characterisation in morphology of an IPG pulse waveform.

Singh Harupjit. Thapar University; Patiala: 2016. Relationship between three ayurvedic doshas and heart rate variability frequency bands: a pilot study.

Deshpande H., Shivakumar, Kavita M.B., Mishra P., Balkrishna A. Healthcare and disease management in Ayurveda. *Altern Ther Health Med.* 2001;7(2):44–50. - [PubMed³⁶³](#)

Anthony J.V., Joanne M.G. Understanding interobserver agreement: the kappa statistic. *Fam Med.* 2005 May;37(5):360–363. - [PubMed³⁶⁴](#)

Telles S., Pathak S., Kumar A., Mishra P., Balkrishna A. Ayurvedic doshas as predictors of sleep quality. *Med Sci Monit.* 2015;21:1421–1427. - [PMC³⁶⁵](#) - [PubMed³⁶⁶](#)

Bell C., Heidel R.E., Sunega J., Drisko J. Ancient wisdom. Can ayurvedic prakriti provide invaluable insights into integrative medicine? *Ayurveda J Health.* 2017;27:27–34.

Cohen S., Kamarck T., Mermelstein R. A global measure of perceived stress. *J Health Soc Behav.* 1983;24(4):385–396. - [PubMed³⁶⁷](#)

Travis F.T., Wallace R.K. Dasha brain-types: a neural model of individual differences. *J Ayurveda Integr Med.* 2015;6(4):280–285. - [PMC³⁶⁸](#) - [PubMed³⁶⁹](#)

Dey S., Pahwa P. Prakriti and its associations with metabolism, chronic diseases, and genotypes: possibilities of new born screening and a lifetime of personalized prevention. *J Ayurveda Integr Med.* 2014;5(1):15–24. - [PMC³⁷⁰](#) - [PubMed³⁷¹](#)

Purvya M.C., Meena M.S. A review on role of prakriti in aging. *Ayu.* 2011;32(1):20–24. - [PMC³⁷²](#) - [PubMed³⁷³](#)

Pham, T., Lau, Z. J., Chen, S. H. A., & Makowski, D. (2021). Heart Rate Variability in Psychology: A Review of HRV Indices and an Analysis Tutorial. *Sensors (Basel, Switzerland)*, 21 (12), 3998. [Crossref³⁷⁴](#)

Lombardi F., Malliani A., Pagani M., Cerutti S. Heart Rate Variability and Its Sympatho-Vagal Modulation. *Cardiovasc. Res.* 1996;32:208–216. doi: 10.1016/0008-6363(96)00116-2. - [DOI³⁷⁵](#) - [PubMed³⁷⁶](#)

Mccraty R., Shaffer F. Heart Rate Variability: New Perspectives on Physiological Mechanisms, Assessment of Self-regulatory Capacity, and Health Risk. *Glob. Adv. Heal. Med.* 2015;4:46–61. doi: 10.7453/gahmj.2014.073. - [DOI³⁷⁷](#) - [PMC³⁷⁸](#) - [PubMed³⁷⁹](#)

Thayer J.F., Yamamoto S.S., Brosschot J.F. The relationship of autonomic imbalance, heart rate variability and cardiovascular disease risk factors. *Int. J. Cardiol.* 2010;141:122–131. doi: 10.1016/j.ijcard.2009.09.543. - [DOI³⁸⁰](#) - [PubMed³⁸¹](#)

Tiwari, R., Kumar, R., Malik, S., Raj, T., & Kumar, P. (2021). Analysis of Heart Rate Variability and Implication of Different Factors on Heart Rate Variability. *Current cardiolog*

354. https://doi.org/10.1007/978-3-030-80983-6_4
 355. <https://doi.org/10.1016/j.jaim.2018.02.001>
 356. <http://www.ncbi.nlm.nih.gov/pmc/articles/PMC3705899/>
 357. <https://pubmed.ncbi.nlm.nih.gov/23864888/>
 358. <https://pubmed.ncbi.nlm.nih.gov/11795092/>
 359. <https://pubmed.ncbi.nlm.nih.gov/27663106/>
 360. <http://www.ncbi.nlm.nih.gov/pmc/articles/PMC5028518/>
 361. <https://pubmed.ncbi.nlm.nih.gov/27656434/>
 362. <https://pubmed.ncbi.nlm.nih.gov/23781652/>
 363. <https://pubmed.ncbi.nlm.nih.gov/11253416/>
 364. <https://pubmed.ncbi.nlm.nih.gov/15883903/>
 365. <http://www.ncbi.nlm.nih.gov/pmc/articles/PMC448595/>
 366. <https://pubmed.ncbi.nlm.nih.gov/25982247/>
 367. <https://pubmed.ncbi.nlm.nih.gov/6668417/>
 368. <http://www.ncbi.nlm.nih.gov/pmc/articles/PMC4719489/>
 369. <https://pubmed.ncbi.nlm.nih.gov/26834428/>
 370. <http://www.ncbi.nlm.nih.gov/pmc/articles/PMC4012357/>
 371. <https://pubmed.ncbi.nlm.nih.gov/24812471/>
 372. <http://www.ncbi.nlm.nih.gov/pmc/articles/PMC3215411/>
 373. <https://pubmed.ncbi.nlm.nih.gov/22131753/>
 374. <https://doi.org/10.3390/s21123998>
 375. [https://doi.org/10.1016/0008-6363\(96\)00116-2](https://doi.org/10.1016/0008-6363(96)00116-2)
 376. <https://pubmed.ncbi.nlm.nih.gov/8796160/>
 377. <https://doi.org/10.7453/gahmj.2014.073>
 378. <http://www.ncbi.nlm.nih.gov/pmc/articles/PMC4311559/>
 379. <https://pubmed.ncbi.nlm.nih.gov/25694852/>
 380. <https://doi.org/10.1016/j.ijcard.2009.09.543>
 381. <https://pubmed.ncbi.nlm.nih.gov/19910061/>

reviews, 17 (5), e160721189770. [Crossref³⁸²](#)

Roy, S., Goswami, D. P., & Sengupta, A. (2020). Geometry of the Poincaré plot can segregate the two arms of autonomic nervous system - A hypothesis. *Medical hypotheses*, 138, 109574. [Crossref³⁸³](#)

Gullett, N., Zajkowska, Z., Walsh, A., Harper, R., & Mondelli, V. (2023). Heart rate variability (HRV) as a way to understand associations between the autonomic nervous system (ANS) and affective states: A critical review of the literature. *International journal of psychophysiology: official journal of the International Organization of Psychophysiology*, 192, 35–42. [Crossref³⁸⁴](#)

Zou L., Sasaki J.E., Wei G.X., Huang T., Yeung A.S., Neto O.B., Chen K.W., Hui S.S. Effects of Mind-Body Exercises (Tai Chi/Yoga) on Heart Rate Variability Parameters and Perceived Stress: A Systematic Review with Meta-Analysis of Randomized Controlled Trials. *J. Clin. Med.* 2018;7:404. doi: 10.3390/jcm7110404. - [DOI³⁸⁵](#) - [PMC³⁸⁶](#) - [PubMed³⁸⁷](#)

Danylova T.V., Shmarhun V.M., Vertel A.V., Matyushko B.K., Bondarenko A.F., Kychkyruk T., Petersen J. Effects of the eastern mind-body practices on mental health during the COVID-19 pandemic: When east meets west. *Wiad. Lek.* 2021;74:2850–2855. doi: 10.36740/WLek202111130. - [DOI³⁸⁸](#) - [PubMed³⁸⁹](#)

Feneberg A.C., Nater U.M. An Ecological Momentary Music Intervention for the Reduction of Acute Stress in Daily Life: A Mixed Methods Feasibility Study. *Front. Psychol.* 2022;13:927705. doi: 10.3389/fpsyg.2022.927705. - [DOI³⁹⁰](#) - [PMC³⁹¹](#) - [PubMed³⁹²](#)

Breit S., Kupferberg A., Rogler G., Hasler G. Vagus Nerve as Modulator of the Brain–Gut Axis in Psychiatric and Inflammatory Disorders. *Front. Psychiatry.* 2018;9:44. doi: 10.3389/fpsyt.2018.00044. - [DOI³⁹³](#) - [PMC³⁹⁴](#) - [PubMed³⁹⁵](#)

Laborde S., Mosley E., Thayer J.F. Heart rate variability and cardiac vagal tone in psychophysiological research—recommendations for experiment planning, data analysis, and data reporting. *Front. Psychol.* 2017;8:213. doi: 10.3389/fpsyg.2017.00213. - [DOI³⁹⁶](#) - [PMC³⁹⁷](#) - [PubMed³⁹⁸](#)

Cesky K.S., Michel D.E. The Music Vibration Table (MVT): Developing a Technology and Conceptual Model for Pain Relief. *Music Ther. Perspect.* 1991;9:32–38. doi: 10.1093/mt/9.1.32. - [DOI³⁹⁹](#)

Campbell E., Burger B., Ala-Ruona E. A Single-Case, Mixed Methods Study Exploring the Role of Music Listening in Vibroacoustic Treatment. *Voices World Forum Music Ther.* 2019;19:27. doi: 10.15845/voices.v19i2.2556. - [DOI⁴⁰⁰](#)

Braun Janzen T., Al Shirawi M.I., Rotzinger S., Kennedy S.H., Bartel L. A Pilot Study Investigating the Effect of Music-Based Intervention on Depression and Anhedonia. *Front. Psychol.* 2019;10:1038. doi: 10.3389/fpsyg.2019.01038. - [DOI⁴⁰¹](#) - [PMC⁴⁰²](#) - [PubMed⁴⁰³](#)

Karkkainen M., Mitsui J. The Effects of Sound Based Vibration Treatment on the Human Mind and Body the Physioacoustic Method. *J. Int. Soc. Life Inf. Sci.* 2006;24:155–164. doi: 10.18936/islis.24.1.155. - [DOI⁴⁰⁴](#)

Jirakitayakorn N., Wongsawat Y. Brain Responses to 40-Hz Binaural Beat and Effects on Emotion and Memory. *Int. J. Psychophysiol.* 2017;120:96–107. doi: 10.1016/j.ijpsycho.2017.07.010. - [DOI⁴⁰⁵](#) - [PubMed⁴⁰⁶](#)

Fooks C., Niebuhr O. Assessing Vibroacoustic Sound Massage Through The Biosignal of Human Speech: Evidence of Improved Wellbeing; Proceedings of the IEEE International Conference on Acoustics, Speech and Signal Processing (ICASSP); Seoul, Republic of Korea. 14–19 April 2024; pp. 11401–11405.

Gitler, A., Vanaecker, L., De Couck, M., De Leeuw, I., & Gidron, Y. (2022). Neuromodulation Applied to Diseases: The Case of HRV Biofeedback. *Journal of clinical medicine*, 11 (19), 5927. [Crossref⁴⁰⁷](#)

Zhu, J., Ji, L., & Liu, C. (2019). Heart rate variability monitoring for emotion and disorders of emotion. *Physiological measurement*, 40 (6), 064004. [Crossref⁴⁰⁸](#)

Nunan, D., Sandercock, G. R., & Brodie, D. A. (2010). A quantitative systematic review of normal values for short-term heart rate variability in healthy adults. *Pacing and clinical electrophysiology: PACE*, 33 (11), 1407–1417. [Crossref⁴⁰⁹](#)

Qu, X., Wu, Y., Liu, J., & Cui, L. (2020). HRV-Spark: Computing Heart Rate Variability Measures Using Apache Spark. *Proceedings. IEEE International Conference on Bioinformatics and Biomedicine*, 2020, 10.1109/bibm49941.2020.9313361. [Crossref⁴¹⁰](#)

382. <https://doi.org/10.2174/1573403X16999201231203854>
 383. <https://doi.org/10.1016/j.mehy.2020.109574>
 384. <https://doi.org/10.1016/j.ijpsycho.2023.08.001>
 385. <https://doi.org/10.3390/jcm7110404>
 386. <https://www.ncbi.nlm.nih.gov/pmc/articles/PMC6262541/>
 387. <https://pubmed.ncbi.nlm.nih.gov/30384420/>
 388. <https://doi.org/10.36740/wlek202111130>
 389. <https://pubmed.ncbi.nlm.nih.gov/35023505/>
 390. <https://doi.org/10.3389/fpsyg.2022.927705>
 391. <http://www.ncbi.nlm.nih.gov/pmc/articles/PMC9558284/>
 392. <https://pubmed.ncbi.nlm.nih.gov/36248548/>
 393. <https://doi.org/10.3389/fpsyg.2018.00044>
 394. <http://www.ncbi.nlm.nih.gov/pmc/articles/PMC5859128/>
 395. <https://pubmed.ncbi.nlm.nih.gov/29593576/>
 396. <https://doi.org/10.3389/fpsyg.2017.00213>
 397. <http://www.ncbi.nlm.nih.gov/pmc/articles/PMC5316555/>
 398. <https://pubmed.ncbi.nlm.nih.gov/28265249/>
 399. <https://doi.org/10.1093/mt/9.1.32>
 400. <https://doi.org/10.15845/voices.v19i2.2556>
 401. <https://doi.org/10.3389/fpsyg.2019.01038>
 402. <https://www.ncbi.nlm.nih.gov/pmc/articles/PMC6517496/>
 403. <https://pubmed.ncbi.nlm.nih.gov/31133945/>
 404. <https://doi.org/10.18936/islis.24.1.155>
 405. <https://doi.org/10.1016/j.ijpsycho.2017.07.010>
 406. <https://pubmed.ncbi.nlm.nih.gov/28739482/>
 407. <https://doi.org/10.3390/jcm11195927>
 408. <https://doi.org/10.1088/1361-6579/ab1887>
 409. <https://doi.org/10.1111/j.1540-8159.2010.02841.x>
 410. <https://doi.org/10.1109/bibm49941.2020.9313361>

Rahul, L. R., Sarkar, R., Sengupta, A., Chandra, B. S., & Jana, S. (2023). Novel AI-based HRV analysis (NAIHA) in healthcare automation and related applications. *Journal of electrocardiology*, 79, 112–121. [Crossref⁴¹¹](#)

Taoum, A., Bisiaux, A., Tilquin, F., Le Guillou, Y., & Carrault, G. (2022). Validity of Ultra-Short-Term HRV Analysis Using PPG-A Preliminary Study. *Sensors (Basel, Switzerland)*, 22 (20), 7995. [Crossref⁴¹²](#)

Ortega, E., Bryan, C. Y. X., & Christine, N. S. C. (2024). The Pulse of Singapore: Short-Term HRV Norms. *Applied psychophysiology and biofeedback*, 49 (1), 55–61. [Crossref⁴¹³](#)

Vondrasek, J. D., Riemann, B. L., Grosicki, G. J., & Flatt, A. A. (2023). Validity and Efficacy of the Elite HRV Smartphone Application during Slow-Paced Breathing. *Sensors (Basel, Switzerland)*, 23 (23), 9496. [Crossref⁴¹⁴](#)

Malik M., Bigger J.T., Camm A.J., Kleiger R.E., Malliani A., Moss A.J., Schwartz P.J. Heart rate variability: Standards of measurement, physiological interpretation, and clinical use. *Eur. Heart J.* 1996;17:354–381. doi: 10.1093/oxfordjournals.eurheartj.a014868. - [DOI⁴¹⁵](#) - [PubMed⁴¹⁶](#)

Shaffer F., McCraty R., Zerr C.L. A healthy heart is not a metronome: An integrative review of the heart's anatomy and heart rate variability. *Front. Psychol.* 2014;5:1040. doi: 10.3389/fpsyg.2014.01040. - [DOI⁴¹⁷](#) - [PMC⁴¹⁸](#) - [PubMed⁴¹⁹](#)

Grosicki G.J., Culver M.N., McMillan N.K., Cross B.L., Montoye A.H.K., Riemann B.L., Flatt A.A. Self-recorded heart rate variability profiles are associated with health and lifestyle markers in young adults. *Clin. Auton. Res.* 2022;32:507–518. doi: 10.1007/s10286-022-00884-z. - [DOI⁴²⁰](#) - [PubMed⁴²¹](#)

Natarajan A., Pantelopoulos A., Emir-Farinas H., Natarajan P. Heart rate variability with photoplethysmography in 8 million individuals: A cross-sectional study. *Lancet Digit. Health.* 2020;2:e650–e657. doi: 10.1016/S2589-7500(20)30246-6. - [DOI⁴²²](#) - [PubMed⁴²³](#)

Talbert, L. D., Kaelberer, Z., Gleave, E., Driggs, A. S., Steffen, P. R., Baldwin, S. A., & Larson, M. J. (2023). A systematic review of heart rate variability (HRV) biofeedback treatment following traumatic brain injury (TBI). *Brain injury*, 37 (7), 635–642. [Crossref⁴²⁴](#)

Jeyhani, V., Mahdiani, S., Peltokangas, M., & Vehkajoa, A. (2015). Comparison of HRV parameters derived from photoplethysmography and electrocardiography signals. *Annual International Conference of the IEEE Engineering in Medicine and Biology Society. IEEE Engineering in Medicine and Biology Society. Annual International Conference*, 2015, 5952–5955. [Crossref⁴²⁵](#)

Brennan, M., Palaniswami, M., & Kamen, P. (2002). Poincaré plot interpretation using a physiological model of HRV based on a network of oscillators. *American journal of physiology. Heart and circulatory physiology*, 283 (5), H1873–H1886. [Crossref⁴²⁶](#)

Ken Umetani MD A B C, Donald H Singer MD, FACC A B, Rollin McCraty MS C, Mike Atkinson C, Twenty-Four Hour Time Domain Heart Rate Variability and Heart Rate: Relations to Age and Gender Over Three Decades. [DOI⁴²⁷](#), [ScienceDirect⁴²⁸](#)

Umysł/ciało

Borghesi, F., Cremascoli, R., Chirico, A., Bianchi, L., Di Moia, A., Priano, L., Piedimonte, A., Mauro, A., & Cipresso, P. (2024). Mind and body connection in expert meditators: a computational study based on central and peripheral nervous system. *BMC complementary medicine and therapies*, 24 (1), 117. [Crossref⁴²⁹](#)

Brandmeyer T, Delorme A, Wahbeh H. The neuroscience of meditation: classification, phenomenology, correlates, and mechanisms. *Prog Brain Res.* 2019;1(244):1–29. - [PubMed⁴³⁰](#)

Travis F, Shear J. Focused attention, open monitoring and automatic self-transcending: categories to organize meditations from Vedic, Buddhist Chinese Traditions. *Conscious Cogn.* 2010;19(4):1110–1118. doi: 10.1016/j.concog.2010.01.007. - [DOI⁴³¹](#) - [PubMed⁴³²](#)

Liberman N, Trope Y. The psychology of transcending the here and now. *Science* 2008;322(5905):1201–5. doi: 10.1126/science.1161958. - [DOI⁴³³](#) - [PMC⁴³⁴](#) - [PubMed⁴³⁵](#)

Ahani A, Wahbeh H, Nezamfar H, Miller M, Erdogmus D, Oken B. Quantitative changes of EEG and respiration signals during mindfulness meditation. *J Neuroeng Rehabil* 2014;11(1):1. doi: 10.1186/1743-0003-11-87. - [DOI⁴³⁶](#) - [PMC⁴³⁷](#) - [PubMed⁴³⁸](#)

411. <https://doi.org/10.1016/j.jelectrocard.2023.03.013>

412. <https://doi.org/10.3390/s2207995>

413. <https://doi.org/10.1007/s10484-023-09603-4>

414. <https://doi.org/10.3390/s23239496>

415. <https://doi.org/10.1093/oxfordjournals.eurheartj.a014868>

416. <https://pubmed.ncbi.nlm.nih.gov/8737210/>

417. <https://doi.org/10.3389/fpsyg.2014.01040>

418. <https://www.ncbi.nlm.nih.gov/pmc/articles/pmc4179748/>

419. <https://pubmed.ncbi.nlm.nih.gov/25324790/>

420. <https://doi.org/10.1007/s10286-022-00884-z>

421. <https://pubmed.ncbi.nlm.nih.gov/35999422/>

422. [https://doi.org/10.1016/s2589-7500\(20\)30246-6](https://doi.org/10.1016/s2589-7500(20)30246-6)

423. <https://pubmed.ncbi.nlm.nih.gov/33328029/>

424. <https://doi.org/10.1080/02699052.2023.2208880>

425. <https://doi.org/10.1109/EMBC.2015.7319747>

426. <https://doi.org/10.1152/ajpheart.00405.2000>

427. [https://doi.org/10.1016/S0735-1097\(97\)00554-8](https://doi.org/10.1016/S0735-1097(97)00554-8)

428. <https://www.sciencedirect.com/science/article/pii/S0735109797005548>

429. <https://doi.org/10.1186/s12906-024-04413-5>

430. <https://pubmed.ncbi.nlm.nih.gov/30732832/>

431. <https://doi.org/10.1016/j.concog.2010.01.007>

432. <https://pubmed.ncbi.nlm.nih.gov/20167507/>

433. <https://doi.org/10.1126/science.1161958>

434. <https://www.ncbi.nlm.nih.gov/pmc/articles/pmc2643344/>

435. <https://pubmed.ncbi.nlm.nih.gov/19023074/>

436. <https://doi.org/10.1186/1743-0003-11-87>

Ahani A, Wahbeh H, Miller M, Nezamfar H, Erdogmus D, Oken B. Change in physiological signals during mindfulness meditation. *Int IEEE EMBS Conf Neural Eng.* 2013;1378–81. - [PMC⁴³⁹](#) - [PubMed⁴⁴⁰](#)

Stapleton P, Dispenza J, McGill S, Sabot D, Peach M, Raynor D. Large effects of brief meditation intervention on EEG spectra in meditation novices. *IBRO Rep.* 2020;1(9):290–301. doi: 10.1016/j.ibror.2020.10.006. - [DOI⁴⁴¹](#) - [PMC⁴⁴²](#) - [PubMed⁴⁴³](#)

Travis F, Haaga DAF, Hagelin J, Tanner M, Nidich S, Gaylord-King C, et al. Effects of Transcendental Meditation practice on brain functioning and stress reactivity in college students. *Int J Psychophysiol.* 2009;71(2):170–176. doi: 10.1016/j.ijpsycho.2008.09.007. - [DOI⁴⁴⁴](#) - [PubMed⁴⁴⁵](#)

Phongsuphap S, Pongsupap Y, Chandanamattha P, Lursinsap C. Changes in heart rate variability during concentration meditation. *Int J Cardiol.* 2008;130(3):481–484. doi: 10.1016/j.ijcard.2007.06.103. - [DOI⁴⁴⁶](#) - [PubMed⁴⁴⁷](#)

Nesvold A, Fagerland MW, Davanger S, Ellingsen Ø, Solberg EE, Holen A, et al. Increased heart rate variability during nondirective meditation. *Eur J Prev Cardiol.* 2012;19(4):773–80. doi: 10.1177/1741826711414625. - [DOI⁴⁴⁸](#) - [PubMed⁴⁴⁹](#)

Léonard A, Clément S, Kuo CD, Manto M. Changes in heart rate variability during heartfulness meditation: a power spectral analysis including the residual spectrum. *Front Cardiovasc Med.* 2019;14(6):62. doi: 10.3389/fcvm.2019.00062. - [DOI⁴⁵⁰](#) - [PMC⁴⁵¹](#) - [PubMed⁴⁵²](#)

Pasquini HA, Tanaka GK, Basile LFH, Velasques B, Lozano MD, Ribeiro P. Electrophysiological correlates of long-term Soto Zen meditation. *Biomed Res Int.* 2015;2015:598496. doi: 10.1155/2015/598496. - [DOI⁴⁵³](#) - [PMC⁴⁵⁴](#) - [PubMed⁴⁵⁵](#)

Cipresso P, Serino S, Borghesi F, Tartarisco G, Riva G, Poggia G, et al. Continuous measurement of stress levels in naturalistic settings using heart rate variability: an experience-sampling study driving a machine learning approach. *Acta IMEKO.* 2021;10(4):239. doi: 10.21014/acta_imeko.v10i4.1183. - [DOI⁴⁵⁶](#)

Berntson GG, Thomas Bigger J, Eckberg DL, Grossman P, Kaufmann PG, Malik M, et al. Heart rate variability: origins, methods, and interpretive caveats. *Psychophysiology.* 1997;34(6):623–648. doi: 10.1111/j.1469-8986.1997.tb02140.x. - [DOI⁴⁵⁷](#) - [PubMed⁴⁵⁸](#)

Acharya UR, Joseph KP, Kannathal N, Lim CM, Suri JS. Heart rate variability: a review. *Med Biol Eng Comput.* 2006;44(12):1031–1051. doi: 10.1007/s11517-006-0119-0. - [DOI⁴⁵⁹](#) - [PubMed⁴⁶⁰](#)

Fell J, Axmacher N, Haupt S. From alpha to gamma: Electrophysiological correlates of meditation-related states of consciousness. *Med Hypotheses.* 2010;75(2):218–224. doi: 10.1016/j.mehy.2010.02.025. - [DOI⁴⁶¹](#) - [PubMed⁴⁶²](#)

Rodriguez-Larios J, Faber P, Achermann P, Tei S, Dalaerts K. From thoughtless awareness to effortful cognition: alpha - theta cross-frequency dynamics in experienced meditators during meditation, rest and arithmetic. *Sci Rep.* 2020;10(1):1–11. doi: 10.1038/s41598-020-62392-2. - [DOI⁴⁶³](#) - [PMC⁴⁶⁴](#) - [PubMed⁴⁶⁵](#)

Cahn BR, Delorme A, Polich J. Occipital gamma activation during Vipassana meditation. *Cogn Brain Res.* 2010;11(1):39–56. doi: 10.1007/s10339-009-0352-1. - [DOI⁴⁶⁶](#) - [PMC⁴⁶⁷](#) - [PubMed⁴⁶⁸](#)

Borghesi F, Chirico A, Pedroli E, Cipriani GE, Canessa N, Amanzio M, et al. Exploring Biomarkers of mental flexibility in healthy aging: a computational psychometric study. *Sensors (Basel)* 2023;23(15):6983. doi: 10.3390/s23156983. - [DOI⁴⁶⁹](#) - [PMC⁴⁷⁰](#) - [PubMed⁴⁷¹](#)

Fang, S., & Zhang, W. (2024). Heart-Brain Axis: A Narrative Review of the Interaction between Depression and Arrhythmia. *Biomedicines*, 12 (8), 1719. [Crossref⁴⁷²](#)

Gullett N., Zajkowska Z., Walsh A., Harper R., Mondelli V. Heart rate variability (HRV) as a way to understand associations between the autonomic nervous system (ANS) and affective states: A critical review of the literature. *Int. J. Psychophysiol.* 2023;192:35–42. doi: 10.1016/j.ijpsycho.2023.08.001. - [DOI⁴⁷³](#) - [PubMed⁴⁷⁴](#)

Bassett D. A literature review of heart rate variability in depressive and bipolar disorders. *Aust. New Zealand J. Psychiatry.* 2015;50:511–519. doi: 10.1177/0004867415262689. - [DOI⁴⁷⁵](#)

437. <https://www.ncbi.nlm.nih.gov/pmc/articles/pmc4060143/>

438. <https://pubmed.ncbi.nlm.nih.gov/24939519/>

439. <https://www.ncbi.nlm.nih.gov/pmc/articles/pmc3988787/>

440. <https://pubmed.ncbi.nlm.nih.gov/24748422/>

441. <https://doi.org/10.1016/j.ibror.2020.10.006>

442. <https://www.ncbi.nlm.nih.gov/pmc/articles/pmc7649620/>

443. <https://pubmed.ncbi.nlm.nih.gov/33204893/>

444. <https://doi.org/10.1016/j.ijpsycho.2008.09.007>

445. <https://pubmed.ncbi.nlm.nih.gov/18854202/>

446. <https://doi.org/10.1016/j.ijcard.2007.06.103>

447. <https://pubmed.ncbi.nlm.nih.gov/17764770/>

448. <https://doi.org/10.1177/1741826711414625>

449. <https://pubmed.ncbi.nlm.nih.gov/21693507/>

450. <https://doi.org/10.3389/fcvm.2019.00062>

451. <https://www.ncbi.nlm.nih.gov/pmc/articles/pmc6527777/>

452. <https://pubmed.ncbi.nlm.nih.gov/31139634/>

453. <https://doi.org/10.1155/2015/598496>

454. <https://www.ncbi.nlm.nih.gov/pmc/articles/pmc4302970/>

455. <https://pubmed.ncbi.nlm.nih.gov/25632397/>

456. https://doi.org/10.21014/acta_imeko.v10i4.1183

457. <https://doi.org/10.1111/j.1469-8986.1997.tb02140.x>

458. <https://pubmed.ncbi.nlm.nih.gov/9401419/>

459. <https://doi.org/10.1007/s11517-006-0119-0>

460. <https://pubmed.ncbi.nlm.nih.gov/17111118/>

461. <https://doi.org/10.1016/j.mehy.2010.02.025>

462. <https://pubmed.ncbi.nlm.nih.gov/20227193/>

463. <https://doi.org/10.1038/s41598-020-62392-2>

464. <https://www.ncbi.nlm.nih.gov/pmc/articles/pmc7096392/>

465. <https://pubmed.ncbi.nlm.nih.gov/32214173/>

466. <https://doi.org/10.1007/s10339-009-0352-1>

467. <https://www.ncbi.nlm.nih.gov/pmc/articles/pmc2812711/>

468. <https://pubmed.ncbi.nlm.nih.gov/20013298/>

469. <https://doi.org/10.3390/s23156983>

470. <https://www.ncbi.nlm.nih.gov/pmc/articles/pmc10422551/>

471. <https://pubmed.ncbi.nlm.nih.gov/3751766/>

472. <https://doi.org/10.3390/biomedicines12081719>

473. <https://doi.org/10.1016/j.ijpsycho.2023.08.001>

474. <https://pubmed.ncbi.nlm.nih.gov/37543289/>

475 - PubMed⁴⁷⁶

Zhu J., Ji L., Liu C. Heart rate variability monitoring for emotion and disorders of emotion. *Physiol. Meas.* 2019;40:064004. doi: 10.1088/1361-6579/ab1887. - DOI⁴⁷⁷ - PubMed⁴⁷⁸

Chalmers J.A., Quintana D.S., Abbott M.J., Kemp A.H. Anxiety Disorders are Associated with Reduced Heart Rate Variability: A Meta-Analysis. *Front. Psychiatry.* 2014;5:80. doi: 10.3389/fpsy.2014.00080. - DOI⁴⁷⁹ - PMC⁴⁸⁰ - PubMed⁴⁸¹

Chang H.A., Chang C.C., Chen C.L., Kuo T.B., Lu R.B., Huang S.Y. Major depression is associated with cardiac autonomic dysregulation. *Acta Neuropsychiatr.* 2012;24:318–327. doi: 10.1111/j.1601-5215.2011.00647.x. - DOI⁴⁸² - PubMed⁴⁸³

Burke J.H., Goldberger J.J., Ehler F.A., Kruse J.T., Parker M.A., Kadish A.H. Gender differences in heart rate before and after autonomic blockade: Evidence against an intrinsic gender effect. *Am. J. Med.* 1996;100:537–543. doi: 10.1016/S0002-9343(96)00018-6. - DOI⁴⁸⁴ - PubMed⁴⁸⁵

Kittner O. Sex Related Differences in Electrocardiography. *Physiol. Res.* 2023;72:S127–S135. doi: 10.33549/physiolres.934952. - DOI⁴⁸⁶ - PMC⁴⁸⁷ - PubMed⁴⁸⁸

Kotov R., Gamez W., Schmidt F., Watson D. Linking “big” personality traits to anxiety, depressive, and substance use disorders: A meta-analysis. *Psychol. Bull.* 2010;136:768–821. doi: 10.1037/a0020327. - DOI⁴⁸⁹ - PubMed⁴⁹⁰

Godin P.J., Buchman T.G. Uncoupling of biological oscillators: A complementary hypothesis concerning the pathogenesis of multiple organ dysfunction syndrome. *Crit. Care Med.* 1996;24:1107–1116. doi: 10.1097/00003246-199607000-00008. - DOI⁴⁹¹ - PubMed⁴⁹²

Wang, L., Hao, J., & Zhou, T. H. (2023). ECG Multi-Emotion Recognition Based on Heart Rate Variability Signal Features Mining. *Sensors (Basel, Switzerland)*, 23 (20), 8636. [Crossref⁴⁹³](#)

Cai Y., Li X., Li J. Emotion Recognition Using Different Sensors, Emotion Models, Methods and Datasets: A Comprehensive Review. *Sensors.* 2023;23:2455. doi: 10.3390/s23052455. - DOI⁴⁹⁴ - PMC⁴⁹⁵ - PubMed⁴⁹⁶

Xiefeng, C., Wang, Y., Dai, S., Zhao, P., & Liu, Q. (2019). Heart sound signals can be used for emotion recognition. *Scientific reports*, 9 (1), 6486. [Crossref⁴⁹⁷](#)

Hasnul, M. A., Ab Aziz, N. A., & Abd Aziz, A. (2023). Augmenting ECG Data with Multiple Filters for a Better Emotion Recognition System. *Arabian journal for science and engineering*, 1–22. Advance online publication. [Crossref⁴⁹⁸](#)

- 475. <https://doi.org/10.1177/0004867415622689>
- 476. <https://pubmed.ncbi.nlm.nih.gov/26698824/>
- 477. <https://doi.org/10.1088/1361-6579/ab1887>
- 478. <https://pubmed.ncbi.nlm.nih.gov/30974428/>
- 479. <https://doi.org/10.3389/fpsy.2014.00080>
- 480. <http://www.ncbi.nlm.nih.gov/pmc/articles/pmc4092363/>
- 481. <https://pubmed.ncbi.nlm.nih.gov/25071612/>
- 482. <https://doi.org/10.1111/j.1601-5215.2011.00647.x>
- 483. <https://pubmed.ncbi.nlm.nih.gov/23287173/>
- 484. [https://doi.org/10.1016/s0002-9343\(96\)00018-6](https://doi.org/10.1016/s0002-9343(96)00018-6)
- 485. <https://pubmed.ncbi.nlm.nih.gov/8644766/>
- 486. <https://doi.org/10.33549/physiolres.934952>
- 487. <http://www.ncbi.nlm.nih.gov/pmc/articles/pmc10660582/>
- 488. <https://pubmed.ncbi.nlm.nih.gov/37565417/>
- 489. <https://doi.org/10.1037/a0020327>
- 490. <https://pubmed.ncbi.nlm.nih.gov/20804236/>
- 491. <https://doi.org/10.1097/00003246-199607000-00008>
- 492. <https://pubmed.ncbi.nlm.nih.gov/8674321/>
- 493. <https://doi.org/10.3390/s23052455>
- 494. <https://doi.org/10.3390/s23052455>
- 495. <http://www.ncbi.nlm.nih.gov/pmc/articles/pmc10007272/>
- 496. <https://pubmed.ncbi.nlm.nih.gov/36904659/>
- 497. <https://doi.org/10.1038/s41598-019-42826-2>
- 498. <https://doi.org/10.1007/s13369-022-07585-9>

Hasnul, M. A., Aziz, N. A. A., Alelyani, S., Mohana, M., & Aziz, A. A. (2021). Electrocardiogram-Based Emotion Recognition Systems and Their Applications in Healthcare-A Review. *Sensors (Basel, Switzerland)*, 21 (15), 5015. [Crossref⁴⁹⁹](#)

Li, Y., Tan, R., Lin, T., Liu, Q., Wang, C. D., & Chen, M. (2024). ER-GET: Emotion Recognition Based on Global ECG Trajectory. *IEEE journal of biomedical and health informatics*, 28 (9), 5201–5213. [Crossref⁵⁰⁰](#)

Woods, R. A., & Hill, P. B. (2022). Myers Brigg. In *StatPearls*. StatPearls Publishing. [PubMed⁵⁰¹](#)

Wallick, M. M., & Cambre, K. M. (1999). Personality types in academic medicine. *The Journal of the Louisiana State Medical Society: official organ of the Louisiana State Medical Society*, 151 (7), 378–383. [PubMed⁵⁰²](#)

Tobacyk, J. J., Livingston, M. M., & Robbins, J. E. (2008). Relationships between Myers-Briggs type indicator measure of psychological type and neo measure of big five personality factors in Polish University students: a preliminary cross-cultural comparison. *Psychological reports*, 103 (2), 588–590. [Crossref⁵⁰³](#)

Eicke, F. J., Blake, G., & Replogle, W. (1993). A comparative view of the Myers-Briggs type indicator. *Family medicine*, 25 (3), 186–190. [PubMed⁵⁰⁴](#)

Electromagnetism

Blank, Martin; Goodman, Reba . (2011). DNA is a fractal antenna in electromagnetic fields. *International Journal of Radiation Biology*, 87(4), 409–415. [Crossref⁵⁰⁵](#)

Cantero, M.d.R., Villa Etchegoyen, C., Perez, P.L. et al. Bundles of Brain Microtubules Generate Electrical Oscillations. *Sci Rep* 8, 11899 (2018). [Crossref⁵⁰⁶](#)

Gutierrez, B.C., Cantiello, H.F. & Cantero, M. The electrical properties of isolated microtubules. *Sci Rep* 13, 10165 (2023). [Crossref⁵⁰⁷](#)

Meijer, Dirk. (2018). Processes of Science and Art Modeled as a Holoflux of Information Using Toroidal Geometry. *Open Journal of Philosophy*. 8. 365-400. [10.4236/ojpp.2018.84026⁵⁰⁸](#)

Kuman, Maria. (2018). Our Weak Nonlinear Electromagnetic Field (Nemf) that Rules Everything in the Body is Emotionally Sensitive. *Journal of Complementary Medicine & Alternative Healthcare*. 8. [10.19080/JCMAH.2018.08.555731⁵⁰⁹](#)

- 499. <https://doi.org/10.3390/s21155015>
- 500. <https://doi.org/10.1109/JBHI.2024.3403188>
- 501. <https://pubmed.ncbi.nlm.nih.gov/32119483/>
- 502. <https://pubmed.ncbi.nlm.nih.gov/10474985/>
- 503. <https://doi.org/10.2466/prt.103.2.588-590>
- 504. <https://pubmed.ncbi.nlm.nih.gov/8458560/>
- 505. <https://doi.org/10.3109/09553002.2011.538130>
- 506. <https://doi.org/10.1038/s41598-018-30453-2>
- 507. <https://doi.org/10.1038/s41598-023-36801-1>
- 508. https://www.researchgate.net/publication/326972894_Processes_of_Science_and_Art_Modeled_as_a_Holoflux_of_Information_Using_Toroidal_Geometry
- 509. https://www.researchgate.net/publication/330217977_Our_Weak_Nonlinear_Electromagnetic_Field_Nemf_that_Rules_Everything_in_the_Body_is_Emotionally_Sensitive

Uzupełnienie 3. Bibliografia

1. **"Prology: spełnij swój projekt życia - Księga 1: choroba, uzdrowienie, transmutacja: ścieżka zasobów"** autorstwa Christine Degoy
Innowacyjny przewodnik, który ponownie bada zdrowie i dobre samopoczucie poprzez podejście systemowe, umożliwiając ponowne zdefiniowanie swojej egzystencji i uzyskanie dostępu do głębszego zrozumienia swojego projektu życiowego. Ta książka daje narzędzia potrzebne do kulturowania wewnętrznej komunikacji, przekształcenia postrzegania rzeczywistości i pełnego ucielesnienia swojej racji bytu.

2. **"Prologia: odkryj na nowo sens życia - Księga 2: Projekt życia w ciele: zrozum, odblokuj, przekształć"** autorstwa Christine Degoy.
Zanurz się w prologicznym dekodowaniu organów, aby odkryć, w jaki sposób każda część twojego ciała odzwierciedla głębsze wymiary twojego istnienia. Ta książka bada powiązania między doświadczeniami życiowymi a zdrowiem fizycznym, oferując klucze do zrozumienia, odblokowania i transmutacji blokad energetycznych. Skupiając się na wewnętrznych zasobach i ukrytych potencjalach, książka ta zaprasza Państwa do przyjęcia projektu życia poprzez holistyczną wizję, umożliwiając harmonizację ciała i umysłu w celu pełnego spełnienia życia.

Energia i medycyna elektryczna

3. **"The Body Electric: Elektromagnetyzm i podstawy życia"** autorstwa Roberta Beckera i Gary'ego Seldena
Ta przełomowa książka bada pole elektromagnetyczne ludzkiego ciała i jego głębokie implikacje dla uzdrawiania, przepływu energii i zdrowia. Badania Beckera nad bioelektrycznością zapewniają niezbędny wgląd w rozumienie nauki stojącej za systemami energetycznymi organizmu.
4. **"Iskra w maszynie: Jak nauka o akupunkturze wyjaśnia tajemnice zachodniej medycyny"** autorstwa dr Daniela Keowna
Praca dr Keowna wypełnia lukę między zachodnią nauką medyczną a starożytną praktyką akupunktury, oferując kompleksowe wyjaśnienie, w jaki sposób energia przepływa przez ciało i jak można ją wykorzystać do leczenia.
5. **"Medycyna energetyczna: Podstawy naukowe"** autorstwa Jamesa L. Oschmana
Książka ta oferuje dogłębną eksplorację nauki stojącej za medycyną energetyczną, przedstawiając dowody na to, jak pola elektromagnetyczne, meridiany i inne systemy energetyczne wpływają na zdrowie. Oschman czerpie z fizyki i biologii, aby wyjaśnić systemy energetyczne organizmu w sposób, który uzupełnia zarówno konwencjonalne, jak i alternatywne praktyki lecznicze.
6. **"Medycyna wibracyjna: The #1 Handbook of Subtle-Energy Therapies"** autorstwa Richarda Gerbera
Klasyczny tekst Gerbera jest niezbędnym źródłem do zrozumienia dziedziny medycyny subtelnej energii. Zapewnia szczegółowy przegląd pól energetycznych, czakr i tego, jak terapie wibracyjne działają w celu uzdrowienia ciała i umysłu.
7. **"Cross Currents: The Perils of Electropollution, the Promise of Electromedicine"** autorstwa Roberta O. Beckera
Książka ta, będąca kontynuacją książki *"The Body Electric"*, bada konsekwencje zdrowotne nowoczesnej technologii elektrycznej, jednocześnie badając, w jaki sposób terapia elektromagnetyczna może pomóc w leczeniu.
8. **"Biology of Belief: Uwolnienie mocy świadomości, materii i cudów"** autorstwa Bruce'a H. Liptona
Ta książka zagłębia się w skrzyżowanie biologii i wiary, pokazując, jak umysł wpływa na ciało na poziomie komórkowym. Lipton wyjaśnia, w jaki sposób pola energetyczne i świadomość wpływają na procesy biologiczne.
9. **"The Field: The Quest for the Secret Force of the Universe"** autorstwa Lynne McTaggart
McTaggart bada najnowocześniejszą naukę o polu punktu zerowego, uniwersalnym polu energetycznym, które łączy całą materię. Książka ta oferuje wgląd w energetyczną naturę życia i sposób, w jaki możemy wykorzystać tę energię do uzdrawiania.
10. **"Uzdrowianie to napięcie: Podręcznik"** autorstwa Jerry'ego Tennanta
Dr Tennant wyjaśnia, w jaki sposób napięcie w ciele, szczególnie na poziomie komórkowym, ma kluczowe znaczenie dla zdrowia. Zapewnia kompleksowe spojrzenie na to, jak utrzymanie właściwego potencjału elektrycznego ma fundamentalne znaczenie dla uzdrawiania i dobrego samopoczucia.

Współczesna duchowość

11. **"My Big TOE (Teoria wszystkiego)"** autorstwa Thomasa Campbella
Kompleksowa trylogia, która bada naturę rzeczywistości, świadomości i związku między tym, co fizyczne i metafizyczne. Campbell, fizyk i badacz świadomości, łączy naukę i duchowość, aby przedstawić model istnienia, który wspiera medytację, zmienione stany świadomości i rozumienie energii we wszechświecie.
12. **"The Mind Illuminated: A Complete Meditation Guide Integrating Buddhist Wisdom and Brain Science for Greater Mindfulness"** autorstwa Johna Yatesa (Culadasa)
Przewodnik Culadasy to dokładne, krok po kroku wyjaśnienie praktyki medytacyjnej zakorzenionej zarówno w starożytnych naukach buddyjskich, jak i współczesnej neuronauce. Wypełnia on lukę między tradycyjnymi technikami medytacyjnymi a współczesnym naukowym rozumieniem mózgu.
13. **"Altered Traits: Science Reveals How Meditation Changes Your Mind, Brain, and Body"** autorstwa Daniela Golemana i Richarda J. Davidsona
Książka ta zagłębia się w badania naukowe otaczające medytację, badając jej głęboki wpływ na mózg i ciało. Goleman i Davidson czerpią z dziesięcioleci badań, aby wyjaśnić, w jaki sposób medytacja prowadzi do trwałych zmian psychologicznych i fizjologicznych.
14. **"Przebudzenie: Przewodnik po duchowości bez religii"** Sama Harris
Sam Harris, neuronaukowiec i filozof, przedstawia racjonalne podejście do duchowości i medytacji, oparte zarówno na nauce, jak i osobistym doświadczeniu. Jego książka koncentruje się w szczególności na tym, w jaki sposób medytacja może prowadzić do głębokich zmian w percepcji i rozumieniu świadomości, bez potrzeby stosowania ram religijnych.
15. **"The Power of Now: Przewodnik po duchowym oświeceniu"** Eckharta Tolle'a
Powszechnie czytana książka Tolle'a podkreśla znaczenie uważności i pozostawania obecnym w danej chwili. Jego nauki oferują praktyczny wgląd w to, jak żyć pełniej i uważniej, co jest zgodne z energetycznymi i psychicznymi aspektami dobrego samopoczucia omawianymi w *Sing the Body Electric*.
16. **"Real Magic: Ancient Wisdom, Modern Science, and a Guide to the Secret Power of the Universe"** autorstwa Deana Radina
Radin, wiodący badacz w dziedzinie parapsychologii, bada naukowe dowody na zjawiska takie jak telepatia, prekognicja i psychokineza, rysując powiązania między świadomością, energią i szerszą strukturą rzeczywistości. Książka ta stanowi podstawę do zrozumienia innych rzeczywistości poza fizyczną.
17. **"Fizyka świadomości: Kwantowy umysł i sens życia"** autorstwa Evana Harris Walkera
Ta książka zagłębia się w fizykę kwantową i jej związek ze świadomością. Walker bada rolę obserwatora w mechanice kwantowej i przedstawia teorię, że świadomość ma fundamentalne znaczenie dla wszechświata, przyczyniając się do szerszego zrozumienia energii i istnienia.
18. **"Tajemna doktryna"** autorstwa H.P. Blavatsky
Ten fundamentalny tekst teozofii bada naturę wszechświata, świadomości i duchowej ewolucji.
19. **"Filozofia wieczysta"** Aldousa Huxleya
Huxley bada wspólne wątki duchowości w różnych religiach, podkreślając uniwersalne prawdy.

20. **"Ludzkie przeznaczenie"** Pierre Lecomte du Noüy
ta książka bada skrzyżowanie nauki, filozofii i religii, argumentując za ideą, że ewolucja człowieka jest kierowana przez boski cel. Omawia duchowy potencjał ludzkości i moralne obowiązki wynikające z ludzkiej świadomości.
21. **"Droga do rozumu"** Pierre'a Lecomte'a du Noüy'a
w tym filozoficznym dziele Lecomte du Noüy omawia znaczenie rozumu i myśli naukowej w rozumieniu wszechświata. Zagłębia się również w to, w jaki sposób postęp naukowy powinien być zintegrowany z rozwojem moralnym i duchowym.
34. **"Gifts Differing: Zrozumieć typ osobowości"** autorstwa Isabel Briggs Myers i Petera B. Myersa
Książka ta wyjaśnia system typów osobowości MBTI, który opiera się na typach psychologicznych Junga. Zapewnia wgląd w to, jak różne typy osobowości oddziałują na siebie i jak wpływają na życie osobiste i zawodowe.

Cyfrowe przetwarzanie sygnałów

22. **"Zrozumieć cyfrowe przetwarzanie sygnałów"** autorstwa Richarda G. Lyonsa
Książka ta stanowi jasne i przystępne wprowadzenie do cyfrowego przetwarzania sygnałów (DSP), czyniąc złożone koncepcje zrozumiałymi nawet dla początkujących. Obejmuje tematy takie jak filtrowanie, analiza Fouriera i teoria próbkowania w praktyczny i łatwy do naśladowania sposób, idealny dla osób zainteresowanych podstawami przetwarzania sygnałów do analizy dźwięku.
23. **"The Scientist and Engineer's Guide to Digital Signal Processing"** autorstwa Stevena W. Smitha
Popularna, łatwa w czytaniu książka, która wprowadza koncepcje DSP z praktycznymi przykładami i zastosowaniami. Jest to darmowy zasób online, który wyjaśnia, jak działa przetwarzanie sygnału za pomocą przewodników krok po kroku i rzeczywistych przykładów, dzięki czemu jest bardzo przystępny dla początkujących, szczególnie tych zainteresowanych analizą sygnału audio i muzycznego.
24. **"Cyfrowe przetwarzanie sygnałów audio"** autorstwa Udo Zölzera
Książka ta wprowadza w zasady i zastosowania cyfrowego przetwarzania sygnałów audio, koncentrując się na takich obszarach jak filtry cyfrowe, efekty dźwiękowe i analiza czasowo-częstotliwościowa. Materiał jest techniczny, ale przedstawiony w sposób przystępny dla czytelników z podstawową wiedzą na temat DSP.
25. **"An Introduction to Audio Content Analysis: Zastosowania w przetwarzaniu sygnałów i informatyce muzycznej"** autorstwa Alexandra Lercha
Tekst ten jest szczególnie przydatny dla osób zainteresowanych przetwarzaniem sygnałów audio i muzycznych. Wprowadza on techniki analizy treści audio, takich jak struktura muzyczna, rytm i harmonia, przy użyciu algorytmów przetwarzania sygnału. Książka jest praktyczna i przystępna zarówno dla studentów, jak i profesjonalistów.
26. **"Projektowanie wtyczek efektów audio w języku C: z teorią cyfrowego przetwarzania sygnałów audio"** autorstwa Will Pirkle
Dla tych, którzy chcą zagłębić się w aplikacyjną stronę przetwarzania sygnałów audio, książka ta jest przyjaznym dla użytkownika wprowadzeniem do kodowania i projektowania efektów audio przy użyciu programowania C. Jest idealna dla początkujących, którzy chcą zrozumieć, w jaki sposób można zastosować DSP do tworzenia efektów dźwiękowych w czasie rzeczywistym.

Jung i nieświadomość

27. **"Wspomnienia, sny, refleksje"** Carla G. Junga
Ta na wół autobiograficzna książka obejmuje życie Junga i jego kluczowe idee, w tym rozwój koncepcji takich jak nieświadomość zbiorowa, archetypy i cień. Zapewnia osobisty wgląd w jego teorie psychologiczne.
28. **"Archetypy i nieświadomość zbiorowa"** Carla G. Junga
Ta książka jest centralnym tekstem w psychologii jungowskiej, w którym przedstawia on swoje teorie dotyczące nieświadomego umysłu, w szczególności nieświadomości zbiorowej i jej archetypowych obrazów. Jest to fundamentalna lektura dla zrozumienia idei Junga dotyczących osobowości i psychiki.
29. **"Typy psychologiczne"** autorstwa Carla G. Junga
W tej pracy Jung przedstawia swoją teorię typów psychologicznych, która później wpłynęła na rozwój wskaźnika typu Myers-Briggs (MBTI). Omawia dychotomię introwersji i ekstrawersji, a także inne funkcje psychologiczne, które kształtują osobowość.
30. **"Człowiek i jego symbole"** autorstwa Carla G. Junga
Napisana jako przystępne wprowadzenie do myśli jungowskiej, książka ta zagłębia się w wykorzystanie symboli w snach i sztuce jako reprezentacji nieświadomych procesów. Jest przeznaczona dla szerszego grona odbiorców i oferuje wgląd w ludzką psychikę.
31. **"Nieodkryte ja"** autorstwa Carla G. Junga
Jung bada konflikt między indywidualną potrzebą rozwoju osobistego a presją społecznego społeczeństwa. Podkreśla znaczenie samoświadomości w poruszaniu się po nieświadomych i cieniowych aspektach osobowości.
32. **"Owning Your Own Shadow: Understanding the Dark Side of the Psyche"** autorstwa Roberta A. Johnsona
Praktyczny przewodnik do zrozumienia koncepcji cienia Junga, książka ta wyjaśnia, jak rozpoznać i zintegrować jaźń cienia dla równowagi psychicznej i rozwoju osobistego.
33. **"Jungowska mapa duszy: wprowadzenie"** autorstwa Murraya Steina
Książka ta oferuje wprowadzenie do teorii osobowości Junga, w tym jego pomysłów na temat cienia, nieświadomości i indywidualności. Jest to dobre źródło informacji dla tych, którzy dopiero zaczynają przygodę z psychologią jungowską.

Uzdrawianie dźwiękami

35. **"Uzdrawiająca moc dźwięku: Uzdrawianie z zagrażających życiu chorób za pomocą dźwięku, głosu i muzyki"** autorstwa Mitchella L. Gaynora
Ta książka zagłębia się w wykorzystanie terapii dźwiękiem do leczenia, koncentrując się na tym, w jaki sposób wibracje i częstotliwości mogą być wykorzystywane do wspomagania powrotu do zdrowia po chorobie. Gaynor, onkolog, łączy wiedzę medyczną z praktykami uzdrawiania dźwiękiem.
36. **"Dostrajanie ludzkiego biopola: Uzdrawianie wibracyjną terapią dźwiękową"** autorstwa Eileen Day McKusick
McKusick bada anatomie biopola, omawiając, w jaki sposób dźwięk, częstotliwość i wibracje wpływają na ludzkie pole energetyczne. Książka zawiera informacje na temat tego, w jaki sposób widelki stroikowe i inne narzędzia dźwiękowe mogą promować uzdrawianie.
37. **"Uzdrawiające dźwięki: Moc harmonii"** autorstwa Jonathana Goldmana
Książka ta wyjaśnia koncepcje wykorzystania dźwięku i harmonii do uzdrawiania ciała i umysłu. Zawiera praktyczne techniki uzdrawiania dźwiękiem, takie jak tonowanie głosu i praca z podtekstami.
38. **"Medycyna dźwięku: Jak wykorzystać starożytną naukę o dźwięku do uzdrawiania ciała i umysłu"** autorstwa Kulreet Chaudhary
Książka ta łączy starożytną medycynę ajurwedyjską z nowoczesnymi praktykami terapii dźwiękiem. Chaudhary wyjaśnia, w jaki sposób częstotliwości dźwięku i wibracje mogą być wykorzystywane do leczenia i dobrego samopoczucia, od mantr po nowoczesne technologie dźwiękowe.

Pionierzy

39. **"Implozja: Sekretne nauki ekstazy i nieśmiertelności"** Dana Wintera
Dan Winter bada fraktalną naturę rzeczywistości, szczególnie w odniesieniu do świadomości, aktywności elektrycznej serca i bioenergetyki. Jego praca łączy koncepcje świętej geometrii, implozji i fizyki rozkoszy.
40. **"Czasoprzestrzeń fraktalna i święta geometria"** Dana Wintera
Książka ta zagłębia się w geometrię świadomości i ludzkiego pola energetycznego, podkreślając implikacje struktur fraktalnych w biologii, spójności serca i głębszym rozumieniu wszechświata.
41. **"Decoding the Human Body-Field: Nowa nauka o informacji jako medycynie"** autorstwa Petera H. Fräsera
Peter H. Fraser, pionier w dziedzinie bioenergetyki, bada systemy informacyjne organizmu lub "złowiecze pole ciała" wyjaśniając, w jaki sposób wpływa ono na zdrowie i leczenie. Jego praca integruje biologię kwantową i współczesną medycynę z praktykami uzdrawiania energetycznego.
42. **(brak książki) Joël Sternheimer**
Praca Sternheimera przedstawia teorię tego, jak nuty muzyczne odpowiadają procesom biologicznym. Bada on koncepcję "protein music," sugerując, że określone częstotliwości mogą wpływać na interakcje molekularne w żywych organizmach.

Świadomość, energia i rzeczywistość

43. **"Czwarta faza wody: Beyond Solid, Liquid, and Vapor"** autorstwa Geralda Pollacka
Pollack przedstawia przełomowe badania nad właściwościami wody i ich implikacjami dla biologii i medycyny energetycznej.
44. **"LSD i umysł wszechświata"** autorstwa Christophera Bache'a
Bache bada skrzyżowanie psychodelików, świadomości i natury rzeczywistości poprzez osobiste doświadczenia i naukowe spostrzeżenia.
45. **"Świadomość poza życiem: The Science of the Near-Death Experience"** autorstwa Pima van Lommel
Van Lommel zapewnia kompleksowe badanie doświadczeń bliskich śmierci, ich implikacji dla świadomości i ciągłości jaźni poza fizyczną egzystencją.
46. **"Człowiek, który nie wierzył w cuda"** Didiera Van Cauwelaerta
Ta powieść przeplata tematy świadomości i fizyki kwantowej, badając naturę rzeczywistości i wiary poprzez fascynującą narrację.
47. **"Zdrowy cel: impulsy do samoleczenia"** autorstwa Folkera Meissnera
Meissner bada naukowe zasady łączące u podstaw medycyny energetycznej, oferując wgląd w jej potencjał terapeutyczny i mechanizmy.
48. **"Connected: Pojawienie się globalnej świadomości"** autorstwa Rogera Nelsona
Nelson bada wzajemne powiązania ludzkiej świadomości i implikacje dla zrozumienia zbiorowych doświadczeń i globalnej świadomości.

49. **"Woda morfogeniczna - zdrowie - informacje i pola świadomości"** autorstwa Marca Henry'ego
Henry omawia znaczenie wody w systemach biologicznych i jej rolę jako medium dla transferu energii i świadomości.
50. **"Życie po życiu"** Raymonda Moody'ego
Przełomowa praca Moody'ego wprowadza koncepcję doświadczeń bliskich śmierci i przedstawia liczne studia przypadków, które podkreślają wspólne elementy zgłaszane przez osoby, które miały takie doświadczenia.
51. **"Embraced by the Light"** autorstwa Betty J. Eadie
Ten pamiętnik opowiada o doświadczeniu bliskiej śmierci Eadie, dzieląc się swoimi spostrzeżeniami i głębokimi duchowymi objawieniami, które napotkała podczas swojej podróży.
52. **"Proof of Heaven: Podróż neurochirurga w zaświaty"** autorstwa Ebena Alexandra
Alexander, neurochirurg, dzieli się swoim własnym doświadczeniem bliskim śmierci i oferuje fascynującą relację, która podważa konwencjonalne naukowe poglądy na świadomość i życie pozagrobowe.
53. **"Dying to Be Me: My Journey from Cancer, to Near Death, to True Healing"** autorstwa Anity Moorjani
Moorjani dzieli się swoim transformującym doświadczeniem bliskim śmierci podczas walki z rakiem i potężnymi lekcjami na temat samoakceptacji i uzdrowienia, których się nauczyła.
54. **"Podróże poza ciałem"** Roberta A. Monroe'a
Ta klasyczna książka dokumentuje osobiste doświadczenia Monroe z podróżami poza ciałem i bada możliwości ludzkiej świadomości poza ciałem fizycznym. Jest powszechnie uważana za jeden z podstawowych tekstów w badaniach nad świadomością.
55. **"Dalekie podróże"** Roberta A. Monroe'a
Ta kontynuacja "Journeys Out of the Body" zagłębia się w podróże Monroe'a poza płaszczyznę fizyczną, gdzie bada różne wymiary istnienia i rozszerza swoje rozumienie świadomości.
56. **"Ostateczna podróż"** Roberta A. Monroe'a
W tej ostatniej książce trylogii Monroe dzieli się spostrzeżeniami ze swoich doświadczeń w odmiennych stanach świadomości, koncentrując się na takich tematach, jak życie pozagrobowe, natura istnienia i ludzki cel.
57. **"Świadomość kosmiczna"** Richarda M. Bucke'a
Bucke opisuje swoje własne doświadczenie kosmicznej świadomości i bada jej implikacje dla duchowej ewolucji.
58. **"Droga wiedzy Yaqui"** Carlosa Castanedy
Ta książka zagłębia się w praktyki szamańskie i naturę rzeczywistości poprzez praktykę Castanedy u szamana Yaqui.

Bioetyka i medycyna

59. **"Bioetyka: Zasady, zagadnienia i przypadki"** autorstwa Lewisa Vaughna
Vaughn przedstawia kluczowe zasady i kwestie etyczne w praktyce medycznej, dostarczając studia przypadków do rzeczywistych zastosowań.

Studia nad świadomością

60. **"Świadomość i wszechświat: Fizyka kwantowa, ewolucja, mózg i umysł"** autorstwa Sir Rogera Penrose'a i Sturta Hameroffa
Ten zbiór esejów bada kwantowe pochodzenie świadomości, łącząc spostrzeżenia z fizyki, neuronauki i filozofii, aby zbadać, w jaki sposób procesy kwantowe w mózgu mogą wyjaśniać świadome doświadczenie.
61. **"Świadomość wyjaśniona"** Daniela Dennetta
Dennett przedstawia kompleksową teorię świadomości, argumentując przeciwko tradycyjnym poglądom i oferując wgląd w działanie umysłu.
62. **"Przebudzenie: Przewodnik po duchowości bez religii"** Sama Harris
Harris omawia świadomość, medytację i naturę duchowości, opowiadając się za świeckim podejściem do zrozumienia umysłu.

Fizyka kwantowa i metafizyka

63. **"The Quantum and the Lotus: A Journey to the Frontiers Where Science and Buddhism Meet"** autorstwa Matthieu Ricarda i Trinh Xuan Thuan
Ta książka bada podobieństwa między fizyką kwantową a filozofią buddyjską, omawiając spostrzeżenia z obu dziedzin.
64. **"Holograficzny wszechświat"** Michaela Talbota
Talbot przedstawia ideę, że wszechświat działa jak hologram, łącząc spostrzeżenia z fizyki kwantowej z metafizycznymi implikacjami.

Psychologia i psychoterapia

65. **"Poszukiwanie sensu przez człowieka"** Viktora E. Frankla
Frankl bada psychologiczną podróż w poszukiwaniu celu nawet w najtrudniejszych okolicznościach, integrując filozofię egzystencjalną i psychologię.
66. **"The Body Keeps the Score: Brain, Mind, and Body in the Healing of Trauma"** autorstwa Bessela van der Kolk
Książka ta omawia wpływ traumy na ciało i umysł, podkreślając innowacyjne podejścia do leczenia.
67. **"Core Energetics"** autorstwa Johna C. Pierrakosa
Książka ta przedstawia podejście Pierrakosa do Core Energetics, metody terapeutycznej skoncentrowanej na ciele. Zagłębia się on w to, jak odblokowanie energii w ciele może prowadzić do emocjonalnego i psychologicznego uzdrowienia, integrując duchowość z psychoterapią.
68. **"The Pathwork of Self-Transformation"** autorstwa Ewy Pierrakos
Książka autorstwa żony Johna Pierrakosa, Ewy Pierrakos, jest niezbędna do zrozumienia duchowych i energetycznych podstaw Core Energetics. Przedstawia zbiór nauk z przewodnika Pathwork Guide, który silnie wpłynął na własną pracę terapeutyczną Pierrakosa.
69. **"My Voice Will Go with You: The Teaching Tales of Milton H. Erickson"** autorstwa Milтона H. Ericksona, pod redakcją Sidneya Rosena
Książka ta jest zbiorem opowieści terapeutycznych i dydaktycznych Ericksona. Podkreśla jego pośrednie techniki i wykorzystanie metafory w celu ułatwienia głębokiej zmiany psychologicznej, oferując wgląd w sposób, w jaki Erickson subtelnie prowadził swoich pacjentów do uzdrowienia.
70. **"Uncommon Therapy: The Psychiatric Techniques of Milton H. Erickson, M.D."** autorstwa Jaya Haleya
Haley oferuje szczegółowe spojrzenie na innowacyjne techniki Ericksona w krótkiej terapii. Książka ta podkreśla nietradycyjne i często zaskakujące metody Ericksona, w tym jego zdolność do prowadzenia pacjentów w kierunku szybkich przełomów terapeutycznych w ciągu zaledwie kilku sesji.

Teoria systemów i myślenie systemowe

71. **"Ogólna teoria systemów: Podstawy, rozwój, zastosowania"** Ludwiga von Bertalanffy'ego
Praca Bertalanffy'ego, klasyka myślenia systemowego, wprowadza podstawy Ogólnej Teorii Systemów, która stała się fundamentalnym filarem interdyscyplinarnych badań w naukach ścisłych. Jego idee miały wpływ na wszystko, od biologii po nauki społeczne.
72. **"Kroki do ekologii umysłu"** Gregory'ego Batesona
Zbiór esejów Batesona, kluczowej postaci w Palo Alto Group, obejmuje takie tematy jak komunikacja, psychologia i ekologia. Jego praca położyła podwaliny pod myślenie systemowe w komunikacji i interakcjach międzyludzkich.
73. **"Umysł i natura: A Necessary Unity"** autorstwa Gregory'ego Batesona
Kolejny niezbędny tekst Batesona, który bada, w jaki sposób umysł i środowisko są ze sobą powiązane. Jego idee są podstawą do zrozumienia teorii systemów w zakresie interakcji międzyludzkich, uczenia się i ekologii.
74. **"The Social Construction of Reality: Traktat z socjologii wiedzy"** autorstwa Petera L. Bergera i Thomasa Luckmanna
Książka ta wiąże się z myśleniem systemowym poprzez badanie, w jaki sposób systemy społeczne i rzeczywistości są konstruowane i utrzymywane.
75. **"The Systems View of Life: A Unifying Vision"** autorstwa Fritjofa Capry i Piera Luigi Luisiego
Capra, kluczowa postać w myśleniu systemowym, przedstawia współczesne i zintegrowane rozumienie żywych systemów. Książka ta łączy teorię systemów z biologią, ekologią i świadomością.
76. **"Zmiana: Zasady tworzenia i rozwiązywania problemów"** autorstwa Paula Watzlawickiego, Johna Weaklanda i Richarda Fischera
Kolejna istotna praca z Palo Alto Group, która bada, w jaki sposób zmiany zachodzą w systemach ludzkich, w szczególności w rodzinach i organizacjach, poprzez obiektywne systemowe.
77. **"Drzewo wiedzy: The Biological Roots of Human Understanding"** autorstwa Humberto R. Maturany i Francisco J. Vareli
Książka ta łączy biologię, poznanie i myślenie systemowe, koncentrując się na autopoiezie (samokreślających się systemach), centralnej koncepcji w rozumieniu żywych systemów.
78. **"Cybernetics, or Control and Communication in the Animal and the Machine"** autorstwa Norberta Wienera
Ten fundamentalny tekst cybernetyki bada, w jaki sposób procesy komunikacji i kontroli działają zarówno w maszynach, jak i żywych istotach.
79. **"The Fifth Discipline: Sztuka i praktyka organizacji uczącej się"** autorstwa Petera M. Senge'a
Praca Senge'a stosuje myślenie systemowe do rozwoju organizacyjnego. Jest powszechnie uważana za kluczowy tekst zarówno w biznesie, jak i edukacji, koncentrując się na tym, jak złożone organizacje mogą być zorganizowane pod kątem uczenia się i zdolności adaptacyjnych.